

Úvod

Naše nová příručka má vyplnit mezery v naší radio-technické literatuře – nedostatek publikací konstrukčního zaměření, obsahově vhodných pro pokročilé radioamatéry. Je zaměřena tak, aby obsáhla základní techniku amatérského pracoviště pro krátkovlnný provoz, a jejím cílem je informovat čtenáře o nejnovějších nebo osvědčených zapojeních v oboru přijímačů a vysílačů. Zároveň jsou popisovány zkoušenosti, získané při konstrukci nebo provozu jednotlivých přístrojů.

Technika rádiového spojení pomocí krátkých vln dosáhla v posledních letech určité úrovni, která musí být závazná i pro amatérská zařízení. Proto je věnována mimořádná pozornost kmitočtové stabiliti oscilátorů, potlačení nežádoucích kmitočtů, jakosti modulace a klíčování. Stejně důsledně je řešena i otázka provozních vlastností zařízení při duplexním telegrafním provozu a telefonii s jedním postranním pásmem.

Zapojení jednotlivých dílů jsou uváděna odděleně, mnohdy bez přímé konstrukční souvislosti. Popis však vysvětluje jejich základní vlastnosti, takže pro žádaný druh provozu je možno sestavit z jednotlivých prvků celý přístroj. Ve skupinových i podrobných schématech jsou naznačeny společné vstupní, vazební, napájecí i výstupní body, které tento záměr usnadňují. Nedílnou součástí kapitol, které pojednávají o amatérských krátkovlnných vysílačích a přijímačích, je popis měřicích metod při seřizování a provozní kontrole jednotlivých přístrojů.

Kniha není a nemá být učebnicí s teoreticky podloženým receptem na návrh a stavbu přijímače nebo vysílače, ani dějepisem amatérské radiotechniky. Proto jsou vybrána jen ta zapojení, která umožní při současné součástkové základně a amatérskými prostředky dosáhnout co nejlepších výsledků.

I

SPOLEČNÉ PRVKY VYSÍLAČŮ A PŘIJÍMAČŮ

Vysílače i přijímače jsou převážně elektronická zařízení, v nichž některé části pracují za stejných nebo podobných podmínek. V úvodní kapitole budou takové obvody popsány a vysvětlena jejich funkce.

A. Tranzistory, nebo elektronky?

Rychlý vývoj polovodičových prvků přináší rychlejší a úspěšnější tranzistorizaci řady elektronických zařízení. Mezi ně nesporně patří i vysílače a přijímače. Všichni dobře známe kapesní nebo kabelkové rádiové přijímače, slyšeli jsme o tranzistorových televizorech i o jiných zařízeních s polovodiči. Při bližším pohledu zjistíme, že nejsou tranzistorizovány všechny obvody. Beze změn prozatím zůstávají obrazovky, indikátory vyladění, některé vysokonapěťové obvody apod.

Tranzistory, které mohou pracovat na kmitočtech nad 10 MHz, jsou v současné době ještě poměrně vzácné, v porovnání s elektronkami asi tak, jako E83CC a majákové triody. Je to způsobeno především nesmírnou složitostí a obtížností technologického procesu při získávání základní suroviny pro výrobu polovodičů – monokrystalů germania s přesně stanoveným procentem příměsí dalších kovů.

Obvody, kterými se budeme na dalších stránkách zabývat, jsou určeny převážně pro provoz na krátkých vlnách, na kmitočtech vyšších než 10 MHz. Je tedy zřejmé, že úkol tranzistorizace zařízení nelze řešit bez dostatečné – alespoň teoretické – zásoby vhodných polovodičových součástí.

Jaký je vůbec smysl a důvod použití těchto moderních prvků, je-li jejich výroba ve srovnání s elektronkami dražší, složitější a navíc vázána vysokou technickou úrovní výrobního podniku?

Výhody polovodičů jsou dány především jejich malými rozměry, které tvoří asi pětinu až desetinu rozměru elektronky se stejnými provozními parametry. Vynikající předností tranzistorů a usměrňovacích prvků, založených na bázi germania nebo křemíku, je skutečnost, že nepotřebují žhavicí příkon. Představme si, jaký zdroj musí napájet jen žhavicí vlákna řekněme dvou tisíc elektronek v počítacím stroji. U tranzistorů nebo polovodičových diod tato spotřeba odpadá a nadto ještě vlastní spotřeba stejného počtu tranzistorizovaných obvodů je menší než pouhý žhavicí příkon elektronek.

Máme tedy dvě základní hlediska, která odůvodňují použití polovodičů: malé rozměry a nízká spotřeba energie při okamžité provozní pohotovosti bez nažhavovací doby. Ekonomika

výstavby sdělovacích zařízení nám však ukládá další, zásadní kritérium: úspora energie, zmenšení rozměrů a váhy a hodnota provozní spolehlivosti musí být v rovnováze se zvýšením nákladu na výstavbu (to za prvé), přičemž dosažené výsledky po stránce provozních vlastností musí být alespoň stejné, jako u zařízení s elektronkami (to za druhé, jako samozřejmý předpoklad).

Ruku v ruce se zmenšováním aktivních prvků (tranzistorové zesilovače, klopné obvody apod.) musí jít i miniaturizace ostatních součástek – kondenzátorů, odporů, přepínačů, indukčních cívek a transformátorů. Souhrn všech dobrých vlastností těchto prvků dává teprve výsledný efekt tranzistorizace sdělovacích zařízení.

I-01 Š U M O V É P O M Ě R Y

I když se budeme převážně zabývat problematikou amatérských zařízení, není to důvod k tomu, abychom opomijeli základní požadavky kvality zařízení, ale spíše naopak. Amatérské přístroje při pečlivém provedení mnohdy předčí zařízení tovární. Je to proto, že se můžeme specializovat na určitý typ přijímače nebo vysílače jednoúčelového charakteru a věnovat dosti času dokonalému vyvážení všech jeho obvodů.

Měřítkem jakosti přijímače je úroveň jeho vlastního šumu, lépe řečeno citlivost přijímače při určitém poměru užitečného signálu k šumu na výstupních svorkách. Bylo by jistě přehnané tvrzení, že šumové poměry jsou nejdůležitější otázkou přijímače. Víme, že složky atmosférického a kosmického šumu mají v pásmu krátkých vln značnou úroveň, která převyšuje vlastní šum jakostního sdělovacího superhetu. Přesto si však nemůžeme dovolit zbytečné zvýšení šumové úrovni, ke kterému dochází při nevhodné volbě zapojení zesilovačů.

Šumět mohou nejen elektronky, ale i reálné složky všech impedancí včetně antény. V elektronkových zesilovačích je několik zdrojů šumu, z nichž nejpodstatnější je šum výstřelový, který vzniká nerovnoměrnostmi emise elektronů z katody každé elektronky. U vícemřížkových elektronek přistupuje šum rozdělování – nerovnoměrnosti v průletu a dopadu elektroňů na jednotlivé mřížky elektronek. Je tedy pravidlem, že šumy vznikají chaotickým pohybem elektrických nábojů.

Tranzistory a všechny polovodiče odvozují své vlastnosti převážně z pohybu elektrických nábojů v určitých energeti-

kých hladinách. Je právě otázkou dokonalosti výroby základního monokrystalu, jak dalece se podaří tento pohyb upravit, aby nepravidelnosti byly co nejmenší. Šumové vlastnosti běžných tranzistorů jsou většinou mnohem horší než u elektronek, kde máme navíc možnost volby různých typů i zapojení. Proto se u vysokofrekvenčních zesilovačů, které zpracovávají velmi nízká napětí, přidržíme klasických obvodů s elektronkami. Docílíme tím většího odstupu užitečného signálu od šumu elektronek a tím větší skutečné citlivosti přijímače. V ostatních částech přijímačů použijeme tranzistorových obvodů jen tehdy, zádáme-li malou spotřebu, váhu a rozměry, a podaří-li se nám dosáhnout požadovaných provozních vlastností.

V technice vysílačů zatím tranzistory ovládají pole výlučně u přenosných zařízení s malým výkonem do 10 W, dokonce i v pásmech velmi krátkých vln. Pokusy na tomto poli mají jistě svou důležitost. Tranzistory většího výkonu však sami nevyrobíme, a proto se zaměříme jen na zařízení elektronková. Budeme si o to více všimmat jakosti vysílání, ať již po stránce stálosti kmitočtu, nebo dokonalosti modulace a klíčování. Protože u vysílače jde většinou o zesilování nebo změny napětí vyšších hodnot, jsou úrovně šumů zanedbatelné.

I-02. Z I S K A I M P E D A N Č N Í P Ř I Z P Ũ S O B E N Í

Při porovnání míry zisku nemusí některé tranzistorové zesilovače vykazovat vůči elektronkovým horší výsledky. Vhodnou volbou zapojení lze překonat i některé nevýhody tranzistorů. Jde především o jejich nízkou vstupní a výstupní impedanci. Zásadně však nelze použít např. běžných mezipřekvenčních pásmových propustí, určených pro elektronkové zesilovače, bez změn i pro polovodičové jednotky. Rovněž výstupní a vazební transformátory v oboru nízkých kmitočtů musí být řešeny v souhlase s parametry tranzistorů. To vše předpokládá vytváření zvláštní součástkové základny pro použití polovodičových součástí.

Tyto otázky úzce souvisí s činitelem jakosti obvodů, hlavně tam, kde zpracováváme malá vf napětí. Poměrně nízký vstupní i výstupní odpor tranzistoru vnáší nutně vyšší podíl tlumicího odporu do rezonančních obvodů a snižuje činitele nakmitání i zisk na jeden zesilovací stupeň. Důsledkem je zvýšení počtu stupňů a růst vlastního šumu zesilovacího řetězu.

Dalším činitelem, který podstatně ovlivňuje řešení zesilovačů,

je přítomnost vnitřní vazby mezi vstupním a výstupním obvodem tranzistoru. Každá změna v zatěžovací impedanci posledního člena tranzistorového zesilovacího řetězu se vždy projeví i jako změna vstupní impedance prvního tranzistoru. Nelze tedy řešit obvody shodně s elektronkami. Kromě toho má tranzistor spíše charakter výkonového zesilovače a potřebuje určitý budící výkon.

B. Oscilátory

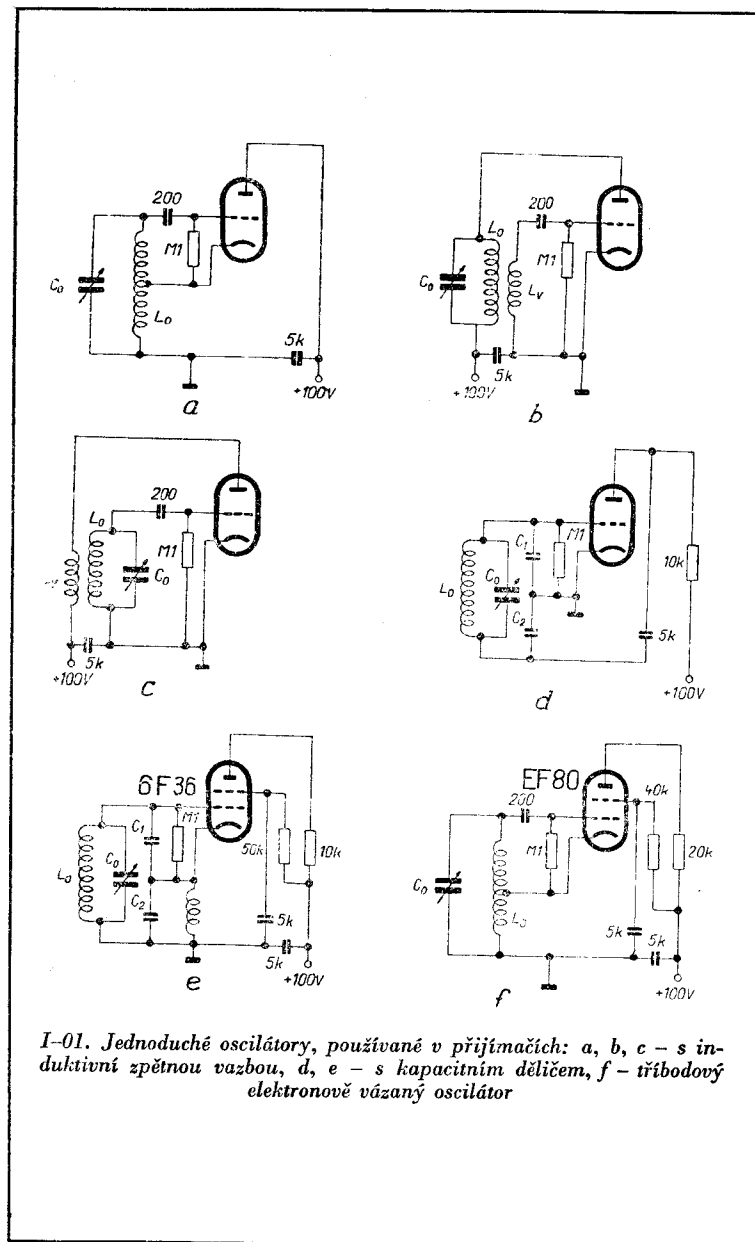
Ústředním problémem při návrhu vysílače i přijímače je otázka stálosti kmitočtu a jeho přesného nastavení. V obou případech jde především o způsob zapojení oscilátoru, který volíme podle kmitočtového rozsahu, druhu zařízení a způsobu provozu. Otázky stabilizace kmitočtu jsou neustále předmětem dalších výzkumů, i když je možno říci, že teorie zpětných vazeb byla v posledních letech – mimo jiné zásluhou československých odborníků – rozpracována do značné hloubky.

Dosažení velké stálosti kmitočtu oscilátoru není jen provozním požadavkem, protože usnadňuje vyhledání stanice i za velmi špatných příjmových podmínek, ale především nutností, diktovanou mezinárodními dohodami a doporučeními o technických vlastnostech vysílačů. Na druhé straně nestabilní oscilátor přijímače znemožní dobrý příjem i při silném signálu.

I-03. JEDNODUCHÉ LADITELNÉ OSCILÁTOŘE

Zapojení uvedených na obr. I-01 a, b, c používáme především v přijímačích, kde potřebujeme značně velkou rozladitelnost – v poměru kmitočtů 1 : 2 až 1 : 3. Jde vesměs o zapojení s induktivní zpětnou vazbou. V důsledku toho se mění i amplituda generovaného střídavého napětí při ladění směrem k vyšším kmitočtům. Podle toho musíme volit i zapojení a druh směšovacé a nastavit jeho pracovní podmínky tak, aby v žádném bodu rozsahu nedošlo k přetížení nebo naopak k nedostatečné injekci napětí ve směšovacím obvodu.

Základní podmírkou dobré funkce a vyhovující stabilnosti kmitočtu je co nejmenší výkon odebrávaný z oscilačního obvodu, stabilizace všech stejnosměrných napětí a někdy i žhavicího

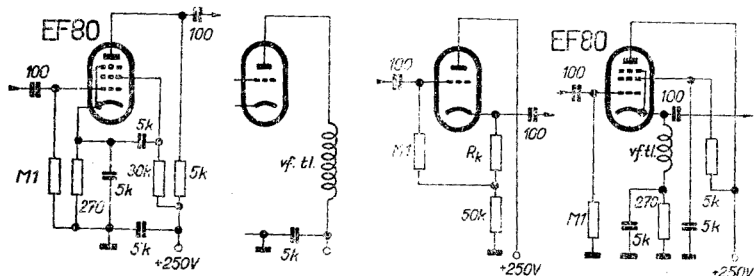


I-01. Jednoduché oscilátory, používané v přijímačích: a, b, c – s induktivní zpětnou vazbou, d, e – s kapacitním děličem, f – tříbodový elektronově vázaný oscilátor

proudů. Samozřejmostí je i dokonalé a pevné mechanické provedení všech dílů a součástek oscilátoru, umístění rezonančního obvodu do pevného stínícího krytu a jeho ochrana před působením silných střídavých elektromagnetických polí v okolí transformátorů, tlumivek apod. Všechny součástky oscilátoru mění pod vlivem tepla své rozměry, což u indukčnosti a kapacit způsobuje zmenšení nebo zvětšení jmenovitých hodnot a tím posun kmitočtu. Proto rezonanční obvod oscilátoru umísťujeme vždy do nejchladnějších míst šasi.

Velmi vhodná je teplotní kompenzace kondenzátory s různými teplotními součiniteli. Návod, jak kompenzaci provést, nelze dát – jen radu: zkoušíme střídavé zapojovat paralelně k obvodu několik keramických kondenzátorů s různým teplotním součinitelem (poznají se podle barvy, ale označení výrobci velmi často mění), ochlazujeme a ohříváme obvod v okolí pracovní teploty a sledujeme posun kmitočtu na dobrém přijímači. Snažíme se dosáhnout, aby alespoň v rozmezí $\pm 5^\circ\text{C}$ se kmitočet neměnil. V NDR postupují podobným způsobem i při tovární výrobě teplotně závislých nebo naopak nezávislých kondenzátorů z keramických slitin a tato experimentace vždy přináší nejlepší výsledky [L 16].

Na obr. I-01d je oscilátor s kapacitním děličem v obvodu zpětné vazby. Používá se v přijímačích poměrně zřídka, protože dělič $C_1 C_2$ značně zvyšuje počáteční kapacitu rezonančního obvodu a tím také zmenšuje poměr nejnižšího kmitočtu k nejvyššímu. Je však velmi oblíbeným zapojením, používaným v nejjednodušších přenosních vysílačích, kde je poněkud upraveno podle obr. I-01e. Použití pentody umožňuje oddělení přímé vazby výstupního obvodu oscilátoru a přenos kmitů se uskutečňuje elektronovou vazbou mezi tříbodovým oscilačním obvodem katoda – řídící mřížka – stínící mřížka a anodou



I-02. Oddělovací zesilovače

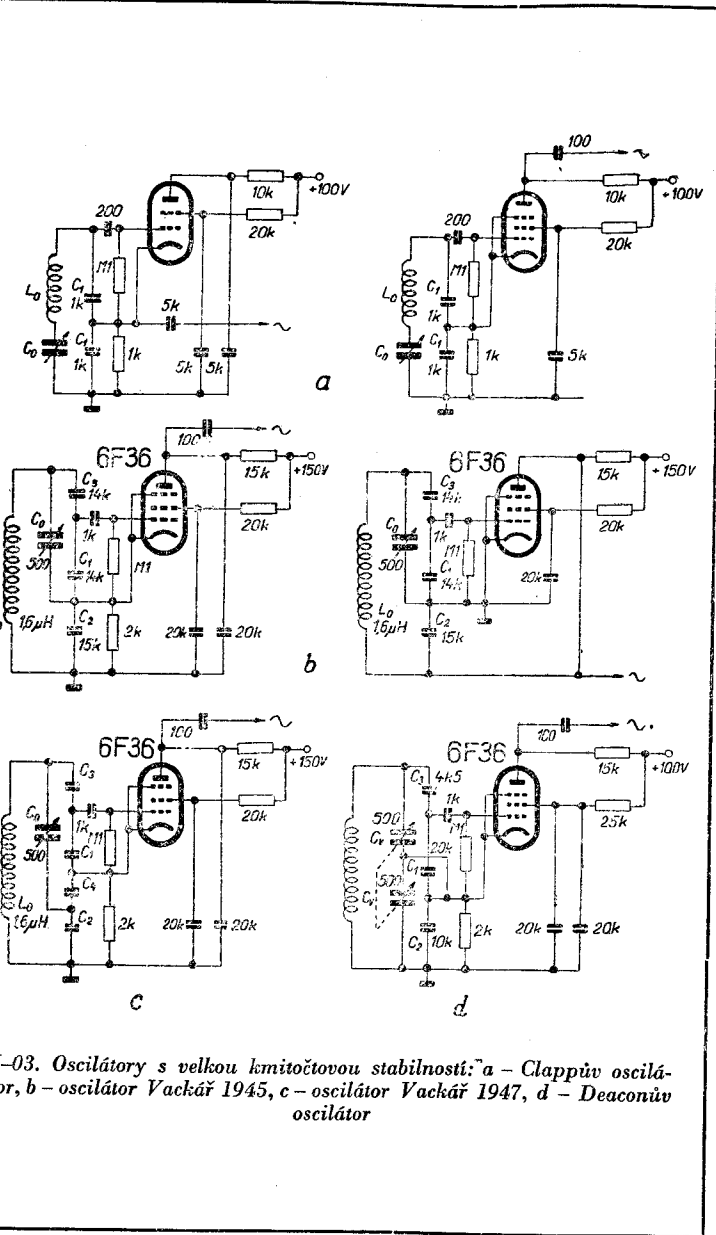
elektronky. Pro dosažení maximální stabiliti kmitočtu je nutno volit kapacitu děliče $C_1 C_2$ co největší, použít elektronky s velkou strmostí a samozřejmě dodržet všechny dříve popsané podmínky, včetně nízkého, stabilizovaného napětí anody i stínící mřížky. Obdobnou úpravou vzniklo zapojení elektronové vázaného tříbodového oscilátoru (obr. I-01f).

Všechna dosud uvedená zapojení oscilátorů mají jednu společnou nevýhodu: při kapacitní nebo induktivní vazbě s dalším obvodem, jehož rezonanční kmitočet je blízký kmitočtu oscilátoru, dochází ke strhování kmitů oscilátoru a tím ke snížení stálosti kmitočtu. Proto u jakostních přijímačů a v každém případě u řídícího oscilátoru vysílače zařazujeme vždy za oscilátor neladěný (aperiodický) zesilovač, nejlépe katodový sledovač. Tím podstatně stoupne čistota tónu při telegrafním provozu a značně se omezí nepravidelné přeskoky kmitočtu. Několik druhů oddělovacích zesilovačů a jejich zapojení je na obr. I-02.

I-04. LADITELNÉ OSCILÁTOŘE S VELKOU STÁLOSTÍ KMITOČTU

V budičích vysílačů a ve speciálních přijímačích se používá odlišných zapojení oscilátorů, jejichž rozladitelnost je poněkud menší, obvykle v poměru kmitočtů $1 : 1,3$ až $1 : 2$. V takovém případě lze snáze docílit stálé velikosti zpětné vazby a tím i stejně amplitudy střídavého napětí v celém rozsahu. Další podmínkou stálosti kmitočtu je připojení elektronky do vazebních bodů s nízkou impedancí, aby byl omezen vliv změn statických i dynamických kapacit elektronky na parametry rezonančního obvodu.

Zapojení oscilátoru na obr. I-03a, nazvané podle vynálezce J. K. CLAPPA, se na první pohled zdá složitější, než terau je ve skutečnosti. Má velmi dobré vlastnosti, pokud jde o stálost kmitočtu. Podmínkou je co největší činitel jakosti indukční cívky. Ladící kapacitu C_0 volíme co nejmenší, aby ho mohlo obsahovat právě jen požadované pásmo kmitočtů s malou rezervou. Dbáme přitom, aby poměr minimálního a maximálního kmitočtu nebyl o mnoho větší než $1 : 1,2$, protože amplituda kmitů tohoto oscilátoru klesá se třetí mocninou kmitočtu [V 1]. Zapojení je navrženo pro pásmo 1,75 až 2,0 MHz, pracuje však spolehlivě i na kmitočtech do 10 MHz, kdy je nutno vyrobit indukční cívku ze stříbrněho drátu o průměru alespoň 1,5 mm na keramickém tělisku. Průměr má být alespoň 20 mm, stoupání



I-03. Oscilátory s velkou kmitočtovou stabilností: a - Clappův oscilátor, b - oscilátor Vackář 1945, c - oscilátor Vackář 1947, d - Deaconův oscilátor

4 až 6 mm. Tělíska i drát před navýjením nahřejeme a dobře upevníme oba konce. Nastavení správné indukčnosti provádíme připájením odbočky u mřížkového konce cívky. Zásadně nesmíme zkratovat závity a nepoužíváme feritových nebo železových jader, aby se nezměnšoval činitel jakosti. Pro kmitočty do 2 MHz stačí smaltovaný měděný drát 0,6 až 1,0 mm, závit vedle závitu. Průměr stínícího krytu má být větší než dvojnásobek průměru cívky. Kryt pokud možno stříbříme a uzemníme do společného bodu s ladícím kondenzátorem. Podrobný návod najdou zájemci v literatuře [L 17].

Střídavé napětí odebíráme z katody elektronky oscilátoru. Vzniklá záporná zpětná vazba přispívá ke stabilizaci amplitudy kmitů. Zapojení s elektronovou vazbou dává sice vyšší napětí, může však zavádět fázové posuvy vlivem harmonických kmitočtů a tím snížit stálost kmitočtu. Za oscilátor vždy zařazujeme oddělovací zesilovač a snažíme se vyhnout klíčování těchto dvou stupňů.

Elektronka musí mít statickou strmost alespoň 6 mA/V. Anodové napětí stabilizujeme a jeho velikost volíme co nejmenší. V kapacitním děliči použijeme kondenzátorů s nízkým teplotním součinitelem – nejlepší jsou kvalitní slídové. Jejich hodnotu nesmíme upravovat škrábáním, protože tím vzrůstá jejich ztrátový činitel. Nenasazujeme-li oscilátor kmity, zvětšíme anodové napětí, např. ze 75 V na 100 V, nebo zmenšíme kapacity děliče až o 20 %. Nevedou-li ani tato opatření k úspěchu, má cívka nízký činitel, nebo je vadná elektronka.

Další zapojení (obr. I-03b, c) byla vyvinuta v Československu. Jejich autorem je JIŘÍ VACKÁŘ, který také odvodil některé podmínky zpětných vazeb a stability oscilátoru [L 1]. Obě zapojení se vyznačují vysokou stálostí kmitočtu a amplitudy napětí a navíc můžeme poněkud snížit požadavky na činitele jakosti indukční cívky, aniž by se znatelně měnily podmínky oscilací. Obě zapojení se liší jen vhodností použití pro různé kmitočty. Oscilátor typu VACKÁŘ 1945 (obr. I-03b) pracuje spolehlivě na kmitočtech 0,8 až 6,0 MHz s rozladěním až 1 : 3.

Zapojení typu VACKÁŘ 1947 (obr. I-03c) lze snadno realizovat pro kmitočty 1 až 7 MHz s rozladěním 1 : 2,4. Nevýhodou pro amatérskou konstrukci je nutnost izolace statoru i rotoru ladícího kondenzátoru od kostry zařízení a tím i použití izolované ladící osy. V obou schématech jsou detailně zakreslena zapojení doporučená autorem a naznačeno i upravené zapojení s uzemněným rotorem ladícího kondenzátoru.

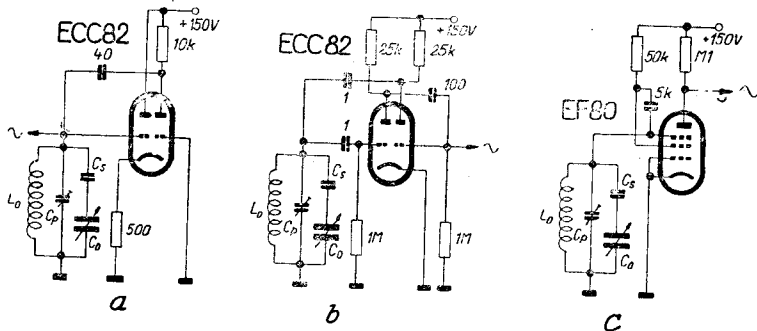
Indukční cívku vyrobíme podle zásad, popsaných u Clappa

oscilátoru. Konečnou kapacitu ladicího kondenzátoru volíme poměrně velkou, aby kapacity dělící $C_1 C_2$ a $C_3 C_4$ byly co největší (prakticky při kmitočtech do 5 MHz $C_1 = 3000 \text{ pF}$). Podle toho vypočteme indukčnost L_0 [V 2]. Tuto nepřesnost si můžeme dovolit hlavně tam, kde jde o malá rozladění, asi 1 : 1,5, kdy podmínka pro indukčnost L_0 není nijak kritická. Amplitudu kmitů udržujeme co nejmenší volbou anodového napětí. Překmitaný oscilátor je nestabilní. Vazbu a tím i amplitudu kmitů zvětšíme zmenšením kapacit C_1 a C_2 ve stejném poměru. Tolerance kondenzátorů může být až 15 %, aniž by se změnily pracovní podmínky oscilační elektronky. V základním zapojení lze použít i triod.

DAVID DEACON (G3BCM) vyzkoušel podobné zapojení oscilátoru (obr. I-03d). Je vhodné pro vysílače a vyžaduje dvojitý ladicí kondenzátor. Zásady návrhu a výpočtu [V 3] ani princip a vlastnosti se v podstatě neliší od posledních dvou zapojení.

V poslední době se často používá zapojení oscilátorů se dvěma elektronkami ve funkci záporného odporu [L 2]. Docilují stabilitu značně nižší než zapojení Vackářova, mají však jen dva přípojné body a je možno volit poměr L/C téměř libovolně. Tato výhoda se uplatní především v přijímačích, kde se zmenší počet přepínaných bodů. Návrh pracovních podmínek je vázán především vlastnostmi použitých elektronek a je dosti složitý. Příklady zapojení na obr. I-04a, b naznačují možné řešení.

Dalším oscilátorem s dvoubodovou vazbou je tranzitronové zapojení s pentodou, které využívá negativního odporu mezi druhou a třetí mřížkou pentody. Pracuje s dostatečnou stálostí kmitočtu do 1,5 MHz (obr. I-04c).

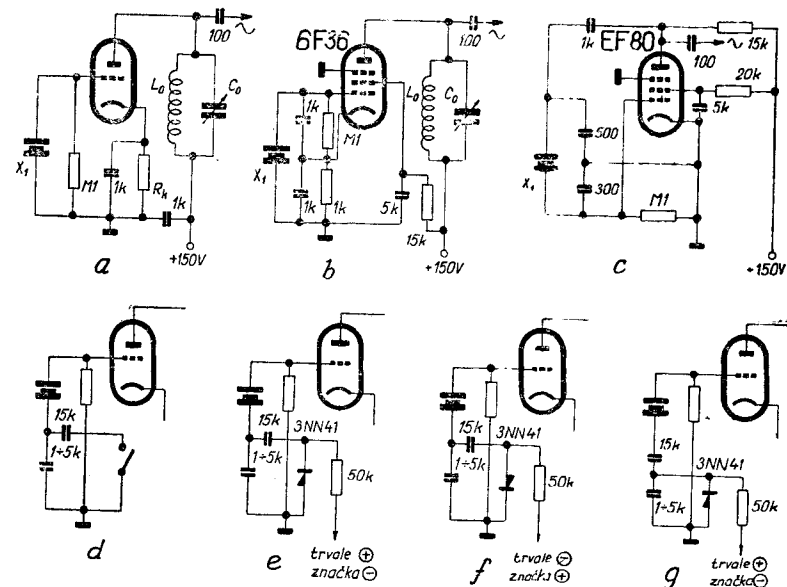


I-04. Oscilátory s elektronkou ve funkci záporného odporu: c - tranzitronový oscilátor

I-05. PEVNÉ LADĚNÉ OSCILÁTOŘE

V přijímači i vysílači potřebujeme i oscilátory, jejichž kmitočet je neproměnný, nebo se mění jen o malou hodnotu, řádově 1 %. V těchto případech používáme především zapojení uvedených na obr. I-01d nebo I-03a.

Mnohem větší stálost kmitočtu mají oscilátory, řízené kmitajícím křemenným výbrusem (krystalem). Jejich zapojení je



I-05. Oscilátory, řízené výbrusem křemenného krystalu: a - Millerův oscilátor, b - Perceuvův oscilátor, c - zapojení TRI-TET pro násobky kmitočtu krystalu, d, e, f, g - elektrický posun oscilačního kmitočtu

velmi jednoduché, pokud nechceme dosáhnout stálosti kmitočtu řádově vyšší než $5 \cdot 10^{-5}$. Příklady jsou uvedeny na obr. I-05a, b, c. Malých změn kmitočtu docílíme zařazením sériové kapacity ve věti krystalu, ovšem za cenu určitého zmenšení stabiliti. Zapojením podle obr. I-05d docílíme změny v mezích stovek Hz. V některých případech je třeba ovládat změnu kmitočtu napěťově. Umožní to sériové zařazení polovodičové nebo vakuové diody s kladným předpětím katody (obr. I-05e), nebo záporným předpětím anody (obr. I-05f). Menší z obou sériových kapacit posouvá kmitočet. Po přivedení obráceného polari-

začního napětí v obvodu diody vede dioda proud, přemostí svým malým vnitřním odporem menší kapacitu a tím vytvoří zkrat pro vysoké kmitočty. Oscilátor pak kmitá na jmenovitém kmitočtu. Zapojení na obr. I-5g je jen přizpůsobeno jiným provozním požadavkům. Podmínkou správné činnosti deviačního obvodu je dostatečně velké polarizační napětí diody, alespoň dvakrát větší, než je střídavé napětí na kondenzátoru.

Krystaový výbrus někdy nesnadno nasazuje kmity. Stačí však malé pevné mřížkové předpětí, získané např. spádem napětí na katodovém odporu, aby se omezil náběhový mřížkový proud a krystal se rozmítá. Ve vysílači musíme volit způsob klíčování krystalového oscilátoru velmi pečlivě, neboť někdy velmi tvrdě nasazuje kmity a způsobuje zákmity silně rušící okolní kmitočty. Výhodné je klíčování některého dalšího stupně např. závěrným napětím řídící mřížky. Při nastavení pracovních podmínek měříme mřížkový proud oscilační elektronky a postupně zvyšujeme anodové napětí, u pentod i napětí stínící mřížky. Nasazení kmítů se projeví mřížkovým proudem, který má u pentod dosahovat hodnotu asi 0,2 mA, u triod je poněkud vyšší. Hodnotu odporu první mřížky elektronky volíme podle použití oscilátoru. Při využití základního kmitočtu zvyšujeme, při harmonických kmitočtech snižujeme velikost odporu řídící mřížky a napětí stínící mřížky.

Oba členy děliče v Pierceově zapojení mají mít stejnou hodnotu. Zmenšením kapacity mezi katodou a mřížkou se zvětšuje činitel zpětné vazby. Příčná impedance děliče je menší u strmých elektronek, naopak při použití triod s malou statickou strmostí jsou obě kapacity poměrně malé, řádově 30 až 100 pF (velká příčná impedance).

I-06. VŠE O B E C N É Z Á S A D Y N Á V R H U O S C I L Á T O R U

Každý oscilátor obsahuje nejméně jeden aktivní prvek, elektronku nebo tranzistor. Pokud sledujeme klasickou techniku zapojení, používáme vždy elektronky s velkou strmostí, např. 6F36, EF 80, ECF 82, 6Z4 apod., a současně hledíme, aby jejich anodový proud a tím i výkon oscilátoru byl co nejmenší. Z oscilátoru nesmíme odčírat žádný výkon, abychom nezhoršovali stálost kmitočtu, a přitom oscilační elektronka vždy nějaký výkon odevzdává. Zákon o zachování energie platí i zde – dodaný výkon musí být spotřebován. Není-li vyzářen ve formě elektromagnetického vlnění,

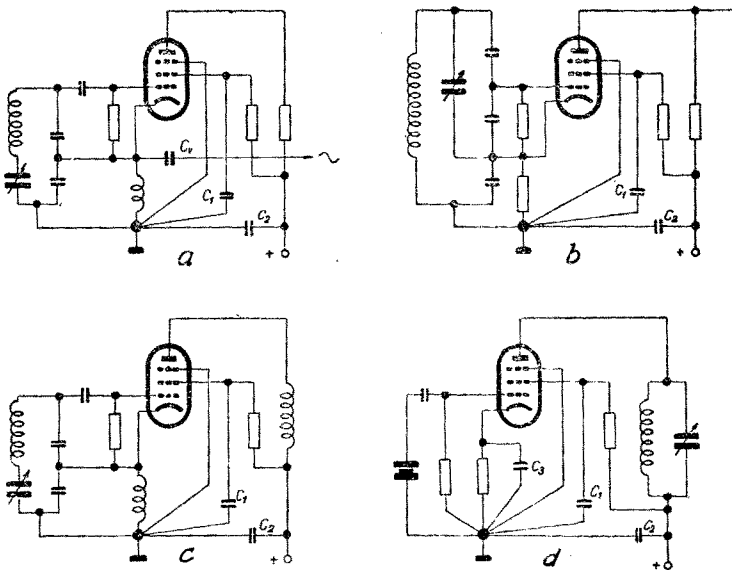
tedy aktivně, dochází k pasivní spotřebě v okruhu indukčnost – kapacita, a tím se tyto součásti zahřívají a dochází ke změnám jejich jmenovitých hodnot. Proto je zde požadavek malých proudů elektronky a zanedbatelného výkonu oscilátoru.

Při použití tetrod a pentod se někdy projevuje pozvolné unášení kmitočtu nebo jeho nabíhání při klíčování katodového obvodu. Nepomáhá-li teplotní kompenzace, musíme kontrolovat, zda proud stínící nebo řídící mřížky není příliš velký. Nadměrné ohřívání těchto elektrod průtokem proudu mění jejich rozměry a tím i vnitřní statické kapacity elektronek. Velmi náchylné k tomuto zjevu jsou elektronky 6L31, dokonce i při zachování doporučených provozních podmínek. Obvykle postačí k nápravě radikální zmenšení napětí stínící mřížky a zvětšení mřížkového svodu. Většina elektronek pracuje zcela spolehlivě při napětí zdroje 75 až 150 V (např. při stabilizaci napětí pomocí doutnavek typu 11TA31, 14TA31 nebo 11TF25).

Casto diskutujeme o vhodnosti zařazení sériových odporek v okruhu stínící mřížky a anody elektronky oscilátoru. Mezi amatéry dosud panuje názor, že při klíčování způsobují tyto odpory nabíhání kmitočtu a zhoršení stabilitu. Rozborem činnosti elektronky oscilátoru však zjištujeme, že nejvhodnějších podmínek docilujeme při provozu elektronky ve třídě A nebo AB₁. Tehdy využíváme maximální strmosti charakteristiky a navíc je zaručena nezávislost stejnosměrné složky anodového proudu na amplitudě oscilací. Proto ani přerušení katodového okruhu elektronky a jeho opětné spojení nemůže mít za následek změnu podmínek oscilací. Nabíhání kmitočtu je vždy způsobeno proudovým přetížením elektronky nebo kolísáním napětí stejnosměrného zdroje. Naopak je vhodné při stabilizaci napájecích napětí zařadit do kruhu stínící mřížky sériový odpor, kterým upravíme její napětí na žádanou hodnotu, vždy asi o třetinu menší než napětí na anodě. Podmínkou je dobré vš uzemnění stínící mřížky pomocí bezindukčního kondenzátoru, nejlépe keramického, s kapacitou alespoň 2000 pF u kmitočtů nad 1 MHz. Na obr. I-06 je znázorněn způsob zapojení svodových kondenzátorů u různých typů oscilátorů.

Velmi důležité je zapojení kapacit, označených C₂. Každý rezonanční obvod, vš tlumivka nebo pracovní odpor v anodovém okruhu elektronky musí být kapacitně uzemněn, pokud možno nejkratší cestou a do společného bodu s ostatními svodovými cestami. Elektronkou neprotéká jen stejnosměrný proud, u něhož nezáleží na délce cesty, po níž se uzavírá, ale

i střídací vf složka proudu, která musí mít cestu co nejkratší a vždy uzavřenou v jednom bodě. Nestačí spoléhat na zemění do různých bodů kostry zařízení, každé prodloužení dráhy vf proudů vnáší fázové posuvy, parazitní modulaci bručivými napětími a tím i nestabilitu do obvodu oscilátoru. Proto kapacitně uzemňujeme i tzv. „studené“ konce rezonančních obvodů, které sice nenesou vf napětí, jimiž však protéká vysokofrekvenční proud.



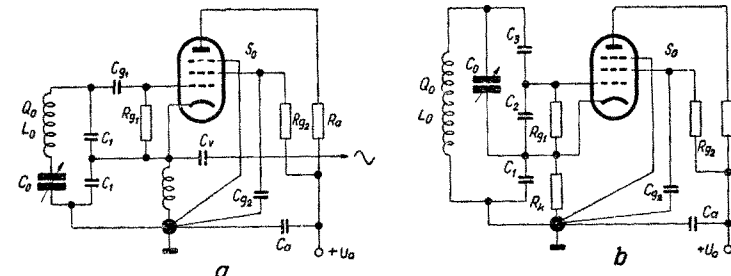
I-06. Spojování svodových kondenzátorů do jednoho bodu

Zbývá otázka, jak nastavit pracovní podmínky elektronky do třídy A nebo AB. Nejnázornější vysvětlení podává obr. I-07, ke kterému není třeba dalšího komentáře.

Důležitým prvkem zapojení oscilátoru je ladící kondenzátor. Na jeho konstrukčním provedení velmi záleží. Vybíráme robustní provedení s kuličkovými ložisky, třecím vývodem rotoru a velkou vzduchovou mezerou mezi plechy, pokud možno s keramickou izolací statoru a rotoru. Nevhodné jsou kondenzátory s hliníkovými, nýtovanými plechy, které se snadno uvolňují.

Pro některá zapojení potřebujeme poměrně malou změnu kapacity proměnného kondenzátoru, např. 20–30 pF, při malé

počáteční kapacitě. Speciální kondenzátory této vlastnosti jsou na trhu zřídka. Pokud provádíme mechanickou úpravu běžných otočných kondenzátorů, nikdy nerozebíráme stator. Vyjmeme pouze rotor a opatrně lupenkou pilkou odřízneme potřebný počet desek u osy a v konecovém uchycení. Při opětném sestavení vyfoukneme piliny stlačeným vzduchem, omyjeme celý kondenzátor benzinem nebo tetrachlorem, rotor



I-07. Postup nastavení pracovních podmínek oscilátoru (ve spojení s tabulkou)

STAV	Q_0	C_2, C_1	R_{g_1}	R_{g_2}	R_a	U_a	S_0
Nekmitá	(5) zvětšit	(2) změnit	ponechat	(3) změnit	ponechat	(1) zvětšit	(4) zvětšit
Překmitán	ponechat	(2) zvětšit	(4) zvětšit	(3) zvětšit	(5) změnit	(1) změnit	ponechat
Nestabilní Nenasazuje	(5) zvětšit	(3) změnit C 1	ponechat	(2) změnit	ponechat	(1) změnit zvětšit	(4) zvětšit

pečlivě vystředíme, zakápneme středicí matky lakem a namážeme ložiska kapkou čistého oleje.

Menších změn docílíme zapojením sériových a paralelních kondenzátorů, které vypočteme podle vzorců v poslední kapitole této knihy [V 4]. Uvedený způsob je označován jako elektrická úprava nebo též elektrické rozvinutí ladění. I když se názory odborníků různí, skutečnost je taková, že je elektrická úprava snazší, dokonce i výhodnější tím, že zařazením malé sériové kapacity a teplotní kompenzací se podstatně zvyšuje stabilita proměnného kondenzátoru. Například původní kondenzátor o kapacitě 12 až 220 pF se stabilností 1 : 500

běžného provedení vykazuje po zařazení sériové kapacity 20 pF výslednou změnu kapacit 8 až 18 pF se stabilitou řádu $2 \cdot 10^{-4}$. Podmínkou jsou ovšem jakostní keramické kondenzátory s malým ztrátovým činitelem, dobře upevněné na keramické liště. Tato zásada je ostatně společná pro všechny kondenzátory v kmitavých obvodech.

Při návrhu oscilátoru vysílače se vždy snažíme vyhnout přepínačům a pohyblivým doteckům, které časem stárnou a způsobují nepravidelné změny kmitočtu. Stříbřené doteky černají, jakmile nevyložíme styk s chemicky aktivními látkami v ovzduší. U přijímače je tato otázka složitější, přepínače obvykle nelze vypustit. Proto je zásadou přepínat vždy co největší část rezonančního obvodu, aby proudy tekoucí přepínačem byly co nejmenší. Každé dotekové pero přepínače vyžaduje neustálou péči a čištění, nejlépe trichloretylenem nebo tetrachloridem uhličitým, nikdy ne pilníkem. Nejhodnější jsou rotační více-segmentové přepínače s keramickou konstrukcí statoru a rotoru.

C. Měniče kmitočtu

Ve vysokofrekvenční sdělovací technice se v širokém měřítku uplatňují různá zapojení měničů kmitočtu. Název přesně nevystihuje obsah jejich činnosti, protože ke změně kmitočtu dochází i v násobících a dělících stupních. U měničů kmitočtu jde především o zpracování dvou střídavých napětí, většinou s odlišným kmitočtem. Produktem měniče je třetí napětí, jehož amplituda i kmitočtové spektrum jsou odvozeny z původních dvou složek.

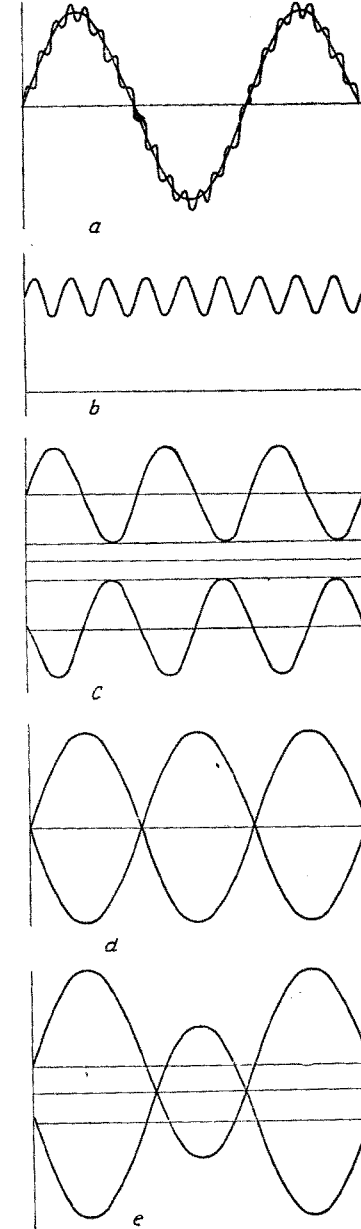
Při této příležitosti je vhodné vysvětlit některé pojmy z oboru vzájemného působení dvou napětí, protože jde většinou o výrazy, převzaté z cizích jazyků.

Superpozice je součet dvou střídavých napětí na lineárním členu (odpor, kapacita, indukčnost). Jsou to obvykle napětí kmitočtově značně rozdílná a říkáme, že vyšší kmitočet je superponován na nižším. Nevznikají harmonické složky obou napětí ani jiná deformace průběhu. Obě napětí lze snadno oddělit elektrickými filtry nebo výhybkami (obr. I-08a). Stejný význam má pojem *superpozice střídavého napětí na stejnosměrné složce* (obr. I-08b). Charakteristickým znakem při pozorování

ní na osciloskopu je skutečnost, že výsledný průběh obou napětí není symetrický podle vodorovné osy.

Modulace je změna amplitudy nosného (modulovaného) napětí v rytmu modulujícího kmitočtu. Poměr kmitočtu je přibližně stejný jako v předchozím případě. Při lineární modulaci nevznikají harmonické obou kmitočtů, ale jen jejich součet a rozdíl. Nižší z obou kmitočtů je obvykle během modulačního procesu potlačen ve výstupním obvodu. Charakteristickým znakem při pozorování na osciloskopu je dokonalá symetrie podle vodorovné osy.

Při nelineární modulaci vznikají vyšší harmonické obou kmitočtů, jejich součty a rozdíly a součet a rozdíl harmonických a obou základních kmitočtů. Podmínkou modulace je přítomnost nelineárního členu (elektronka, dioda, přesycený transformátor apod.). Oba kmitočty po uskutečnění modulačního procesu nelze oddělit filtry, ale pouze demodulačním procesem (obr. I-08c). Modulující napětí nemusí být sinusové, dokonce ani ne střídavé. (Televizní vysílač je modulován sledem im-



I-08. Znázornění tvaru osciloskopu dvou napětí za různých podmínek:
a - superpozice dvou střídavých napětí,
b - superpozice střídavého a stejnosměrného napětí, c - amplitudově modulované výstupní napětí, d - amplitudová modulace s potlačeným nosným kmitočtem, e - částečné potlačení nosného kmitočtu

pulsů se stejnosměrnou složkou.) Při modulaci dvou sinusových průběhů vzniká kmitočtové spektrum čtyř složek: f_1 , f_2 , $(f_1 + f_2)$ a $(f_1 - f_2)$.

Zvláštním pochodem při modulaci je *potlačení nosného kmitočtu*. V tomto případě ve výsledném spektru chybí jedna složka a zůstanou pouze nesymetricky vzniklé složky součtové a rozdílové, které tvoří tzv. postranní modulační pásma. Jinak má obvod typické vlastnosti modulovaného stupně.

Všechny popisované vlastnosti se týkají pouze amplitudové modulace. Kmitočtová a fázová modulace vzniká za jiných podmínek a modulační pochod i spektrum je podstatně složitější.

Při pozorování amplitudově modulovaného napětí na osciloskopu při potlačené nosné vlně je charakteristickým znakem souměrnost podle obou os a ostré průchody nulovou úrovní (obr. I-08d). Částečné potlačení nosného kmitočtu se projeví velmi zřetelnou změnou (obr. I-08e). Pro všechny příklady byl zvolen shodný nižší kmitočet.

Interference je svým vznikem příbuzná směšování. Český výraz je *záZNĚJ*. Interferující napětí jsou obvykle kmitočtově velmi blízká, liší se jen v jednotkách příslušného rádu kmitočtů a amplitudou. Nejznámější je interference dvou vf napětí, $f_1 = 465$ kHz a $f_2 = 466$ kHz (případ mezifrekvenčního signálu v přijímači se záZNĚJOVÝM oscilátorem). Výsledkem je rozdílový kmitočet 1 kHz, který je slyšitelný, ačkoliv oba původní kmitočty neslyšíme. Charakteristickým znakem při sledování průběhu záZNĚJE dvou sinusových napěti je symetrie podle vodorovné i svislé osy, protože výsledný průběh je rovněž sinusový. Nutným předpokladem vzniku záZNĚJŮ je přítomnost nelineárního prvku. Při záZNĚJI dvou nf kmitočtů vznikají akustické rázy, jejichž četnost je dána opět rozdílem obou kmitočtů. Při podrobném rozboru interference zjistíme, že jsou ve spektru přítomny jak obě základní složky, tak jejich součet a rozdíl.

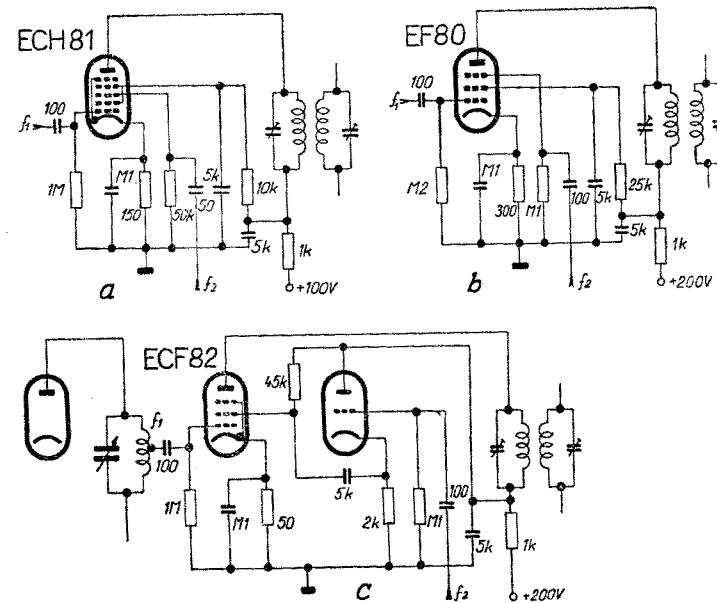
Konverze neboli *směšování kmitočtů* vzniká na obecně ne-lineárním prvku (diody, vícemřížkové elektronky). Může být slúčovací (aditivní) nebo násobková (multiplikativní). Vzniká široké spektrum kmitočtů s obsahem součtů, rozdílů a násobků obou původních kmitočtů i jejich vyšších harmonických.

Mezi méně kmitočtu zařazujeme především směšovače a vyvážené modulátory, s nimiž se seznámíme v této kapitole.

I-07. MULTIPLIKATIVNÍ SMĚŠOVAČE

V rozhlasových přijímačích se často setkáváme se zapojením směšovače s heptodou nebo hexodou. Signálové napětí a napětí oscilátoru jsou přiváděna na různé mřížky elektronky. Její pracovní charakteristiky jsou nelineární, blíží se tvarem parabole a lze dokázat, že jedním článkem směšovacího procesu je násobení obou kmitočtů. Kromě součinu objevuje se ovšem v anodovém proudu i značný podíl součtových a rozdílových složek obou původních napětí, která na sebe nemají přímý vliv. Ani kapacitní vazba není příliš velká, protože mezi první a třetí mřížkou, kam se přivádějí obě směšovaná napětí, je stínící druhá a čtvrtá mřížka. To je třeba přičíst k výhodám zapojení podle obr. I-09a.

Šumové vlastnosti heptody jsou však vzhledem k velkému počtu elektrod velmi špatné. Převládá složka tzv. šumu rozdělování. Podíl šumu elektronky vzhledem k velikosti mf signálu můžeme zanedbat při směšování dvou napětí rádu jednotek voltů. To však v přijímači není možné vzhledem k omezené



I-09. Zapojení multiplikativního směšovače: a – s heptodou, b, c – s pentodou

délce pracovní části charakteristik a poměrně malému zesílení v/f stupňů. Heptodový směšovač dodává až osmkrát větší šumové napětí než v/f zesilovač s běžnou pentodou. Z těchto důvodů používáme směšovače s heptodou jen v přijímačích nižších tříd, s malou citlivostí a ve směšovacích budičích vysílačů.

Multiplikativní směšovač s pentodou má šumové vlastnosti podstatně lepší. Funkční princip je zhruba stejný (jen matematické odvození jiné) jako v předchozím případě. Injekce napětí oscilátoru do třetí mřížky, která nesmí být spojena s katodou, je po stránce oddělení obou signálů výhodnější (obr. I-09b) než injekce do druhé mřížky, kdy je výhodné zařadit za oscilátor oddělovací katodový sledovač. Pracovní odpor sledovače však musí být malý a vazební kapacita velká, aby byly splněny podmínky funkce pentody (obr. I-09c). S výhodou lze použít moderní sdružené elektronky ECF82. Velikost napětí oscilátoru snadno řídíme změnou hodnoty katodového odporu sledovače.

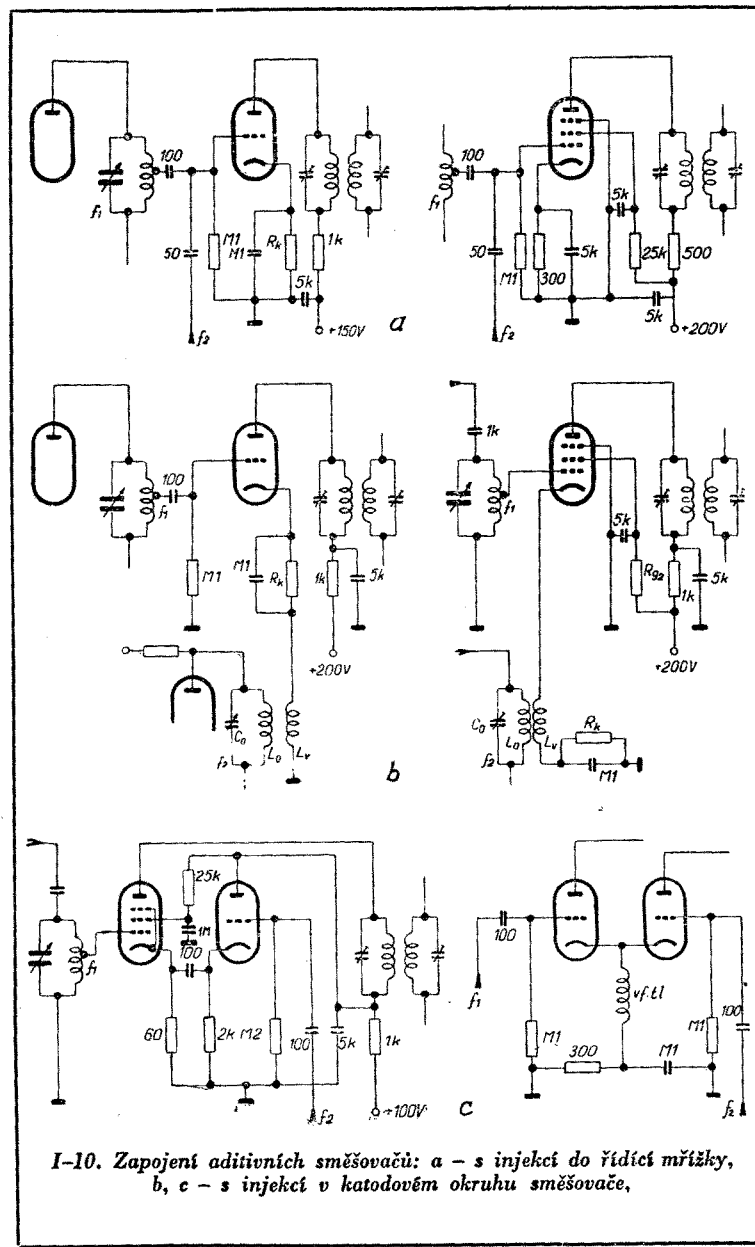
Tento druh směšovačů není sice příliš citlivý na velikost injikovaného napětí oscilátoru, ale přesto je nutno doporučit zkoušku změnou velikosti vazební kapacity oscilátoru a směšovače při průměrné velikosti napětí signálu. Vazbu nastavíme na maximální velikost mezifrekvenčního napětí.

Zisk multiplikativního směšovače závisí na směšovací strmosti použité elektronky. U heptod a hexod je udána v tabulkách, u pentod se pohybuje kolem čtvrtiny statické strmosti. Vybráme vždy pentody s malým šumem a velkou strmostí, např. E180F, ECF82, 6Ž4. Správnému výběru elektronek odpovídají i dosažené výsledky.

I-08. ADITIVNÍ SMĚŠOVAČE

Při současném připojení dvou střídavých napětí na řídící mřížku elektronky dochází za vhodných podmínek k jejich sečtení (adici). Tím se vytvoří kmitočtové spektrum, které kromě obou základních složek obsahuje v důsledku zakřivení charakteristik elektronky i vyšší harmonické složky obou napětí a rovněž jejich součty a rozdíly. Stejného výsledku dosáhneme připojením jednoho napětí na řídící mřížku a druhého do série s katodovým okruhem elektronky (obr. I-10a, b).

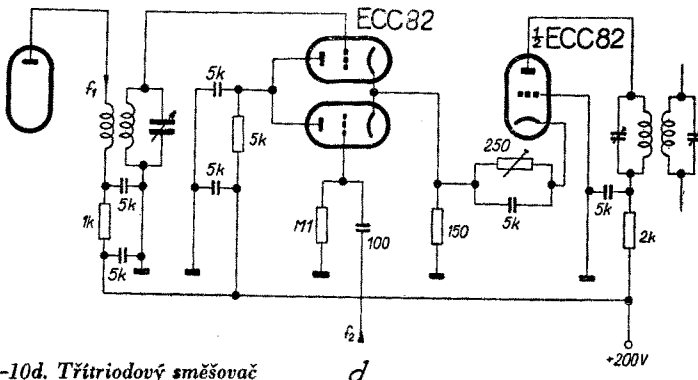
Na první pohled je zřejmé, že dochází k poměrně těsné vazbě laděných obvodů v anodě oscilátoru a mřížce směšovače a tím ke vzájemnému ovlivňování, o kterém již bylo pojednáno ve



I-10. Zapojení aditivních směšovačů: a - s injekcí do řídící mřížky, b, c - s injekcí v katodovém okruhu směšovače,

stati o oscilátořech. Zde je tedy na místě při požadavku vyšší stabilnosti zařazení katodového sledovače (obr. I-10c).

Zajímavým, i když poněkud nákladným řešením je použití tří triod, upravené podle zapojení, které navrhl M. G. GROSBY



I-10d. Třitriodový směšovač

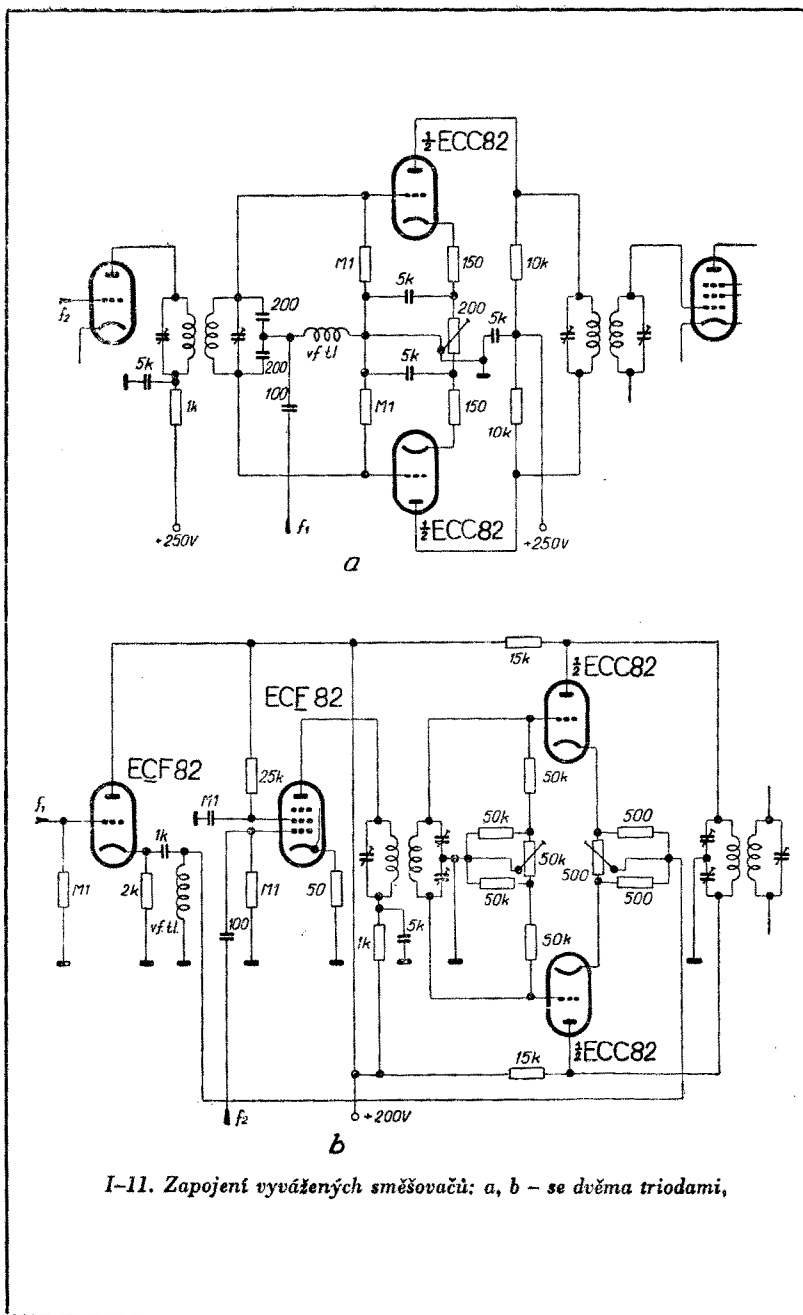
d

[L 3]. Směšovací proces se uskutečňuje v katodovém okruhu elektronky E 3, napájeném dvěma katodovými sledovači. Tento obvod je značně univerzální a setkáme se s ním ještě v dalších aplikacích (obr. I-10d).

I-09. V Y V Á Ž E N É S M Ě Š O V A Č E

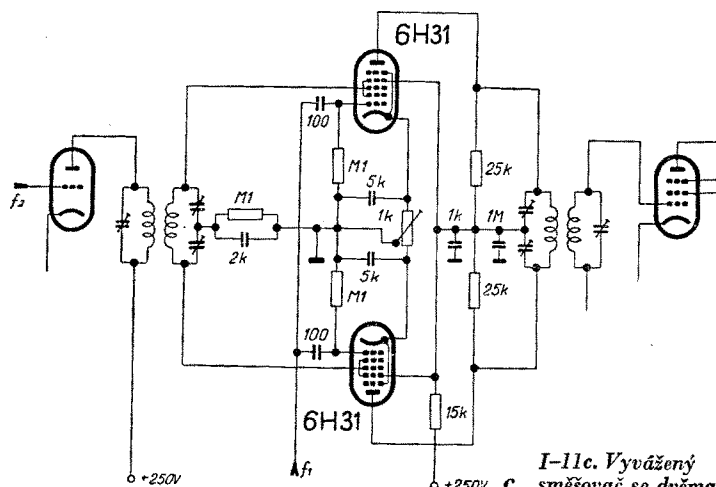
Tam, kde směšujeme dvě napětí kmitočtově velmi rozdílná, používáme obvykle vyvážených směšovačů. Základní proces je stejný jako u jednoduchých směšovačů, avšak souměrným zapojením anodového obvodu a nesouměrným připojením jednoho vf napětí dosáhneme jeho potlačení až o 40 dB. Této techniky často používáme v budičích moderních vysílačů a v zařízeních pro provoz s jedním postranním pásmem.

Na obr. I-11a je zapojení aditivního vyváženého směšovače se dvěma triodami. Mřížky obou elektronek jsou buzeny v protifázi dvěma napětími f_2 stejného kmitočtu a amplitudy, fázově navzájem posunutými o 180° . Současně do společného bodu obou mřížek přivádíme napětí o kmitočtu f_1 , takže obě mřížky jsou tímto druhým napětím buzeny soufázově. Souměrný anodový rezonanční obvod je naladěn na rozdíl obou kmitočtů, takže nižší kmitočet f_2 je potlačen útlumem obvodu, zatímco



I-11. Zapojení vyvážených směšovačů: a, b - se dvěma triodami,

výšší kmitočet f_1 se v souměrném obvodu vyruší. Podmínkou pro správnou činnost směšovače je dokonalé vyvážení jak pracovních podmínek, tak kapacitních vazeb obou elektronek. Proto musí být obě triody naprosto shodné. Malé rozdíly



I-11c. Vyvážený směšovač se dvěma heptodami

vyrovnáme nastavením potenciometru R_k tak, aby pronikání kmitočtu f_1 do výstupního obvodu bylo co nejmenší.

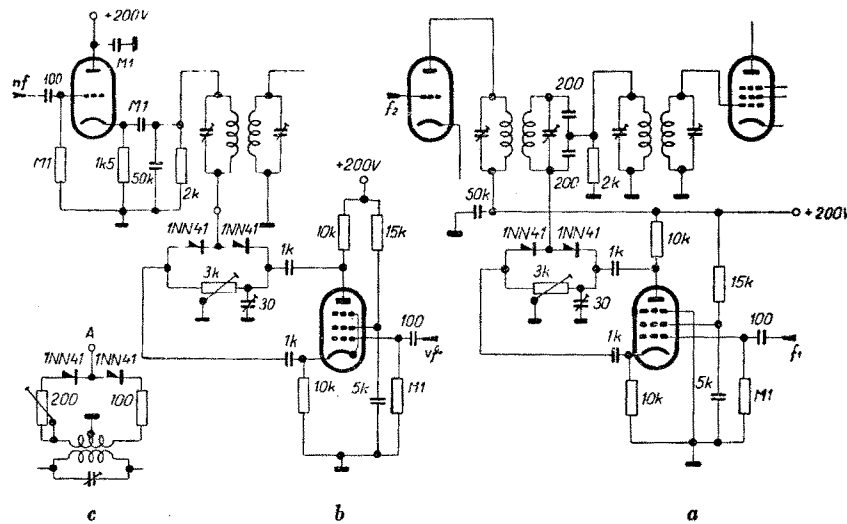
Podobné zapojení je uvedeno na obr. I-11b. Mřížkový obvod je shodný s předcházejícím příkladem až na potenciometr, kterým nastavujeme symetrii předpětí. Potenciometrem $50\text{ k}\Omega$ upravujeme malé rozdíly v umístění pracovního bodu elektronky a poměr napětí o kmitočtu f_2 na obou katodách elektronek.

V budíčích vysílačů můžeme bez obav použít i multiplikativního směšovače se dvěma heptodami, protože jejich šumový podíl ve srovnání se signálem je malý. Zapojení I-11c je opět voleno se zřetelem na dokonalé potlačení obou základních kmitočtů. V obzvláště dokonalých přístrojích doplňujeme směšovač řízením poměru amplitud druhých a čtvrtých mřížek. Tím můžeme lépe potlačit nežádoucí kmitočty.

Ve všech uvedených případech se snažíme zachovat podmínu, že f_1 je značně vyšší než f_2 ; pokud je jeden z kmitočtů proměnný, je výhodné, aby to byl právě kmitočet f_1 . Velikost obou napětí se pohybuje od jednoho do šesti voltů podle použitých elektronek.

I-10. VYVÁŽENÉ MODULÁTOŘE

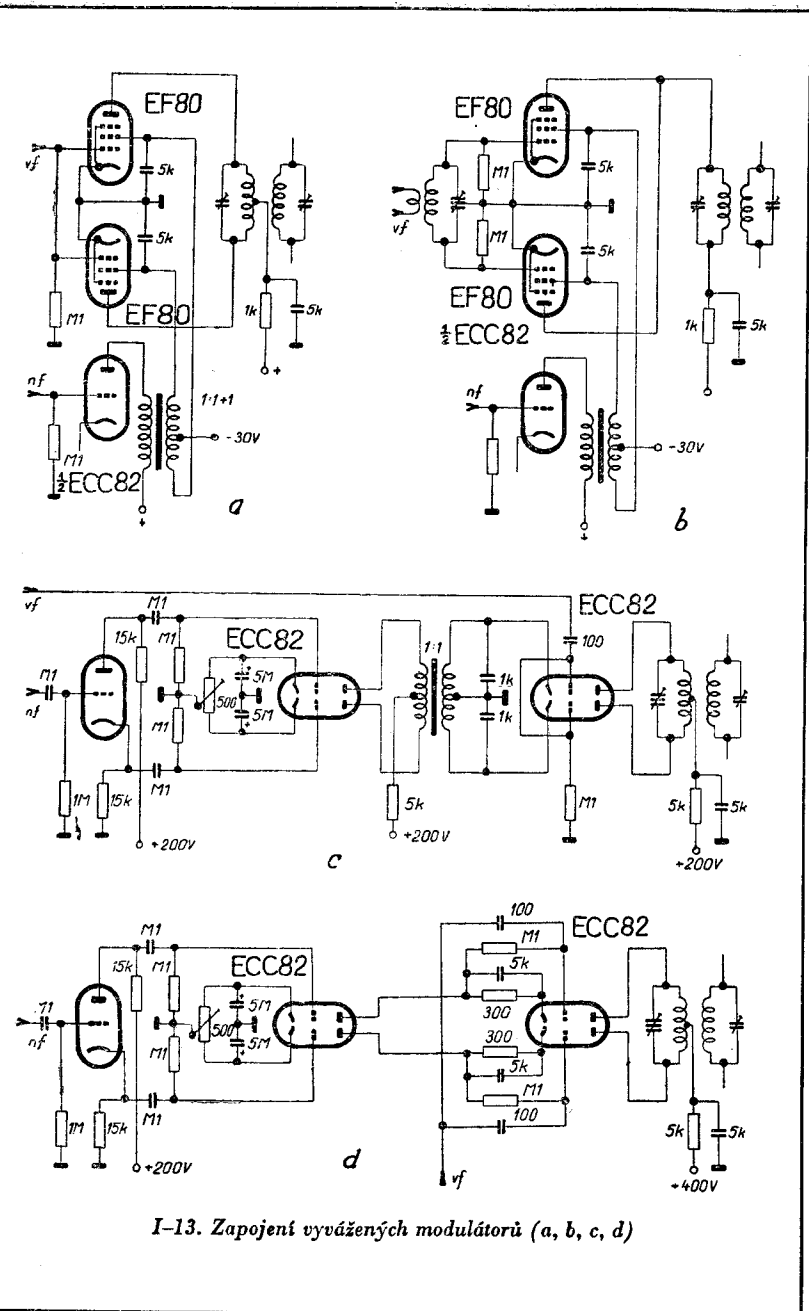
Vyváženému směšovači je velmi podobné zapojení vyváženého modulátoru. V některých případech jsou oba systémy zahrnovány do stejné kategorie, protože mohou zpracovat jak dvě vf napětí, tak jedno vf a jedno nf napětí. Bylo by možno citovat celou řadu různých zapojení, která potlačují jeden nebo oba přiváděné kmitočty a vytvářejí pouze jejich kombinační produkty.



I-12. Zapojení vyvážených modulátorů (a, b, c)

Příkladem dvojího použití vyváženého modulátoru je obr. I-12. Zapojení I-12a pracuje jako měnič kmitočtu. Podmínkou však je, aby kmitočet f_1 byl alespoň třikrát vyšší než f_2 , jinak nastává přímá vazba mezi oběma pásmovými propustmi. Používá se hlavně při směšování mf kmitočtu 450 kHz v budíči pro provoz SSB s kmitočtem prvního oscilátoru, např. 4,35 MHz.

Na obr. I-12b je totéž zapojení, použité pro získání dvou postranních pásem (DSB) a potlačení nosného kmitočtu. V tomto případě jde o sériový vyvážený modulátor, kde je nf napětí z katodového sledovače E_1 zapojeno v sérii s diodovým modulačním obvodem, na který je souměrně přivedeno vf napětí z katodového invertoru E_2 . Vysokofrekvenční proud

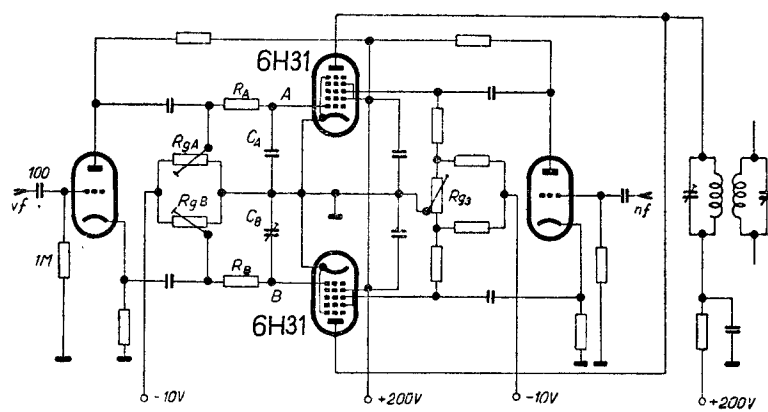


I-13. Zapojení vyvážených modulátorů (a, b, c, d)

protéká vazební cívkou v rytmu spínacího účinku obou diod, současně polarizovaných nízkofrekvenčním napětím, a indukuje v laděném sekundárním obvodu L_2C_2 napětí obou postranních modulačních pásem. Nosný vf kmitočet se na diodovém obvodu ruší. Tento stav lze přesně nastavit symetrizacním potenciometrem a vyvažovací kapacitou invertoru. Obdobné zapojení modulačního obvodu se sériovým řízením souměrnosti je na obr. I-13c. Invertor je vypuštěn a souměrné vf napětí získáváme vazební cívkou s uzemněným středem.

Rovněž další zapojení na obr. I-13 jsou podobná vyváženým směšovačům. Rozdíl je jen v tom, které elektrody jsou zapojeny souměrně, a ve způsobu připojení obou napětí. Nevýhody nf transformátoru odstraňuje zapojení I-13d s kaskádním řazením nf řetězu se stejnosměrnou vazbou.

Potlačení nosného kmitočtu závisí v plné míře na souměrnosti zapojení. Příklad všech opatření, kterými toho dosahujeme, je na obr. I-14. V bodech označených A a B musí být napětí amplitudově shodné a fázově rozdílné přesně o 180° , pokud to dovolí tolerance použitých součástí. Ke zlepšení výsledků je v bodě B zapojen fázovací člen $R_B C_B$, který umožnuje změnu fázového posuvu v mezích 10° až 30° . V bodě A je zapojen fázovací člen $R_A C_A$ s pevně nastaveným posuvem asi 20° . Změnou velikosti kapacity C_A lze vyrovnat fázový rozdíl symetrických napětí v mezích $\pm 10^\circ$. Amplitudy obou napěti řídíme potenciometry R_{gA} a R_{gB} . Rozdíly ve tvaru charakte-

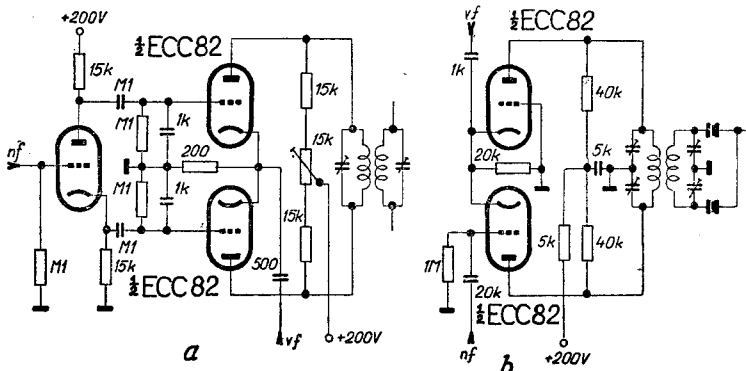


I-14. Korekční prvky vyváženého modulátoru

ristik obou elektronek vyrovnané poměrem předpětí třetích mřížek potenciometrem R_{g3} . Paralelním spojením obou anod odpadá nutnost neutralizace.

Všechna tato opatření jsou poněkud luxusní, avšak výsledky při provozu SSB jsou vynikající. Účinnost všech zapojení je velmi nízká, řádově 5 až 10 %, a proto vždy pracujeme s nízkou úrovní signálů – nejvýše kolem 6 V.

Z triodových zapojení si všimneme ještě dvou dalších: na obr. I-15a s injekcí vf napětí do společného bodu obou katod a symetricky přivedeným nf napětím, a na obr. I-15b zapojení

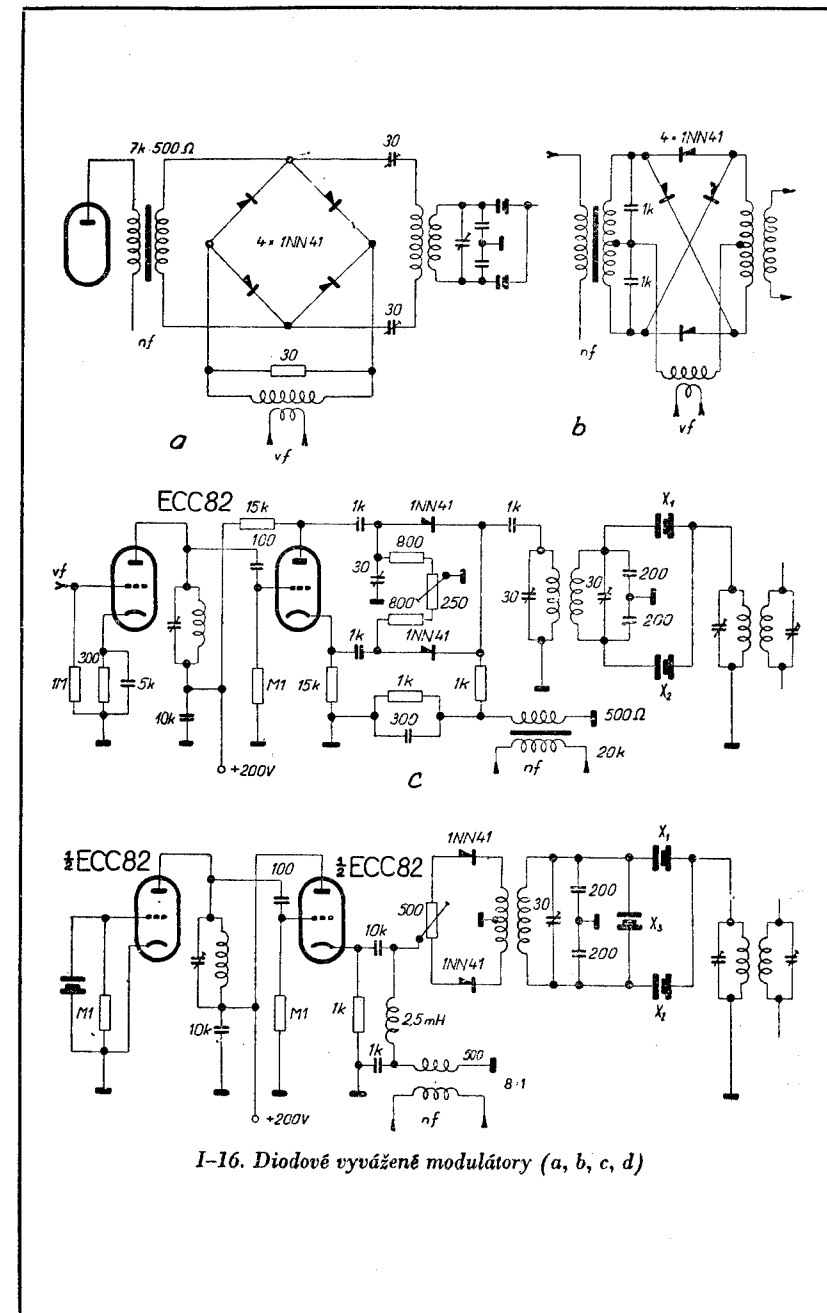


I-15. Vyvážené modulátory s triodami (a, b)

s nesymetrickými vstupy obou napětí. Vf napětí je přivedeno na katody obou elektronek, zatímco nf napětí je buzena řídící mřížka horní elektronky. Na neblokovaném katodovém odporu vzniká budící nf napětí pro dolní elektronku, která pracuje v zapojení s uzemněnou mřížkou. Anodový obvod je symetrický a při dokonalém vyvážení dobře potlačuje vstupní vf napětí. Je naznačeno i připojení pásmové propusti s krystaly. Linearita vzniklých postranních pásů je poněkud horší, avšak pro zařízení s malým výkonem zcela vyhovuje.

Velkou skupinu vyvážených modulátorů tvoří zapojení, ve kterých jsou jako modulační členy použity diody, ať již vakuové, nebo germaniové a křemíkové. Lze jimi snadno dosáhnout potlačení nosného kmitočtu o více než 40 dB.

S jedním z těchto zapojení jsme se již seznámili na obr. I-12, další jsou uvedena na obr. I-16. První je tzv. kruhový modulátor, u něhož jsou obě napětí přiváděna do úhlopříček diodového můstku. Výstupní okruh je rovněž souměrný. Ka-



I-16. Diodové vyvážené modulátory (a, b, c, d)

pacitami 30 pF doladíme primár pásmové propusti na kmitočet postranního pásmá. Druhé zapojení pracuje shodně a je ekvivalentní předchozímu. Záměnou vstupních a výstupních bodů obou napětí vznikl článek se zkříženými členy, a proto byly upraveny i napájecí okruhy. Třetí zapojení bylo odvozeno vypuštěním dolní poloviny diodového můstku. Vf napětí zůstává souměrné, nf napětí je přiváděno nesouměrně. Důležité je kapacitní přemostění sekundáru nízkofrekvenčního transformátoru, aby byla uzavřena cesta pro vysokofrekvenční proudy. Trimrem 30 pF vyvažujeme nerovnováhu kapacit katodového sledovače.

Na obr. I-16d je velmi jednoduché řešení vyváženého modulátoru. Obě napětí jsou přivedena nesouměrně do společného bodu středícího potenciometru. Výstup diodového modulátoru je souměrný, takže při vyvážení potlačuje obě základní napětí. Připojený krystalový filtr potlačuje jedno postranní pásmo a harmonické kmitočty vzniklé při modulaci.

D. Pásmové propusti a filtry

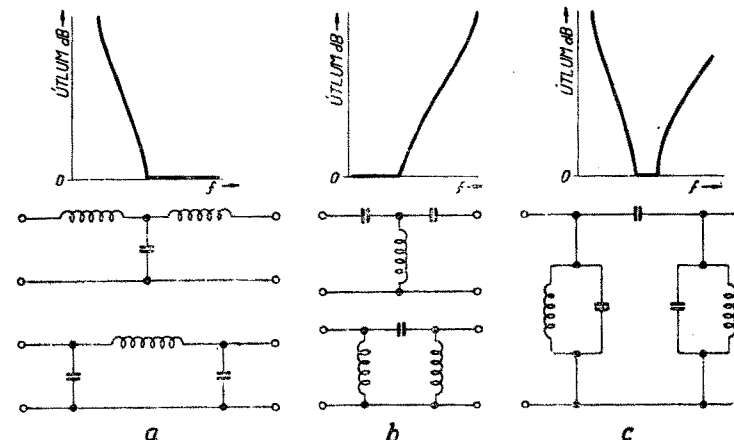
V přijímačích a v budičích vysílačů objevuje se často požadavek vytvořit takový obvod, který by propouštěl určité pásmo kmitočtů bez znatelného útlumu a ostatní kmitočty nižší i vyšší podstatně potlačoval. Takovými obvody jsou pásmové propusti. Na obr. I-17 jsou idealizované charakteristiky některých důležitých druhů propustí, užívaných v radiotechnice, spolu se zapojením obvodů [L 4].

I-11. VSTUPNÍ PÁSMOVÉ PROPUSTI PŘIJÍMAČE

V obvodech vstupních zesilovačů přijímače používáme pásmových propustí poměrně zřídka. U přijímačů pro nízké kmitočty je však obtížné získat dostatečnou šířku pásmá propustnosti vstupních obvodů pro telefonní provoz. Rezonanční obvody mají poměrně velký činitel jakosti a tím strmé boky rezonanční křivky s úzkým vrcholem. V těchto případech zařazujeme místo jednoduchého obvodu LC laděnou pásmovou propust (obr. I-18a), i když tím vzrůstá počet sekcí proměnného

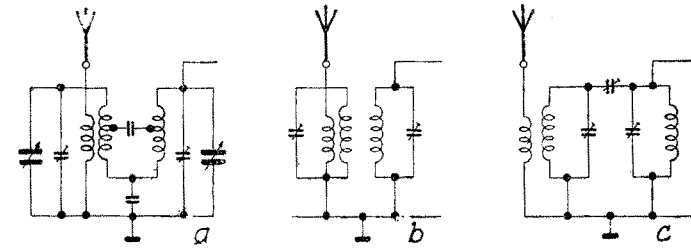
kondenzátoru. Při větším rozladění (až 1 : 2,5) se značně mění velikost činitele vazby, proto musí být použito takové kombinace vazebních členů, která tyto změny vyrovnává.

Na krátkých vlnách je šířka pásmá propustnosti dostatečná



I-17. Zapojení a idealizované charakteristiky propustí: a – hornofrekvenční propust, b – dolnofrekvenční propust, c – pásmová propust

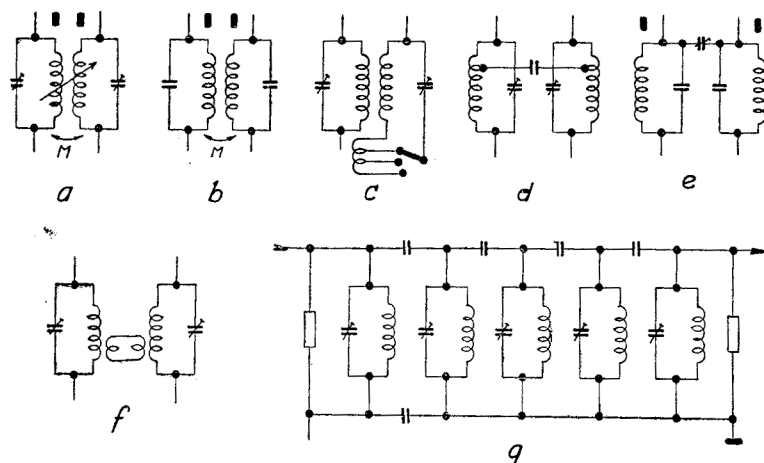
a je určena především mezifrekvenčními obvody. Chceme-li se vyhnout doladování vstupních obvodů při malém rozladění, používáme opět pásmové propusti, tentokrát neladěné, s jednoduchou kapacitní nebo induktivní vazbou (obr. I-18b, c). Je pochopitelné, že tím omezíme pásmo přijímaných kmitočtů na malý úsek, široký nejvýše 500 kHz, např. amatérské pásmo 7 MHz. Výpočet je poměrně obtížný [L 5], a proto se omezíme na několik praktických příkladů, uvedených ve druhé kapitole.



I-18. Zapojení vstupních pásmových propustí přijímače: a – laděná propust, b, c – neladěná propust

I-12. PÁSMOVÉ PROPUSTI PRO MEZIFREKVENCE PŘIJÍMAČŮ

Konstrukční provedení vícestupňových plynule laděných zesilovačů je značně komplikované, protože vyžaduje mnohonásobný ladící kondenzátor s přesným souběhem jednotlivých dílů. Proto u selektivních zesilovačů, přijímačů a budičů pro vysílače převádíme vstupní proměnný kmitočet pomocí směšovacích pochodů na určitý stálý kmitočet, tzv. mezifrekvenci. Pak je jednoduché vyrobit třeba pětistupňový, pevně laděný zesilovač s dostatečným ziskem a přesně definovanou křivkou propustnosti.



I-19. Různá zapojení mezifrekvenčních pásmových propustí: a - s pevnou induktivní vazbou, b - s plynule měnitelnou induktivní vazbou, c - se stupňovitě měnitelnou vazbou, d, e - s kapacitní vazbou, f - s linkovou vazbou obvodů, g - propust se soustředěnou selektivností

Šířka propouštěného pásma je závislá na činiteli jakosti vázaných obvodů propustí a na velikosti jejich vzájemné vazby. Pro telegrafní provoz je obvyklá šířka pásma 300 Hz až 2 kHz, při telefonii 3 až 8 kHz. V obvodech s indukčnostmi a kapacitami volíme v prvním případě mf kmitočet 60 až 500 kHz, ve druhém případě 400 kHz až 1,5 MHz v závislosti na přijímaném kmitočtu. Během doby se ustálily nebo byly normalizovány mf kmitočty 50 až 60 kHz, 110 až 150 kHz, 460 až 470 kHz, 1200, 1600, 1900, 2200, 4500 a 8400 kHz. Rovněž

zapojení mf zesilovačů s pásmovými propustmi setrvává na určitém počtu a typu stupňů.

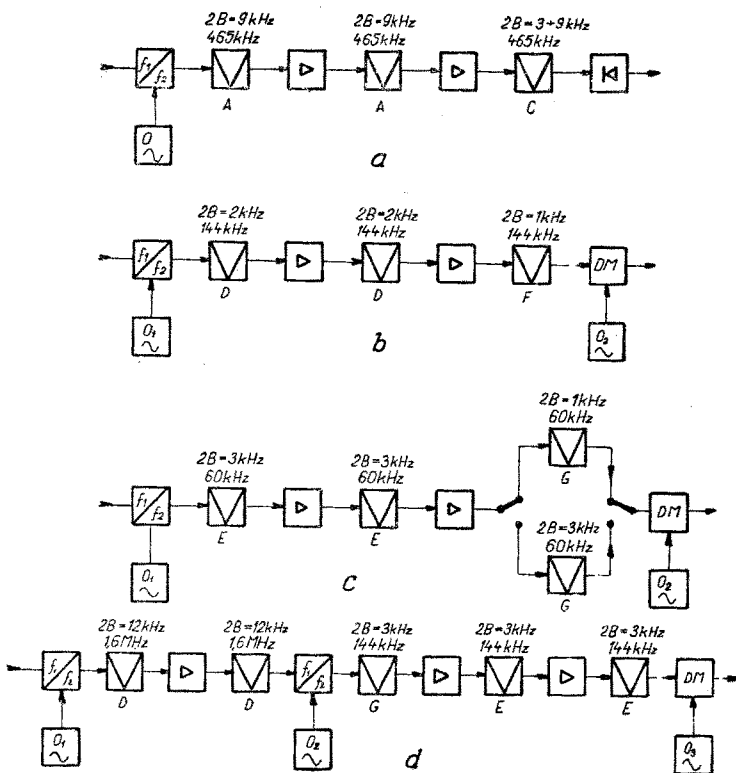
Na obr. I-19 je uvedeno zapojení některých druhů propustí, používaných v obvodech mf zesilovačů. Při jejich výběru a návrhu musí být splněna řada podmínek. Především je to stupeň vazby mezi vstupními a výstupními body elektronek zesilovače, který závisí na počtu zesilovačích stupňů, strmosti a statických kapacitách elektronek. Dále je to míra zisku na jeden stupeň, určená podmínkami stabilitu zesilovače. Podle požadovaného tvaru křivky propustnosti volíme činitele jakosti indukčních cívek, druh a velikost vzájemné vazby mezi členy pásmové propusti. Použijeme-li továrně vyrobených pásmových propustí (hovorový název je mezifrekvenční transformátor), musíme alespoň přibližně vědět, pro jaký druh elektronek byly navrženy. Podle toho určíme počet a zisk zesilovačů. U mf propustí, které nemají vyvedeny odbočky pro vazbu elektronek, musíme použít zesilovacích elektronek s menší strmostí a co nejmenší průchozí kapacitou. Tuto otázku nesmíme podceňovat, protože vlastní kmity (oscilace) mf zesilovacího řetězu velmi snadno vznikají, ale těžko se dají odstranit [V 5].

Nejčastěji se setkáváme s pásmovou propustí s pevnou induktivní vazbou, dolaďovanou jádry cívek (typ a). Primární cívka má vyvedenu odbočku pro připojení anody zesilovací elektronky. Provedení s plynule měnitelnou induktivní vazbou (typ b) je nestabilní a pro dobrý přijímač se nehodí. Lepší je provedení se stupňovitě proměnnou vazbou (typ c) ve spojení s dobrým přepínačem. Ve sdělovacích superhetech jsou obvykle používány typy (d, e) s čistě kapacitní vazbou, dolaďované trimry nebo jádry cívek. U posledních dvou provedení je stupeň vazby přesně definován a v malých mezích snadno měnitelný. Při provozu uskutečňujeme změnu šířky pásma přídavným tlumením obvodů, i když tím poněkud klesá zesílení. Zvláštním typem propusti je zapojení se soustředěnou selektivností (typ g), které umožňuje získání velmi strmých boků rezonanční křivky, blížící se tvarově obdélníku.

Na skupinových schématech (obr. I-20) je znázorněno použití některých typů propustí v zesilovacím řetězu. Snadno poznáme, jak se liší typické zapojení rozhlasového přijímače (I-20a) s velkou šíří pásma propustnosti od sdělovacího superhetu pro telegrafní provoz na kmitočtech do 2 MHz (obr. I-20b). Samostatný mezifrekvenční zesilovač pro telegrafní a SSB provoz (obr. I-20c) může být pro krátkovlnný příjem zapojen za konvertor, nebo na výstup mf části sdělovacího superhetu. Tím

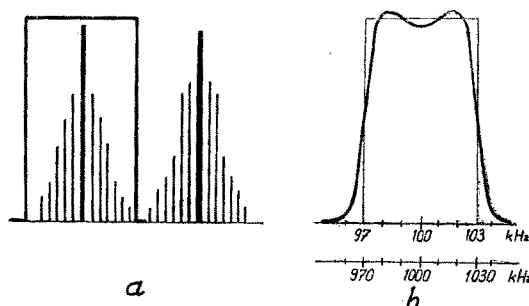
vznikne zapojení podle obr. I-20d – superhet s dvojím směšováním.

Při zařazení člena, který má podstatně ovlivnit křivku propustnosti přijímače, musíme dbát na to, aby ostatní propusti měly alespoň stejnou šířku pásma. Zúžení dosáhneme obvykle v jediném stupni členem tvaru c nebo g , který zařazujeme jako první článek bezprostředně za příslušný směšovač. Podle nejnovějších poznatků se tím podstatně omezí vznik kombinačních kmitočtů, které jsou nežádoucími produkty směšování. U telegrafních přijímačů je někdy poslední obvod mf zesilovače tvořen jen jednoduchým členem LC , aby nevznikala deformace souměrného tvaru křivky propustnosti.



I-20. Skupinová schémata přijímačů: a - rozhlasový přijímač, b - sdělovací superhet do 2 MHz, c - mezfrekvenční zesilovač pro telegrafii a SSB, d - superhet s dvojím směšováním

Podmínkou správné činnosti vícestupňového mf zesilovače je naprostá shodnost středního kmitočtu pásma propustnosti u všech členů mf řetězu, jinak se přes zařazení úzkopásmové propusti nepodaří dosáhnout žádaných výsledků, ale spíše naopak. Šíře pásma vzrůstá s odchylkami středního kmitočtu propustí při současném poklesu zesílení. Připomeňme si, že mf zesilovač s rozdílnými středními kmitočty vazebních členů má charakter širokopásmového zesilovače s tzv. rozloženým laděním, který používáme např. v televizních přijímačích.



I-21. Tvar křivky propustnosti přijímače: a - ideální, b - prakticky dosažitelný

Jedinou výjimkou, kdy se střední kmitočet propusti typu g liší od ostatních, je člen pro výběr postranního pásma při provozu SSB. Jeho volbou se budeme zabývat v dalším oddílu.

V předešlých příkladech zapojení bylo použito několik různých mezfrekvenčních kmitočtů. Jejich volba je určena předepsanou šířkou pásma propustnosti. U obvodů složených výhradně z indukčností a kapacit je strmost boků rezonanční křivky určena převážně činitelem jakosti obvodu. Při nízkých kmitočtech, asi do 500 kHz, snadno dosáhneme hodnot $Q = 150$, takže se můžeme značně přiblížit ideálnímu tvaru křivky propustnosti-objednáku (obr. I-21a). Při zvyšování středního kmitočtu zůstává relativní tvar křivky pro stejné procento rozladění na obě strany stejný, ale šířka propouštěného pásma úměrně vzrůstá. Názorně to ukazuje obr. I-21b, kde na dvou stupnicích kmitočtů pro 10% rozladění odebíráme šířku pásma v prvním případě ± 3 kHz, ve druhém ± 30 kHz.

Nejsnáze dosáhneme úzkého pásma při nízkých mf kmitočtech, řádově do 200 kHz. U superhetů s touto mezfrekvencí velmi obtížně získáváme potřebnou zrcadlovou selektivnost.

Proto musíme volit mf kmitočty poněkud vyšší, zpravidla pro vstupní kmitočty do 2 MHz postačí mezifrekvence 60 kHz, do 8 MHz 500 kHz a nad 10 MHz alespoň 1500 kHz. Před směšovačem zařazujeme nejméně jeden laděný zesilovač, který má pásmo propustnosti užší než dvojnásobek mezifrekvenčního kmitočtu (při poklesu 20 dB).

Závislost pravého a zrcadlového signálu a zároveň selektivnost mf stupňů ukazuje obr. I-22. Jsou zvoleny dva příklady: v prvním je mf kmitočet 1500 kHz, ve druhém 500 kHz. Telegrafní signál, který chceme přijímat, má kmitočet 14,000 MHz, rušivý signál 14,002 MHz. Předpokládáme, že na kmitočtu 15,000 MHz pracuje velmi silná rozhlasová stanice. Sledujme nyní cestu všech tří signálů.

Příklad 1. – Vstupní laděný obvod a druhý laděný obvod značně potlačí signály, vzdálené od přijímaného pásmo o dvě mezifrekvence, to je 18,000 MHz, takže nebezpečí rušení zrcadlovými signály nehrozí. Bez zeslabení procházejí všechny tři kmitočty 14,000, 14,002 i 15,000 MHz. Ve směšovači ve spojení s oscilátorem vytvoří kmitočty:

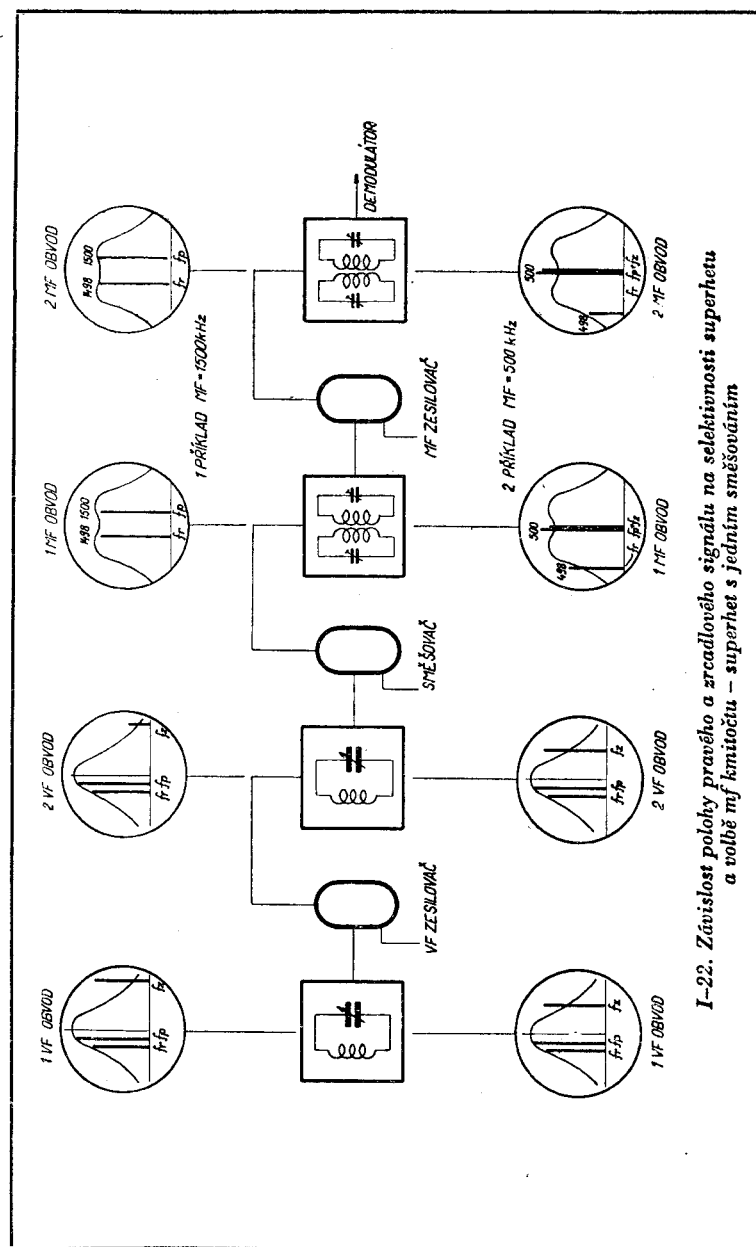
- $14,000 + 15,500 = 29,500 \text{ MHz}$,
- $15,500 - 14,000 = 1,500 \text{ MHz}$,
- $15,000 + 15,500 = 30,500 \text{ MHz}$,
- $15,500 - 15,000 = 0,500 \text{ MHz}$,
- $14,002 + 15,500 = 29,502 \text{ MHz}$,
- $15,500 - 14,002 = 1,498 \text{ MHz}$.

Mf pásmová propusť potlačí kmitočty a, c, d, e, které leží mimo pásmo propustnosti, a zesílí pravý signál (b) právě tak, jako rušivý signál (f). Výsledkem je interferenční tón 2 kHz (rozdíl b minus f), příjem je možný s obtížemi.

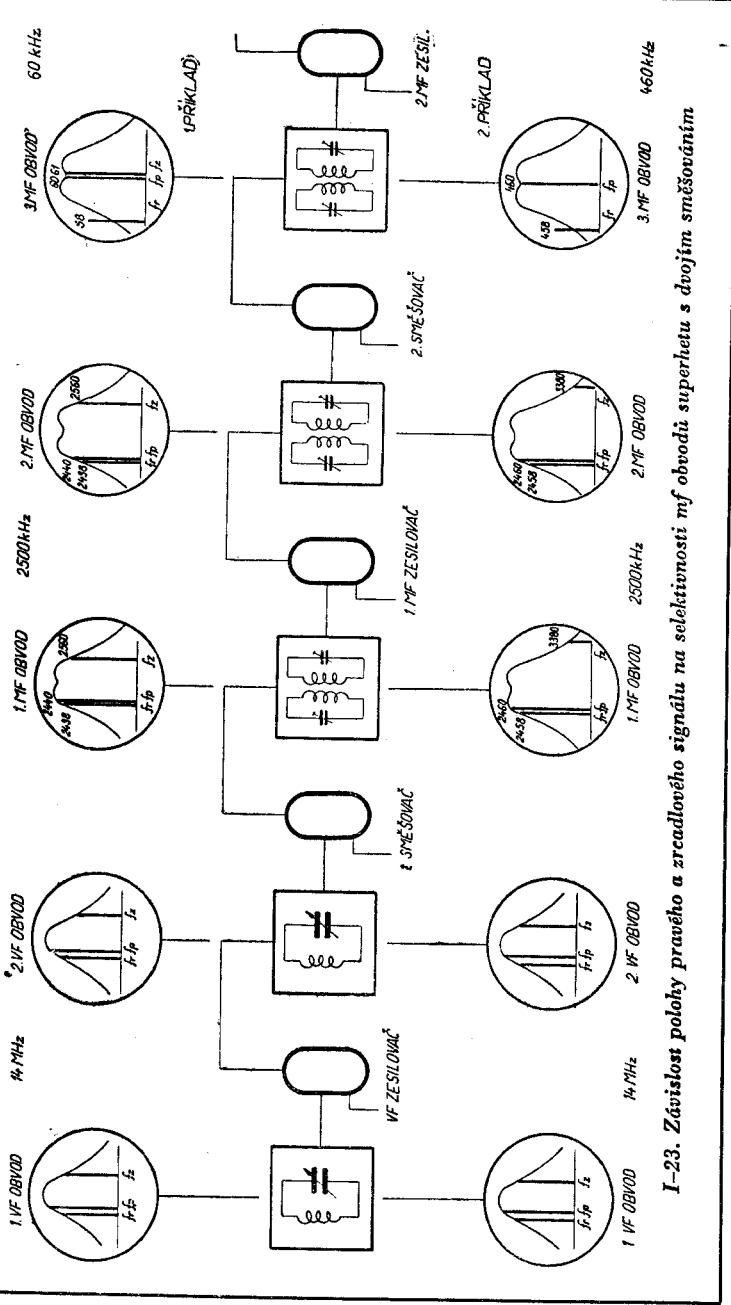
Příklad 2. – Vstupní laděný obvod má na kmitočtech nad 10 MHz značnou šířku pásmá propustnosti, takže propouští všechny tři signály bez znatelných rozdílů právě tak, jako druhý laděný obvod. Ve směšovači se vytvoří kmitočty:

- $14,000 + 14,500 = 28,500 \text{ MHz}$,
- $14,500 - 14,000 = 0,500 \text{ MHz}$,
- $15,000 + 14,500 = 29,500 \text{ MHz}$,
- $15,000 - 14,500 = 0,500 \text{ MHz}$,
- $15,000 - 14,500 = 0,500 \text{ MHz}$,
- $14,002 + 14,500 = 28,502 \text{ MHz}$,
- $14,500 - 14,002 = 0,498 \text{ MHz}$.

Mf pásmová propusť vybere z těchto šesti kmitočtů ty, které spadají do pásmá propustnosti, to je případ b, d, f. Ostatní kmitočty jsou potlačeny. Výsledkem je silná interferenční



I-22: Závislost polohy pravého a zrcadlového signálu na selektivnosti superhetu
a volbě mf kmitočtu – superhet s jedním směšováním



kmitočtů pravého signálu (b) a zrcadlového signálu (d) a příjem je nemožný. Rušivý signál 14,002 MHz leží těsně na hranici propouštěného pásmu a je možno ho odladit.

Přesvědčili jsme se, že vysoký mf kmitočet má své přednosti ve velké zrcadlové selektivitě, avšak je obtížné odladit rušivý signál, zatímco při nízkém mf kmitočtu je možno dosáhnout dobré signálové selektivnosti, avšak jen těžko potlačit silné zrcadlové signály.

Východiskem je spojení výhod vysokého i nízkého mf kmitočtu v superhetu s dvojím směšováním. Kromě dvou směšovačů objeví se i dva druhy pásmových propustí. Ani zde však nejsme ušetřeni obtíží se zrcadlovými kmitočty, tentokrát sekundárními. Při velkém rozdílu prvního a druhého mf kmitočtu nestačí první mezifrekvenční zesilovač dostatečně potlačit signály, kmitočtově vyšší o dvojnásobek druhé mezifrekvence. Výsledkem je opět interferenční rušení příjmu (obr. I-23, první příklad). Při správné volbě obou mf kmitočtů jsou však vlastnosti přijímače vynikající (obr. I-23, druhý příklad).

I-13. PÁSMOVÉ PROPUSTI BUDIČŮ

Problematika směšování kmitočtů v budiči vysílače má mnoho společného s obvody přijímače. I když je možno volit menší počet zesilovacích stupňů, protože pracujeme s daleko vyšší úrovní napětí, přece jen je výhodnější použít pásmových propustí místo plynule laděných stupňů. Značně větší strmost boků rezonanční křivky umožňuje i zde lepší potlačení nežádoucích kmitočtů, které obvykle leží velmi blízko pracovních oblastí.

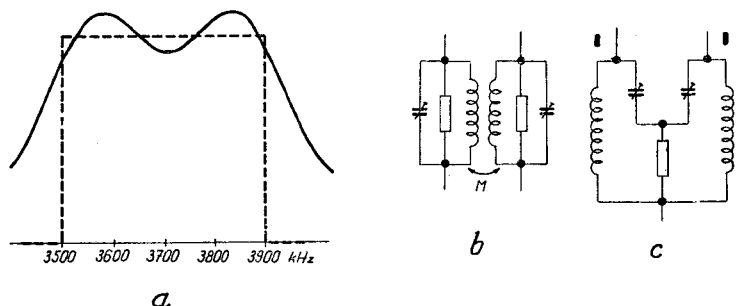
Rozdíly proti přijímačům jsou obvykle v šířce pásmu propustnosti, která dosahuje až 500 kHz i více. Proto jsou povoleny i větší rozdíly tvaru křivky, který se značně odchyluje od obdélníka (obr. I-24a). Mnohdy je nutné i umělé snížování činitele jakosti připojením tlumicích odporů. Obvyklý způsob zapojení propusti v budiči je na obr. I-24b,c.

Střední kmitočty pásmových propustí je možno volit libovolně, je však obvyklé, že kromě výstupních obvodů nikdy nepracují na takových kmitočtech, které spadají do oblasti provozních rozsahů vysílače.

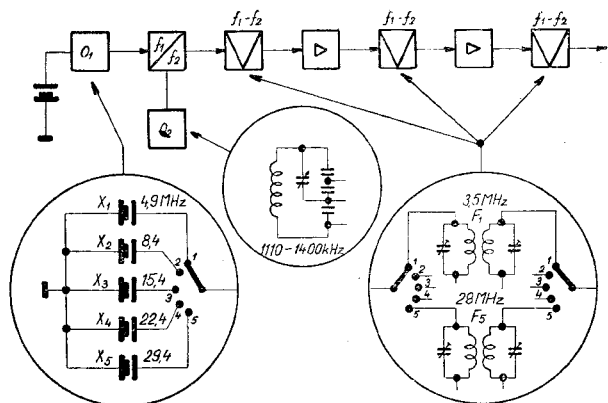
Mohou se vyskytnout i zrcadlové kmitočty, jestliže neprovědeme důslednou kontrolu všech pravděpodobných případů, ve kterých se před směšovačem vyskytují dvě kmitočtově blízká napětí. Nesmíme zapomenout ani na to, že při přetížení smě-

šovače vznikají harmonické kmitočty obou směšovaných napětí, jejichž rozdíly nebo kombinace s původními kmitočty mohou ležet nepříznivě blízko pracovní oblasti.

Příklad použití pásmových propustí v budiči vysílače je na obr. I-25. Rozdíly kmitočtů dvou oscilátorů budiče, pevného



I-24. Pásmové propusti, užívané v obvodech budičů: a - obvyklý tvar křivky propustnosti, b - zapojení s induktivní vazbou, c - zapojení s kombinovanou vazbou



I-25. Skupinové schéma zapojení budiče s pásmovými propustmi

a proměnného, leží v amatérských krátkovlnných pásmech. Jejich volba se uskutečňuje přepínáním pevných kmitočtů současně s pásmovými propustmi. Tím je značně omezen počet laděných a ovládaných prvků ve srovnání se starší koncepcí budiče, kde bylo nutno buď odděleně, nebo v souběhu ladit a přepínat násobiče kmitočtu.

I-14. FILTRY A PROPUSTI S KRYSTALY

Výbrusy křemenných krystařů, získané určitou orientací řezu, mají při zapojení do kmitavých obvodů příbuzné vlastnosti jako členy složené z indukčnosti a kapacit. Činitel jakosti krystalového rezonátoru je však mnohem vyšší, rádově 50 000. Způsob výroby, druhy řezů a základní vlastnosti jsou podrobně popsány v literatuře [L 6] [L 7].

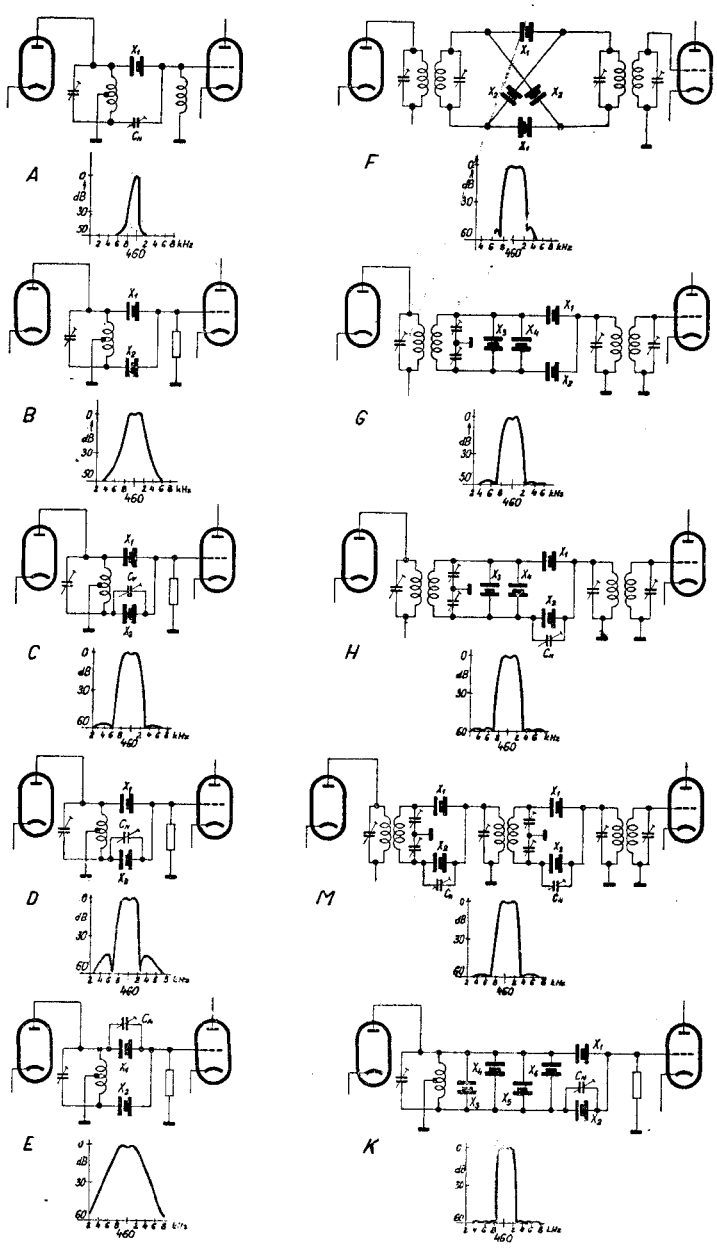
Pro použití krystalů ve filtroch a propustích jsou podstatné dvě veličiny: paralelní a sériový rezonanční kmitočet krystalu, které se navzájem místně liší. Sériová rezonance leží vždy kmitočtově níže a je určena pouze vlastními parametry krystalu. Paralelní rezonance nastává na kmitočtu nepatrně vyšším než sériová a je ovlivněna hlavně kapacitou držáku krystalu nebo jeho stříbřených ploch. Oba kmitočty nelze vnějším zásahem podstatně ovlivnit.

Dalšími neměnnými parametry krystalu jsou jeho impedanční vlastnosti. Na kmitočtech nižších než rezonanční oblast chová se krystal jako kapacita (určená konstrukcí), při sériové rezonanci je jeho impedance velmi malá a čistě ohmická. Při paralelní rezonanci se krystal chová jako velmi veliký ohmický odpor a na vyšších kmitočtech převládá složka induktivní, určená tloušťkou a řezem krystalu. Na kmitočtech podstatně vzdálených od bodu rezonance nabývá impedance krystalu opět kapacitního charakteru. Vlastní kapacita krystalu je velmi malá, např. $1,26 \cdot 10^{-2}$ pF, indukčnost velmi veliká, rádově 2 H, sériový odpor 100 Ω a kapacita držáku až desítky pF (průměrné hodnoty krystalu 1 MHz, řezu AT se stříbřenými stěnami, ve vzduchu).

Podle toho si můžeme představit, jak výhodné vlastnosti má krystal jako vazební člen. Malá průchozí kapacita, kterou obvykle snadno neutralizujeme můstkovým zapojením, podstatně omezuje vazbu při kmitočtech mimo rezonanci. Zanedbatelný odpor při sériové rezonanci a veliký činitel jakosti zaručují úzké pásmo propustnosti a rezonanční křivku s velmi strmými boky, jaké nelze dosáhnout použitím běžných obvodů se členy LC .

Existuje celá řada zapojení propustí a filtrů s paralelním a sériovým řazením krystalů. Pomocí obr. I-26 si vysvětlíme jejich základní vlastnosti.

Zapojení typu A používáme v jednoduchých přijímačích pro příjem telegrafie. Paralelní obvod L_0C_0 s uzemněným elektrickým středem cívky je vyladěn přibližně ve shodě se sériovým



I-26. Selektivní pásmové propusti s krystalovými výbrusy A—K

rezonančním kmitočtem krystalu X 1. Trimrem C_N neutralizujeme kapacitu držáku krystalu, takže plná vazba existuje jen pro jediný kmitočet, určený sériovou rezonancí krystalu X 1. Ostatní kmitočty jsou značně potlačeny. Vrchol křivky propustnosti je velmi ostrý, obvykle několik desítek Hz. Při praktickém použití sehrává svou úlohu především nestabilnost oscilátoru přijímače a různé teplotní a mechanické vlivy, takže nelze využít plné selektivnosti. Naladěním obvodu přesně do rezonance poněkud vzrůstá pásmo propustnosti za cenu menší strmosti boků křivky. Přijímaný signál snáze vyladíme. Selektivnost vzrůstá s rozladěním obvodu. Změnou kapacity C_N lze nastavit tzv. rejekční kmitočet (je to paralelní rezonance krystalu, při které má krystal největší impedanci), ve kterém dochází k teoreticky nekonečnému útlumu. Při kapacitě C_N větší než je neutralizační hodnota leží rejekční bod na straně nižších kmitočtů, při menší hodnotě C_N dochází k rejekci při vysokých kmitočtech.

Tvar křivky propustnosti je vždy mírně nesouměrný, což může nepříznivě ovlivnit vyladění signálu. Proto se častěji používá zapojení typu B, ve kterém je neutralizační kapacita nahrazena druhým krystalem X 2 stejně provedení se sériovým rezonančním kmitočtem odlišným např. o 1,8 kHz. Souměrný obvod je naladěn na střed mezi kmitočty obou krytalů a využívan, jestliže je odbočka cívky přesně v elektrickém středu. Nevznikají rejekční body a křivka propustnosti je velmi souměrná. Vrchol je při správném naladění obvodu plochý, při rozladění objeví se dva vrcholy s odstupem asi 2 kHz, obdobné nadkritické vazbě pásmové propusti se dvěma vázanými obvody LC. Šířka pásmá propustnosti je pro uvedené hodnoty krytalů a při středním kmitočtu 450 kHz asi 10 kHz při poklesu o 60 dB (1000×). Při menším rozdílu kmitočtů krytalů zužuje se i pásmo propustnosti.

Při přemostění krytalu s vyšším rezonančním kmitočtem malou kapacitou, např. trimrem 0,5 až 2 pF, vznikne zapojení typu C. Znovu se objeví rejekční body po obou stranách křivky propustnosti, které se při zvětšování kapacity C_V současně přibližují ke středu křivky. Přitom se objevují postranní hrby, které při překročení optimální hodnoty kapacity C_V prudce vzrůstají. Vzniká křivka tvaru D. Znovu je třeba připomenout, že obvod L_0C_0 musí být naladěn na střední kmitočet pásmá propustnosti, jinak vzniká hluboké sedlo uprostřed křivky.

Po všech stránkách nevhodné je připojení paralelní kapacity ke krytalu s nižším kmitočtem. Křivka propustnosti má velmi

širokou základnu, podobnou obvodu *LC*. Vlastnosti obou krystalů jsou tím znehodnoceny (typ E).

Všechny dosud popsané typy krystalových propustí patří do skupiny jednoduchých polosouměrných zapojení. Dokonale symetrický tvar křivky propustnosti má můstkové zapojení čtyř krys alů, které je však velmi náročné po stránce shodnosti dvojic krystalů, jejichž kmitočty se mohou lišit nejvýše o 20 Hz při sériové rezonanci v okolí 500 kHz. To vyžaduje tzv. párování krystalů přímo ve výrobě. V zapojení typu F je nutno řadit za sebou dva můstkové obvody s krystaly, jejichž sériové rezonanční kmitočty se liší o 3,7 kHz, abychom dosáhli pásma propustnosti 6 až 8 kHz při poklesu o 60 dB. Nároky na přesnost kmitočtu a provedení jsou vysoké. Předností je plochý vrchol křivky propustnosti s velmi strmými boky. Při poklesu 6 dB je šířka pásma jen o 20 % menší než hodnota při potlačení o 65 dB.

Přemostěné polosouměrné zapojení typu G využívá rovněž čtyř krystalů, u kterých však nejsou nároky na shodnost kmitočtů tak přísné. Dosažené výsledky jsou teměř stejné jako u předchozího příkladu. Kmitočty krystalů jsou odstupňovány po 1,8 kHz tak, že nejnižší kmitočet má krystal X 4, následuje X 1, X 2 a X 3. Základní tvar křivky je shodný s typem C, rejekční body kmitočtově odpovídají sériové rezonanci krystalů X 3 a X 4 a jsou pevné, v našem případě symetricky položené vždy 3,6 kHz od středu křivky. I zde je výhodné zapojení dvou stejných propustí za sebou s jedním mf zesilovačem. Docílí se strmějších boků křivky. Kmitočty odpovídajících dvojic krystalů se mohou lišit až o 100 Hz při středním kmitočtu 500 kHz, aniž by se znatelně zhoršily vlastnosti propustí.

Zapojením malé kapacity C_N paralelně ke krystalu X 2 (typ H) objeví se další dvojice rejekčních kmitočtů, obdobně jako u typu C, které lze změnou kapacity C_N mírně posouvat ke středu křivky a naopak. Výhodné je umístění této dvojice rejekčních bodů asi s odstupem 1 kHz od sériové rezonance krystalů X 3, X 4. Získáme i strmější boky křivky, protože oba původní rejekční body se mírně posunou ke středu křivky. Pásma propustnosti je široké asi 2 kHz u vrcholu křivky s mírným sedlem a 4 kHz u paty křivky při potlačení více než 60 dB.

Obdobné vlastnosti má zapojení typu K, vzniklé připojením další dvojice krystalů paralelně k obvodu $L_0 C_0$. Zvýší se hlavně strmost boků křivky a značně se potlačí boční hrby. Odstup obou krystalů je opět 1,5 až 1,8 kHz níže a výše od rezonance krystalů X 4 a X 3, takže směrem od nejnižšího k nejvyššímu kmitočtu je pořadí krystalů X 6, X 4, X 1, X 2, X 3, X 5.

Připojením paralelních krystalů se pochopitelně mírně rozladí obvod $L_0 C_0$, který musíme doladit opět na střed pásma mírným zmenšením kapacity C_0 . Další zvětšování počtu krystalů je nehospodárné. Výhodnější je kaskádní zapojení dvou shodných propustí s menším počtem krystalů.

Všechny křivky propustnosti jsou kresleny ve stejném měřítku pro kaskádní zapojení dvou propustí s jedním mf zesilovačem, takže můžeme vhodnost jednotlivých typů snadno posoudit. Vhodné zapojení takového selektivního zesilovače je na obr. I-26m.

Pro úplnost uvedeme ještě tabulkou, podle které je možno odhadnout šířku pásma propustnosti při použití článku typu C. Hodnoty platí přesně pro pokles 6 dB. Křivka se rozšiřuje u jednoho obvodu přibližně o 300 Hz pro každých 6 dB útlumu.

Tabulka I-1. Šířka pásma propustnosti propusti s krystaly typu C

Rozdíl $X_1 - X_2$ kHz	2,8	2,5	1,5	1,0	0,9	0,6	0,4
Šířka pásma kHz	3,3	3,0	2,0	1,5	0,8	0,4	0,15

Použití jednotlivých typů propustí je celkem jednoznačně určeno jejich vlastnostmi: v přijímači pro telegrafní provoz používáme všechny uvedené typy propustí s výjimkou nevhodných zapojení D a E. Některá zapojení jsou však příliš nákladná, proto je možno doporučit pro přijímače horší jakosti jednoduchý filtr typu A, pro jakostní přístroje rovněž jednoduché provedení typu C. Pro příjem telefonie s výběrem jednoho postranního pásma používáme jednoduché propusti typu H nebo F, případně pro náročnejší účely kaskádní řazení dvou propustí tvaru C, F nebo H.

Ve směšovacích budičích vysílačů s dekadickou syntézou kmitočtu se uplatní především jednoduché zapojení typu C, v obvodech pro telefonii s jedním postranním pásmem, kde jsou přísné požadavky na strmost boků křivky propustnosti, je nutno použít kaskádní řazení dvou propustí typu C, F, H nebo K.

I-15. KRYSTALOVÉ PROPUSTI S MĚNITELNOU ŠÍŘKOU PÁSMA

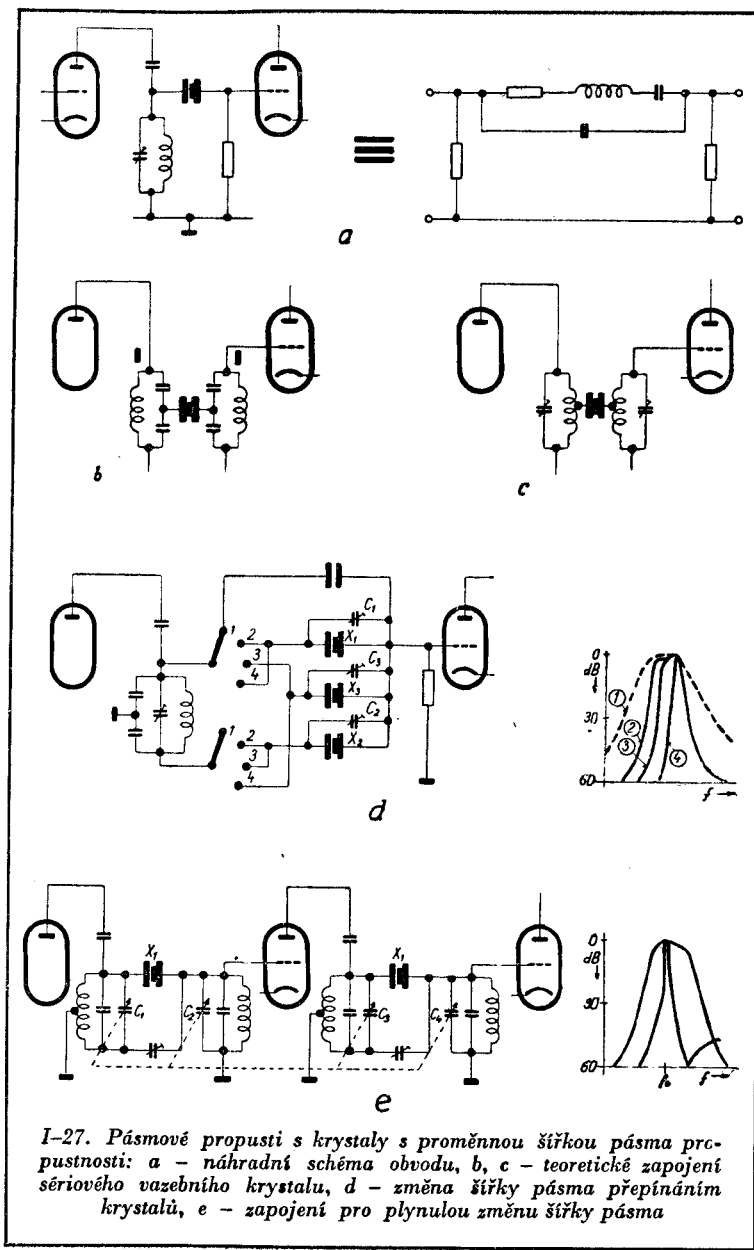
Všechny druhy propustí, se kterými jsme se dosud seznámili, jsou navrženy pro stálou šířku propouštěného pásmá. To je do určité míry nevýhodné, protože při výskytu blízkých rušivých signálů při telefonním provozu nemáme dostatek možností k potlačení nežádoucích kmitočtů. Při telegrafním provozu v takovém případě postačí zařazení selektivního filtru v nízko-frekvenčním řetězu, kterým zdůrazníme pouze žádaný kmitočet a ostatní potlačíme.

Šířku pásmá propustnosti můžeme měnit za určitých podmínek vhodným uspořádáním jednotlivých členů přímo v obvodech krystalů. Objasníme si základní podmínky, které určují velikost tlumení krystalů a tím i šířku pásmá propustnosti.

Hlubším rozbořem [L 9] zjišťujeme, že šířka pásmá je nepřímo úměrná činiteli jakosti okruhu s krystalem. Malá šířka pásmá odpovídá velkému činiteli jakosti obvodu a naopak. Podstatný vliv na velikost zobecněného činitele jakosti má rezonanční odpor obvodu $L_0 C_0$, ke kterému je krystal vázán. Tento obvod je vždy laděn do paralelní rezonance, jejíž kmitočet se nepatrně liší od sériové rezonance krystalu. Tento rozdíl je určen poměrem vlastní kapacity krystalu a vstupní kapacity následujícího zesilovacího stupně. Impedance obvodu při paralelní rezonanci je vždy mnohem větší než vnitřní sériový odpor krystalu a je reálná. Se zvětšováním této impedance klesá velikost zobecněného činitele jakosti celého obvodu a roste šířka pásmá propustnosti. Zjednodušené zapojení takového obvodu a jeho náhradní schéma je uvedeno na obr. I-27a.

První možností řízení šířky pásmá je zmenšení podílu reálné složky impedance obvodu LC na činiteli jakosti. Připojením vazebního krystalu na odbočky obvodů podle obr. I-27b,c dosáhneme tím většího zúžení pásmá propustnosti, čím menší část obvodů je zařazena v okruhu krystalu. Toto zapojení, teoreticky velmi jednoduché, se v praktickém použití značně komplikuje tím, že je téměř vyloučeno správně kompenzovat kapacitu držáku. Fázové poměry na odbočkách cívky se velmi rychle mění a tvar křivky je vždy nesouměrný, s výrazným uplatněním rejekčního kmitočtu.

Při použití propusti tvaru C (obr. I-26) je možno dosáhnout změny šířky pásmá přepínáním trojice krystalů v zapojení podle obr. I-27d. Šířka pásmá se sice mění skokem, avšak je



I-27. Pásmové propusti s krystaly s proměnnou šířkou pásmá propustnosti: a - náhradní schéma obvodu, b, c - teoretické zapojení sériového vazebního krystalu, d - změna šířky pásmá přepínáním krystalů, e - zapojení pro plynulou změnu šířky pásmá

určena přímo rozdílem kmitočtů použitých krystalů. Nevýhodou je mírný posun středního kmitočtu propusti při změně šířky pásma, avšak ušetříme jeden krystal. Rozdíly kapacit krystalů a jejich přívodů opatrně vyrovnáme malými paralelními trimry C_2 a C_3 u přepínané dvojice krystalů s nižšími rezonančními kmitočty. Hodnoty kapacit jsou asi 0,5 až 1 pF a při překročení optimální hodnoty se tvar křivky úplně deformeuje (obr. I-26 D). Kapacitou C_1 , zařazenou paralelně ke krystalu s nejvyšším rezonančním kmitočtem (ve schématu označen X 1), řídíme polohu rejekčních bodů. Při přepnutí na jinou šíři pásma se jejich poloha obvykle posune. Žádaný tvar křivky nastavíme opakoványmi změnami poměru kapacit C_1 , C_2 a C_3 . Zapojení můžeme použít jak pro příjem telegrafních signálů s úzkým pásmem, tak pro telefonii s výběrem jednoho postranního pásma. Křivka propustnosti je shodná s obr. I-26 C.

Plynulé změny šířky pásma můžeme docílit mimo jiné plynulým zmenšováním nebo zvětšováním reálné složky impedance paralelních rezonančních obvodů, vázaných sériově zapojeným krystalem. Početním odvozením potřebných vztahů zjistíme, že s rozladěním obvodů reálná složka impedance klesá a zvětšují se její kapacitní nebo induktivní složky. Kaskádním zapojením několika filtrů typu A (obr. I-27e) a současným rozladováním obvodů L_0C_0 docílíme plynulé změny šířky pásma od 150 Hz do 6 kHz. Nežádoucí jalové složky kompenzujeme tím, že příslušné dvojice obvodů rozladujeme proti sobě, to znamená jeden směrem k vyšším, druhý k nižším kmitočtům. Při největším rozladění je šířka pásma propustnosti nejmenší.

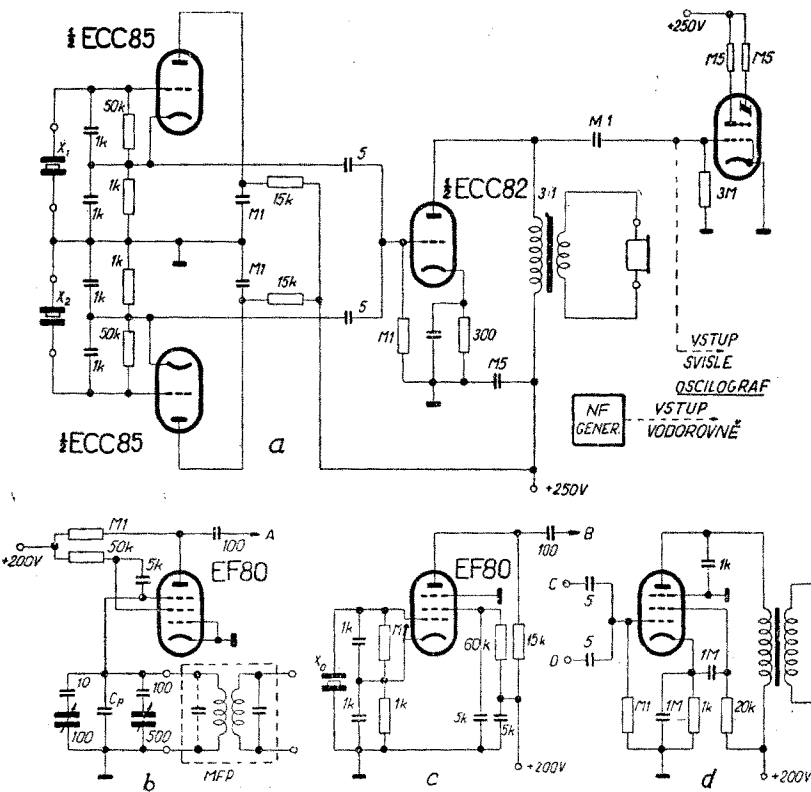
Výpočet je podrobně uveden v literatuře [L 7] [L 9]. Nevýhodou popsaného zapojení propusti je malá strmost boků křivky při šířce pásma nad 1 kHz, takže je vhodná pouze pro přijímače. Prakticky dosažitelný tvar křivky je na obr. I-27e. Pro pokles o 6 dB je maximální šířka pásma 8 kHz, minimální 100 Hz, pro 30 dB již 30 kHz a nejméně 6 kHz. Při výběrovém příjmu jednoho postranního pásma dochází k mírnému zdůraznění kmitočtů v pásmu 600 až 1200 Hz, avšak srozumitelnost je velmi dobrá.

Použití v budíčích vysílačů pro telefonii s jedním postranním pásmem je znemožněno právě nevhodným tvarem křivky propustnosti, kdy proniká do výstupních obvodů i část druhého postranního pásma v oblasti nejnižších kmitočtů v okolí nosné.

I-16. MĚŘENÍ REZONANCE KRYS TALOVÉHO VÝBRU SU

Je téměř pravidlem, že neznáme přesný sériový a paralelní rezonanční kmitočet krystalů, které chceme použít. Abychom se vyvarovali neúspěchů při stavbě propustí s krystalovými rezonátory, seznámíme se v krátkosti s některými způsoby měření rezonance.

Nejjednodušší je měření pomocí záZNĚJŮ, kdy zjišťujeme pouze relativní rozdíl kmitočtů sériové rezonance. Na obr. I-28a je zapojení dvou shodných oscilátorů, řízených krystaly. Použitím velkých kapacit děličů, které musí být naprostě shodné,



I-28. Zapojení obvodu pro měření sériové rezonance krystalu: a - obvod pro vytvoření záZNĚJ, b - pomocný oscilátor, c - cejchovní generátor, řízený krystalem, d - zesilovač

docílíme kmitů v sériové rezonanci. Oba získané kmitočty interfeřují v obvodu triody $E3$ a nízkofrekvenční zázněje jednak kontrolujeme sluchátka, jednak pozorujeme osciloskopem nebo nejsnáze optickým indikátorem (magickou výsečí). Je-li zázněj slyšitelný, odhadneme výšku tónu a tím i rozdíl obou kmitočtů. Při velmi malých rozdílech patrně zázněj neuslyšíme (sluchátka nepřenášeji tak nízké kmitočty), ale rytmické otevírání a zavírání výseče indikátoru prozradí kmitočet zázněje.

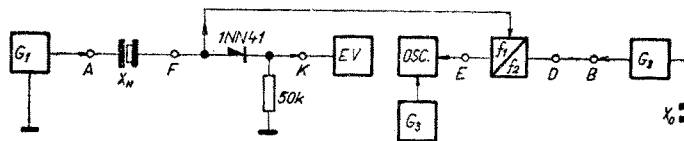
Přesněji zjistíme rozdílový kmitočet pomocí osciloskopu s časovou základnou 50 Hz sinusového průběhu. Vznikají tzv. LISSAJOUXOVY obrazce, které umožňují určit poměr obou kmitočtů. Vznikne-li elipsa, přímka nebo kružnice (i když mění sklon), je rozdíl kmitočtů blízký 50 Hz. Při vzniku ležaté osmičky je rozdíl 100 Hz, při stojaté osmičce naopak jen 25 Hz apod. [L 8]. Způsob zapojení obou oscilátorů naprosto nevyuluje možnost vnesení řady nepřesnosti a právě tak nelze určit znaménko rozdílu obou kmitočtů. Proto tohoto způsobu měření používáme jen orientačně, nebo pro kontrolu stavu krystalů.

Pro přesnější porovnávací měření potřebujeme několik dalších přístrojů: elektronkový voltmetr s detekční sondou pro vysoké kmitočty a pomocný oscilátor s jemným laděním v okolí kmitočtů krystalů. Výbavu doplňuje nízkofrekvenční generátor sinusového průběhu s nejnižším kmitočtem asi 10 Hz. Pomocný oscilátor má ryze jednoúčelový charakter, a proto si ho nejsnáze vyrobíme sami jen pro toto měření. Jeho zapojení je na obr. I-28b. Cívka oscilátoru je tvořena polovinou mf pásmové propusti s odpojeným pevným kondenzátorem, elektronka je v tranzistorovém zapojení. Hrubé nastavení kmitočtu provádíme kondenzátorem 500 pf, jemné ladění asi v mezích kondenzátorem 100 pf. Schéma cejchovního generátoru řízeného krystalem se známým kmitočtem je na obr. I-28c. Pro úplnost jsou uvedena i zapojení záznějového obvodu a vf detekční sondy. Všechny přístroje propojíme podle skupinového schématu I-29.

Při měření musíme nejprve seřadit všechny krystaly postupně podle velikosti sériového rezonančního kmitočtu. Využíváme skutečnosti, že při sériové rezonanci je impedance krystalu nejmenší. Nemáme-li pomocný oscilátor $G2$ přesně ocejchován, označíme si jako základní hodnotu kmitočet známého krystalu $X0$, který zapojíme do série s výstupem pomocného oscilátoru $G2$ (body $A-F$) a měříme napětí za krystalem pomocí sondy a elektronkového voltmetu. Zvolna zvyšujeme kmitočet

oscilátoru $G2$ hrubým laděním kondenzátorem. Sériová rezonance se projeví ostrým několikanásobným vzestupem měřeného napětí. Nastavíme přesné maximum pomocí jemného ladění a snažíme se, aby jeho poloha odpovídala středu stupnice. (Může být jen rozdělena např. na 100 dílků, cejchování není nutné.) Délky odečtené na hrubé a jemné stupnici si poznamenáme do tabulky k hodnotě $X0$.

Při dalším zvětšování kmitočtu objeví se prudký pokles měřeného napětí až k nule. To je známkou paralelní rezonance krystalu. Hodnotu kmitočtu sice pro daný účel nepotřebujeme, ale je vhodné si poznamenat délky, abychom měli úplné údaje o krystalu. Přesný kmitočet změříme podle dalšího popisu s tím rozdílem, že jeden vstup záznějového obvodu přepojíme z bodu F do bodu A (obr. I-29).



I-29. Skupinové schéma zapojení při měření sériové rezonance krystalových výbrusů

Nyní zasuneme místo krystalu $X0$ některý jiný měřený výbrus. Hrubé ladění ponecháme v původní poloze a jemným se snažíme najít sériovou rezonanci. Je-li kmitočet krystalu podstatně odlišný a nedosáhneme sériové rezonance, hledáme jiný, s rozdílem kmitočtu ± 500 Hz. Opět si poznamenáme odečtené délky. Tak postupujeme tak dlouho, až vyčerpáme všechny krystaly, jejichž kmitočty leží v mezích jemného ladění. Ostatní výbrusy měříme podobným způsobem, ale se změněnou polohou

Tabulka I-2. Měření sériové rezonance krystalu – příklady

Číslo krystalu	X 0	X 1	X 2	X 3	X 4	X 5
Údaj stupnice hrubé	36	36	35	39	39	40
Údaj stupnice jemné	50	41	99	50	90	16
Poznámka: nula stupnice odpovídá nejnižšímu kmitočtu						

kondenzátoru hrubého ladění, abychom dosáhli sériové rezonance. Všechny odečtené údaje obou stupnic oznamenáme v tabulce. Krystaly si označíme čísly, např. od jedné do pěti (viz příklad v tabulce I-2).

Po skončení základního měření seřadíme krystaly podle údajů v tabulce. Důležité je, aby rozdělení stupnic obou kondenzátorů bylo provedeno stejným směrem, např. při zavírání kondenzátoru stoupá údaj stupnice. Pro určení krystalu s nejnižším kmitočtem platí tyto zásady:

- jestliže cejchovní bod 0 dílků odpovídá otevřenému a 100 dílků zavřenému kondenzátoru, pak kmitočtově nejnižší krystal má nejvyšší čtení dílků;
- Jestliže cejchovní bod 0 dílků odpovídá zavřenému, 100 dílků otevřenému kondenzátoru, pak kmitočtově nejnižší krystal má nejnižší čtení dílků (viz tab. I-3).

Tabulka I-3. Měření sériové rezonance krystalů – příklady

Pořadové číslo	1	2	3	4	5	6
Údaj stupnice	35,99	36,41	36,50	39,50	39,90	40,16
Číslo krystalu	X 2	X 1	X 0	X 3	X 4	X 5
Údaj G 3	-520	-430	—	+1060	+1390	+1485

Dalším krokem je určení rozdílů kmitočtů měřených krystalů. Připravíme si zapojení přístrojů podle obr. I-29. Cejchovní generátor G 1 dodává známý kmitočet, určený krystalem X 0. Do série s pomocným generátorem G 2 zapojíme měřený krystal s nejnižším kmitočtem. Body připojení jsou označeny A–F. Je-li jeho kmitočet nižší než X 0, označujeme nadále všechny naměřené hodnoty znaménkem minus. Při kmitočtech krystalů vyšších než X 0 označujeme hodnoty znaménkem plus.

Nyní pomocným oscilátorem G 2 nastavíme sériovou rezonanci krystalu, kmitočet nf generátoru G 3 nastavíme tak, aby se na stínítku oscilografu objevila přímka nebo kružnice. Údaj nf kmitočtu oznamenáme do tabulky pod příslušné číslo krystalu. Stejným způsobem vystřídáme všechny zbývající krystaly.

Odečtené údaje nf kmitočtu udávají rozdíl cejchovního (známého) a měřeného krystalu. Tady je právě důležité správné seřazení krystalů podle kmitočtů, abychom mohli určit, zda je rozdíl kmitočtů kladný (měřený krystal má vyšší kmitočet) nebo záporný. Rozdíly nf kmitočtů určují rozdíl kmitočtů sériové rezonance jednotlivých krystalů (tab. I-4).

Tabulka I-4. Měření sériové rezonance krystalů – příklady

Číslo krystalu	X 0	X 1	X 2	X 3	X 4	X 5
Kmitočet sériové rezonance	465,000	464,570	464,480	466,060	466,390	466,485

V našem příkladu jsou silně orámovány kmitočtové údaje dvojic krystalů, které se navzájem liší o nejmenší hodnoty a jsou proto vhodné pro použití ve dvou kaskádně zapojených propustích typu C podle obr. I-26. Rozdíl u dvojice X 1, X 2 je 90 Hz, u dvojice X 4, X 5 95 Hz. Kmitočtový rozdíl obou dvojic navzájem je průměrně 1860 Hz, takže při uvedeném zapojení propusti dosáhneme šířky pásma propustnosti 4 kHz při potlačení ostatních kmitočtů až o 65 dB.

Celé měření se podstatně zjednoduší, máme-li k dispozici měrný generátor s dělením stupnice alespoň po 25 Hz v pásmu rezonance krystalů. V tom případě změříme přímo sériovou rezonanci krystalů a celé měření se zredukuje na pouhé odečtení kmitočtu. Popisovaná metoda je východiskem z nouze, protože vf generátory s tak přesným dělením, jaké vyžadují nepatrné rozdíly krystalů, jsou poměrně vzácné.

E. Telefonie s jedním postranním pásmem

Snaha o dosažení nejvyšší účinnosti při radiotelefonii vede k uplatňování dalších, dokonalejších metod modulace. V určitém období vývoje dozala širokého uplatnění kmitočtová modulace, u které se předpokládalo, že soustředuje vysílanou energii do užšího pásma kmitočtů a že je relativně účinnější.

Postupem doby se však ukázalo, že modulační spektrum je širší, než při amplitudové modulaci a ze všech výhod zůstalo jen poněkud jednodušší zapojení modulátoru a větší odolnost proti atmosférickému rušení. V současné době se kmitočtové modulace používá hlavně v pásmech VKV při přenosu doprovodného zvuku televizních pořadů a u kmitočtové modulovaného rozhlasu ve stejných pásmech.

Pro hovorové cesty, přenášené rádiem v pásmu krátkých vln, zůstává zatím výhodnější způsob amplitudové modulace se snahou o omezení ztrátových výkonů modulátoru a výkonu zesilovacích stupňů. Odtud vznikají modulátory, které navrhli FROMY, CHIREIX a jiní; proto se v poslední době uplatňuje rekuperacní zapojení výkonových stupňů při zesilování modulačního napětí a impulsová technika.

Všechna tato opatření jsou však nákladná a vyplatí se teprve u výkonů nad 10 kW. V mobilních spojovacích službách a nyní i na amatérských pásmech se stále častěji objevuje přenos pomocí jednoho postranního pásma, obvykle označovaný zkratkou SSB z anglického výrazu SINGLE - SIDE - BAND (jedno postranní pásma).

Tento druh provozu není nový. Vznikl již před lety, ale zpočátku těžko nacházel uplatnění především proto, že vyžaduje zvláštní úpravu přijímače. Stále výrazněji se však projevují jeho nesporné přednosti, především v dosahu rádiového spojení.

I-17. CO JE TO SSB?

Pokusme se nejprve vysvětlit podstatu přenosu zpráv pomocí amplitudové modulace. Z teorie již víme, že při přenosu každé zprávy pomocí změny kmitočtu nebo výkonu vznikají postranní pásmá. Při modulaci sinusovým kmitočtem vzniká součet a rozdíl modulačního a modulovaného napětí a vysíláme celkem tři složky signálu: nižší kmitočet (rozdíl), nosný kmitočet a vyšší kmitočet (součet).

O této skutečnosti se můžeme přesvědčit velmi jednoduchým pokusem. – Vysílač přizpůsobený pro amplitudovou modulaci nastavíme např. na kmitočet 3800 kHz a trvale modulujeme nízkofrekvenčním napětím 2 kHz. Dobrý přijímač se zapnutým záZNĚJovým oscilátorem přepneme na nejmenší šířku pásmá a ladíme od 3750 kHz směrem k vyšším kmitočtům. První nulový záZNĚJ se signálem vysílače najdeme na 3798 kHz, druhý na 3800 kHz a třetí na 3802 kHz.

Měníme modulační kmitočet např. od 300 Hz do 3 kHz a stejným způsobem zjistíme, že i oba kmitočty v okolí nosné se posunují tak, že jsou vždy oba shodně vzdáleny o modulační kmitočet od nosného kmitočtu. Při současné modulaci řadou nf kmitočtů vytvoří se souvislé spektrum kmitočtů. Jedna jeho polovina leží níže než nosný kmitočet a nazývá se *dolní postranní pásma* (LSB, z anglicky LOWER SIDEBAND). Jeho přesným zrcadlovým obrazem je *horní postranní pásma* (USB, z anglicky UPPER SIDEBAND). Nosný kmitočet tvoří přesný střed mezi oběma pásmeny a nemění se při modulaci ani kmitočtově, ani amplitudově. Je jedinou stálou veličinou při amplitudové modulaci.

Je třeba, abychom si uvědomili další skutečnost: bez postranních pásem nemůžeme přenést žádnou informaci, dokonce ani telegrafním provozem. Tam však nejsou postranní pásmá tak výrazná, teprve při zvýšení klíčovací rychlosti nad 200 značek za minutu se přesvědčíme, že slyšíme signál nejen na přesném kmitočtu vysílače, ale i v jeho nejbližším okolí. A co teprve klíčovací zákmity, ony nepopulární „kliksy“? (Název je nevhodně přenesen z angličtiny, CLICKS = klapání.) To všechno jsou právě ta někdy nežádoucí postranní pásmá signálu, který přenáší nějakou informaci. Odstup každého kmitočtu v každém postranném pásmu je přímo určen modulačním kmitočtem, který ho vytvárá.

Zabýváme se zatím úplným modulovaným signálem, složeným z dolního postranního pásma, nosného kmitočtu a horního postranního pásma. K jeho přenosu potřebujeme nejméně takové pásmo kmitočtů, jehož šířka je určena dvojnásobkem nejvyššího modulačního kmitočtu. Například pro přenos nf modulačního signálu v pásmu 50 Hz až 12 kHz zabírá rozhlasový vysílač pásmo široké 24 kHz.

Víme také, že každé postranní pásma obsahuje všechny přenášené kmitočty modulačního signálu, tedy celou zprávu nebo informaci. Z toho všeho můžeme učinit jednoduchý závěr: jedno postranní pásmo musí stačit k úplnému a nezkreslenému přenosu modulačního signálu, protože je v něm beze zbytku obsažen. Záleží jen na tom, zda a jakým způsobem získáme na přijímací straně původní přenášenou informaci, modulační signál.

Ještě jednou trochu odbočíme: všimneme si pro porovnání činnosti superhetu, založené na směšovacím pochodu. Směšování i modulace jsou shodné formy zpracování signálů; v obou případech vznikají součtové a rozdílové kmitočty. V určitém

směru má každý superhet charakter přijímače jednoho postranního pásma a to se projevuje několika základními znaky.

Jedním z nich je skutečnost, že po konverzi zesilujeme pouze rozdílový kmitočet přijímaného a transpozičního signálu. Teorie směšování dokazuje, že vznikají ještě další kmitočty, především součtové. Ty však tlumíme v pásmových mezi-frekvenčních propustích. Ze dvou vzniklých pásem, součtového a rozdílového, vybíráme jen to, které můžeme lépe zpracovat. Přitom je nesporné, že obě pásmá obsahují tutéž úplnou přenášenou informaci a leží v zrcadlovém uspořádání po obou stranách transpozičního kmitočtu.

Nyní stačí, abychom nazvali součtové kmitočty horním pásmem, rozdílové kmitočty dolním pásmem a podobnost je zcela zřejmá. Naprostě stejný pochod probíhá při vytváření signálu SSB: zařazením vhodné pásmové propusti můžeme potlačit kterékoliv postranní pásmo, protože obě jsou vzájemně zrcadlovým obrazem. Záleží jen na dohodě, které z nich použijeme k přenosu informací.

Kromě shodných znaků je jistě mezi popsanou metodou výběru postranního pásmá a činností superhetu mnoho podstatných rozdílů. Je to především složitost použitých filtrů a propustí. Jestliže můžeme u superhetu volit střední kmitočet a šířku pásmá mf propustí téměř libovolně, pak odstup modulačních postranních pásem je stálý, velmi malý, závislý pouze na nejnižším přenášeném kmitočtu zvukového spektra. A to je prakticky 50 až 300 Hz!

Zbývá vysvětlit otázku nosného kmitočtu. Ten je součástí původního modulačního spektra. Je však *nutný* k přenosu informace?

Tuto značně komplikovanou záležitost můžeme vysvětlit jen přirovnáním. Chceme-li znázornit obraz krajiny, aniž bychom ji přímo viděli, použijeme fotografie nebo mapy. Zde nám pro porozumění, o kterou část krajiny se jedná, stačí připsat zeměpisnou šířku a délku místa. Nemusíme tedy zakreslit všechny poledníky a rovnoběžky. Dohodli jsme se, kde leží nultý stupeň a pak si snadno uvědomíme a promítneme skutečnou polohu zobrazeného místa.

Stejně tak víme, kde leží při použití jednoho postranního pásmá nosný kmitočet. Nepřenášíme-li jej, musíme pro „umístění“, v tomto případě kmitočtové, dosadit náhradní nosný kmitočet v přijímači a umístit ho přesně na místo původního.

Z přímé analogie vyplývá, že pro přenos informace nosný kmitočet není nutný, avšak pro opětné získání původní formy

informace musíme nosný kmitočet dodat do demodulačních obvodů, abychom dostali kmitočtově správně umístěnou, zvukově věrnou reprodukci původní řeči, hudby apod.

Náš výčet možností při vytváření signálu SSB by nebyl úplný, kdybychom nevzali v úvahu druhou, tzv. fázovací metodu. I ona má své přednosti a nedostatky a nedá se říci, že by byla složitější nebo dokonalejší než filtrační metoda. Teoretický výklad je ovšem nesrovnatelně obtížnější, předpokládá inženýrské znalosti v oboru vektorové analýzy. Snad jen širší použití filtrů ve sdělovací technice dovoluje populárnější výklad prvej metody.

Fázování samo o sobě představuje takovou manipulaci s nízkými i vysokými kmitočty, že z obou těchto složek jsou vytvářena čtyři napětí, z nichž dvě a dvě mají vždy shodnou amplitudu, avšak dosahují maxima nebo minima v různých časových okamžicích (jsou fázově posunuta o 90° úhlových stupňů). Tato čtyři napětí navzájem kombinujeme ve zvláštních obvodech tak, že se dvě z nich navzájem vyruší a zbylá dvě napětí, vektorově sečtená, vytvářejí pouze jedno postranní pásmo.

Fázovací metoda není kmitočtově omezena. Lze jí použít stejně dobře na 50 kHz jako na 50 MHz. Je však obvyklé, že použité pásmo je fázováním odděleno na kmitočtech mimo pracovní oblasti a směšováním se posunuje na potřebný kmitočet. Fázováním je možno získat původní modulační kmitočet i v přijímači, přičemž nezáleží na tom, jakým způsobem byl na vysílací straně vytvořen.

I-18. VÝHODY JEDNOHO POSTRANNÍHO PÁSMA

Každý, kdo uvažuje o přestavbě nebo úpravě své rádiové stanice pro provoz s jedním postranním pásmem, klade si především otázku, zda jsou skutečně dosažené výsledky úměrné vynaložené práci a je-li jich dosaženo dokonalejším zařízením nebo změnou podmínek, za kterých se uskutečňuje spojení. Odpověď je ve všech bodech kladná. Dosažené výsledky jsou výborné, mnohokrát ověřené a nesrovnatelně lepší než při klasické amplitudové modulaci. Zařízení, které k tomu potřebujeme, je dokonalejší, má lepší ukazatele především v účinnosti přenosu a ve stálosti kmitočtu. Ano, i provozní podmínky se mění a pomáhají nám překonávat úskalí atmosférických poruch, vzájemného rušení stanic na pásmu i útlum nepříznivých ionosférických podmínek. Nelze ovšem před-

pokládat, že pomocí provozu SSB uskutečníme spojení za všech okolností, tedy i tehdy, když maximální použitelné kmitočty jsou tak nízké, že znemožňují jakékoli spojení.

Nejdříve trochu počítejme: při anodové modulaci vysílače se vytvářejí modulační složky, jejichž výkon a vzájemný poměr jsou úměrné hloubce modulace. Víme, že výkon nosné se nemění, a proto jeho velikost vezmeme za základ. Předpokládejme, že ideální amplitudově modulovaný vysílač má výkon nosné vlny 100 W. Výkon obou postranních pásem se shodně zvyšuje s růstem procenta modulace podle výrazu

$$N_{pp} = \frac{m^2}{400} N_n, \quad (1)$$

kde N_{pp} je výkon postranního pásma ve wattech,

m je hloubka modulace v procentech,

N_n je výkon nosného kmitočtu ve wattech.

Při stoprocentní modulaci dosahuje výkon jednoho postranního pásma 25 % výkonu nosné. Celkový výkon vysílače stoupne při modulaci na hodnotu

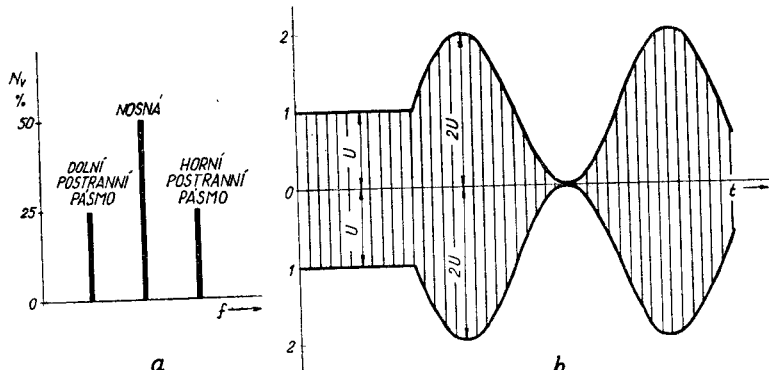
$$N_m = N_n + \frac{m^2}{400} N_n + \frac{m^2}{400} N_n, \quad (2)$$

$$N_m = N_n \left(1 + \frac{m^2}{200} \right), \quad (3)$$

protože k výkonu nosné přičítáme výkony dvou postranních pásem. Při stoprocentní modulaci je tedy efektivní výkon vysílače o polovinu větší než bez modulace. Pro naš příklad to znamená, že výkon nosné je 100 W, výkon jednoho postranního pásma 25 W a celkový výkon při stoprocentní modulaci 150 W, což je názorně zakresleno na obr. I-30a.

Ve všech předchozích vzorcích je použito efektivní hodnoty výkonů. To je velmi důležité, především proto, že při počítání se špičkovými hodnotami dostáváme jiné číselné údaje výkonů, i když pochopitelně ostatní závěry platí shodně. Vztahy mezi různými měřenými hodnotami výkonů se mnohdy zdají být nesrozumitelné. Tak například víme, že ve špičkách při stoprocentní modulaci vysokofrekvenčního výkonového zesilovače musí dodat jeho elektronky čtyřnásobek výkonu nosné – a tady je ten problém. Podle vzorce (3) jsme vypočítali, že při stoprocentní modulaci je výkon vysílače v našem příkladu 150 W, tedy

1,5krát vyšší než hodnota výkonu nosné, zatímco elektronka má dávat čtyřnásobek výkonu nosné, to je 400 W. Co se stalo s rozdílem obou výkonů?



I-30. Rozdělení výkonu modulovaného signálu a, b

Není to tak složité, jen jsme si zavedli do výpočtu dvakrát špičkovou hodnotu výkonu místo efektivní. Na obr. I-30b je znázorněn průběh napětí ve vysokofrekvenčním obvodu, modulovaný do sta procent. Impedance obvodu se během modulace nemění. Proto můžeme použít pro výpočet výkonu známého vzorce

$$N = \frac{1}{R_a} U^2. \quad (4)$$

Známe také vztahy mezi efektivní a špičkovou hodnotou sinusového napětí

$$U_{ef} = \frac{U_{sp}}{\sqrt{2}}, \quad (5)$$

takže můžeme snadno napsat výraz pro efektivní hodnotu výkonu podle rovnic (4) a (5)

$$N_{ef} = \frac{1}{2} N_{sp}. \quad (6)$$

Nyní se vrátíme k našemu problému. Čtyřnásobek výkonu je bezesporu špičková hodnota. Převedeme ji tedy podle výrazu (6) na efektivní:

$$N_{ef} = \frac{1}{2} 400 \text{ W} = 200 \text{ W}. \quad (7)$$

Dále víme, že nosný výkon se nemění a jeho velikost je 100 W. Z výsledku (7) odečteme 100 W nosné a na postranní pásmá zbývá 100 W. Modulační kmitočet je však rovněž sinusový, proto znova převedeme i výkon postranních pásů na efektivní hodnotu, která činí pro obě pásmá 50 W. Jedno postranní pásmo tedy vysíláme výkonem 25 W, což plně potvrzuje závěry, učiněné podle výrazu (1).

Situace se nezmění ani při modulaci nad 100 %, ale naopak, v takovém případě klesá výkon žádaných postranních pásů a rozptýluje se do parazitních postranních pásů, vzniklých harmonickým zkreslením modulačního kmitočtu. Úhrnný výkon vysílače zůstává stále stejný, v našem případě 150 W.

V předchozích odstavcích jsme si řekli, že k přenosu řeči, hudby nebo obecně jakékoli informace postačí jedno jediné postranní pásmo. K přenosu nepotřebujeme ani nosný kmitočet, který se s modulací nemění a tvoří jen určitý základ, ke kterému jsou připojena obě postranní pásmá. Jak se změní účinnost přenosu při potlačení nosné vlny?

Použijeme-li k vysvětlení opět ideálního 100 W vysílače, můžeme nyní bez nebezpečí přetížení elektronek vysílat obě postranní pásmá plným špičkovým výkonem 400 W, ze kterého na každé postranní pásmo připadá polovina, tedy 200 W. Proti přenosu úplného amplitudově modulovaného signálu, kdy na jedno postranní pásmo připadalo pouze 100 W_{sp}, dosáhneme na vysílací straně relativního výkonového zisku 3 dB, který se v přijímači projeví vzestupem síly signálu rovněž o 3 dB.

Tento druh přenosu je obvykle označován zkratkou DSB (z anglického DOUBLE-SIDE-BAND) a předpokládá dodačné vytvoření náhradního nosného kmitočtu v přijímači. Výsledky při praktickém provozu jsou velmi dobré. Účinnost vysílače značně stoupá, protože např. v mezerách mezi slovy není vysílaný žádný výkon. Během modulačního cyklu je příkon vysílače úměrný hloubce modulace. Efektivní účinnost stoupne při tomto druhu provozu asi na 60 %.

Podobným druhem provozu je telefonie se dvěma postranními pásmi a částečně potlačeným nosným kmitočtem – DSRC (z angl. DOUBLE-SIDEBAND-REDUCED-CARRIER). Nosný výkon je buď trvale snížen asi na čtvrtinu, nebo je úměrně měněn s hloubkou modulace. Dociluje se rovněž zvýšené účinnosti přenosu a na přijímací straně není obvykle nutno dosazovat náhradní nosný kmitočet. Velmi výhodné je použití DSB ve spojení s fázovací metodou výběru postranních pásů v přijímači. Sírka přenášeného pásmá kmitočtů je při provozech

DSB i DSRC stejná jako při úplném signálu a je určena dvojnásobkem nejvyššího modulačního kmitočtu.

Posledním krokem ke zvýšení účinnosti přenosu je potlačení jednoho postranního pásmá pomocí filtrační nebo fázovací metody. V takovém případě můžeme k přenosu informace, obsažené v jednom postranním pásmu, použít plného špičkového výkonu vysílače, v našem příkladě 400 W. To znamená, že dosáhneme na vysílací straně relativního zvýšení výkonu v poměru 400 ku 100, to je 6 dB. Stejně se projeví i relativní zvýšení síly pole v místě příjmu. To však ještě není všechno. K přenosu nyní potřebujeme jen poloviční šířku pásmá, protože přenášíme jen polovinu spektra. To má příznivý vliv i na šumové poměry přijímače, neboť víme, že šumové napětí klesá úměrně se zmenšením šířky pásmá přenosu. Kromě toho je značně omezena možnost vzájemného rušení stanic interferencí nosných kmitočtů a postranních pásm. To vše se projeví dalším vzestupem relativní síly signálu nejméně o 3 až 4 dB.

Nyní již můžeme učinit zcela jasné závěr. Při použití přenosu pomocí jednoho postranního pásmá s potlačenou nosnou vlnou stoupá relativní síla signálu v místě příjmu až o 10 dB. To odpovídá na druhé straně při klasické amplitudové modulaci absolutnímu zvýšení výkonu vysílače na desetinásobek. Se svým původním stowattovým vysílačem, upraveným pro provoz SSB, můžeme docílit stejných výsledků jako profesionální stanice, používající úplného přenosu amplitudově modulovaného signálu s výkonem nosné 1000 W – a to přece stojí za to!

I-19. VÝKON A PŘÍKON VYSÍLAČE SSB

V amatérské praxi určujeme výkon a příkon koncového vysokofrekvenčního zesilovače při telegrafním a fonickém provozu celkem jednoduchým způsobem: součin stejnosměrného anodového napětí a proudu při plném vybuzení zesilovače udává přímo velikost příkonu. Odhadem účinnosti (50 až 70 %) vypočítáme i výkon. Jednoznačně je stanoveno, že jde o hodnoty odpovídající trvalé nosné vlně. Cílem je ale určen příkon koncového zesilovače při provozu s jedním postranním pásmem, kde nosný kmitočet neexistuje a anodový proud se silně mění úměrně s intenzitou hlasové modulace?

Setkáváme se opět s jednou ze zvláštností provozu SSB. Povolovací podmínky jednoznačně určují maximální dovolený příkon anod koncového stupně vysílače a to je také hodnota,

kterou musíme dodržet. Žádný výpočet nebo odhad středního příkonu vysílače tuto podmínu nesplňuje. Jedinou možností je použít správné měřicí metody, která jednoznačně určí příkon vysílače.

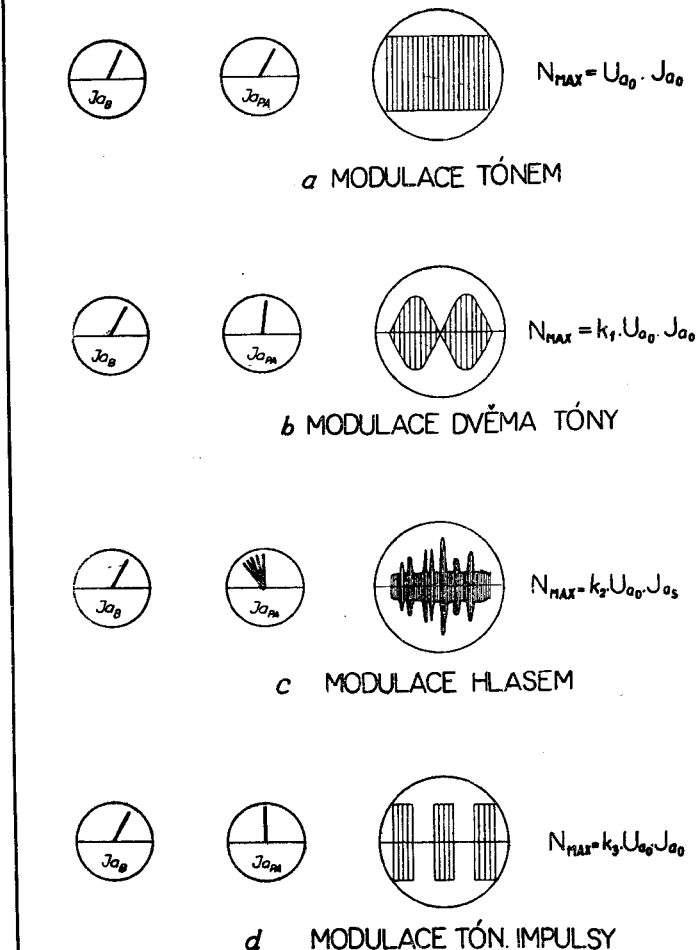
Vraťme se na chvíli k závěrům předchozích odstavců. Při provozu SSB odpovídá trvalé modulaci jediným sinusovým napětím jedený kmitočet postranního pásma, který je při úplném promodulování vysílán plným výkonem vysílače. To je stejný případ jako kdybychom pracovali telegrafním provozem. Když za této podmínky odečteme anodový proud elektronek koncového stupně, vypočítáme snadno a hlavně správně příkon vysílače. A to je také jediná možná přímá metoda měření příkonu vysílače pro telefonii s jedním postranním pásmem. Proto je obvyklé, že v budiči takového vysílače je vestavěn jednoduchý tónový generátor, kterým toto měření provádíme.

V literatuře se často setkáváme se zkratkou PEP. Vznikla, podobně jako všechny ostatní zkratky, z angličtiny a její plný význam je PEAK ENVELOPE POWER. Doslovně přeloženo to znamená příkon při špičkách modulační obálky. Pro úplnost je třeba poznamenat, že v angličtině nelze jedním slovem vyjádřit pojem „výkon“ nebo „příkon“ ve stejném smyslu jako v češtině. V této případě je nutno použít dvou slov, bud „OUTPUT POWER“ ve významu „výkon“, nebo „INPUT POWER“ ve významu „příkon“. Slovem POWER označují se tedy výkony všeobecně, v aktivním i pasivním významu. Ve zkratce PEP není přímo určen druh výkonu, avšak významově jde o příkon vysílače.

Popsanou jednotónovou zkouškou určujeme právě tento druh příkonu, to znamená, že maximální příkon odpovídá příkonu vysílače SSB, trvale modulovaného jedním tónem, s hloubkou modulace na hranici přípustného zkreslení. Pro názornost je na obr. I-31a zakreslen tvar výstupního vf napětí snímaného oscilografem. Jeho amplituda je stálá, právě tak jako anodový proud zesilovače v budiči a elektronek koncového vf zesilovače. Je třeba dodat, že zesilovací elektronka budiče pracuje ve třídě A, výstupní zesilovací elektronka ve třídě B.

Určení procenta zkreslení při modulaci typu SSB jedním tónem je velmi obtížné. Proto používáme mnohem častěji dvoutónové zkoušky, jejíž podrobný popis je uveden v kapitole o vysílačích. Zde jen vysvětlíme, jaký je rozdíl ve velikosti příkonu proti modulaci jedním tónem.

Při současné modulaci dvěma tóny sinusového průběhu vznikají i dva kmitočty postranního pásma. Jejich odstup je určen



I-31. Výkonové poměry vysílače při telefonii s jedním postranním pásmem a potlačenou nosnou vlnou (a, b, c, d)

rozdílem kmitočtů modulačních napětí. Neuvažujeme-li polohu potlačeného nosného kmitočtu, vzniká stejná situace jako při provozu DSB. (Někdy se pro dvoutónovou zkoušku využívá právě metody DSB, ale o tom až později.) Tvar výstupního napětí, pozorovaný pomocí oscilografu, je na obr. I-31b. Během jednoho modulačního cyklu se vystřídají okamžiky, kdy je vysílan plný výkon a dodáván plný příkon, a okamžiky, kdy je výkon nulový a příkon je velmi malý, určen pouze klidovými proudy elektronek. Za těchto podmínek je sice výchylka miliampérmetru v anodovém okruhu výstupního zesilovače stálá, avšak menší než v případě modulace jedním tónem. Příkon ve špičkách modulace je však stejný. Ze zásady určení maxima příkonu vyplývá, že nesmíme pro jeho výpočet použít přímo údaje miliampérmetru, který ukazuje střední hodnotu proudu, ale musíme připojit přepočítávací součinitel k_1 .

$$\text{Ve třídě B: } k_1 = 1,54 \quad N_{\max} = 1,54 \cdot Ia_0 \cdot Ua_0. \quad (8)$$

$$\text{Ve třídě AB 2: } k_1 = 1,35 \quad N_{\max} = 1,35 \cdot Ia_0 \cdot Ua_0. \quad (9)$$

$$\text{Ve třídě AB 1: } k_1 = 1,20 \quad N_{\max} = 1,20 \cdot Ia_0 \cdot Ua_0. \quad (10)$$

Jak je zřejmé z výrazů pro výpočet špičkového příkonu, mění se velikost součinitele k_1 podle polohy pracovního bodu elektronky. Čím je větší poměr maximálního a klidového proudu elektronky, tím větší hodnota má součinitel k_1 a tím je vyšší i účinnost vysílače. Nejvyšší je ve třídě B (třída C není pro provoz SSB vhodná, zkresluje modulaci), nejnižší ve třídě A.

Při dvoutónové zkoušce je maximální příkon vždy 1,2 až 1,54krát vyšší než hodnota příkonu, vypočítaná pomocí výchylky miliampérmetru ve věti anodového proudu zesilovače. Vysílač je trvale modulován dvěma napětími stejné amplitudy, s hloubkou modulace na hranici přípustného zkreslení.

Nejobtížnější je odhad příkonu bezprostředně při spojení. Typický signál SSB při přenosu řeči je složen ze strmých impulsů, jejichž amplituda silně kolísá. Větší část průběhu tvoří napětí s poměrně malou amplitudou, která vzniká jen při přízvučných slabikách řeči, na něž klademe hlasový důraz. Této zkušenosti obvykle využíváme při volbě elektronek výstupního zesilovače, které mohou mít poměrně malou anodovou ztrátu i při značných špičkových příkonech.

Oscilogram napětí na obr. I-31c tuto skutečnost potvrzuje. Anodový proud zesilovače prudce kolísá kolem určité střední

hodnoty, která je závislá na tlumení systému miliampérmetru. Je třeba určitě zkušenosti, abychom odhadli velikost střední výchylky během řeči. I tak je to jen odhad, který dává jen velmi nepřesné výsledky. Chyba může dosahovat až 50 % správné hodnoty. Příkon vypočtený z odhadu anodového proudu musíme násobit součinitelem k_2 , takže přibližná velikost maximálního příkonu je dána výrazy:

ve třídě B:

$$k_2 = 3,3 \text{ až } 1,6; \quad N_{\max} = (3,3 \text{ až } 1,6) \cdot Ia_s \cdot Ua_0, \quad (11)$$

ve třídě AB2:

$$k_2 = 2,0 \text{ až } 1,4; \quad N_{\max} = (2,0 \text{ až } 1,4) \cdot Ia_s \cdot Ua_0, \quad (12)$$

ve třídě AB1:

$$k_2 = 1,4 \text{ až } 1,2; \quad N_{\max} = (1,4 \text{ až } 1,2) \cdot Ia_s \cdot Ua_0. \quad (13)$$

Elektronky s malou anodovou ztrátou někdy neumožňují trvalý provoz s plným výkonem. Abychom i v tomto případě mohli správně určit velikost maximálního příkonu, můžeme zkušený tón nebo dva kmitočty při dvoutónové zkoušce klíčovat pomocí rychlého sledu impulsů. Stačí k tomu elektronkový telegrafní klíč, který přepneme do polohy, kdy jsou vysílány tečky rychlostí asi 100 značek za minutu. Při poměru tečky k mezeře jedna ku jedné je součinitel jednotónové zkoušky roven dvěma podle výrazu

$$N_{\max} = 2 \cdot Ia_0 \cdot Ua_0 \quad (14)$$

a u dvoutónové zkoušky klíčované impulsy jedna ku jedné:

$$\text{Ve třídě B: } k_3 = 3,0; \quad N_{\max} = 3Ia_0 \cdot Ua_0, \quad (15)$$

$$\text{ve třídě AB2: } k_3 = 2,7; \quad N_{\max} = 2,7Ia_0 \cdot Ua_0, \quad (16)$$

$$\text{ve třídě AB1: } k_3 = 2,4; \quad N_{\max} = 2,4Ia_0 \cdot Ua_0 \quad (17)$$

Oscilogram a poměr proudů je uveden na obr. I-31d.

Při praktickém provozu koncového zesilovače s elektronkou RE 65A ve třídě AB2, s anodovým napětím 1500 V byly naměřeny tyto hodnoty (ve všech případech maximální příkon dosahoval 150 W):

zkouška jedním tónem:

$$Ia_0 = 100 \text{ mA},$$

dvoutónová zkouška:

$$Ia_0 = 74 \text{ mA},$$

modulace hlasem:

$$Ia_s = 50 \text{ mA},$$

klíčovaná zkouška jedním tónem: $Ia_0 = 50 \text{ mA}$,

klíčovaná dvoutónová zkouška: $Ia_0 = 40 \text{ mA}$.

Pro zajímavost uvedeme ještě výsledky zkoušek, kdy bylo ve všech případech modulováno tak, aby výchylka miliampérmetru byla stejná (anodové napětí zvýšeno na 2500 V, odečtený proud 75 mA).

Zkouška jedním tónem: nelze provést.

Dvoutónová zkouška: $N_{\max} = 1,35 \cdot 0,075 \cdot 2500$
= 250 W.

Klíčovaná zkouška jedním tónem: $N_{\max} = 2,0 \cdot 0,075 \cdot 2500$
= 375 W.

Klíčovaná dvoutónová zkouška: $N_{\max} = 2,7 \cdot 0,075 \cdot 2500$
= 500 W.

Modulace hlasem: $N_{\max} = 2,0 \cdot 0,075 \cdot 2500$
= 375 W.

Proto pozor při provozu vysílače SSB, velmi snadno lze i u elektronek s malou anodovou ztrátou překročit povolený příkon! Uvedená elektronka RE 65A má povolenou anodovou ztrátu pouze 65 W.

II

KRÁTKOVLNNÉ PŘIJÍMAČE

Přijímač tvoří nezbytnou součást pracoviště každého radioamatéra. Tato kapitola popisuje jednotlivé prvky zapojení přijímačů pro různé druhy rádiového provozu s ohledem na požadovanou citlivost a provozní vlastnosti.

A. Vstupní obvody přijímače

Zapojení vstupních obvodů každého přijímače navrhujeme podle požadované skutečné citlivosti, zrcadlové selektivnosti a kmitočtového rozsahu. Do vstupních obvodů obvykle zahrnujeme vysokofrekvenční zesilovací stupně, první směšovač a oscilátor. Tyto části mohou tvořit samostatnou jednotku, a to jak elektricky, tak konstrukčně. V některých případech je takové řešení dokonce výhodnější, zvláště tehdy, máme-li hotovou mezifrekvenční část přijímače s dobrými provozními vlastnostmi. Samostatnou vysokofrekvenční část přijímače označujeme jako konvertor, tedy zařízení, které převádí přijímaný signál na kmitočet mezifrekvenční části přijímače.

Vstupní obvody přijímače určují především zrcadlovou selektivnost. Čím větší počet laděných obvodů je zařazen před směšovačem, tím dokonaleji jsou potlačeny zrcadlové kmitočty. Je pochopitelné, že s počtem laděných obvodů a zesilovacích stupňů roste i zesílení, které však nesmí přesáhnout určitou mez, především pak velikost stabilního zesílení. Podle nejnovějších poznatků volíme u vstupních obvodů nejvýše takové zesílení, které právě převyšuje šum směšovače. Dalším růstem zesílení rychle roste obsah kombinacích kmitočtů. Právě tak i při volbě elektronek musíme přihlížet jak k činiteli jakosti K, který zahrnuje technické vlastnosti elektronek a závislost jejich vstupní impedance na kmitočtu [L 10], tak i k průběhu pracovních charakteristik elektronek, které mají být co nejlineárnější, aby nedocházelo k dodatečnému zkreslení zesilovaného signálu a ke vzniku parazitních složek. Podobně jako u nízkofrekvenčních zesilovačů, i zde je považováno zkreslení nad 10 % za neúnosné veliké. Zesílení vstupních obvodů vhodně upravíme vazbou vstupních a výstupních okruhů elektronek na odbočky rezonančních obvodů, což je výhodné i z hlediska zmenšení vneseného útlumu.

Dodržíme-li tyto podmínky, získáme mnohem snáze potřebné zesílení v mezifrekvenční části, bez nebezpečí vlastních kmitů zesilovačů. Pro vysokou skutečnou citlivost přijímače má větší význam dokonale přizpůsobení antény a nízký šum vstupních obvodů než složitý systém několika laděných vstupních zesilo-

vačů. Nesmíme zapomínat ani na to, že moderní miniaturní elektronky jsou konstruovány pro nízká anodová napětí. Doporučené hodnoty je nutno přesně dodržet (včetně velikosti žhavicího napětí). Tím současně zajistíme minimální šum elektronek a dostatečnou stabilitu zesilovačů.

Tabulka II-1. Parametry zesilovacích elektronek

TYP	Z	S	K	R _s	R _v	C
PCC 84	T	6,0	$2 \cdot 10^5$	500	$2 \cdot 10^5$	400
6Ž1P	T		$7 \cdot 10^4$	385	$7 \cdot 10^4$	180
6F32	P	4,5	$9 \cdot 10^4$	1300	$9 \cdot 10^4$	70
6Ž1P	P		$7 \cdot 10^4$	1800	$7 \cdot 10^4$	40
6Ž4	T		$7 \cdot 10^3$	220	$7 \cdot 10^3$	30
EF 80	P	6,8	$2 \cdot 10^4$	1200	$2 \cdot 10^4$	16
ECC85	T	5,9	$6 \cdot 10^3$	500	$6 \cdot 10^3$	12
6Ž4	P		$7 \cdot 10^3$	720	$7 \cdot 10^3$	9,7
PCC85	T	6,2	$6 \cdot 10^3$	1350	$6 \cdot 10^3$	4,5

Z – zapojení ... T = trioda, P = pentoda,

S – strmost [mA/V],

K – činitel jakosti [$\text{k} \Omega \cdot \text{MHz}^2$],

R_s – ekvivalentní šumový odpor [Ω],

R_v – vstupní impedance při 33 MHz [Ω],

C – poměr R_v/R_s, určující použitelnost.

Krátkovlnné sdělovací přijímače mají obvykle kmitočtový rozsah od 1,5 MHz do 30 MHz a někdy jsou doplňovány i obvody pro příjem v pásmu 150 až 1500 kHz. Tak široké spektrum kmitočtů nelze obsáhnout bez přepínání rozsahů. Přijímače nižších tříd mají tři až pět rozsahů s určitým překrytím. Poměr maximálního kmitočtu k minimálnímu je menší než 2,5. Za těchto podmínek nelze odečítat kmitočty s vyšší přesností než 10 kHz. Proto mají jakostní přijímače patnáct i více rozsahů vždy po dvou MHz. Odečítání kmitočtů může být přesnější než ± 2 kHz, zvláště při promítané stupnicí.

Přijímače pro amatérská pánsma, kterých často používáme i jako vlnoměru, musí zajistit odečítání kmitočtu s přesností

vyšší než 1 kHz, a proto se často uplatňuje tzv. rozprostření pásem, která volíme buď přepínačem, nebo cívkovým karuselem. Oba způsoby mají své výhody i nevýhody. Jinou možností je použití proměnného prvního mezifrekvenčního kmitočtu v přijímači s dvojím směšováním.

Jak již vyplývá z předchozího výkladu, budou v této kapitole popisovány výlučně přijímače s nepřímým zesílením – superhety. Jsou jediným pokrokovým řešením příjemu v oboru krátkých vln s požadovanou selektivností a provozními vlastnostmi. Pokud by se vyskytla nutnost konstrukce přijímače s přímým zesílením, lze pochopitelně použít všech závěrů a konstrukčních údajů, počínaje anténní vazbou a konče mřížkovým obvodem směšovače.

Protože u superhetu jsou kmitočty vstupního obvodu, oscilátoru a mezifrekvence vzájemně vázány podmínkami souběhu, musíme řešit všechny tyto obvody současně. To je důležité především při volbě jiných mezifrekvenčních kmitočtů. Při odchylkách nad 10 % již nesouhlasí udané hodnoty kapacit a indukčností obvodu oscilátoru a je nutno provést celý výpočet znova [V 6]. Hodnoty vstupních obvodů mohou zůstat beze změn.

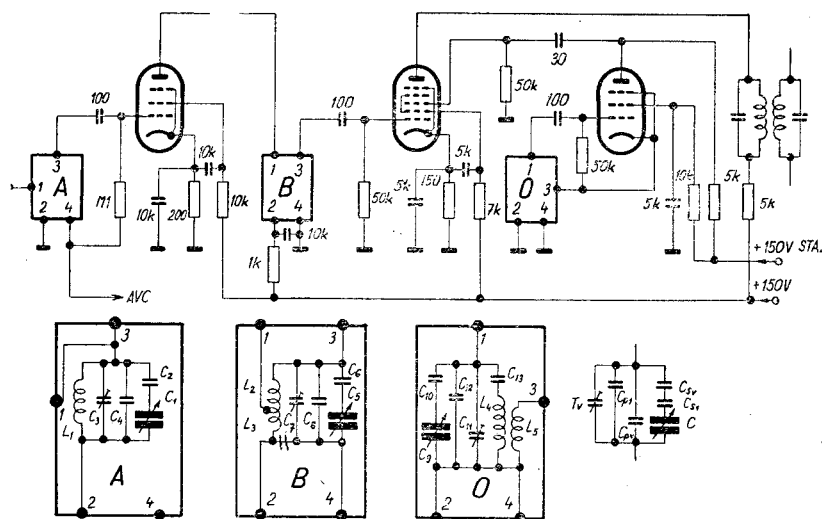
Stejně kritická je poloha vazebních bodů v obvodech vysokofrekvenčních zesilovačů. Při použití elektronek s vyšší strmostí nebo větší průchozí kapacitou je třeba úměrně zmenšit vazbu s obvodem, jinak nemusí být splněna podmínka stability zesilovače a vznikají vlastní kmity – zesilovač se změní v oscilátor.

II-01. J E D N O D U C H Y VF D I L P R I J I M A Č E 1,5 A Ž 30 M H z

V těch případech, kdy nám příliš nezáleží na citlivosti a zrcadlové selektivnosti přijímače, volíme nejjednodušší typ vf dílu s jedním zesilovacím stupněm a mezifrekvencí kolem 450 kHz. Na kmitočtech do 7 MHz je potlačení zrcadlových kmitočtů vyhovující, asi 40 dB (1 : 100), na vyšších pásmech klesá až na 24 dB (1 : 15), což může podstatně zhoršit podmínky příjmu. Tyto nedostatky jsou částečně vyváženy jednoduchou koncepcí a snadnou obsluhou.

Na obr. II-01a je schéma zapojení. Signál přicházející z antény kapacitní vazbou na první laděný obvod je zesilován v pentodovém zesilovači. Jeho anodový laděný obvod je opět kapacitně vázán s řídící mřížkou heptodového směšovače. Zde

se směšuje s napětím oscilátoru laděného v souběhu s obvody vf zesilovače trojnásobným otočným kondenzátorem. Rozdílový kmitočet 450 kHz je dále zesilován v mf zesilovači. Oscilátor je zapojen tříbodově v obvodu řídící mřížka - katoda - stínící mřížka. Elektronovou vazbou je napětí oscilátoru převedeno do anodového neladěného okruhu s pracovním odporem 10 kΩ a malou kapacitou vázáno se třetí mřížkou směšovací elektronky. Tímto zapojením se poněkud zmenší strhování kmitočtu oscilátoru na nejvyšších pásmech a získá se vyšší stabilita kmitočtu.



II-01. Zapojení jednoduchého vf dílu přijímače 1,5–30 MHz. Při změně rozsahu se přepínají obvody v bodech: A3, A1, B3, O1, O3. Indukční cívky jsou navzájem stíněny

Celé krátkovlnné pásmo 1,5 až 30 MHz je rozděleno do tří hlavních rozsahů 1,5 až 4 až 11 až 31 MHz, které je možno volit přepínačem. Pro doplnění jsou v tabulce uvedeny i hodnoty součástek pro pásmá středních a dlouhých vln. Protože nelze jednoznačně určit, jakou konečnou kapacitu bude mít ladicí kondenzátor, jsou v tabulce II-2 udány hodnoty sériových kapacit jak pro kondenzátory 11–490 pF, tak 10–220 pF.

Rozprostření amatérských pásem je elektrické, kombinací sériových a paralelních kapacit ve větvi ladicího kondenzátoru. Sériový souběhový kondenzátor oscilátoru je zařazen ve

Tabulka II-2a. Prvky laděných obvodů

ROZSAH-MHz	$C_{3,7}$	$C_{4,8}$	C_{11}	C_{12}	C_{13}	$C_{2,6,10}$ 490	$C_{2,6,10}$ 220	L_1	L_2	L_3	L_4	L_5
DV	0,15–0,5	3	0	9	0	70	400	—	4740	0	4740	1180
SV	0,5–1,5	3	0	5	0	188	400	—	432	0	432	252
1	1,5–4,2	5	0	9	0	780	400	—	47	0	47	35,4
2	4,0–11,3	5	0	2	0	2k	400	—	6,6	3,0	3,6	6,45
3	11,0–31,0	5	0	5	0	1k8	210	420	0,8	0,6	0,7	1,37
1a	1,5–2,0	10	120	9	130	780	150	240	47	0	47	35,4
1b	3,5–4,0	3	30	12	30	780	17	18	47	0	47	35,4
2a	7,0–7,5	6,5	60	18	50	2k	18	19	6,6	0	47	6,45
3a	11,0–18,5	8,3	40	13	40	1k8	135	200	0,8	0,6	0,7	1,37
3b	18,0–25,5	5,0	20	10	20	1k8	40	45	0,8	0,6	0,7	1,37
3c	25,0–30,0	3,7	15	14	10	1k8	16	15	0,8	0,6	0,7	1,37
3d	14,0–14,5	5,2	80	10	80	1k8	13	12	0,8	0,6	0,7	1,37
3e	21,0–22,0	6,6	30	11	30	1k8	9	8	0,8	0,6	0,7	1,37
3f	21,0–21,5	10	30	15	30	1k8	6	6	0,8	0,6	0,7	1,37
3g	21,5–22,0	8	30	13	30	1k8	6	6	0,8	0,6	0,7	1,37
3h	28,0–29,0	2	20	7	20	1k8	6	6	0,8	0,6	0,7	1,37
3k	28,0–28,5	4	20	9	20	1k8	4	4	0,8	0,6	0,7	1,37
3m	28,5–29,0	3	20	8	20	1k8	4	4	0,8	0,6	0,7	1,37

KAPACITY v pF

INDUKČNOSTI V μ H

Tabulka II-2b. Kmitočty souběhu

ROZSAH	1	2	3	DV	SV
f_1	4,04	10,81	28,7	430	1,4
f_2	2,86	7,65	20,5	300	1,0
f_3	1,68	4,49	12,3	170	0,6
	MHz	MHz	MHz	kHz	MHz

Tabulka II-2c. Mezní kmitočty oscilátoru rozprostřených pásem [MHz]

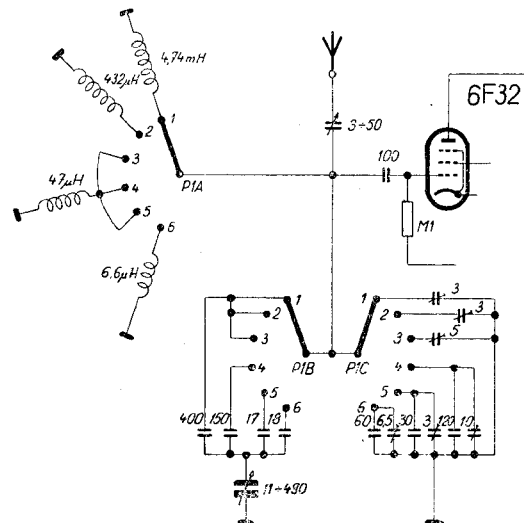
f	1a	1b	2a	3a	3b	3c	3d	3e	3f	3g	3h	3k	3m
Max.	2,45	4,45	7,95	18,95	25,95	30,45	14,95	22,45	21,95	22,45	29,45	28,95	29,45
Min.	1,95	3,95	7,45	11,45	18,45	25,45	14,45	21,45	21,45	21,95	28,45	28,45	28,95

větvi indukčnosti [V 4]. Rozprostření je navrženo jak pro plné překrytí amatérských pásem v jednom dílčím rozsahu, tak pro dělení po 500 kHz. Podle zaměření si vybereme pochopitelně jen tolik dílčích rozsahů, kolik poloh obsáhne přepínače. Maximum je 12 rozsahů na devíti segmentech přepínače, jinak nelze dosáhnout pásmo 28 MHz, protože vlastní kapacity spojů a přepínače jsou již příliš veliké. Nejvýhodnější jsou tato řešení:

a) úplné překrytí všech pásem od 500 kHz do 30 MHz v šesti rozsazích (SV, 1, 2, 3a, 3b, 3c),

b) rozprostření všech amatérských pásem v šesti rozsazích (1a, 1b, 2a, 3d, 3e, 3h),

c) příjem v pásmu 150 kHz až 7,5 MHz, kde je potlačení



II-02. Příklad zapojení přepínače vstupního obvodu přijímače s rozprostřeným laděním

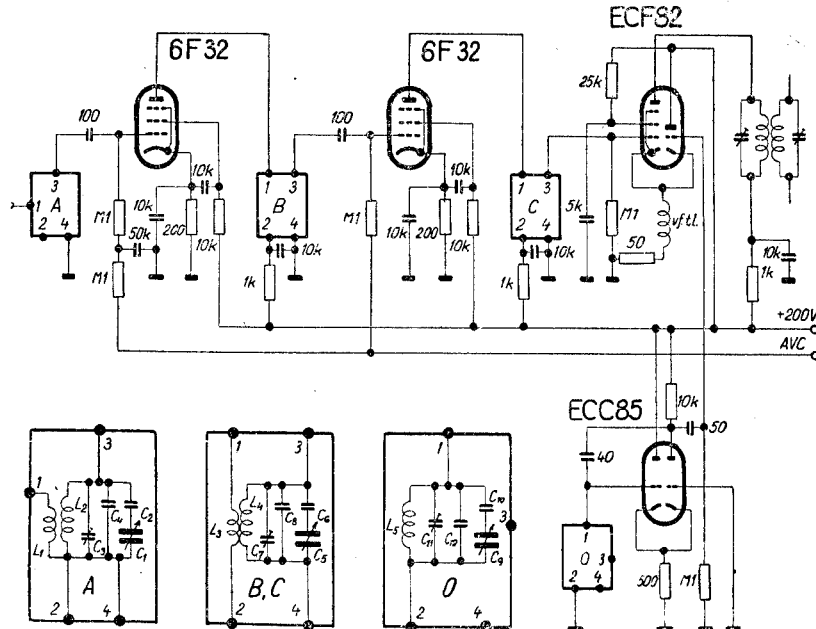
zrcadlových kmitočtů ještě vyhovující, a to v šesti rozsazích (DV, SV, 1, 1a, 1b, 2a).

Příklad zapojení přepínače vstupního obvodu s rozprostřením pásem je na obr. II-02.

II-02. VSTUPNÍ VF ZESILOVAČ PRO AMATÉRSKÁ PÁSMA

Nároky, kladené na vstupní díl přijímače z hlediska potlačení zrcadlových kmitočtů, lépe splní dva laděné vf zesilovačí stupně. Na všech pásmech kromě 28 MHz lze získat potlačení nežádoucího signálu nejméně o 40 dB (1 : 100) při mezfrekvenčním kmitočtu 470 kHz.

Na obr. II-03 je schéma zapojení samostatného vf dílu krátkovlnného superhetu. Anténa je induktivně vázána se vstupním laděným obvodem, s ohledem na minimální šum a tlumení obvodu. Oba vysokofrekvenční zesilovače pracují



II-03. Vstupní vf zesilovač přijímače pro amatérská pásmata (schéma zapojení a laděné obvody). Při změně rozsahu přepínají se body A1, A3, B1, B3, C1, C3, 01, (02)

v zapojení s uzemněnou katodou, s induktivní vazbou v anodovém obvodu. Tím se zmenší počet přepínaných bodů při volbě pásem. Směšovač je aditivní s elektronkou ECF 82. Oscilátor se poněkud liší od běžných přijímačů – elektronka je zapojena jako negativní odpor. Výhodou zapojení je větší stabilita kmitočtu a jednobodové přepínání.

Tabulka II-3a. Prvky laděných obvodů

ROZSAH-MHz	$C_{1,5,9}$	$C_{2,6}$	$C_{4,8}$	$C_{3,7}$	C_{10}	C_{11}	C_{12}	L_1	k	L_3	$L_{2,4}$	L_5
1 1,5 – 3,0	490 220	125 185	0 5	89 116	11,6	0	30	0,18	14	94	67	
2 2,0 – 4,0	490 220	125 185	0 5	95 126	12,2	0	25	0,12	5	53	40	
3 4,0 – 8,0	490 220	125 185	0 5	108 151	11,8	0	12	0,1	1,5	13,2	11,2	
4 8,0 – 15,0	490 220	70 85	0 5	63 81	6,7	0	6	0,07	0,4	5,6	5,0	
5 15,0 – 22,0	490 220	30 32	0 8,7	25 27	3,1	10	3	0,06	0,3	3,0	3,56	
6 22,0 – 30,0	490 220	21 22	10 21	1,5 20	1,7	10	2	0,05	0,2	1,66	1,77	
1a 1,5 – 2,0	490 220	70 86	50 67	8,5 57	10	60	30	0,18	14	94	67	
2a 3,5 – 4,0	490 220	16 16	10 16	3,6 15	15	5,8	20	25	0,12	5,0	53	40
3a 7,0 – 7,5	490 220	10 10	20 10	9,0 10	10	10,8	30	12	0,1	1,5	13,2	11,2
4a 14,0 – 14,5	490 220	5 5	10 5	8,5 5	5	5,2	20	6	0,07	0,4	5,6	5,0
5a 21,0 – 21,5	490 220	4 4	0 4	14,5 9,2	4	9,2	10	3	0,06	0,3	3,0	3,56
5b 21,5 – 22,0	490 220	4 4	0 4	14,2 8,9	4	8,9	10	3	0,06	0,3	3,0	3,56
6a 28,0 – 28,5	490 220	4 4	10 4	6,3 4	4	6,6	10	2	0,05	0,2	1,66	1,77
6b 28,5 – 29,0	490 220	4 4	10 4	4,1 4	4	4,4	10	2	0,05	0,2	1,66	1,77

činitel vazby $L_3/L_4 \dots h = 0,5$ u všech rozsahů kapacity v pF, indukčnosti v μH

Tabulka II-3b. Kapacity pro různé ladící kondenzátory

PÁSMO	1, 2, 3	1a, 4	5	6	2a	3a	4a	5a, b 6a, b	C 1, 5, 9
$C_{2,6}$	125	70	30	21	16	10	5	4	11 – 490
C_{10}	89	63	25	20	15	10	5	4	11 – 490
$C_{2,6}$	185	85	32	22	16	10	5	4	11 – 220
C_{10}	116	81	27	21	16	10	5	4	11 – 220

Tabulka II-3c. Kmitočty souběhu (MHz)

ROZSAH	1	2	3	4	5	6
f_1	2,9	3,86	7,73	14,5	21,0	29,0
f_2	2,25	3,0	6,0	11,6	16,5	22,5
f_3	1,6	2,14	4,27	8,5	(12)	(16)

Tabulka II-3d. Mezní kmitočty oscilátoru rozprostřených pásem (MHz)

PÁSMO	1a	2a	3a	4a	5	5a	5b	6	6a	6b
$f_{\max.}$	2,47	4,47	7,97	14,97	22,47	21,97	22,47	30,47	28,97	29,47
$f_{\min.}$	1,97	3,97	7,47	14,47	15,47	21,47	21,97	22,47	28,47	28,97

Celé pásmo kmitočtů 1,5 až 30 MHz je rozděleno do šesti dílčích rozsahů: 1,5 – 3,0 – 4,0 – 8,0 – 15,0 – 22,0 – 30,0 MHz. Takové uspořádání umožňuje snadné rozprostření amatérských pásem nebo vypuštění hlavních rozsahů a příjem pouze v amatérských pásmech. Sériová souběhová kapacita je zapojena ve věti ladícího kondenzátoru. Další výhodou je vyrovnaní velikosti zesílení v nejčastěji používaných úsecích amatérských pásem, které jsou umístěny vždy v místě minimálního poměru C/L laděných obvodů. Hodnoty indukčních cívek a kondenzátorů udává tabulka II-3. Zesílení obou vf zesilovačů je voleno 10× v jednom stupni, aby bylo dosaženo dobré stability. Tuto hodnotu určují jednak vazební cívky L_3 , jednak činitel vazby

indukčností L_3 , L_4 . V případě potřeby můžeme mírně zvýšit nebo snížit zesílení jednotlivých stupňů změnou vzájemné polohy cívek L_3 a L_4 . Není snad třeba zdůrazňovat, že při konstrukci dbáme na dosažení co největší mechanické pevnosti, především přepínače rozsahů, a délku spojů omezíme na minimum.

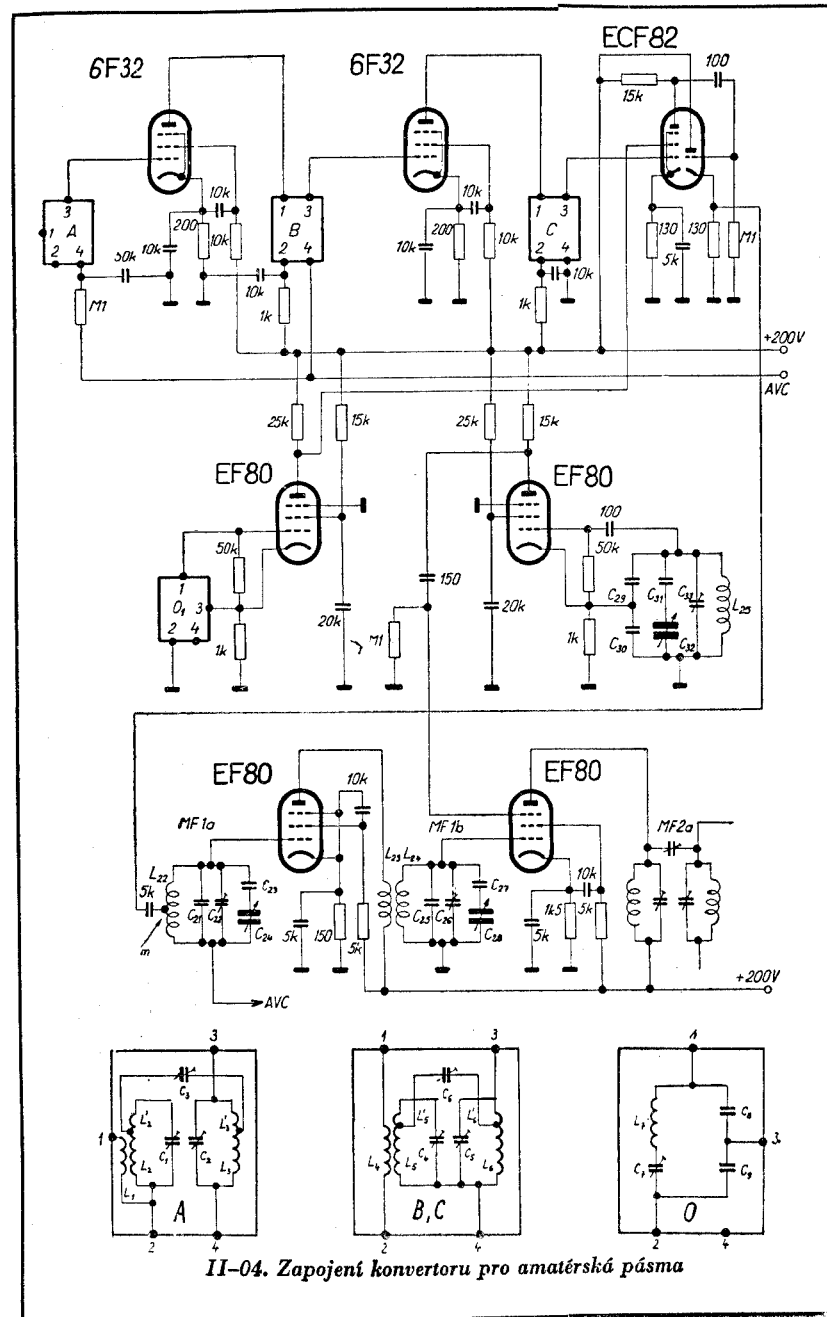
II-03. KONVERTOR PRO AMATÉRSKÁ PÁSMA

Použití dvou laděných vf zesilovačů je vázáno požadavkem čtyřnásobného ladicího kondenzátoru, který se na trhu objevuje jen zřídka. Nároky na potlačení zrcadlových signálů jsou však značné – požaduje se útlum alespoň 50 dB (1 : 300) – současně se zachováním velké signálové selektivnosti při telegrafním a SSB provozu. Mnohdy máme k dispozici kvalitní (třeba inkurantní) přijímač, který má dobré vlastnosti, ale právě jen v pásmu 1500 až 3000 kHz, a u něhož nelze provést přestavbu na vyšší kmitočtová pásmá buď pro přílišnou mechanickou náročnost, nebo proto, že by nebyly splněny požadavky na zrcadlovou selektivnost. V takovém případě je výhodné použít pevně laděného konvertoru. Na obrázku II-04 je jeho zapojení.

Obvyklé laděné obvody dvou vf zesilovačů jsou nahrazeny pásmovými propustmi. Aby bylo usnadněno nastavení potřebné křivky propustnosti (v našem případě 500 kHz), je zvoleno zapojení s kapacitní vazbou. Indukčnosti propustí jsou navzájem odděleny stínicími kryty nebo přepážkami. První oscilátor je nastaven pevně, v zapojení s kapacitním děličem. První mf kmitočet je proměnný od 1800 do 2300 kHz. Tím je usnadněno

Tabulka II-4. Dělení stupnice laděné první mezifrekvence

oscilátor níže	3,5	7,0	14,0	21,0	28,0	28,5	29,0	oscilátor výše
Stupnice MF dílu A	1800	3500	7000	14 000	21 000	28 000	28 500	29 000
	1900	3600	7100	14 100	21 100	28 100	28 600	29 100
	2000	3700	7200	14 200	21 200	28 200	28 700	29 200
	2100	3800	7300	14 300	21 300	28 300	28 800	29 300
	2200	3900	7400	14 400	21 400	28 400	28 900	29 400
	2300	4000	7500	14 500	21 500	28 500	29 000	29 500
kHz	Přijímaný kmitočet kHz					kHz		



II-04. Zapojení konvertoru pro amatérská pásmá

odečítání kmitočtů. Stupnice je pro všechny rozsahy stejná, začátku odpovídá vždy 1800 kHz pro případ, že kmitočet prvního oscilátoru je nižší než přijímaný. V opačném případě začínají všechna pásma vždy na 2300 kHz a stupnice je obrácená. Pro orientaci je dělení uvedeno v tabulce II-4.

Při jiných hodnotách první mezifrekvence budou i jiné údaje stupnice [V 7]. Pro příjem v pásmu 1800 až 2000 kHz je první oscilátor odpojen a použijeme vstupu první mezifrekvence ve spojení s jedním výstupem zesilovačem konvertoru. První směšovač je opět aditivní, abychom dosáhli lepších šumových vlastností, osazen pentodovou částí elektronky ECF 82. Katodový sledovač umožňuje připojení konvertoru k mezifrekvenční části koaxiálním kabelem. Tento spoj musí být co nejkratší, jinak pronikají na vstup mf části parazitní signály. V tabulce II-5 jsou uvedeny hodnoty indukčností a kapacit laděné první mezifrekvence. Druhý mf kmitočet můžeme zvolit v rozmezí 60 až 500 kHz.

Tímto zapojením jsme vytvořili přijímač s dvojím směšováním. Poměrně vysoký první mf kmitočet zaručuje dostatečné potlačení zrcadlových kmitočtů, nízký druhý mf kmitočet umožňuje dosažení vhodné signálové selektivnosti. Výhoda přímého a dostatečně přesného odečítání kmitočtu je spojena

Tabulka II-5a. Prvky laděných obvodů

Vstupní díl – pásmové propusti a oscilátor													
PÁSMO od-do MHz	L_1	k	L'_1, L'_2, L'_3	L'_4, L'_5, L'_6, L'_8	L_2, L_3	L_5, L_6	L_4	L_7	$C_{1,2}, C_{4,5}$	$C_{2,6}$	C_7	$C_{8,9}$	f_{osc}
1,5—2,0	30	0,2	0	257	82,5	—	30	14	—	—	—	—	—
3,5—4,0	15	0,15	0	61,2	19	290	30	6,3	30	1k	1,7	—	—
7,0—7,5	8	0,1	0	16,5	5	94	30	3	10	350	5,2	—	—
14,0—14,5	4	0,07	1,8	6,2	1	17	20	3	10	250	12,2	—	—
21,0—21,5	3	0,05	1,45	3,8	0,5	13	15	3	6	150	19,2	—	—
21,5—22,0	3	0,05	1,45	3,8	0,5	13	15	3	5	150	19,7	—	—
28,0—28,5	2	0,05	1,7	3,2	0,4	17	10	3	3	70	26,2	—	—
28,5—29,0	2	0,05	1,7	3,2	0,4	17	10	3	2	70	26,7	—	—
KAPACITY v pF				INDUKČNOSTI v μ H									

Tabulka II-5b. Laděná první mezifrekvence 1700—2200 kHz

f_{mf2}	f_{mf2}	L_{23}	L_{22}, L_{24}	L_{25}	$C_{21,25}$	$C_{22,26}$	$C_{23,27,31}$	$C_{24,28,32}$	$C_{29,30}$	C_{33}
60	ODBOČKA $m = 0,07$ $L_{odb} = 1 \mu$ H	9,0	21,8	19,6	200	10	120	220	210	6
140		9,0	21,8	17,1	200	10	120	220	220	12
352		13,0	21,8	13,0	200	10	120	220	260	4
470		17,0	21,8	11,1	200	10	120	220	270	13
	Body souběhu 1,85 MHz a 2,15 MHz, vazba cívek $k = 0,5$									

Tabulka II-6. Harmonické kmitočty druhého oscilátoru (MHz)

1. oscilátor níže						1. oscilátor výše								
PÁSMO	n	7	n	14	n	21	n	3,5	n	7	n	14	n	21
60	7	2,023	10	2,127	10	2,182	4	1,913	5	2,310	8	2,320	11	2,324
			11	1,914	11	1,964			6	1,848	9	2,030		
150	6	2,415	9	2,382	9	2,445	4	1,883	5	2,287	8	2,307	11	2,315
	7	2,010	10	2,117	10	2,173					9	2,018		
			11	1,906										
350	9	2,356	9	2,418			5	2,237	7	2,658	11	2,295		
	3	2,420	10	2,094	10	2,150					8	2,264		
470	6	2,370									7	2,588	10	2,502
			8	2,675	8	2,747					8	2,222	11	2,253
	3	2,360	9	2,341	9	2,403								
	6	2,346	10	2,081	10	2,136								
KMITOČTY V MHz jsou vyjádřeny v kmitočtech oscilátoru; n je řád harmonické														

i s jednoduchým cejchováním. Nevýhodou je možnost pronikání harmonických kmitočtů druhého oscilátoru do vstupních obvodů konvertoru, čímž vznikají „hluché“ kmitočty. Harmonické druhého oscilátoru pak přijímáme jako stálou nosnou vlnu neexistujícího vysílače, jejíž poloha na stupnici se nemění. Proto je nutné, abychom mezifrekvenční díl i konvertor navzájem co nejlépe stínili kryty z tenkého hliníkového plechu. Žhavicí a anodové napětí konvertoru připojujeme přes filtrační členy LC. Zvláště pečlivě musíme zakrýt obvody a někdy i elektronky druhého směšovače a oscilátoru. Výhodné je, jsou-li oba díly umístěny v samostatných kovových skříních. Všechny tyto potíže jsou však vyváženy ostatními mimořádně dobrými vlastnostmi celého zařízení.

Tabulka II-6 obsahuje kmitočty, na nichž se mohou vyskytnout harmonické druhého oscilátoru pro nejčastěji používané kombinace prvního a druhého mezifrekvenčního kmitočtu, propočítané zhruba do desátého rádu. Pro odchylky do 2 % od udaných hodnot mf kmitočtu lze tabulky použít již jen orientačně, pro větší rozdíly je nutno provést celý výpočet znovu [V 8].

II-04. KONVERTOR PRO PEVNOU PRVNÍ MEZIFREKVENCE

Nesnáze s pronikáním harmonických kmitočtů druhého oscilátoru u superhetu s dvojím směšováním lze částečně omezit použitím pevného prvního a druhého mezifrekvenčního kmitočtu. Abychom mohli vytvářet žádaný signál, musíme použít proměnný první oscilátor, laditelný v souběhu s obvody vf zesilovačů. Tato záležitost však není tak jednoduchá, jak by se na první pohled zdálo. Proměnný oscilátor na kmitočtech kolem 20 MHz vyžaduje dokonalé mechanické upevnění všech součástek a správný návrh pracovních podmínek elektronky oscilátoru, aby byl dostatečně stabilní a neznesadňoval ladění. Kromě toho se značně mění amplituda kmitů oscilátoru, je-li laděn v pásmu kmitočtů s poměrem větším než 1 : 1,5. Proto takové řešení použijeme skutečně jen tehdy, když je mf zesilovač pevně nastaven na jedený kmitočet, nebo v tom případě, když chceme obsáhnout celé pásmo krátkých vln v malém počtu dílčích rozsahů.

Druhý oscilátor může být řízen krystalem, aby se zvětšila jeho stabilita, přičemž dbáme na to, aby pracoval pokud možno ve třídě A s minimálním obsahem harmonických

Polohu pronikajících násobků kmitočtu druhého oscilátoru předem propočítáme [V 8] a snažíme se dodržet všechny zásady konstrukce, uvedené v předchozím odstavci. Při správném provedení můžeme zanedbat harmonické počínaje pátým rádem. I tehdy je však pronikajících tzv. vlastních kmitočtů (někdy je nazýváme „hluchými“) celá řada.

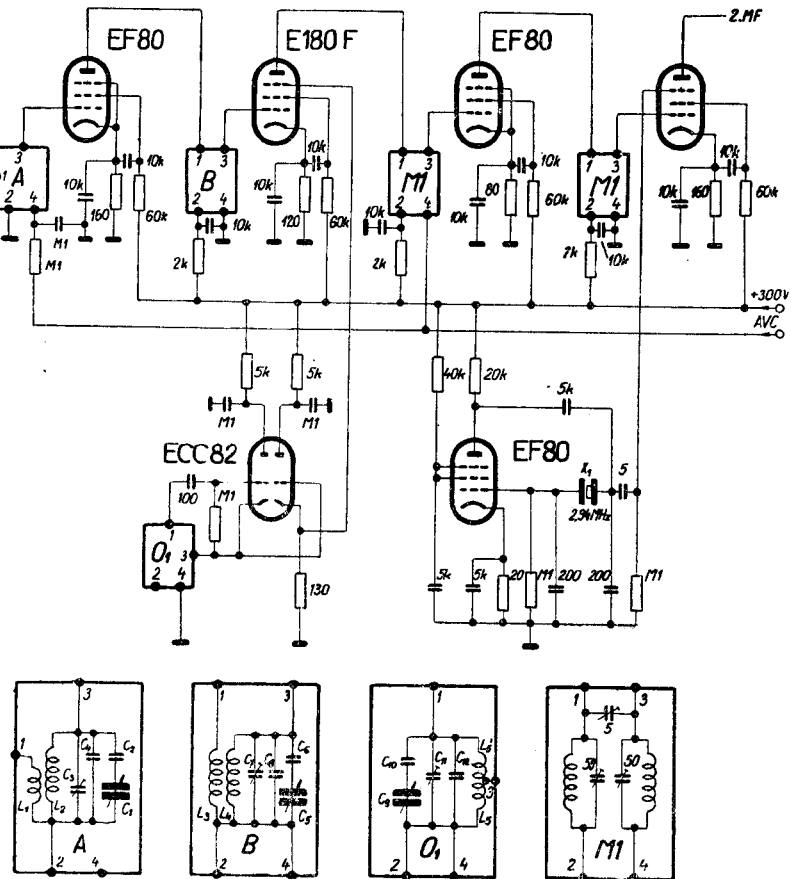
Použijeme-li pouze rozprostřených amatérských pásem, je možno stanovit tzv. bezpečné kmitočty druhého oscilátoru, jejichž harmonické leží až do desátého rádu mimo oblast přijímaných kmitočtů. Pak je možno počítat se skutečně špičkovou citlivostí přijímače, bez hluchých míst, způsobených vlastními kmitočty přijímače. Tím však parazitní příjmy nekončí. Mohou se vyskytnout tak nepříznivé případy, kdy se směšují v prvním směšovači harmonické vyššího rádu prvního a druhého oscilátoru s harmonickými přijímaných silných signálů, zkreslených zahlcením vstupních vf zesilovačů [V 9]. V amatérské praxi můžeme jen těžko postihnout všechny takové okolnosti, a proto se snažíme pečlivým stíněním zabránit alespoň vlastním příjmu prvního rádu.

Bezpečné kmitočty druhého oscilátoru, jejichž harmonické až do desátého rádu nespadají do amatérských pásem, můžeme volit v mezích 2,075 až 2,090 MHz, 2,1 až 2,3 MHz, 2,92 až 2,99 MHz, 3,28 až 3,48 MHz, 4,92 až 5,24 MHz a 5,9 až 6,9 MHz a v mezích všech celistvých násobků těchto kmitočtů.

Tabulka II-7. Prvky 1. oscilátoru

ROZSAH od do	3,5 4,0	4,0 8,0	8,0 15,0	15,0 22,0	22,0 30,0	7,0 7,5	14,0 14,5	21,0 22,0	28,0 29,0
C_{10a}	14,2	79,0	42,7	25,4	19,3	9,75	4,6	5,0	4,5
C_{10b}	14,7	100	48,0	27,2	20,3	10,0	4,7	5,2	4,5
C_{11}	6,2	6,5	3,8	7,0	8,6	5,5	7,2	7,0	7,3
C_{12}	40,0	25,0	10,0	10,0	10,0	50,0	20,0	15,0	15,0
L_5	13,5	6,3	4,7	2,5	1,43	6,3	4,7	2,5	1,43
f_1	3,86	7,73	14,5	21,0	29,0	(7,73)	14,5	21,0	29,0
f_2	(3,0)	6,0	11,5	16,5	22,5	—	—	—	—
f_3	(2,14)	4,27	8,5	(12,0)	(16,0)	—	—	—	—
KAPACITY v pF					KMITOČTY v MHz				

Schéma vstupního dílu přijímače s velkým potlačením zrcadlových kmitočtů (až 60 dB) je na obr. II-05. Laděné obvody A, B mohou být nahrazeny pásmovými propustmi v tom případě, že omezíme příjem pouze na amatérská pásmá. Konstrukční údaje je možno určit z tab. II-3 s výjimkou oscilátoru, jehož hodnoty jsou udány v tabulce II-7 včetně bodů souběhu. Pro získání žádané zrcadlové selektivnosti postačí jeden vf zesilovač s elektronkou EF 80. Za prvním směšovačem následuje jednostupňový zesilovač první mezifrekvence s pás-



II-05. Vstupní díl superhetu s dvojím směšováním

movými propustmi a druhý směšovač. V obou směšovacích stupních jsou použity elektronky E180F s injekcí oscilátoru do brzdicí mřížky. První laditelný oscilátor je v třibodovém zapojení s oddělovacím katodovým sledovačem (elektronka ECC 82). Druhý oscilátor je řízen krystalem 2,94 MHz v Pierceově zapojení.

Při příjmu signálu např. na kmitočtu 14,010 MHz vzniká v prvním směšovači rozdílový kmitočet prvního oscilátoru (16,480 MHz) a vstupního signálu, tj. 2470 kHz. Po zesílení a oddělení nežádoucích složek směšujeme tento první mf kmitočet s napětím druhého oscilátoru (2940 kHz) a rozdílový kmitočet 470 kHz dále zpracujeme ve druhém mf zesilovači.

II-05. VYVAŽOVÁNÍ VSTUPNÍ ČÁSTI SUPERHETU

V důsledku kvadratické závislosti kmitočtu na změně kapacity rezonančního obvodu nelze dosáhnout přesného souběhu kmitočtu oscilátoru a vstupních laděných obvodů v celém dílčím rozsahu. Proto určujeme vždy dva až tři tzv. body souběhu v každém dílčím rozsahu, ve kterých jsou rezonanční kmitočty vstupu a oscilátoru rozdílné přesně o mezifrekvenční kmitočtu. V ostatních částech rozsahu dochází k menším nebo větším odchylkám (tzv. chyby souběhu), které se projeví mírným poklesem zesílení vf části.

Postup vyvažování vstupního dílu superhetu je všeobecně známý [L 11], a proto si jen v krátkosti všimneme některých základních otázek. Nejobtížnější je nastavení poměru indukčnosti k počáteční a konečné kapacitě ladicího kondenzátoru oscilačního obvodu tak, aby ho při plné změně kapacity obsáhlí právě jen žádané pásmo kmitočtů. Nejsnazší cestou je přímá kontrola kmitočtu oscilátoru druhým, plynule laditelným přijímačem nebo vlnoměrem. Víme, že oscilátor pracuje obvykle na kmitočtu o mezifrekvenci vyšší než vstupní obvody. Při nastavování oscilátoru vždy kontrolujeme jeho horní a dolní mezní kmitočet a změnu indukčnosti a kapacit obvodu nastavíme žádané hodnoty kmitočtu. Zásadou je, že zmenšováním sériové a zvětšováním paralelní kapacity ladicího kondenzátoru se zmenšuje poměr mezních kmitočtů (pásmo se zužuje), přičemž v prvním případě kmitočet stoupá, ve druhém klesá. Zvětšením sériové nebo zmenšením paralelní kapacity se poměr mezních kmitočtů zvětšuje, kmitočet při zvětšení sériové kapacity klesá a při zmenšení paralelní kapacity stoupá.

Tabulka II-8. Nastavení mezních kmitočtů oscilátoru

Tabulka platí za předpokladu přesných hodnot C_{10} a C_{12} .

Mezní kmitočet ve srovnání s žádanou hodnotou je:				
DOLNÍ HORNÍ	NIŽŠÍ VYŠŠÍ	NIŽŠÍ NIŽŠÍ	VYŠŠÍ VYŠŠÍ	VYŠŠÍ NIŽŠÍ
OPRAVA	Zvětšit C_{11} Zmenšit L_5	Zmenšit L_5 Doladit C_{11}	Zvětšit L_5 Doladit C_{11}	Zmenšit L_5 Zvětšit C_{11}
DOLNÍ HORNÍ	SPRÁVNÝ NIŽŠÍ	SPRÁVNÝ VYŠŠÍ	NIŽŠÍ SPRÁVNÝ	VYŠŠÍ SPRÁVNÝ
OPRAVA	Zmenšit C_{11} Zvětšit L_5	Zvětšit C_{11} Zmenšit L_5	Zmenšit L_5 Zvětšit C_{11}	Zvětšit L_5 Zmenšit C_{11}

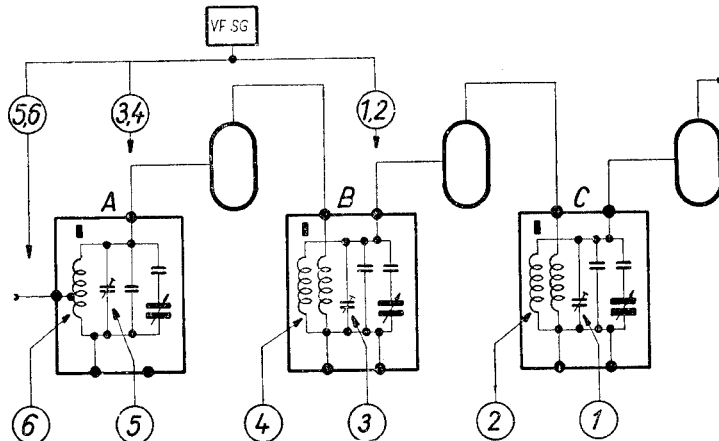
Změnou indukčnosti se poměr mezních kmitočtů příliš nemění, celý rozsah se při zvětšení indukčnosti posune k nižším a při zmenšení k vyšším kmitočtům.

Druhou možností, častěji používanou, je nastavení oscilátoru pomocí vf signálního generátoru, jehož výstupní napětí připojíme na mřížkový obvod směšovače. V tomto případě musí pracovat i celá mezifrekvenční část vyvažovaného přijímače a hledáme vždy maximum napětí za detektorem. Rozdíl kmitočtů vf generátoru a oscilátoru je dán kmitočtem mezinárodního standardu. Zjištěné odchylky od vypočtených hodnot dolního a horního mezního kmitočtu oscilátoru vyrovnáme změnou indukčnosti a kapacity rezonančního obvodu podobně jako v předchozím případě.

V tabulce II-8 je uveden přehledně celý postup za předpokladu přesných hodnot sériové kapacity a pevné části paralelní kapacity v obvodu oscilátoru. Není-li tato podmínka splněna, je třeba kontrolovat i střední souběhový bod (kmitočet f_2) a jeho polohu opravit změnou sériové kapacity. Všechny prvky rezonančního obvodu jsou vázány podmínkou rezonance, a proto při změně kteréhokoli člena je nutno znovu provéřit všechny tři souběhové body.

Dalším krokem je vyvážení vstupních rezonančních obvodů.

Zde je opět nutný signální vf generátor, vyvážená mf část přijímače a výstupní voltmetr, kterým měříme buď přímo detekované napětí, nebo ní výstup přijímače. Hloubku modulace vf napětí generátoru volíme asi 30 %, výstupní napětí určíme z předpokládané vstupní citlivosti přijímače tak, že na každý vf zesilovací stupeň počítáme s desetinásobným zesílením. Postup při vyvažování je naznačen v tabulce II-9 a na obr. II-06. Regulátory vf, mf i nf zesílení jsou nastaveny na maximum, automatické řízení citlivosti vypnuto. Popis souhlasí s postupem vyvažování hlavních dílčích rozsahů vstupní části superhetu podle obr. II-03.



II-06. Postup vyvažování vstupní části superhetu

Poněkud odlišný postup volíme při vyvažování obvodů v rozprostřených částech rozsahů. Podmínky souběhu se zde redukují obvykle na jeden bod, ležící uprostřed rozprostřeného pásmá. Vyvažovat začínáme opět od obvodu oscilátoru, stejně, jako u hlavních rozsahů. Pokud pro hlavní i rozprostřené pásmo použijeme též indukční cívky, nastavujeme mezní kmitočty výlučně změnou velikosti sériové a paralelní rozprostírací kapacity. Velmi vhodné je použít kontrolního přijímače nebo přesného vlnoměru a přímo sledovat změny kmitočtu. U popsaných zapojení jsou udány přímo mezní kmitočty oscilátoru, u jiných přístrojů musíme vždy k vstupním mezním kmitočtům přičíst kmitočet mezinárodního standardu.

Vyvážení vstupních obvodů je pak velmi jednoduché.

Tabulka II-9. Postup vyvažování vstupních obvodů superhetu

VF generátor v bodu	B 3		A 3		A 1	
číslo postupu	1	2	3	4	5	6
kmitočet vf gener.	f_1	f_3	f_1	f_3	f_1	f_3
kmitočet přijímače	f_1	s	f_1	f_3	f_1	f_3
doladit v obvodu	<i>C</i>		<i>B</i>		<i>A</i>	
prvkem	C_p	L_C	C_p	L_B	C_p	L_A
kontrolní kmitočet	f_2		f_2		f_2	
oprava	C_s		C_s		C_s	

Leží-li některý bod souběhu v rozprostřeném pásmu, nastavíme změnou paralelní kapacity maximální hodnotu výstupního napětí pro tento kmitočet. Velikost sériové a paralelní rozprostřicí kapacity musí přesně souhlasit s vypočtenou hodnotou, jinak je nutno i zde porovnávat zesílení na začátku a na konci rozprostřeného pásma. Souběh nastavíme na nejvyšším kmitočtu změnou velikosti paralelní kapacity, na nejnižším kmitočtu rozprostřeného pásma změnou hodnoty sériové rozprostřicí kapacity.

Vstupní pásmové propusti nejsnáze nastavíme pomocí rozmítáče TESLA BM 419 ve spojení s oscilografem. Sířka pásma propustnosti roste s rozladěním obou obvodů propusti a se zvětšováním vazební kapacity. Tvar křivky sledujeme přímo na stínítku obrazovky. Při vyvažování postupujeme vždy směrem od směšovače ke vstupu přijímače.

Při použití vf signálního generátoru nejprve nastavíme nejmenší vazbu obvodů propusti a oba rezonanční obvody vyladíme na střední kmitočet pásma propustnosti. Potom nastavíme požadovaný stupeň vazby a měříme bod po bodu celou rezonanční křivku propusti. Je-li příliš úzká, zvětšíme vazbu. Nepomáhá-li tento zákon, rozladíme mírně oba vázané obvody, jeden směrem k nižším, druhý směrem k vyšším kmitočtům. Celý postup a měření křivky propustnosti opakujeme tak dlouho, až dosáhneme žádaných výsledků. Nezapomínejme, že se zmenšováním vazby a rozladěním obvodů klesá zesílení stupně. Proto nikdy nezvyšujeme šířku pásma více než

je třeba. Přípustné rozdíly ve tvaru křivky propustnosti mohou dosahovat ± 3 dB. U dvoustupňového zesilovače můžeme vhodnou změnou tvaru křivek propustnosti jednotlivých stupňů vyrovnat zesílení celé vstupní části tak, že je zvlnění horní části křivky minimální.

Nastavení souběhu s předem cejchovanou stupnicí je podobné. Kontrolujeme vždy souhlas v předepsaných bodech souběhu. Zásadou je, že stupnice je určena průběhem kmitočtu oscilátoru, k němuž přizpůsobujeme hodnoty vstupních laděných obvodů. Cejchování nové stupnice provádíme pomocí přesného vlnoměru, na němž měříme kmitočet oscilátoru a po odečtení (nebo přičtení) kmitočtu mezfrekvence vyneseme na stupnici cejchovní body, obvykle po desítkách kHz nebo pomocí krystalového kalibrátoru. Nejprve označíme body stupnice s odstupem 1 MHz, potom 100 kHz, 10 kHz a případně 1 kHz.

B. Mezifrekvenční obvody přijímače

Počet stupňů mezifrekvenčního zesilovače určujeme především podle požadovaného zesílení mf části přijímače, které dosahuje obvykle řádu 10^5 . Kromě toho je však třeba docílit potřebné strmosti boků křivky propustnosti mf obvodů, a ta roste úměrně s počtem zesilovacích stupňů. Proto je obvyklé, že mf zesilovače sdělovacího přijímače jsou dvoustupňové nebo třístupňové, ačkoliv na kmitočtech pod 500 kHz snadno dosáhнемe zesílení v jednom stupni až 500krát.

Zesílení každého stupně s rezonančním obvodem je vázáno podmínkou stabilnosti zesilovače [V 5], takže pro moderní elektronky typu EF 80, EBF 89, 6Ž4 nebo 6F31, které v mf stupních nejčastěji používáme, je dosažitelné stabilní zesílení pro jeden stupeň podstatně menší a klesá s počtem stupňů (tab. II-10). Je nesprávné počítat s velkým zesílením v jediném stupni mf zesilovače, protože tím nemůžeme docílit potřebné selektivnosti a stabilnosti mf části přijímače.

U superhetů s jedním směšovačem rozdělujeme požadované zesílení tak, že vf stupně zesilují asi 100krát, směšovač a mf stupně 30 000krát a mf stupně asi 100krát. Protože zesílení jednotlivých stupňů se násobí, je obvykle vf zesilovač dvoustupňový ($A = 10 \times 10 = 100$), ve směšovači zesílíme signál

Tabulka II-10. Stabilní zesílení mf zesilovačů

Dovolené zesílení v jednom stupni				Dosažitelné celkové zesílení mf části přijímače				
N	60	150	350	470	60	150	350	470
1	330	225	130	125	$3,3 \cdot 10^3$	$2,25 \cdot 10^3$	$1,3 \cdot 10^3$	$1,25 \cdot 10^3$
2	230	155	90	85	$5,5 \cdot 10^4$	$2,4 \cdot 10^4$	$8,0 \cdot 10^4$	$7,4 \cdot 10^4$
3	200	135	85	75	$> 10^6$	$> 10^6$	$6,2 \cdot 10^6$	$4,3 \cdot 10^6$
4	190	125	80	70	$> 10^6$	$> 10^6$	$4 \cdot 10^6$	$2,5 \cdot 10^6$
C_0	500 pF	200 pF	Střední zesílení směšovače: 10krát					

asi desetkrát a mf zesilovač je dvoustupňový ($A = 55 \times 55 \doteq 3000$). Celkové zesílení vysokofrekvenčních a mezifrekvenčních stupňů $A = 10 \times 10 \times 10 \times 55 \times 55 \doteq 3 \cdot 10^6$. To znamená, že vstupní signál s úrovní $1 \mu\text{V}$ je zesílen ve stupních před detektorem na hodnotu 3 V, za detektorem získáme asi 1,4 V a po stonásobném zesílení v nf stupni asi 140 V na primáru výstupního transformátoru.

Superhet s dvojím směšováním vyžaduje poněkud odlišné uspořádání: jednostupňový vf zesilovač ($A = 10$), první směšovač ($A = 3$), jednostupňový první mf zesilovač ($A = 20$), druhý směšovač ($A = 5$) a dvoustupňový druhý mf zesilovač ($A = 30 \times 30 = 900$), ve kterém nevyužijeme plné zesílení. Celkové zesílení vf a mf stupňů $A = 10 \times 20 \times 3 \times 5 \times 30 \times 30 = 2,7 \cdot 10^6$.

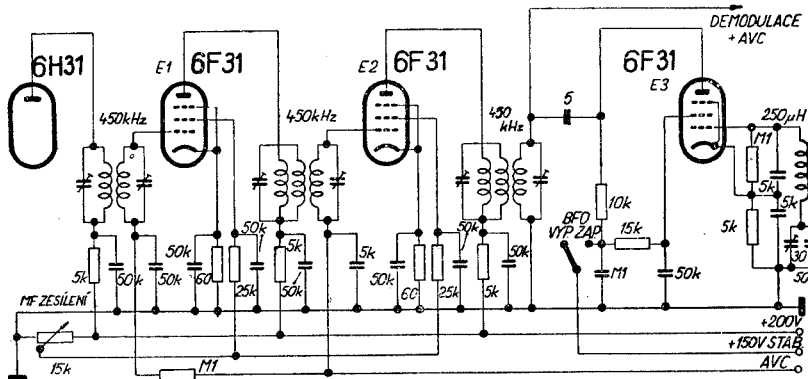
Požadavek dobré selektivnosti přijímače tedy určuje větší počet zesilovacích stupňů, než je nutný pro potřebné zesílení signálu. Proto i vazba mezi elektronkami a pásmovými propustmi je vždy menší, než dovoluje podmínka stabilního zesílení. Tato skutečnost nemálo přispívá i ke zvýšení činitele jakosti rezonančních obvodů, které jsou méně tlumeny vstupní a výstupní impedancí elektronek.

II-06. JEDNODUCHÝ MEZIFREKVENČNÍ ZESILOVAČ 450 kHz

Pro příjem telegrafie a telefonie bez nároků na větší selektivnost vyhoví jednoduché zapojení mf zesilovače podle obr. II-07. Zesílení v jednom stupni je asi osmdesátinásobné, takže

s jednoduchým vf zesilovačem je skutečná citlivost superhetu asi $10 \mu\text{V}$ při poměru signálu k šumu 20 dB. Šířka pásma propustnosti dosahuje 4 kHz při potlačení nežádoucích kmitočtů o 12 dB (1 : 4).

Je pochopitelné, že nelze použít továrně vyrobených mf pásmových propustí beze změn. Především musíme zjistit v pokusném zapojení křivku propustnosti a zesílení v jednom stupni. Podle výsledků při velké šířce pásma zmenšíme vazbu obvodů buď zvětšením vzdálenosti mezi cívkami, nebo vložením



II-07. Jednoduchý mf zesilovač 450 kHz

stínící přepážky z měděného plechu mezi obě cívky. Další úprava záleží ve zmenšení vazby mezi anodou elektronky a primárním obvodem propusti. Odvíjení závitů a posouvání odbočky nelze doporučit, to je již lepší a výhodnější navinout všechny cívky znova. Snazší je úprava navinutím samostatné vazební cívky, jejíž indukčnost vypočteme ze vzorce

$$L_v = \frac{50660}{f_{mf} C_{mf}} \frac{A}{A_m}, \quad (18)$$

kde L_v je indukčnost vazební cívky - μH ,

C_{mf} je kapacita jednoho obvodu propusti - pF ,

f_{mf} je kmitočet mezifrekvence - MHz,

A_m je změřené zesílení jednoho mf stupně bez úprav,

A je požadované zesílení jednoho stupně po úpravě.

Vazební cívku nasuneme na tělíska cívek na vnější stranu té poloviny propusti, která je zapojena v anodovém okruhu

elektronky. Vzdálenost obou cívek nastavíme při zkušebním měření zesílení stupně. Cívku zakápneme dobrým lakem. V navrženém zapojení je použito mf propusti 452 kHz s kapacitou obvodu 300 pF. Indukčnost primáru je $L = 410 \mu\text{H}$, změřené zesílení $A_m = 200$, požadované zesílení $A = 80$, indukčnost vazební cívky $L_v = 330 \mu\text{H}$. Vzdálenost mezi cívkami $d = 2,5$ mm. Chceme-li použít odbočky na primární cívce, musí být umístěna asi v polovině závitu. Indukčnost samotné vazební části cívky však není poloviční, jak by se zdálo při odhadu podle počtu závitů, ale menší o vzájemnou indukčnost obou částí cívky. Obecně platí vzorec

$$L_1 = m^2 L, \quad (19)$$

kde L_1 je indukčnost vazební části cívky, měřená mezi odbočkou a vf uzemněnou stranou cívky,

L je indukčnost celé cívky,

m je poměr závitů vazební části cívky k celkovému počtu závitů, nebo požadované poměrné zmenšení zesílení stupně.

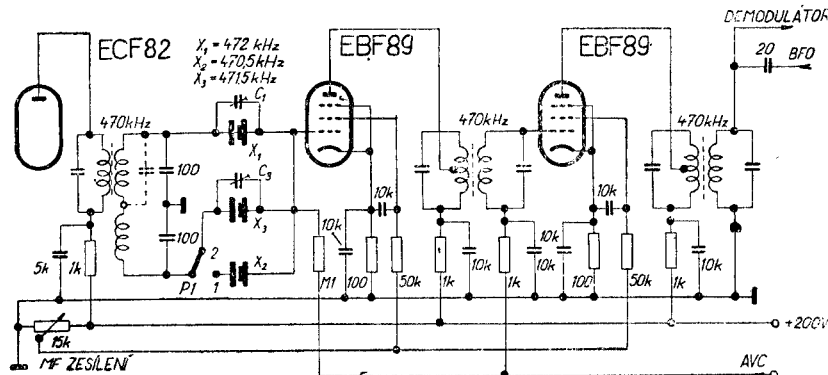
V našem příkladu indukčnost vazební části cívky $L_1 = (80 : 200)^2 \cdot 410 = 66 \mu\text{H}$.

Vyvážení celého mf zesilovače je snadné. Signální vf generátor nastavíme na kmitočet 450 kHz a všechny obvody postupně naladíme na maximální výstupní napětí detektoru. Začínáme obvodem v anodě elektronky E 2 a skončíme nastavením propusti v anodovém okruhu směšovače. Při 30 % modulaci je výstupní napětí detektoru asi 0,2 V při vf napětí 10 μV na mřížce směšovače.

II-07. MEZIFREKVENČNÍ ZESILOVAČ PRO VŠECHNY DRUHY PROVOZU

Zařazením pásmové propusti s krystaly získáme výhody příjmu jednoho postranného pásmá při telefonii a možnost dokonalého potlačení nežádoucích kmitočtů při telegrafii. Základní zapojení zesilovačů je shodné s předchozím příkladem (obr. II-08). Propust s krystaly je zařazena přímo v anodovém okruhu směšovací elektronky. Přepínačem $P 1$ je možno měnit šířku propouštěného pásmá ze 2 kHz na 150 Hz pro potlačení 6 dB. I když křivka propustnosti nemá ideální tvar (viz obr. I-26, typ C), je toto zapojení vhodné především jako doplněk

hotové mf části přijímače. Umožňuje velmi dobrý příjem telefonie s jedním postranním pásmem, i úplného modulovaného signálu. Při telegrafním provozu se projeví přednosti polosouměrného zapojení krystalů tím, že přijímáme jen jednu stranu signálu. Zapojení omezuje zákmity krystalů na minimum, takže ani při silných signálech nebo atmosférických výbojích nevzniká charakteristický zvonivý zvuk. Nevýhodou



II-08. Zapojení mf zesilovače pro všechny druhy provozu

zapojení je změna vyladění signálu při volbě postranního pásmá, kterou provádíme přeložením kmitočtu záhnějového oscilátoru. Automatické vyrovnání změny ladění je možno uskutečnit připojením malé kapacity paralelně k oscilátoru ve vstupní části superhetu. Její velikost je však v každé části rozsahu jiná, takže by vznikl velmi komplikovaný přepínač. Proto u jednoduchých zapojení mf části přijímače změny ladění nevyrovnanáváme.

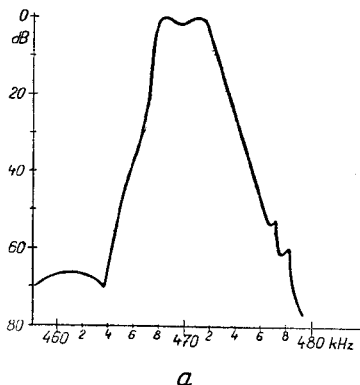
Laděné obvody pásmových propustí jsou navrženy pro střední kmitočet 470 kHz, vazba se zesilovacími elektronkami je provedena odbočkou na primárním obvodu. U propustí tovární výroby musíme opět zjistit polohu odbočky měřením. Zkoušky s různými druhy propustí potvrzují, že v obvodu krystalů je nejvhodnější výsledná kapacita děliče 100 pF (dvakrát 200 pF v sérii). Běžné typy mf propustí jsou však laděny kondenzátory 200 pF, proto doplníme sekundár první propusti přídavnou cívkou v sérii tak, aby rezonoval na 470 kHz při výsledné kapacitě děliče asi 100 pF.

Před zapojením krystalů změříme přesně jejich sériový

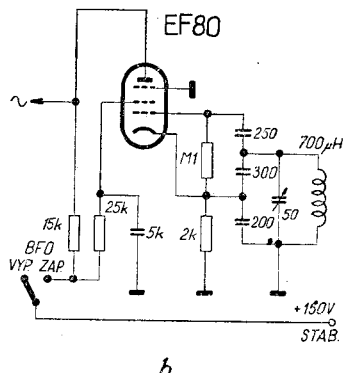
rezonanční kmitočet (způsob měření je popsán v oddílu I-16). Při vyvažování postupujeme tak, že odpojíme anodové napětí elektronek vf zesilovače, prvního oscilátoru a záznějového oscilátoru. Přijímač přepneme na nejvyšší kmitočtový rozsah a polohu ladících prvků během měření neměníme. Elektronkový voltmetr připojíme paralelně k pracovnímu odporu detektoru, nebo vf voltmetr s detekční sondou vážeme malou kapacitou se sekundárním obvodem propusti F_3 . Automatické řízení citlivosti vypneme, zesílení mf části nastavíme na maximum.

Signální generátor naladíme na střední kmitočet krystalů $X 1$ a $X 2$ (dvojice s největším rozdílem kmitočtů), výstupní napětí nastavíme asi na 15 mV a připojíme na první mřížku elektronky $E 2$. Oba obvody propusti F_3 vyladíme na maximální výchylku výstupního voltmetu. Signální vf generátor přepojíme na řidící mřížku elektronky $E 1$ a stejným způsobem naladíme propust F_2 . Kontrolujeme, zda všechny obvody jsou vyladěny přesně na stejný kmitočet.

Nyní zapojíme krystaly $X 1$ a $X 2$, signální generátor připojíme na mřížku směšovače a zvolna měníme kmitočet po 2 kHz od 460 do 480 kHz. Poznamenáme si do tabulky výchylky výstupního voltmetu v každém bodu. Po skončení měření porovnáme velikost změřeného výstupního napětí. Obvykle zjistíme dvě maxima, která se kmitočtově poněkud liší od sériové rezonance krystalů $X 1$ a $X 2$. Kmitočty, na kterých se vyskytují obě maxima, sečteme, výsledek dělíme dvěma (tj. střední hodnota obou kmitočtů) a signální generátor nastavíme přesně na vypočtený kmitočet. Obě poloviny propusti F_1



II-09. a - křivka propustnosti mf zesilovače, b - zapojení záznějového oscilátoru



vyladíme do rezonance právě na tomto kmitočtu, takže se podstatně vyrovná sedlo mezi oběma vrcholy křivky propustnosti. Průměrně jsou oba vrcholy po doladění asi o 25 % vyšší než střední část křivky.

Pro nastavení optimální hodnoty fázovacího trimru C_1 je nejvhodnější měření pomocí rozmítáče. Nemáme-li ho, musíme trpělivě měřit vždy celou křivku propustnosti bod po bodu. Kapacitu C_1 nastavíme tak, abychom dosáhli podstatného zúžení boků křivky současně s dostatečným potlačením postranních hrbů.

Po přepnutí na nejmenší šířku pásma propustnosti (krystaly $X 1$ a $X 3$) musíme v každém případě sejmout křivku bod po bodu, protože při použití rozmítáče dochází ke zkreslení průběhu v důsledku zákmitů na strmých bocích křivky. Kondenzátor C_3 nemá mít větší kapacitu než 0,5 pF, vyrovnává jen kapacity spojů. Vyladění indukčností (nebo kapacit) obvodů pásmových propustí již neměníme.

Při příjmu postranních pásem (provoz SSB) je správný kmitočet záznějového oscilátoru 469 kHz nebo 472 kHz. Tvar křivky propustnosti při největší šířce pásma je na obr. II-09a.

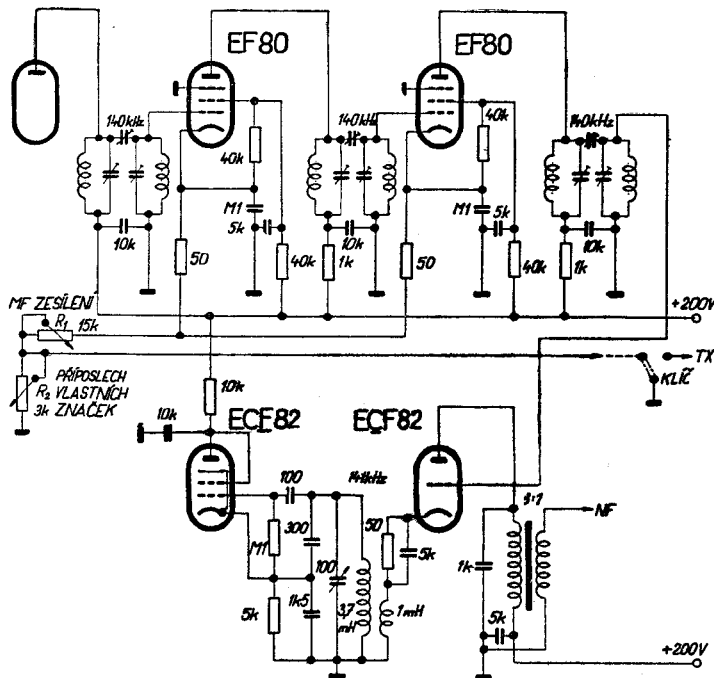
II-08. MEZIFREKVENČNÍ ZESILOVAČ PRO PŘÍJEM TELEGRAFIE

Přijímač pro duplexní telegrafní provoz má své specifické vlastnosti, především vysokou signálovou selektivitu, nízkou úroveň šumu a odolnost mřížkových okruhů zesilovacích elektronek proti uzavírání vlivem detekce silného signálu místního vysílače. Znakem provozní a technické vyspělosti každého radioamatéra je skutečnost, že jeho přijímač umožňuje příjem protistanice i v kratičkých mezerách mezi značkami při vysílání.

Dvoustupňový mezifrekvenční zesilovač na obr. II-10 splňuje i ty nejvyšší požadavky. Nízký střední kmitočet pásmových propustí dovoluje využít plného zesílení v obou stupních a navíc zaručuje pásmo propustnosti nejvýše 1,5 až 2 kHz. Kapacitní vazbu obvodů můžeme podle potřeby zmenšit a tím v malých mezích ovlivnit signálovou selektivnost. Mřížkové okruhy obou elektronek jsou tvořeny přímo laděnými obvody propustí, takže mřížkový proud při silném signálu nenabíjí obvyklý člen RC řídící mřížky. Zesílení mf stupňů je řízeno napětím katod elektronek potenciometrem R_1 . Tlumení přijímače při klíčování

je určeno velikostí spádového napětí na potenciometru R_2 , kterým zároveň řídíme sílu příposlechu vlastních signálů. Při příjmu je tento potenciometr zkratován klidovým kontaktem klíčovacího relé. Směšovací demodulátor, který vylučuje zahlcení a zkreslení při příjmu silných signálů, doplňuje celé zařízení.

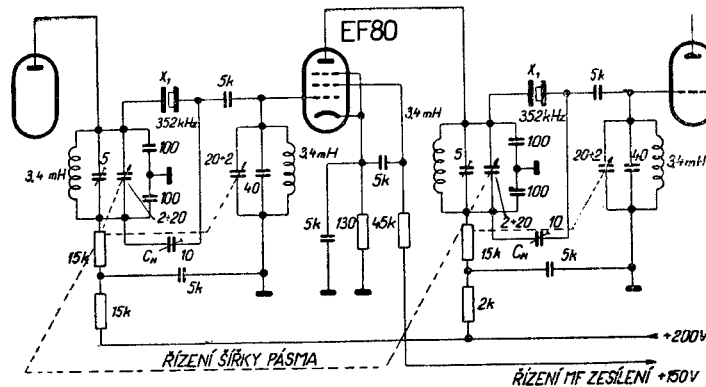
Při vyvažování mf stupňů připojíme nf elektronkový voltmetr na výstup demodulátoru a vf signální generátor bez modulace nastavíme na střední mezifrekvenční kmitočet. Začínáme propustí F_3 (generátor připojen na řídící mřížku elektronky $E\ 2$) a nejprve změnou polohy jádra cívky záznějového oscilátoru nastavíme zázněj asi 800 Hz, který kontrolujeme sluchátky. Potom doladíme postupně všechny obvody pásmových propustí na maximální nf signál.



II-10. Zapojení mf zesilovače pro příjem telegrafie

II-09. MEZIFREKVENČNÍ ZESILOVAČ S PROMĚNNOU ŠÍRKOU PÁSMA PROPUSTNOSTI

Zapojení dvou propustí s krystaly podle obr. II-11 je vhodné pro příjem telegrafie a telefonie. Současným protisměrným rozložováním čtyř mf obvodů vázaných krystaly můžeme dosáhnout plynulé změny šírky pásma propustnosti od 150 Hz do 6 kHz. Princip byl vysvětlen v první kapitole.



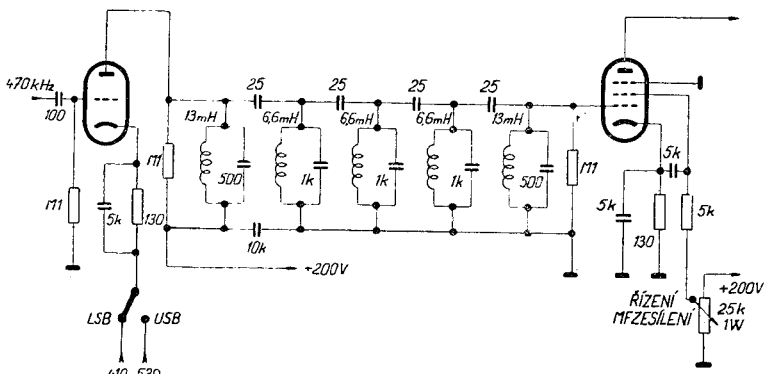
II-11. Zapojení mf obvodu s proměnnou šírkou pásma propustnosti

Při vyvažování postupujeme tak, že čtyřnásobný diferenciální kondenzátor nastavíme do polohy, ve které je výsledná ladící kapacita každého okruhu 57 pF. Signální generátor nastavíme přesně na kmitočet sériové rezonance krystalů. Postupně vydádime pomocí jader cívek a paralelních trimrů všechny obvody do rezonance (jako indikátor použijeme opět výstupního voltmetu). Potom bod po bodu změříme křivku propustnosti a případné nerovnoměrnosti opravíme polohou fázovacích trimrů. Při správném nastavení má být pásmo propustnosti asi 6 kHz pro pokles 6 dB a potlačení postranních hrbů křivky alespoň 40 dB.

Nastavením čtyřnásobného kondenzátoru do druhé krajní polohy (LC obvody rozladěny) získáme šířku pásma asi 150 Hz.

II-10. DOKONALÝ MF ZESILOVAČ PRO VÝBĚR JEDNOHO POSTRANNÍHO PÁSMA

Pro příjem telefonie s jedním postranním pásmem musíme zajistit v mf části přijímače křivku propustnosti, která se co nejvíce blíží obdélníku. To vyžaduje buď použití dvou kaskádně zapojených propustí se čtyřmi krystaly, nebo velmi nízký mezifrekvenční kmitočet. Superhety s mezifrekvenční kolejem 470 kHz můžeme snadno doplnit selektivním zesilovačem podle obr. II-12.



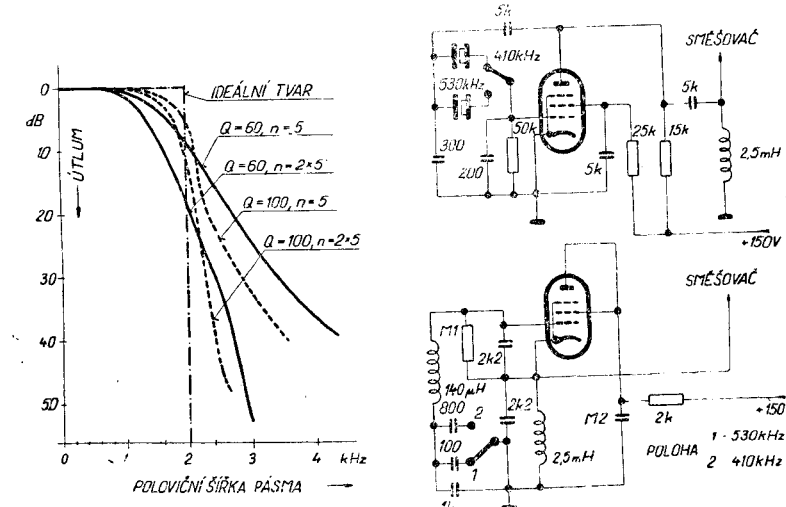
II-12. Dokonalý mf zesilovač

Mezifrekvenční signál odebíráme např. z komunikačního přijímače z obvodu před detektorem, nebo místo detektoru zapojíme katodový sledovač a spojíme jeho výstup s mf doplňkem pomocí koaxiálního kabelu. Přivedený signál směšujeme s napětím oscilátoru tak, aby vznikl druhý mf kmitočet 60 kHz. Ve dvou stupních se soustředěnou selektivností získáme při dostatečně vysokém činiteli jakosti obvodů křivku propustnosti téměř ideálního tvaru (obr. II-13). Výhodná je i možnost volby postranního pásmá pouhým přepnutím kmitočtu druhého oscilátoru. ZáZNĚJOVÝ oscilátor je pevně nastaven na kmitočtu 58 kHz. Při telegrafním provozu doplníme nf část přijímače filtrem 800 až 1000 Hz, takže signálová selektivnost je lepší než při použití krystalu v mf obvodech.

Při využívání obvodů se soustředěnou selektivností musíme nejprve nastavit kmitočet druhého oscilátoru. Do anodového okruhu druhého směšovače zapojíme místo mf propusti

nízkofrekvenční transformátor s převodem 3 : 1. K jeho sekundárnímu vinutí připojíme sluchátka nebo nf zesilovač s reproduktorem. Přepínač postranních pásem přepneme do polohy 410 kHz (druh postranního pásmá) je určen polohou všech kmitočtů oscilátorů vůči signálu a je nutno jej určit individuálně). Signální generátor nastavíme na kmitočet 410 kHz, jeho výstupní napětí bez modulace přivedeme na druhou řídící mřížku druhého směšovače. Jádrem cívky druhého oscilátoru a změnou kapacity trimru nastavíme nulový záznam s kmitočtem 410 kHz. Změníme polohu přepínače postranních pásem a kmitočet signálního generátoru na 530 kHz a dodládíme kmitočet druhého oscilátoru přesně na nulový záznam. Znovu kontrolujeme a nastavíme kmitočty v obou polohách přepínače, protože změna kapacit se mírně přenáší vnitřními kapacitami přepínače a spojů.

Po nastavení oscilátoru odpojíme nf převodní transformátor a zapojíme anodový okruh druhého směšovače podle schématu. Kmitočet signálního generátoru nastavíme přesně na 468 kHz a zapneme záZNĚJOVÝ oscilátor. Přepínač postranních pásem přepneme do polohy 410 kHz. Vf napětí ze signálního generátoru bez modulace připojíme na druhou řídící mřížku druhého smě-



II-13. Křivka propustnosti mf zesilovače se soustředěnou selektivností

II-14. Dva příklady zapojení pomocného oscilátoru přijímače

šovače. Jádrem cívky záznějového oscilátoru nastavíme nulový zázněj. Po přepnutí do polohy 530 kHz musíme získat nulový zázněj při vstupním kmitočtu 472 kHz. Jinou možností kontroly nastavení obou oscilátorů je porovnání výšky záznějového tónu při vstupním kmitočtu 470 kHz. V obou polohách přepínače postranních pásem musí být kmitočet zázněje přesně 2 kHz, jinak musíme znovu nastavit oba kmitočty druhého oscilátoru [V 10].

Obě propusti se soustředěnou selektivností nastavujeme na maximální výstupní napětí při kmitočtu 60 kHz (odpovídá vstupnímu kmitočtu druhého směšovače 470 kHz). Postupujeme opět od posledního člena směrem ke směšovači. Nastavení několikrát kontrolujeme a opravujeme chyby vyvážení jednotlivých členů propustí. Nakonec změříme křivku propustnosti rozmitačem nebo bod po bodu.

Druh postranního pásma určíme podle známých zásad: pracuje-li první oscilátor superhetu na vyším kmitočtu než je přijímaný signál, odpovídá hornímu postrannímu pásmu poloha 530 kHz (přepínač druhého oscilátoru – volba pásem) a dolnímu postrannímu pásmu poloha 410 kHz. V opačném případě, kdy první oscilátor pracuje na nižším kmitočtu než je přijímaný signál, přijímáme v poloze 530 kHz dolní a v poloze 410 kHz horní postranní pásmo. Při větším počtu směšovačů v přijímači platí zásada, že vyšší kmitočet oscilátoru obrací polohu postranních pásem, nižší kmitočet oscilátoru než kmitočet signálu ponechává polohu pásem bez změny.

Při telegrafním provozu využíváme strmých boků křivky propustnosti k odříznutí rušivých signálů vhodnou volbou postranního pásma. Určujícími členy tvaru křivky jsou vazební a ladící kapacity propustí a činitel jakosti indukčních cívek. Pokud možno použijeme při stavbě hrncová jádra a vf lanko. Všechny obvody navzájem pečlivě stíníme, jinak dochází k deformaci křivky propustnosti.

C. Demodulační obvody přijímače

Posledním článkem superhetu, ve kterém dochází ke zpracování přijímaného signálu, je demodulátor. V tomto obvodu zpětně získáváme původní přenášenou informaci. Je lhoustejné,

zda bylo použito telegrafie nebo telefonie, amplitudové nebo kmitočtové modulace. Podle druhu přenosu se mění jen zapojení demodulačních obvodů. Výstupní napětí demodulátoru převádíme po zesílení přímo na akustické vlnění např. pomocí sluchátek nebo reproduktoru. Zvláštní skupinu tvoří obvody, ve kterých upravujeme získaný signál pro záznam informace např. dálkovým strojem, undulátorem nebo fototelegrafem. To jsou však záležitosti speciální sdělovací techniky, kterými se nebudeme zabývat.

Demodulátory obvykle dělíme do několika skupin. Při příjmu radiotelefonge a rozhlasu se uplatňují nejčastěji diodové amplitudové detektory právě tak jako při telegrafii. Zřídka používáme triod a pentod v zapojení pro mřížkovou a anodovou detekci amplitudově modulovaného signálu. Při příjmu telefonie s jedním postranním pásmem a nemodulované telegrafie typu A 1 se stále častěji uplatňuje vedle amplitudových detektorů se záznějovým oscilátorem tzv. směšovací demodulátor (angl. název PRODUCT DETECTOR), který má pro tento účel daleko vhodnější pracovní charakteristiku. Kmitočtově a fázově modulované signály vyžadují použití poměrového detektoru nebo diskriminátoru. S rozvojem provozu SSB však úzkopásmová kmitočtová modulace téměř zmizela z amatérských pásem, takže typický krátkovlnný přijímač není obvykle vybaven obvody pro kmitočtovou demodulaci.

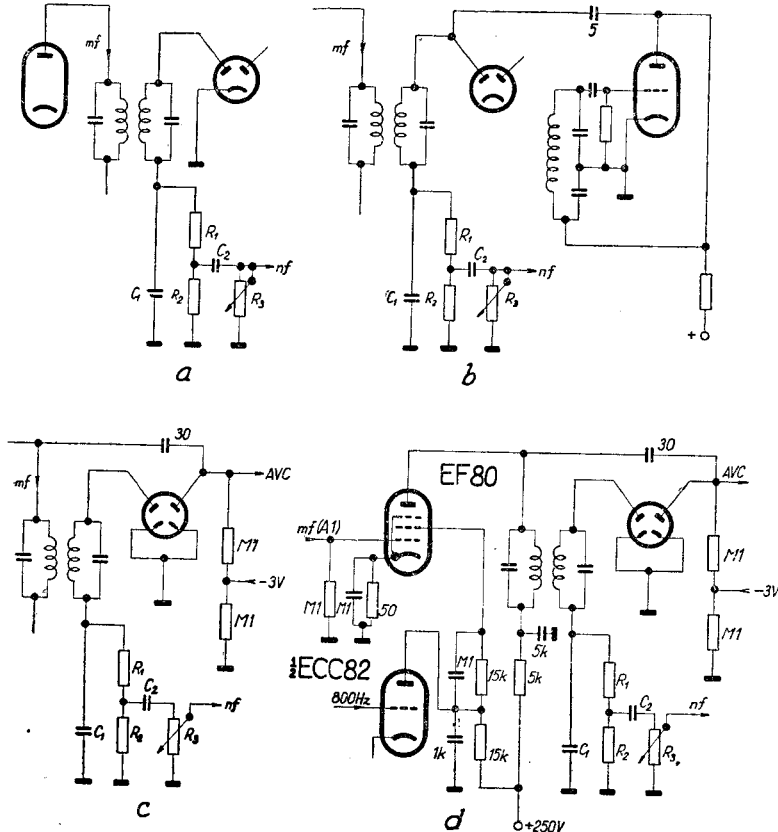
II-11. DIODOVÉ DETEKTORY

Nejrozšířenějším typem amplitudového demodulátoru je sériový diodový detektor (obr. II-15a), který pracuje spolehlivě při všech druzích provozu. Dioda vede proud v kladných půlvlnách střídavého napětí a na pracovních odporech R_1 , R_2 se vytváří napětí, úměrné modulačnímu kmitočtu. Střídavá složka s kmitočtem mezfrekvence je filtrována kondenzátorem C_1 , člen C_2R_3 pracuje jako vazební obvod následujícího nízkofrekvenčního zesilovače. Poměr velikosti odporů děliče R_1R_2 se pohybuje v mezích 1 : 6 až 4 : 1, podle požadavku filtrace mf kmitočtu. Zmenšováním odporu R_1 roste nelineární zkreslení detektoru. Optimální hodnoty jsou tyto: $R_1 = 0,3 M\Omega$, $R_2 = 0,2 M\Omega$, $R_3 = 0,5 M\Omega$, $C_1 = 100 \text{ pF}$.

Sériový diodový detektor pracuje s malým zkreslením i při značných amplitudách mf napětí. Jeho pracovní charakteristika je vhodná pro vytváření zázněje při příjmu nemodulované

telegrafie (obr. II-15b). Nevýhodou je poměrně malá vstupní impedance diody, takže při požadavku malé šířky pásma propustnosti je nutno zmenšit vazbu s posledním členem mf propusti i za cenu podstatného poklesu amplitudy detekovaného napětí.

Paralelní diodový detektor používáme převážně v obvodech automatického řízení citlivosti (obr. II-15c). Umožňuje jednoduché připojení zpožďovacího předpětí, takže při malých



II-15. Demodulační obvody přijímače: a - sériový diodový detektor, b - vytváření záznamu pro příjem telegrafních signálů, c - paralelní diodový detektor v obvodu AVC, d - příjem telegrafie se zapnutým AVC modulací mf napětí přijímače tónem

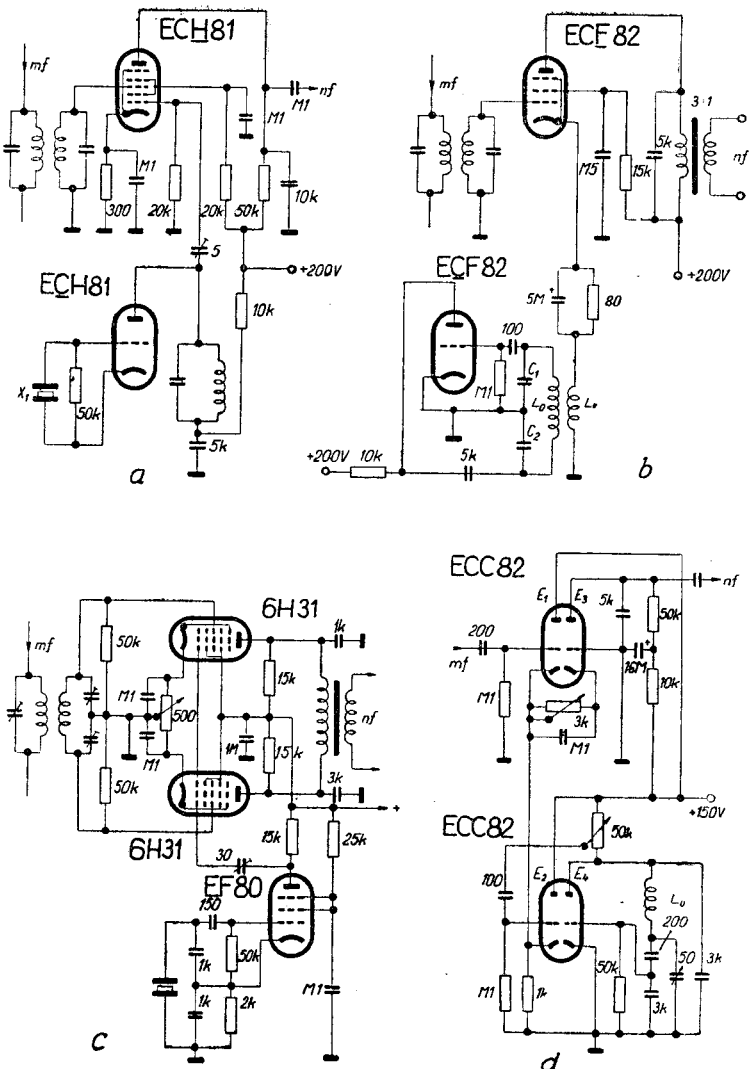
hodnotách vstupního signálu pracují obvody přijímače s plným zesílením. V uvedeném zapojení však nelze použít detekční obvod ve spojení se záznamovým oscilátorem, protože by docházelo k uzavírání elektronek vf a mf zesilovačů detekcí napětí záznamového oscilátoru. Proto musíme při příjmu telegrafie automatiku odpojovat např. zavedením velkého kladného předpětí katody diody nebo zkratováním celého okruhu napětí AVC.

V některých případech je výhodné použít automatického řízení citlivosti i při telegrafním provozu. Abychom odstranili nevýhody injekce napětí záznamového oscilátoru do obvodu detektoru, zavedeme amplitudovou modulaci mezifrekvenčního napětí (obr. II-15d). Poslední mf zesilovací elektronka je modulována ve stínící mřížce nízkofrekvenčním napětím s kmitočtem 400 až 1200 Hz, takže telegrafní signál je po detekci slyšitelný. Princip je stejný jako při použití modulované telegrafie typu A 2 s tím rozdílem, že modulaci vytváříme až v přijímači. Zapojení má podstatně menší šum než záznamový oscilátor, avšak všechny signály propouštěné mf obvody jsou po detekci kmitočtově shodné. Rozladení vstupních obvodů superheretu v mezích mf pásmu propustnosti nemá vliv na výšku tónu přijímaného signálu. Proto je uvedené zapojení vhodné jen pro mf zesilovače s vysokou selektivností a používá se např. v komerčních soupravách pro výběrový příjem. Při nízké selektivnosti přijímače nelze odlišit rušivé signály, nejsou-li alespoň dvacetkrát slabší než přijímaný signál.

Pokud není mf zesilovač zcela tranzistorizován, používáme i v demodulačních obvodech vakuové diody. Všeobecně lze použít polovodičových diod na bázi germania nebo křemíku, musíme však respektovat jejich poněkud odlišné vlastnosti. Germaniové diody mají ve srovnání s elektronkami podstatně menší odpor v závěrném směru (rádově $300\text{ k}\Omega$), takže při nízkých amplitudách mf signálu nastává vlivem zpětného proudu značné nelineární zkreslení. Stejný vliv mají i změny pracovních teplot polovodičových diod. Výhodou jsou malé rozměry a tím i nízké kapacity detekčního obvodu.

II-12. S MĚŠOVACÍ DEMODULÁTOŘE

Pro demodulaci telefonie s jedním postranním pásmem a pro příjem nemodulované telegrafie byla vyvinuta a vyzkoušena celá řada demodulátorů, založených na principu směšování dvou



II-16. Směšovací demodulátory: a - heptodový, b - s pentodou, c - vyvážené zapojení s heptodami, d - třítriodový směšovací demodulátor

napětí. Ve srovnání s diodovým detektorem je jejich zapojení poněkud složitější, má však řadu výhod a předností především při provozu SSB.

Diodový detektor pracuje s dobrou účinností a malým zkreslením při úrovni mezifrekvenčního signálu kolem dvou až tří voltů. Při provozu s potlačenou nosnou vlnou musíme v detekčním obvodu dodat náhradní střídavé napětí, kmitočtově přesně umístěné na místě nosné vlny. Jednoduchým výpočtem zjistíme, že pro správný poměr složek spektra musí být amplituda napětí oscilátoru nejméně dvojnásobná ve srovnání s mf napětím postranních pásů. To vyplývá z podmínek lineárně modulovaného signálu. Při mf napětí 2 V musí nosný kmitočet dosahovat úroveň asi 6 V, což může přinést nepřijemné komplikace i zkreslení detekovaného signálu tím, že se nepodaří dostatečně vyfiltrovat vf složky získaného signálu.

Další potíže při příjmu signálu SSB vyplývají přímo ze složení kmitočtového spektra postranního pásmá. Při přenosu řeči se vyskytuje současně řada kmitočtů, které po detekci za nevhodných podmínek způsobují známý rezavý charakter nízkofrekvenčního signálu. Nevhodné detekční podmínky vznikají při nestabilnosti napětí a kmitočtu záznamového oscilátoru, nesprávném nastavení jeho kmitočtu a parazitní detekcí jednotlivých složek postranního pásmá.

Směšovací demodulátor odstraňuje všechny uvedené nedostatky. Sám má jen jediný – neumožňuje totiž bez náležitých úprav demodulaci úplněho amplitudově modulovaného signálu s vysílanou nosnou vlnou. Pro tento případ musí být přijímač vybaven diodovým detektorem.

Zapojení směšovacího demodulátoru je v podstatě shodné s vyváženým nebo aditivním směšovačem. Vyžaduje jen pečlivější nastavení pracovního bodu. Jednoduchá zapojení (obr. II-16a, b) je nutno po výměně elektronky znova nastavit, zatímco vyvážená zapojení (obr. II-16c) mají podstatně menší zkreslení sudými harmonickými. Velmi důležitým předpokladem správné funkce směšovacího demodulátoru je umístění pracovního bodu elektronky tak, aby při vypnutém pomocném oscilátoru nedocházelo k detekci mezifrekvenčního signálu.

U zapojení na obr. II-16a, b postupujeme tak, že vypneme pomocný oscilátor, připojíme na řídicí mřížku mf napětí 1 V s modulací asi 50 % a změnou katodového odporu a napětí anody a stínící mřížky nastavíme co nejmenší úroveň nízko-frekvenčního napětí na výstupu. Potom zapneme pomocný oscilátor, vypneme modulaci generátoru a při stejné úrovni mf

napětí ménime amplitudu napětí pomocného oscilátoru tak, abychom získali co největší nezkreslené výstupní napětí.

Velikost injekce napětí oscilátoru nastavíme buď změnou vazební kapacity, nebo změnou polohy vazební cívky. Nejvýhodnější rozdíl kmitočtu mezifrekvence a pomocného oscilátoru pro měření je asi 1 kHz.

U vyváženého zapojení (obr. II-16c) můžeme zmenšit procento zkreslení nízkofrekvenčního napětí vhodným nastavením symetrikačního potenciometru. Injekci napětí oscilátoru řídíme změnou velikosti anodového odporu.

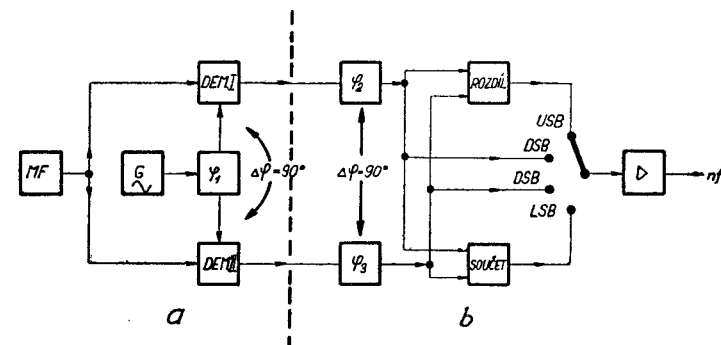
Velmi dobrých výsledků lze dosáhnout s třítriiodovým demodulátorem, zapojeným podle obr. II-16d. Elektronky E_1 a E_2 pracují jako směšovací katodové sledovače se společným pracovním odporem. Trioda E_3 v zapojení s uzemněnou mřížkou elektronicky odděluje směšovací obvod od výstupu nízkých kmitočtů a současně zesiluje rozdílové (nízkofrekvenční) napětí. Zbytkové napětí mf signálu a oscilátoru je filtrováno kapacitou v anodovém okruhu elektronky E_3 . Potenciometrem 50 k nastavujeme injekci napětí oscilátoru na optimální hodnotu.

II-13. FÁZOVACÍ DEMODULÁTOR

Jednou ze zvláštností fázovací metody při generaci postranních pásem je možnost inverzního použití fázovacích článků pro příjem amplitudově modulovaných signálů včetně telegrafie typu A 1. V úvodní kapitole byla zdůrazněna nezávislost nosného kmitočtu a postranních pásem při přenosu informací a nutnost zavedení nosné v demodulačních obvodech při telefonii s jedním postranním pásmem. Nosný kmitočet je klíčem k získání původní informace, který však přestane pracovat při selektivním úniku, silné interferenci několika kmitočtů apod. Výsledkem je částečná nebo úplná nesrozumitelnost přijímané zprávy.

Demodulační poměry za těchto okolností lze zlepšit zavedením umělého nosného kmitočtu s velkou amplitudou, vytvářeného v přijímači při příjmu telegrafie a telefonie SSB i pro příjem úplného amplitudově modulovaného signálu, současně s použitím fázovací metody výběru postranních pásem. Skupinové schéma na obr. II-17a vysvětluje cestu signálu. Napětí místního oscilátoru (shodné s mezifrekvenčním kmitočtem) je vedeno do fázovacího členu, který vytváří dvě amplitudově shodná napětí, navzájem fázově posunutá o 90

úhlových stupňů. Obě napětí spolu s mezifrekvenčním signálem jsou přivedena do dvou směšovacích demodulátorů. Tím vzniknou dvě nízkofrekvenční napětí, odpovídající modulačnímu signálu. Jejich kombinací ve výběrovém obvodu můžeme získat přenášenou informaci z horního, dolního i obou postranních pásem.



II-17. Skupinové schéma zapojení fázovacích demodulátorů: a - fázovací obvody, b - výběrové obvody postranních pásem

Jestliže se kmitočet mezifrekvenčního signálu liší od místního oscilátoru např. o 1 kHz, získáme v zapojení podle obr. II-17a záZNĚJE se shodnou amplitudou, stejněho kmitočtu, ale se vzájemným fázovým posuvem 90 úhlových stupňů. Zajímavé a pro nás velmi užitečné je, že tento posuv zůstává konstantní, avšak mění se jeho znaménko v závislosti na vzájemné poloze kmitočtů mezifrekvence a místního oscilátoru. Při kmitočtu mezifrekvence nižším než kmitočet místního oscilátoru vzniká fázový posun 90 stupňů v kladném smyslu. Při nulovém rozdílu obou kmitočtů je i výstupní napětí nulové a fázový posun ztrácí význam. Při vyšším kmitočtu mezifrekvence je vzájemný posun obou napětí záporný, rovněž 90 úhlových stupňů.

Stejným způsobem jsou odlišena i obě postranní pásmá. Dolní postranní pásmo, kmitočtově nižší než místní oscilátor, způsobí stav, kdy výstupní napětí za prvním demodulátorem fázově předbíhá nf napětí za druhým demodulátorem o 90 stupňů. Horní postranní pásmo naopak vyvolá na prvním výstupu nf napětí, fázově zpožděné proti druhému výstupu o 90 stupňů.

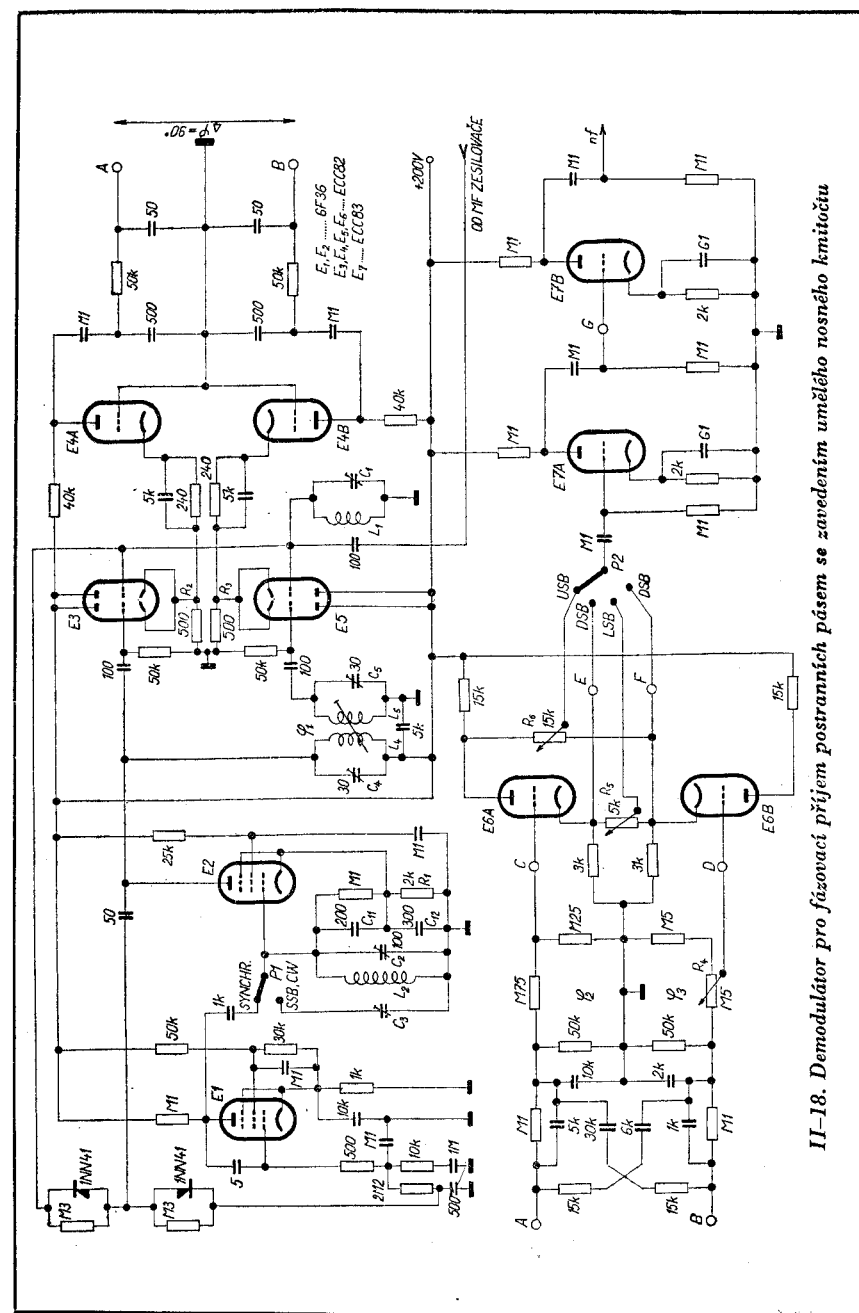
Obě napětí připojíme na výběrový obvod, naznačený na skupinovém schématu II-17b. Fázovací členy φ_2 , φ_3 znova

vzájemně posunou obě nf napětí o 90 stupňů, takže při horním postranném pásmu jsou napětí za fázovacími členy v protifázi, v rozdílovém separátoru vznikne součtové napětí, odpovídající kmitočtům horního postranního pásma (z matematiky víme, že rozdíl rozdílů je součet) a v součtovém separátoru se obě napětí zruší (zde zůstávají v protifázi). Při dolním postranném pásmu předbíhají fázové napětí za prvním demodulátorem napětí druhého výstupu o 90 stupňů a fázovací člen φ_3 má fázový posun o 90 stupňů větší než člen φ_2 . Tím je způsobeno, že na výstupech fázovacích členů φ_2 , φ_3 jsou obě napětí ve fázi, v součtovém obvodu se sečtou a v rozdílovém zruší. Za rozdílovým separátorem můžeme tedy trvale odebírat pouze horní postranní pásmo, za součtovým separátorem samostatné dolní postranní pásmo, rozumí se ve formě nízkofrekvenčního napětí.

Tím při telefonii s jedním postranním pásmem i při všech druzích amplitudové telegrafie zečela odpadají náročné propusti s krystaly za cenu poněkud složitějších obvodů s elektronkami. Potlačení nežádoucích kmitočtů běžně dosahuje hodnot pod 40 dB. Při příjmu telefonie nebo rozhlasu s vysílanou nosnou vlnou doplňujeme celé zařízení synchronizačním obvodem, který automaticky nastavuje kmitočet místního oscilátoru na hodnotu nosné vlny. I v tomto případě dochází k samočinnému oddělení obou postranných pásů.

Při praktickém použití bylo zjištěno, že fázovací metoda příjmu postranných pásů ve spojení se zaváděním umělého nosného kmitočtu přináší značný zisk a podstatně omezuje vliv interferencí a selektivního úniku. Další výhodnou vlastností uvedeného zapojení je možnost příjmu fázové i amplitudové modulace, modulované i nemodulované telegrafie a telefonie s jedním postranním pásmem. Při použití synchronizačního obvodu není rozhodující, zda je nebo není vysílána nosná vlna. Proti filtrační metodě je šířka pásma přenášených kmitočtů omezena jen vlastnostmi nf fázovacích členů. Jednoduchá zapojení dovolují přenos nf kmitočtů v pásmu 50 Hz až 7 kHz.

Na obrázku II-18 je úplné schéma zapojení demodulátoru pro fázovací výběr postranního pásmu. Při vyvažování celého zařízení nejprve nastavíme oscilátor (elektronka E 2). Předpokládejme mezifrekvenci 470 kHz (postup je shodný i pro jiné kmitočty, jen číselné údaje jsou odlišné). Signální vf generátor připojíme k obvodu L_1C_1 , nastavíme výstupní napětí asi 1 V bez modulace. Fázovací členy φ_2 , φ_3 prozatím odpojíme a mezi bod A a zem připojíme nf zesilovač se sluchátky (je



II-18. Demodulátor pro fázovací příjem postranního pásmu se zavedením umělého nosného kmitočtu

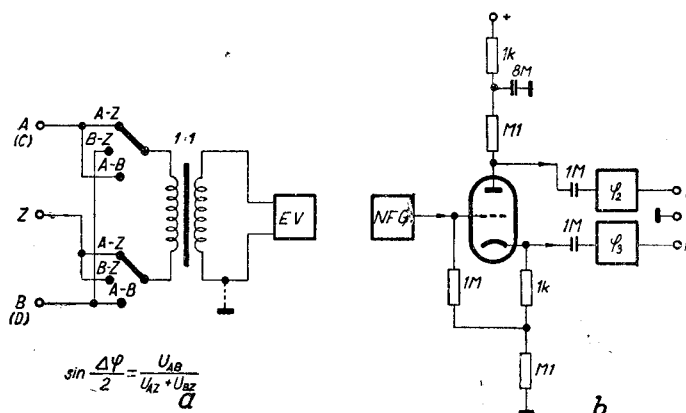
možno použít elektronky E 7, jejíž mřížku připojíme do bodu A přes kapacitu asi 5000 pF.

Přepínač P 1 je v poloze SYNCHRONIZACE. Zapojíme žhavení a anodové napětí elektronek E 1, E 2, E 3 a E 4. Kmitočet signálního generátoru zvolna měníme od 440 kHz do 500 kHz a sledujeme, zda se na výstupu nf zesilovače objeví záZNĚJový tón. Jsou-li oscilátor (E 2) a reaktanční elektronka (E 1) správně zapojeny zjistíme v okolí 460 kHz záZNĚJ, jehož kmitočet se může nepravidelně měnit a v blízkosti 470 kHz náhle přeskocí do nulových rázů. V tom případě je vše v pořádku a nemusíme nijak měnit prvky rezonančního obvodu. Nezjistíme-li v uvedeném pásmu kmitočtu záZNĚJ signálního generátoru a oscilátoru, je obvod $L_1 C_1$ příliš rozladěn. Vyměníme elektronky E 1 a E 2 a pomocí vf elektronkového voltmetu měříme napětí na odporu R_2 nebo R_3 , nastavíme kmitočet signálního generátoru na 470 kHz a změnou indukčnosti L_1 nebo kapacity C_1 nastavíme maximální napětí na odporu R_2 (R_3). Jeho velikost má být asi 800 mV. Nyní zasuneme elektronku E 2, elektronkový voltmeter odpojíme, kmitočet signálního generátoru ponecháme na 470 kHz a změnou indukčnosti L_2 a kapacity C_2 se snažíme nastavit nulový záZNĚJ oscilátoru s kmitočtem 470 kHz. Je-li příliš slabý, doladíme primář fázovacího členu φ_1 kapacitou C_4 (má rezonovat na 470 kHz). Při velkém rozladení oscilátoru nelze záZNĚJ zjistit. V tom případě hledáme chybu v zapojení oscilátoru, nejlépe pomocí měřiče rezonance, nebo vyhledáme na jiném přijímači harmonický kmitočet zkoušeného oscilátoru. Postup je zcela stejný jako u jiných zapojení.

Po hrubém nastavení kmitočtu oscilátoru zasuneme elektronku E 1 a opatrným zmenšením kapacity trimru C_2 znova nastavíme záZNĚJ s kmitočtem 470 kHz. Kontrolujeme, zda při rozladení ± 5 kHz pracuje synchronizační obvod s elektronkou E 1. Výška záZNĚJ se nesmí měnit. Nyní nastavíme přepínač P 1 do polohy SSB - CW a trimrem C_3 znova doladíme oscilátor E 2 na kmitočet 470 kHz, tedy do nulových rázů. V této poloze přepínače P 1 budeme přijímat nemodulovanou telegrafii a telefonii s jedním postranním pásmem. Nepředpokládáme-li příjem rozhlasu nebo telefonie s nosnou vlnou, můžeme reaktanční elektronku E 1 vypustit. Pro příjem telegrafie a telefonie SSB můžeme nahradit obvod $L_2 C_2$ kryštalem.

Nejobtížnejší je nastavení fázovacího členu φ_1 , který je tvořen pásmovou propustí s proměnnou vazbou. Primární

obvod $L_4 C_4$ je vyladěn přesně do rezonance na kmitočtu oscilátoru. Fázový posun nastavujeme změnou kapacity C_5 , mírným rozladěním obvodu $L_5 C_5$ směrem k vyšším kmitočtům. Měření fázového posudu dvou vf napětí je velmi složité. Proto musíme volit nepřímý postup, který je možný jen v případě, kdy je zapojen i synchronizační obvod s elektronkou E 1. Přepneme P 1 do polohy SYNCHRONIZACE, signální generátor nastavíme na kmitočet 470 kHz a hloubku modulace asi na 50 %. Nyní měříme elektronkovým voltmeterem napětí bodů A a B proti kostře. Změnou vazby čívek L_4 a L_5 nastavíme napětí v obou bodech na stejnou hodnotu.



II-19. Měření fázovacích článků: a - přípravek pro měření rozdílu fáze dvou napětí, b - zapojení fázového invertoru

Je třeba, aby nízkofrekvenční voltmetr měl vestavěný vstupní transformátor, nebo musíme připojit oddělovací transformátor 1 : 1 se vstupní impedancí alespoň $7 \text{ k}\Omega$ při 1000 Hz.

Při fázovém posudu 90 stupňů musí být napětí mezi body A-Z a B-Z stejná, napětí A-B je pak 1,414krát větší. Například mezi bodem A a kostrou naměříme 0,1 V. Změnou vazby fázovacího členu nastavíme stejné napětí i mezi bodem B a zemí. Při fázovém posudu 90 stupňů naměříme mezi body A-B napětí 0,141 V. Je-li napětí A-B větší, je i fázový posun větší a musíme zmenšit rozladění obvodu $L_5 C_5$ a naopak, při menším napětí A-B je fázový posun příliš malý a je třeba zvětšit rozladění. Velikost všech tří napětí je závislá na vazbě.

jemném rozladění i vazbě obvodů, a proto při každé změně musíme celé měření opakovat. Přesnost nastavení fáze je tím větší, čím přesněji změříme referenční napětí. Proto se vždy snažíme, aby výstupní napětí bylo co největší. Jednoduchý přípravek pro měření fáze metodou tří napětí je na obr. II-19a [V 11] [L 12].

Podobným způsobem zkoušíme i fázovací členy φ_2 , φ_3 , odpojené od výstupního obvodu elektronky E 4. Do vstupních bodů A, B fázovacích členů přivedeme pomocí katodového invertoru nf napětí, fázově posunutá proti sobě o 180 stupňů (podobně jako při buzení dvojčinného zesilovače). Elektronkový voltmetr s přepínačem a oddělovacím transformátorem podle obr. II-19a připojíme do bodů E a F. Vstupní nf napětí nastavíme tak, abychom v poloze A-Z naměřili 1 V.

Potom přepneme do polohy B-Z a potenciometrem R_4 nastavíme stejné napětí. V poslední poloze A-B musí být napětí 1,414 V při správném posunu 90 stupňů, a to pro všechny nf kmitočty od 50 Hz do 7 kHz při stejném vstupním napětí 1 V (obr. II-19b). Předpokladem je, že i invertor má stejné zesílení pro všechny kmitočty. Rozdíly pod 5 % můžeme zanedbat (pouze u přijímače!), při větších změnách fáze je závada v tolerancích kondenzátorů a odporek nf fázovacích členů.

Dalším krokem je seřízení separačních obvodů. Odpojíme fázovací členy v bodech C a D a do tétoho bodu připojíme katodový invertor. Mezi bod G a kostru připojíme nf elektronkový voltmetr. Výstupní napětí nf generátoru a tím i budící napětí v bodech C, D nemá být vyšší než 1 V. Přepneme P 2 do polohy USB a potenciometrem R_6 nastavíme nulové napětí v bodu G. Tím jsme vyvážili součtový obvod. Nyní odpojíme katodový invertor, spojíme navzájem body C a D a do tohoto společného bodu přivedeme nf napětí 1 V. Přepneme P 2 po polohy LSB a nastavíme potenciometrem R_5 nulové napětí v bodě G, čímž vyvážíme rozdílový obvod. Při obou měřeních kontrolujeme shodnost nf napětí v bodě G při obou polohách přepínače P 2, označených DSB.

Tím je skončeno předběžné nastavení všech obvodů, celý přístroj zapojíme podle schématu (propojíme body A-A, B-B) a vyzkoušíme výběr pásem při úplném amplitudově modulovaném signálu. Mezifrekvenci přijímače (musí být shodná s rezonančním kmitočtem obvodu L_1C_1) připojíme k obvodu L_1C_1 , vyladíme některou rozhlasovou stanici a kontrolujeme, zda ve všech polohách přepínače P 2 získáme ne-

zkreslený signál. Při pečlivém nastavení všech obvodů je příjem velmi čistý, bez vlivu selektivního úniku.

Dále kontrolujeme příjem nemodulované telegrafie. Přepínač P 1 je v poloze CW, SSB, přepínač P 2 v poloze DSB. Přijímač vyladíme na nejlepší příjem některé telegrafní stanice. Při správné funkci všech obvodů musíme slyšet záZNĚJ v obou polohách přepínače P 2, označených DSB, ale jen v jediné další poloze (buď USB nebo LSB).

Při provozu SSB zvolíme přepínačem P 2 obvykle používané postranní pásmo a pak již pouhým doladěním vstupních obvodů přijímače nastavíme nejlepší čitelnost signálu. Při přechodu na druhé postranní pásmo musí být signál dokonale potlačen.

V případě, že není zapojen synchronizační obvod, je postup při seřizování jednotlivých obvodů poněkud odlišný. Nejprve nastavíme kmitočet oscilátoru E 2 na žádanou hodnotu mezifrekvence, nebo doladíme do rezonance primár fázovacího člena L_4C_4 , je-li oscilátor řízen krystalem. Potom seřídíme podle předchozího popisu nízkofrekvenční fázovací členy $\varphi_2\varphi_3$ a separační obvody ($R_5 R_6$). Propojíme body A-A a B-B, připojíme signální generátor k obvodu L_1C_1 a nastavíme jeho kmitočet přesně o 2 kHz výše než oscilátor E 2. Nf elektronkový voltmetr připojíme do bodu G a při přepínači P 2 v poloze LSB nastavíme změnou kapacity C_5 a vazby cívek $L_4 L_5$ nulové napětí. Kmitočet vf signálního generátoru nastavíme o 2 kHz níže než oscilátor a v poloze USB kontrolujeme, zda nf napětí v bodě G je opět nulové. Rozdíly opravíme změnou vazby cívek $L_4 L_5$ a rozladěním obvodu kondenzátorem C_5 . Celý postup znova opakujeme v obou polohách přepínače P 2 tak dlouho, až kmitočet vyšší je dokonale potlačen v poloze LSB a naopak kmitočet nižší dává nulový výstup v poloze USB.

Úspěchu dosáhneme jen trpělivostí a pečlivým předchozím nastavením členů φ_2 a φ_3 a separačních obvodů E 6, R_5 , R_6 . Potom skutečně přijímáme horní postranní pásmo jen v poloze USB, dolní v poloze LSB a obě postranní pásmá v polohách DSB. Za elektronku E 7a obvykle zařazujeme dolnofrekvenční propust, která omezí nf kmitočty do 3,5 kHz. Zabráníme tím zároveň interferencím vyšších harmonických.

III

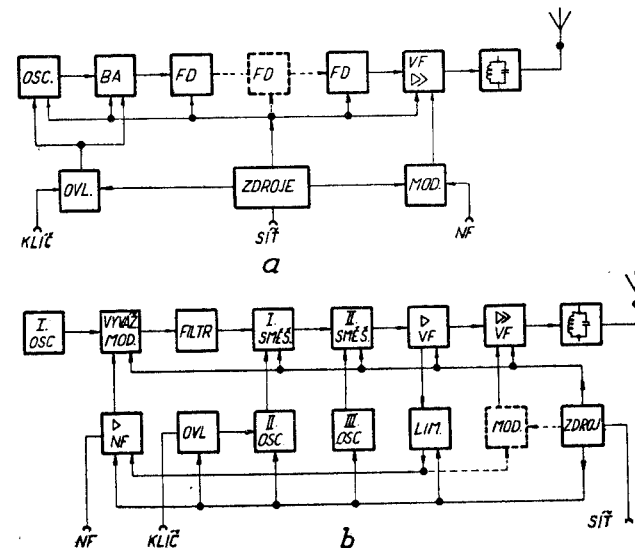
VYSÍLAČE

Vzdálenosti překlenuté při amatérských rádiových spojeních nejsou určeny jen výkonem vysílače. Jakost vysílání, zručnost operátora a v neposlední řadě i technické vybavení vysílače jsou nutnými předpoklady úspěchu. V této kapitole budou vysvětleny základy konstrukce moderních vysílačů a doplňkového zařízení amatérské rádiové stanice

A. Základní stupně vysílače

Doby, kdy bylo uskutečňováno rádiové spojení pomocí jiskrového vysílače nebo modulací anténních proudů, jsou nenávratně pryč. Moderní elektronika umožňuje použití celé řady způsobů přenosu, u nichž je hlavním cílem dosažení co nejvyšší výkonové účinnosti vysílače.

Ještě před několika lety se široce uplatňovala technika postupného násobení poměrně nízkého základního kmitočtu řídícího oscilátoru vysílače tak, aby bylo možno obsáhnout u komerčních zařízení celé pásmo krátkých vln, u amatérských vysílačů všechna krátkovlnná pásmá. Podobné zapojení je znázorněno na skupinovém schématu III-01a. Oscilátor pracuje v pásmu nízkých kmitočtů (500 kHz až 1,5 MHz), oddělovací zesilovač zabraňuje vlivu dalších stupňů na stálost kmitočtu.



III-01. Skupinové schéma vysílače: a - s postupným násobením kmitočtu, b - se směšováním tří kmitočtů

V násobičích kmitočtu, jejichž počet se obvykle pohybuje od jednoho do čtyř, postupně získáváme potřebné vyšší násobky oscilátoru až do 30 MHz. Koncový zesilovač stupeň vysílače může pracovat s výkonem do 200 W a je obvykle přizpůsoben pro anodovou amplitudovou modulaci. Při telegrafním provozu jsou klíčovány první dva stupně nebo jen oddělovací zesilovač, i když je tím poněkud omezena možnost duplexního provozu.

Takový způsob zapojení budicích stupňů je dnes již považován za zastaralý především proto, že jen těžko dosahuje stabilitu kmitočtu řádu $5 \cdot 10^{-5}$, to znamená ± 1 kHz na 20 MHz. Změny kmitočtu oscilátoru se zvětšují úměrně se stupněm násobení.

Daleko lepších výsledků dosahujeme s budiči, v nichž je použito směšování dvou nebo více kmitočtů. Vyšší kmitočtové rozsahy jsou odvozovány z oscilátoru řízeného krystalem, takže stabilita stoupne více než o řád. Jediný stabilní oscilátor laděný v úzkém pásmu kmitočtů umožní překrytí požadovaných dálčích rozsahů. Skupinové schéma na obr. III-01b znázorňuje typické zapojení směšovacího budiče se třemi oscilátory. První oscilátor je řízen krystalem a jeho napětí je možno amplitudově modulovat. Při provozu SSB se v následující propusti nebo ve fázovacích obvodech vybírá žádané postranní pásmo. Druhý oscilátor je laditelný např. v pásmu 2500 až 3000 kHz. V prvním směšovacím stupni se oba kmitočty sloučí a vytvoří základní budicí kmitočet. Ve druhém směšovači se pomocí přepínatelného třetího oscilátoru, který je řízen krystalem, posune kmitočet do žádaného pásmá. Zesilovačí stupně musí být lineární, aby nedocházelo ke zkreslení modulace při provozu SSB. Limitační obvody zabranují přemodulování vysílače. Může být připojen i klasický anodový modulátor pro telefonní provoz s úplným signálem.

Skladba i zapojení všech obvodů směšovacího budiče se velmi blíží technice superhetů. Pracujeme s velmi malými výkony a nízkou úrovní vf napětí. Celé zařízení je rozměrově malé, i když složitější. Klíčujeme obvykle první a třetí oscilátor, takže laditelný oscilátor trvale kmitá, aniž by rušil přijímaný signál. Přispěje to i ke stabilitě kmitočtu a omezení klíčovacích zámků.

Ani tento způsob získávání pracovního kmitočtu vysílače však není nejnovější a patří i když nedávné, přece jen minulosti. Neustálé zpřísňování požadavků na stabilitu kmitočtu vyvolalo vývoj dalších metod stabilizace kmitočtu, ať již pomocí složených zpětných vazeb s porovnávacími, nebo dokonce

počítacími obvody, nebo dekádickou syntézou kmitočtu, kdy je celé pásmo krátkých vln odvozeno z kmitočtu jediného vysoko stabilního subnormálu kmitočtu násobením a směšováním. Tato zapojení jsou však poměrně nákladná a jejich návrh tak složitý, že přesahuje rámec této knihy [L 13].

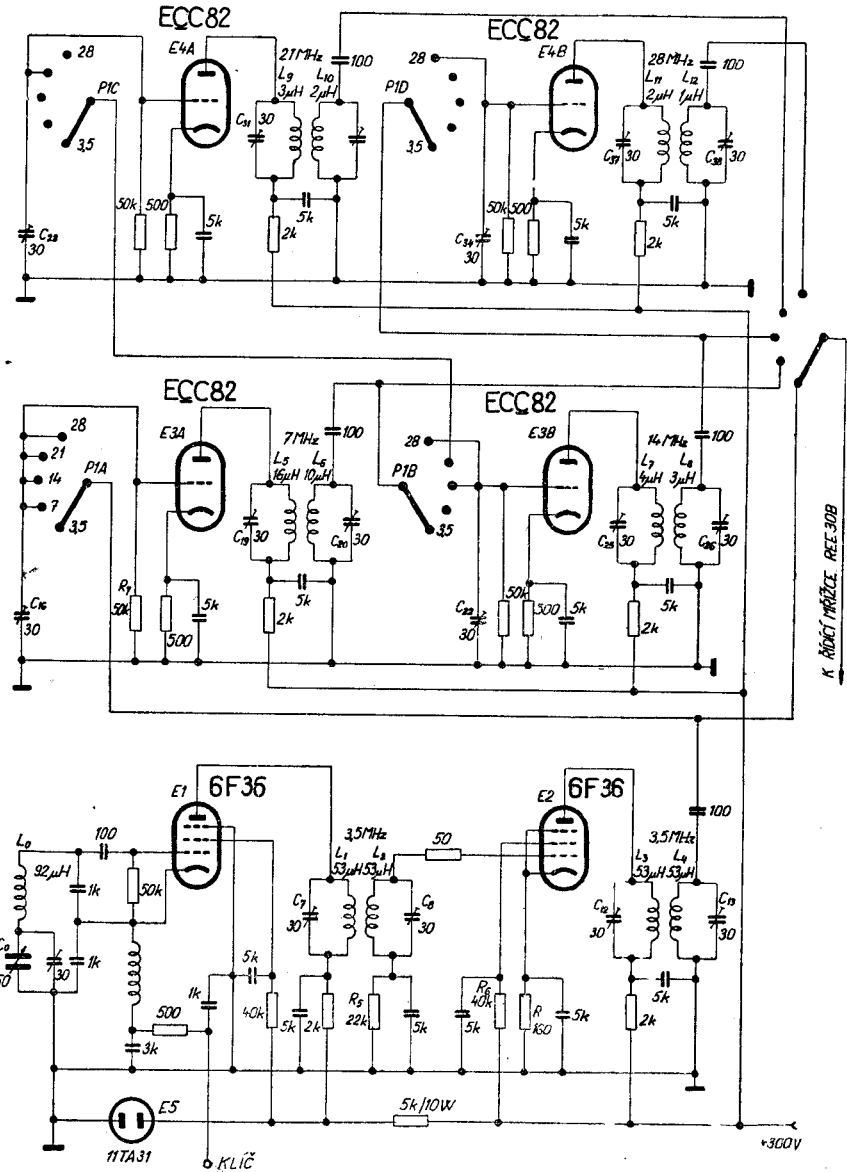
III-01. VF BUDIČ S NÁSOBIČÍ KMITOČTU A PÁSMOVÝMI PROPUSTMI

Povolené tolerance ve stabilitě kmitočtu umožňují v amatérském provozu použití starší koncepce budiče pro krátkovlnný vysílač s násobením kmitočtu (obr. III-02). Oscilátor pracuje v pásmu 1,7 až 2,0 MHz v Clappově zapojení. Všechny další zesilovače i násobiče kmitočtu mají v anodových okruzích pásmové propusti. Pásma volíme mnohonásobným přepínačem a je pamatováno i na vyrovnání rozdílů vstupních kapacit elektronek doladovacími kondenzátorky. Takové uspořádání budiče dovoluje velmi rychlou změnu pracovního kmitočtu. Obsluhujeme pouze dva ovládací členy – ladící kondenzátor a přepínač pásem. Je naznačeno i zapojení jednoduchého zesilovače výkonu.

Při vyvažování jednotlivých obvodů potřebujeme buď elektronkový voltmetr, nebo stejnosměrný voltmetr s velikým vstupním odporem. Do série s měřicím přívodem zařadíme vf tlumivku 2,5 mH.

Oscilátor nastavíme na kmitočet 3650 kHz a trvale zakláčujeme. Přepínač rozsahů přepneme do polohy 3,5 MHz. Elektronkový voltmetr připojíme přes tlumivku paralelně k odporu R_5 , nastavíme velmi volnou vazbu mezi cívkami $L_1 L_2$ a doladíme trimry C_7 a C_8 na maximální výchylku voltmetu. (Napětí je záporné, využíváme mřížkové detekce.) Aniž bychom měnili nastavení trimrů, zvýšujeme kmitočet oscilátoru až na horní mez a potom zpět k dolnímu meznímu kmitočtu. Výchylka voltmetu může kolísat až o 20 %. Je-li napětí příliš malé, zmenšíme odpor R_6 . Při značném poklesu napětí na začátku a na konci pásmá a při velké výchylce uprostřed musíme zvětšit vazbu vzájemným přiblížením cívek $L_1 L_2$. Naopak, při velkém poklesu napětí uprostřed pásmá vazbu zmenšíme. Přitom neměníme nastavení trimrů C_7 a C_8 . Po několika zkouškách docílíme rovnomořné výchylky voltmetu po celém pásmu.

Podstatně větší napětí na horním konci pásmá (u vyšších kmitočtů) proti dolnímu opravíme kondenzátorem C_7 . Stejným



III-02. Zapojení budiče vysílače pro amatérská pásma s násobiči kmitočtu a pásmovými propustmi

způsobem nastavíme druhou pásmovou propust, tentokrát však jako indikátoru maxima použijeme miliampermetru v mřížkovém okruhu elektronky REE 30B. Její mřížkový proud může dosahovat hodnot kolem 15 až 18 mA. Je výhodné, můžeme-li odpojit anodové a stínící napětí této elektronky, aby nedošlo při změnách kmitočtu k překročení anodové ztráty.

Nyní přepneme na pásmo 7 MHz, nastavíme kmitočet 7,15 MHz a ss voltmetr připojíme paralelně k odporu R_7 . Trimrem C_{16} doladíme na maximální výchylku. Nastavíme velmi malou vazbu mezi cívkami L_5 a L_6 a otáčením trmrů C_{19} , C_{20} se snažíme dosáhnout co největší hodnoty mřížkového proudu elektronky REE 30B. Potom opět měníme kmitočet v mezích pásmu 7 MHz a kontrolujeme, zda mřížkový proud setrvává na hodnotě v mezích 20 %. Rozdíly trpělivě vyrovnáváme změnou vazby cívek L_5 a L_6 .

Na ostatních pásmech postupujeme stejným způsobem. Zde máme úlohu ulehčenu především menší relativní šířkou pásmu. Při všech zkouškách pracujeme opatrně, vši napětí může způsobit nepříjemné popáleniny! Velmi výhodné je předběžné nastavení rezonance jednotlivých okruhů bez napětí, např. pomocí měřiče rezonance (GDÖ). Důležité je, abychom vždy postupovali od nejnižšího pásmu k nejvyššímu, protože budící napětí vychází ze stupně s kmitočtem 3,5 MHz a je postupně násobeno dvakrát až osmkrát.

Oscilátor a oddělovací stupeň jsou osazeny strmými pentodami typu 6F36, které dovolují použít poměrně nízkých napětí a proudů v mřížkových obvodech a mají velké zesílení. V následujících stupních jsou naproti tomu použity dvě jité triody ECC 82. Vyžadují sice poněkud větší budící napětí avšak mají dostatečnou strmost i anodovou ztrátu.

Násobiče kmitočtu pracují všeobecně s malou účinností. Zvláště při použití triod musíme zajistit dostatečnou amplitudu budicího napětí a tím provoz elektronky hluboko ve třídě C, aby anodový proud obsahoval co nejvíce harmonických kmitočtů. Při malém vybuzení nedosáhneme násobicích účinků.

Celé zařízení není náhylné k parazitním kmitům, protože s výjimkou prvních dvou pásmových propustí je každý obvod laděn na jiný kmitočet. Může se však stát, zvláště při nevhodné montáži nebo zařazení v tlumivek do anodových okruhů elektronek, že některý násobič tvrdosíjně kmitá. Zde pomůže zařazení malých drátových tlumicích odporů (20 až 100 Ω) do okruhu řídící mřížky přímo k objímce elektronky (podobně

jako odpor 50Ω elektronky E 2), změna indukčnosti v f tlumivky nebo její vypuštění [L 14].

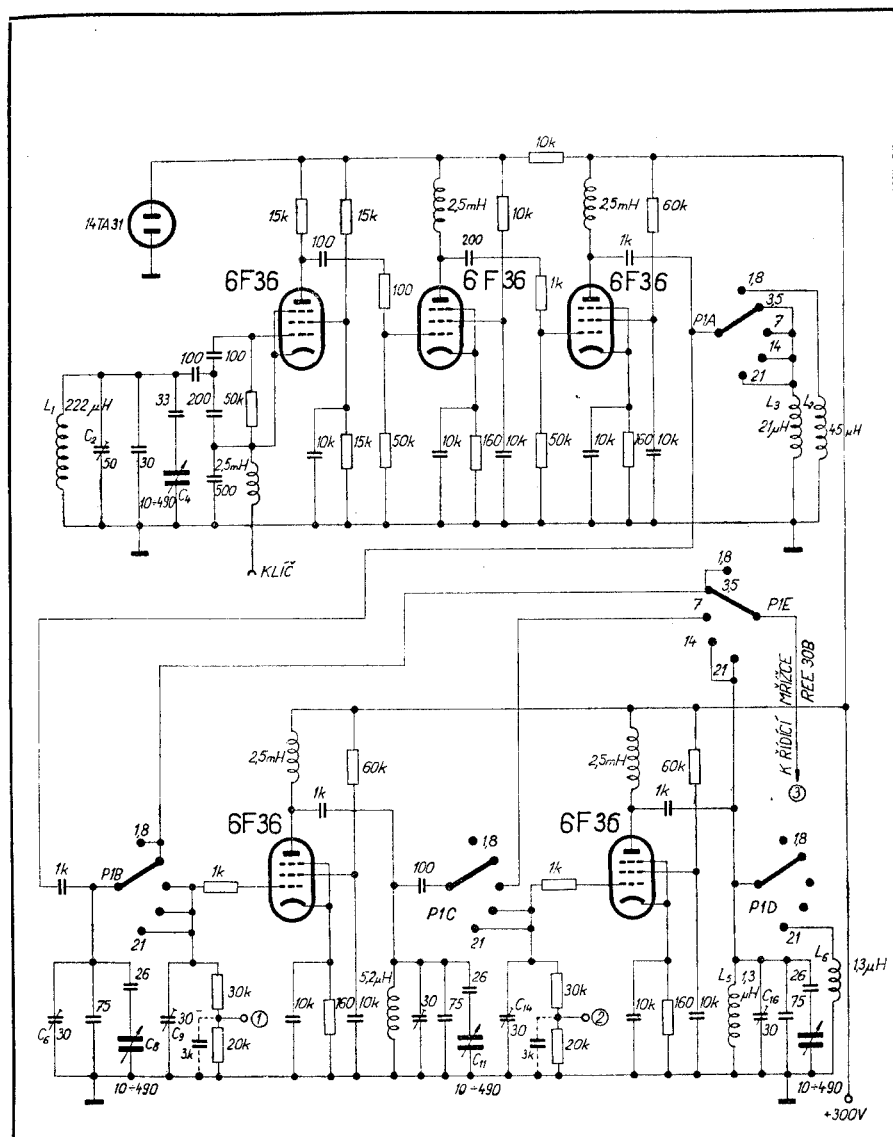
V jediném stupni s triodou můžeme násobit nejvýše třikrát, u pentod až pětkrát. Amplituda harmonických kmitočtů však velmi rychle klesá, takže je výhodnější zapojení více stupňů s menším činitelem násobení, protože jsou provozně stabilnější než zesilovací stupně.

III-02. LADITELNÝ VF BUDIČ S NÁSOBIČI KMITOČTU

Všechny stupně budiče je možno ladit v souběhu jedním mnohonásobným kondenzátorem podobně jako vstupní obvody přijímače. Zapojení je uvedeno na obr. III-03. Cesta signálu je shodná jako u násobičů s pásmovými propustmi, v jednotlivých stupních jsou však použity strmé pentody. Oscilátor v zapojení s kapacitním děličem a elektronovou vazbou je laditelný od 872 kHz do 950 kHz při stabilitu řádu $5 \cdot 10^{-4}$. Za oddělovacím zesilovačem následují násobiče kmitočtu, z nichž první na rozsahu 1,75 až 1,9 MHz násobí dvakrát, na ostatních rozsazích čtyřikrát. Druhý násobič pracuje jen na kmitočtech nad 7 MHz a násobí dvakrát, zatímco třetí násobič na 14 MHz zdvojuje a na 21 MHz ztrojuje kmitočet předchozího stupně. Každý obvod můžeme také ladit samostatným proměnným kondenzátorem se střední kapacitou asi 100 pF.

Při vyvažování laděných obvodů nejprve nastavíme základní kmitočet oscilátoru. Odpojíme anodové a stínící napětí násobičů, pracují pouze první dvě elektronky. Kmitočet kontrolujeme přesným vlnoměrem nebo přijímačem. Ladicí kondenzátor zcela uzavřeme a změnou kapacity trimru C_3 (33 pF) nastavíme kmitočet 872 kHz při kondenzátoru C_2 ve střední poloze. Potom ladící kondenzátor úplně otevřeme a snažíme se trimrem C_2 nastavit horní mezní kmitočet oscilátoru na 950 kHz. Poměr kapacit C_2 a C_3 měníme tak dlouho, až dosáhneme žádaného překrytí pásmá (postup je podrobně popsán ve statu o vyvažování superhetu, tab. II-8).

Obdobným způsobem nastavujeme i ostatní obvody, laděné v souběhu. Připojíme všechna napětí pro elektronky násobičů kmitočtu, zasuneme všechny elektronky včetně koncového zesilovače, u něhož odpojíme napětí anody a stínící mřížky. Elektronkový voltmetr připojíme do bodu 3. Přepínač rozsahů přepneme do polohy 1,75 MHz, oscilátor nastavíme na kmitočet



III-03. Zapojení budiče pro amatérská pásmá se souběžným laděním oscilátoru a násobičů kmitočtu

950 kHz (tím i kondenzátor C_8 má nejmenší kapacitu) a za předpokladu, že kondenzátory C_5 a C_7 mají předepsanou kapacitu, doladíme trimrem C_6 obvod do rezonance. To se projeví maximem záporného napětí v měrném bodě 3. Při změně ladění směrem k nižším kmitočtům může se výchylka voltmetu mírně měnit, ale nesmí klesnout pod 2 V (odpovídá mřížkovému proudu 0,1 mA). Větší rozdíly na nízkých kmitočtech vyrovnané změnou indukčnosti L_2 .

V poloze přepínače rozsahů 3,5 MHz nastavíme kmitočet oscilátoru 950 kHz a doladíme anodový okruh prvního násobiče změnou indukčnosti L_3 . V případě, že je rozsah 1,75 MHz vypuštěn, nastavujeme pouze obvod 3,5 MHz podle předchozího popisu.

V poloze 7 MHz připojíme voltmetr k měřícímu bodu 1 a nejprve na nejvyšším kmitočtu doladíme anodový obvod násobiče do rezonance trimrem C_9 . Rozladění vzniklo rozdílem vstupních kapacit elektronek REE 30B a 6F36. Dále přepojíme voltmetr do měřicího bodu 2 a stejně jako u prvního násobiče doladíme obvod rezonanční. Záporné ss napětí v bodu 2 nesmí v celém rozsahu klesnout pod 2 V.

Při přechodu na pásmo 14 a 21 MHz nejprve vyrovnané změnu mřížkové kapacity trimrem C_{14} na nejvyšším kmitočtu pásmu. Napětí měříme v bodě 2. Při dalším měření sledujeme již jen napětí v bodě 3. V poloze 14 MHz doladujeme na nejvyšším kmitočtu trimrem C_{16} , na nejnižším indukčnosti L_5 . V poslední poloze přepínače nastavíme již jen indukčnost.

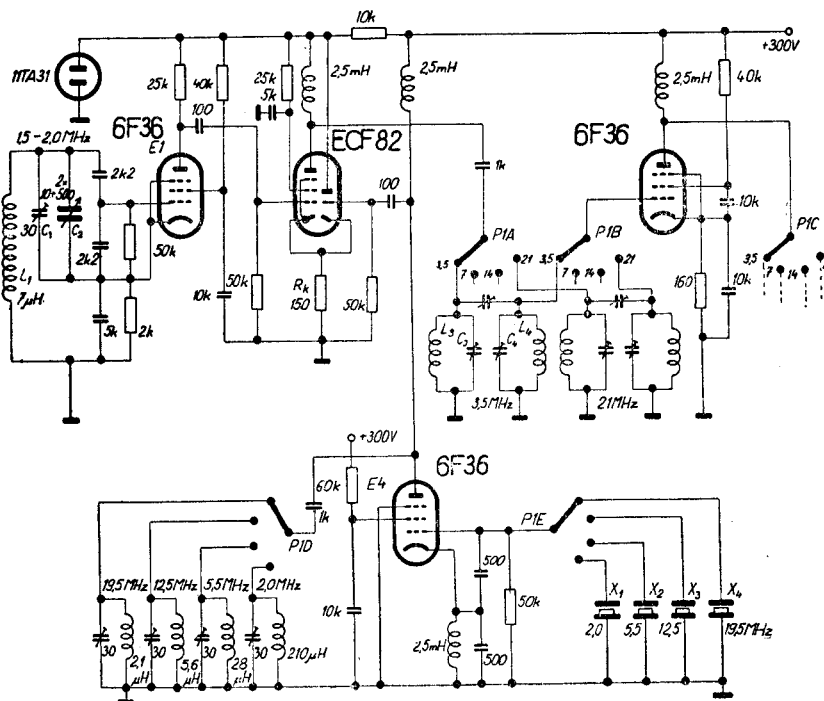
Používáme-li výstupního zesilovače budiče (elektronka REE 30B) k buzení výkonového zesilovače, může být jeho anodový obvod laděn rovněž v souběhu. Přepínáme jen indukčnosti jednotlivých rozsahů. Hodnoty kapacit a cívek jsou shodné s obvody násobičů. Zařízení může odevzdávat výkon až 50 W. Potom je však nutné zvýšit napětí elektronky REE 30B na 800 až 1000 V a ladit její anodový obvod samostatně např. článkem tvaru |||.

Na obr. III-02 a III-03 je naznačeno i klíčování katody oscilátoru, které má umožnit duplexní provoz, nebo alespoň příjem stanic na vlastním kmitočtu. Jak již bylo uvedeno ve statci o oscilátořech, vznikají při klíčování strmé zákmity, které silně ruší blízké kmitočty. Proto je třeba současně klíčovat i výstupní zesilovač, nejlépe pomocí některého diferenciálního obvodu na obr. III-32. Navíc takové opatření nařizují i povolovací podmínky u všech vysílačů s výkonem nad 10 W.

III-03. JEDNODUCHÝ SMĚŠOVACÍ BUDIČ

Podstatně vyšší stabilitu kmitočtu můžeme dosáhnout zapojením dvou oscilátorů a směšováním jejich kmitočtů (obr. III-04). První oscilátor E 1 je laditelný, ve Vackářově zapojení. Jeho stabilita může dosahovat rádu 10^{-4} . Druhý oscilátor je řízen krystaly a jeho stabilita je rádu 10^{-6} .

Z teorie směšování dvou kmitočtů vyplývá, že podíl nestabilit dvou oscilátorů na výstupním kmitočtu je tím menší, čím větší je poměr jejich kmitočtů. Selektivnost rezonančních obvodů je poměrně malá, a proto musíme respektovat i druhou podmíinku – potlačení nežádoucích produktů směšování. Zásady jsou zde přibližně shodné s přijímací technikou. Pro provoz na pásmech 3,5 a 7 MHz musí být kmitočet prvního oscilátoru vyšší než 300 kHz, pro ostatní pásmá nejméně 1 MHz. Dalším omezením je podmíinka, aby harmonické kmi-



III-04. Jednoduchý směšovací budíč

točty prvního oscilátoru až do šestého řádu nezasahovaly do oblasti rezonance anodových obvodů směšovače a dalších zesilovacích stupňů. U jednoduchých zapojení se musíme vyhnout kmitočtům prvního oscilátoru 250 kHz, 500 kHz, 1 MHz, 1,75 MHz apod. Přitom není rozhodující, zda za směšovačem využíváme součtových nebo rozdílových kmitočtů.

Směšovací budič, zapojený podle obr. III-04 může při pečlivém provedení vykazovat stabilitu kmitočtu řádu 5,10⁻⁵. Za směšovací obvod je nutno zařadit alespoň jeden zesilovací stupeň. Výstupní napětí je řádově 50 V a stačí k využití koncového zesilovače s tetrodou (např. 6L50, REE 30B, GU 50).

Při uvádění do chodu nejprve nastavíme mezní kmitočty prvního oscilátoru (E 1) změnou paralelní kapacity C_1 nebo přemístěním odběčky na cívce L_1 . Nikdy neměníme indukčnost zkratováním závitu, snižovali bychom zbytečně činitele jakosti obvodu. Dále vyladíme do rezonance LC obvody oscilátoru řízeného krystaly (E 4), a to postupně ve všech polohách přepínače P 1. Jako indikátoru použijeme miliampérmetru, zařazeného do série s anodovým obvodem elektronky E 4. Při rezonanci anodový proud prudce klesá. Jinou možností je měření vf napětí na odporu R_k (katoda E 2) při vypnutém prvním oscilátoru. Maximální napětí odpovídá bodu rezonance.

Vyvážení pásmových propustí vyžaduje trochu cviku, ale je snadné. Do série s mřížkovým odporem elektronky prvního zesilovače zapojíme miliampérmetr s rozsahem do 0,5 mA a měříme záporný mřížkový proud. V každé poloze přepínače P 1 nastavíme střední hodnotu kmitočtu prvního oscilátoru a při vazební kapacitě příslušné propusti asi ve střední poloze doladíme trimry C_3 a C_4 primár i sekundár pásmové propusti na maximum mřížkového proudu. Podmínkou je, aby oba obvody propusti byly navzájem dokonale stíněny, jinak dochází ke komplexním vazbám a deformaci křivky propustnosti.

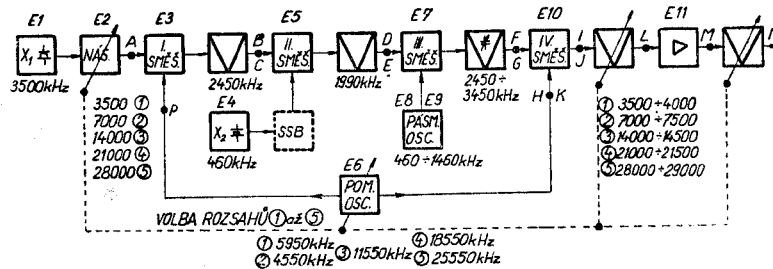
Po nastavení rezonance na středním kmitočtu ladíme první oscilátor v mezích příslušného pásma a sledujeme velikost mřížkového proudu elektronky E 5. Výchylka může kolísat v mezích 20 % kolem hodnoty 0,1 až 0,5 mA. Při větším poklesu mřížkového proudu elektronky E 5 na mezních kmitočtech pásma zvětšíme kapacitu Cv a naopak při podstatně vyšším využití na obou koncích pásma proti středu zmenšíme vazební kapacitu. Obvody L_1C_1 a L_4C_4 však zůstávají trvale naladěny na střed pásma. Stejným způsobem vyvážíme i všechny ostatní propusti.

V uvedeném zapojení je určen výstupní kmitočet součtem kmitočtů prvního a druhého oscilátoru. Cejchování prvního oscilátoru je ve stovkách a jednotkách kHz shodné pro všechna pásma, jestliže kmitočty krystalů přesně odpovídají údajům v tabulce. Rozdíly proti jmenovitým hodnotám způsobují posun kmitočtu souhlasným směrem a každé pásmo pak musí mít vlastní cejchování stupnice prvního oscilátoru. Popis stupnice obvykle provádíme tak, že začátku pásma odpovídá dílek 000,00 kHz na stupnici a další cejchovní body označujeme v kHz. Nastavení kmitočtu je pak velmi snadné, k nejnižšímu kmitočtu každého pásma pouze přičítáme délky stupnice. Např. v pásmu 3,5 MHz odpovídá kmitočtu 3670 kHz délka stupnice, označený 170 kHz.

III-04. SMĚŠOVACÍ BUDIČ PRO PÁSMA 3,5 AŽ 28 MHz SE DVĚMA KRYSTALY

Směšovací pochody umožňují vytvářet celé řady kmitočtů, které nelze získat násobením nebo jiným způsobem. Jednoduché směšovací budiče obvykle vyžadují použít několika krystalů s přesně stanovenými kmitočty. Odvození všech amatérských pásem z kmitočtu jediného základního krystalu je poněkud složitější, dovoluje však celou řadu operací s vysokofrekvenčním napětím, včetně vytváření signálu SSB. Činnost jednotlivých stupňů budeme nejprve sledovat na skupinovém schématu III-05.

Základem celého zařízení je první oscilátor (E 1), řízený krystalem s přesným kmitočtem 3500,000 kHz, který v násobiči



III-05. Skupinové schéma zapojení budiče pro všechna pásma se dvěma krystaly

E 2 vhodně zvyšujeme až na hodnoty dolních mezních kmitočtů jednotlivých pásem. Abychom mohli poměrně vysoké kmitočty v pásmech 14 až 28 MHz směšovat s blízkým kmitočtem proměnného oscilátoru, použijeme tzv. převáděcí obvod. Je tvořen přepínatelným oscilátorem E 6 a dvěma směšovači E 3 a E 10 s příslušnými rezonančními obvody a pásmovými propustmi. V prvním směšovacím obvodu (E 3) se vytváří rozdíl základního (E 1, E 2) a pomocného kmitočtu (E 6), který má stálou hodnotu 2450 kHz. Stabilnost pomocného oscilátoru nemusí být příliš vysoká, protože tentýž pomocný kmitočet znova příčítáme ve čtvrtém směšovači (E 10) a tím se kmitočtové nestability zruší.

Ve druhém směšovači odečítáme od mezinosného kmitočtu 2450 kHz kmitočet 460 kHz druhého oscilátoru (E 4), který může být vytvářen i v obvodech SSB. Vzniká druhý mezinosný kmitočet 1990 kHz, který vybíráme selektivní pásmovou propustí. K němu příčítáme ve třetím směšovači napětí proměnného oscilátoru (E 8) laditelného v rozsahu 460 až 1460 kHz souběžně se selektivním anodovým obvodem třetího směšovače (2450 až 3450 kHz). Ve čtvrtém směšovači přičteme pomocný kmitočet oscilátoru E 6 a v přepínatelných obvodech dalších propustí vybíráme kmitočty amatérských pásem.

Uvedeným řešením je otevřena cesta k dalšímu využití některých obvodů. V případě, že kmitočet pomocného oscilátoru vykazuje dostatečnou stabilitu, můžeme spojit budič s konvertorem přijímače s laditelnou první mezifrekvencí 2450 kHz právě využitím kmitočtů pomocného oscilátoru. Nahradí přepínatelný první oscilátor superhetu s dvojím směšováním. Harmonické kmitočty prvního oscilátoru (E 1) můžeme použít ke značkování dolních mezních kmitočtů všech amatérských pásem. Oscilátor, řízený druhým krystalem 460 kHz (E 4), vytvoří kmitočet záznějového oscilátoru anebo nahradí nosný kmitočet ve směšovacím demodulátoru. Je pochopitelné, že v takovém případě můžeme současně přijímat a vysílat jen v tomtéž amatérském pásmu.

Konstrukce budiče není přes svou poměrnou složitost nijak náročná. Musíme dbát jen na to, aby všechny oscilátory byly dobře stíněny a příliš nevyzařovaly vf napětí, které by mohlo pronikat do výstupních obvodů. Proto je také zařazen vf zesilovač E 11, který sice pracuje s malým zesílením, avšak odděluje směšovací a výstupní obvody. Naprosto přesně musíme dodržet kmitočet základního oscilátoru 3500 kHz, protože využíváme i jeho násobků. Již odchylka 1 kHz způsobí v pásmu

28 MHz posunutí stupnice o 8 kHz. I když tím nevznikají vážnější potíže, přece jen je tu cejchování proto, aby bylo přesné.

Kmitočty druhého (E 4) a třetího oscilátoru (E 8) jsou vzájemně vázány tak, že dolní mezní kmitočet proměnného třetího oscilátoru odpovídá přesně kmitočtu pevného druhého oscilátoru. Tím je zaručeno, že všechna pásmata začínají na tomtéž délku stupnice. Výstupní kmitočet je určen rovnicí

$$f_{vyst} = nf_{x1} - f_{x2} + f_3, \quad (20)$$

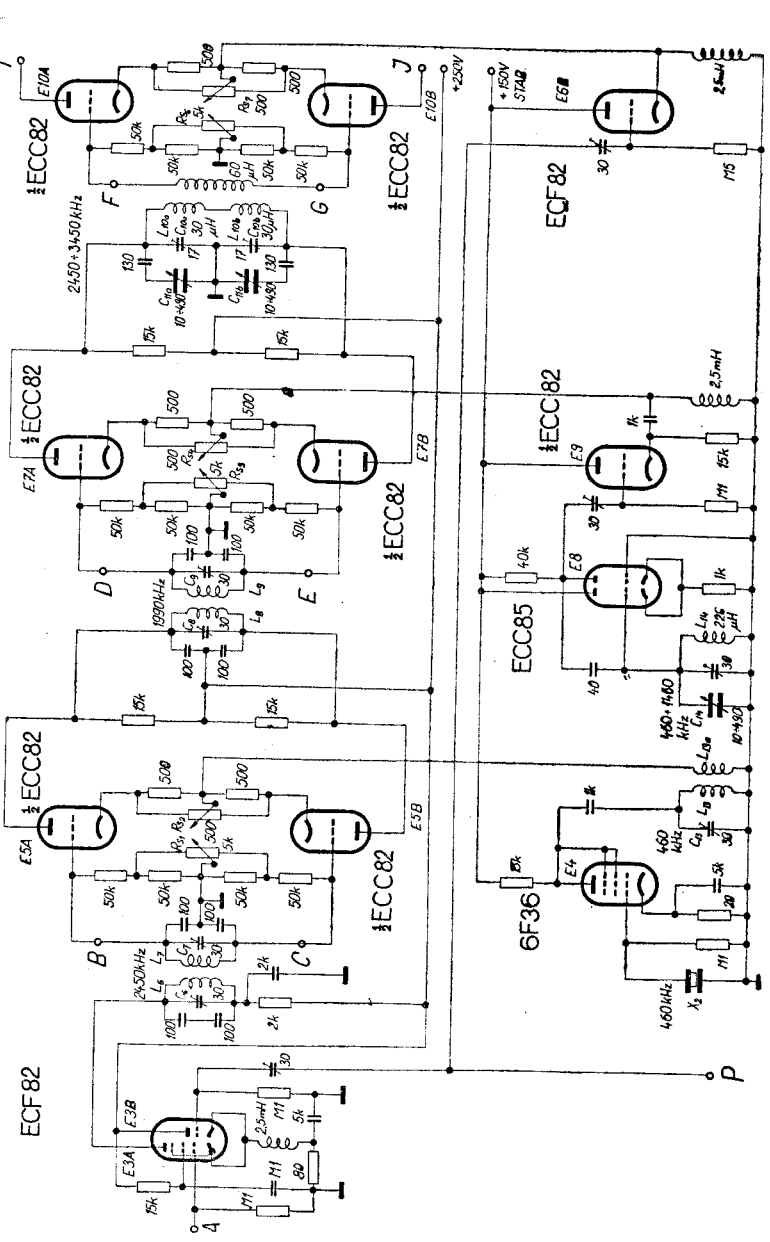
kde $n = 1, 2, 4, 6, 8$ (označuje stupeň násobku),

f_{x1} kmitočet prvního krystalu (kHz) v oscilátoru E 1,
 f_{x2} kmitočet druhého krystalu (kHz) v oscilátoru E 4,
 f_3 kmitočet proměnného oscilátoru E 8 (kHz).

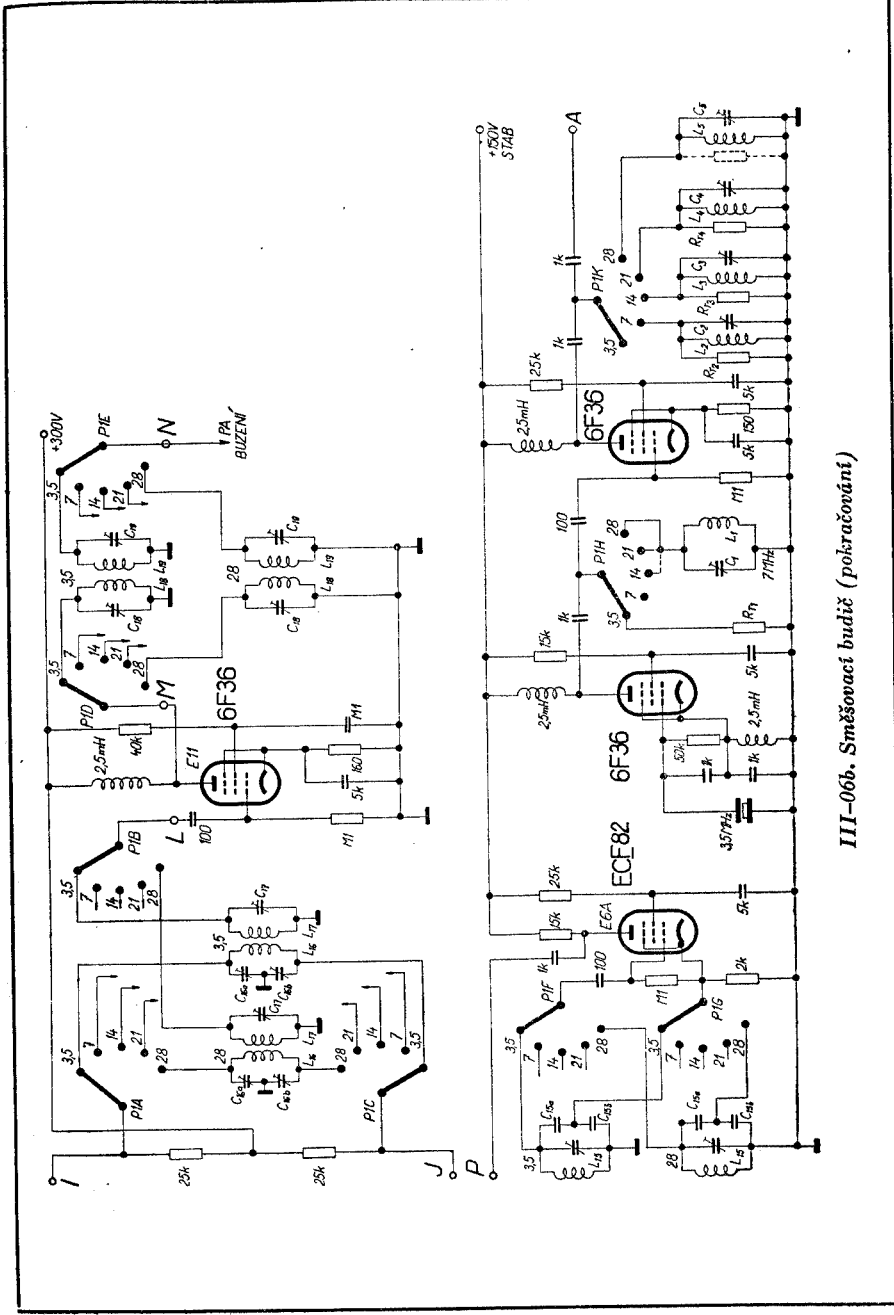
Při uvádění do chodu nejprve naladíme obvody základního oscilátoru. Zasuneme pouze elektronky E 1, E 2 a E 3. Elektronkový voltmeter s vf detekční sondou připojíme paralelně ke tlumivce v katodách elektronky E 3. Zapojíme krystal 3500,000 kHz a při přepínači P 1 v první poloze (3,5 MHz) změříme velikost vf napětí katody směšovače E 3, které má dosahovat hodnoty 10 až 15 V. Jeho vhodnou velikost nastavíme změnou odporu R_{T1} . Ve druhé poloze přepínače P 1 (7 MHz) opět měříme napětí ve stejném bodu, obvod L_2C_2 v anodové větvi elektronky E 2 vyladíme trimrem C_2 do rezonance na 7 MHz a změnou odporu R_{T2} nastavíme opět 10 až 15 V. Stejně postupujeme i ve třetí poloze (14 MHz). Zde násobí elektronka E 2 čtyřikrát. Nemůžeme-li dosáhnout potřebné velikosti vf napětí, spojíme obvod L_1C_1 i se třetí polohou přepínače P 1 a obvod L_3C_3 podle potřeby tlumíme odporem. Doladujeme trimrem C_3 .

Ve čtvrté poloze přepínače P 1 (21 MHz) násobí již anodový obvod oscilátoru dvakrát, obvod L_1C_1 vyladíme do rezonance na 7 MHz trimrem C_1 a obvod L_4C_4 na 21 MHz (elektronka E 2 násobí tříkrát) trimrem C_4 . Výstupní napětí opět nastavíme na hodnotu 10 až 15 V velikostí tlumicího odporu R_{T4} . V poslední poloze doladíme již jen obvod L_5C_5 na 28 MHz trimrem C_5 . Zde nevadí mírně vyšší napětí, protože se tím nahradí ztráty ve směšovacím obvodu. Cílem celého postupu je dosažení přibližně stejné velikosti vf napětí na všech rozsazích.

Při dalším vyvažování vyjmeme elektronku E 2, přepínačem P 1 nastavíme pásmo 3,5 MHz (nebo rozpojíme bod A), vf signální generátor připojíme na řídící mřížku elektronky E 3A.



III-06a. Směšovací budič pro všechna plástra se dvěma kryštaly (a, b)



III-06b. Směšovací budič (pokračování)

Naladíme kmitočet 2450 kHz bez modulace. Zasuneme elektronku E 5 a vf voltmetre měříme napětí na řidicí mřížce systému E 5A. Primár ($L_6 C_6$) i sekundár ($L_7 C_7$) pásmové propusti vyladíme do rezonance na kmitočtu 2450 kHz, což se projeví maximem vf napětí na řidících mřížkách obou systémů E 5.

Zasuneme elektronku E 4 a krystal 460 kHz, vypneme signální generátor (ponecháme ho však připojený), vf voltmetr připojíme na běžec potenciometru R_{s2} a trimrem C_{13} vyladíme obvod $L_{13} C_{13}$ do rezonance na 460 kHz. Vazbu nastavíme tak, aby vf napětí na katodách elektronky E 5 dosahovalo 5 až 10 V. Elektronkový vf voltmetr připojíme do bodu D a změnou polohy symetrikačního potenciometru R_{s2} nastavíme minimum vf napětí v bodě D. Zcela rovnocenné je měření v bodě E.

Odpojíme krystal 460 kHz, zapneme vf generátor, připojený v bodě A (kmitočet 2450 kHz), spojíme do zkratu tlumivku v katodě elektronky E 3A a symetrikačním potenciometrem R_{s1} v mřížkách elektronky E 5 nastavíme minimum vf napětí v bodě D. Tím jsme vyvážili obvody druhého směšovače tak, aby ani první mezinosný kmitočet 2450 kHz, ani kmitočet krystalem řízeného oscilátoru 460 kHz nepronikly do dalších obvodů.

Při vyvažování pásmové propusti 1990 kHz musíme již použít funkce druhého směšovače. Zapojíme opět krystal 460 kHz, signální generátor a vf voltmetr ponecháme v předchozím nastavení a trimrem C_8 nastavíme primář pásmové propusti $L_8 C_8$ do rezonance na kmitočtu 1990 kHz (rozdíl $2450 - 460 = 1990$ kHz). Stejným způsobem doladíme i sekundár $L_9 C_9$. Rozladění vzniklé připojením sondy vf voltmetu odstraníme až při konečném seřizování budiče.

Odvozujeme-li kmitočet 460 kHz z generátoru postranných pásem, využijeme při předchozích měřeních signálu SSB, odpovídajícího modulaci jediným tónem, např. 600 až 1000 Hz. Postup seřízení generátoru postranných pásem bude popsán samostatně v dalších částech kapitoly.

Dalším krokem je nastavení základního rozsahu oscilátoru E 8. Kmitočet měříme vlnoměrem nebo přijímačem. Velikost indukčnosti L_{14} a kapacity C_{14} měníme tak, abyhom obsáhlí s nepatrnnou rezervou kmitočty 460 kHz až 1460 kHz. Souběh proměnného oscilátoru a selektivního obvodu $L_{10} C_{10}$ nastavujeme podobně jako v přijímači, i když jsou zde funkce jednotlivých obvodů zaměněny. Vstupní kmitočet je pevný – 1990 kHz a je vytvářen stejně jako při vyvažování propusti druhým

směšovačem. Kmitočet proměnného oscilátoru (E 8) nastavujeme postupně na všechny tři body souběhu a dolahujeme na kmitočtu 1390 kHz trimry C_{11} a na kmitočtu 530 kHz indukčností L_{10} . Třetí kontrolní bod odpovídá kmitočtu oscilátoru (E 8) 960 kHz. Vyvažujeme vždy na maximální výstupní napětí, měřené vf voltmetrem v bodě G.

Po skončení celého postupu vyjmeme elektronku E 5, nastavíme kmitočet 663 kHz a měříme napětí v bodě G. Rezonanční obvod $L_{10} C_{10}$ je v tomto případě vyladěn na čtvrtou harmonickou oscilátoru E 8. Při jiných hodnotách kmitočtu druhého oscilátoru (E 4) vypočteme tento bod ze vzorce

$$f_3 = \frac{2450 - f_{s2}}{(n - 1)}, \quad (21)$$

ve kterém za n dosazujeme postupně 2, 3, 4, 5, 6. f_3 je hledaný kritický kmitočet druhého oscilátoru (E 9), f_{s2} je kmitočet druhého oscilátoru (E 4).

Symetrikačním potenciometrem R_{s4} nastavíme minimum napětí v bodě G. Potom ladíme oscilátor E 8 po celém rozsahu a kontrolujeme, zda v některém místě nevrůstá napětí v bodě G. V takovém případě dochází k přímé vazbě oscilátoru E 8 s obvodem $L_{10} C_{10}$ a je nutno ji odstranit přemístěním spojů, stíněním obvodů a pod. Vyjmeme elektronku E 10, zasuneme elektronku E 5, zapneme vf signální generátor, připojený v bodě A (tlumivka v katodě E 3A ve zkratu, kmitočet 2450 kHz) a zapojíme oscilátor E 4. Potenciometrem R_{s3} nastavíme minimum napětí v bodě G. Tím jsme vyvážili třetí směšovač tak, aby na jeho výstup nepronikaly kmitočty proměnného oscilátoru a druhý mezinosný kmitočet 1990 kHz.

Odpojíme signální generátor, odstraníme zkrat v katodě elektronky E 3A, zasuneme elektronku E 6 a pomocí vlnoměru nebo přijímače nastavíme kmitočty pomocného oscilátoru v obvodech $L_{15} C_{15}$ na všech rozsazích, to znamená ve všech polohách přepínače P 1. Od nejnižšího rozsahu k nejvyššímu je to 950 kHz (nebo 5950 kHz, výsledek je shodný), 4550 kHz, 11 550 kHz, 18 550 kHz a 25 550 kHz. Elektronka násobiče E 2 zatím není zapojena. Elektronkový voltmetr připojíme ke tlumivce v katodě elektronky E 3B a trimrem C_{s4} nastavíme vf napětí asi na 5 V. Na vyšších pásmech se tím mírně změní kmitočet, proto znova doladíme obvody $L_{15} C_{15}$.

Nyní již můžeme vyzkoušet celý řetěz prvních tří směšovačů a oscilátorů až do bodu G tím, že zapojíme elektronku E 2, ob-

novíme spoj v bodě *A* a vlnoměrem nebo přijímačem se záznějovým oscilátorem kontrolujeme kmitočty v bodě *G*. Ve všech polohách přepínače *P* 1 se musí měnit výstupní kmitočet v bodě *G* v mezích 2450 až 3450 kHz $\pm 5\%$. Za předpokladu správného nastavení kmitočtů proměnného oscilátoru se mohou vyskytnout pouze dvě závady: na výstupu není napětí – chybu hledáme v nesprávné funkci prvních tří směšovačů a v rozladení některého obvodu, nebo na výstupu je vf napětí, ale kmitočtově posunuto výše nebo níže proti udaným hodnotám. Stačí mírně změnit kmitočet pomocného oscilátoru *E* 6 a snadno dosáhneme souhlasu. Výstupní napětí v bodě *G* má být zhruba stálé, asi 0,8 až 1,5 V.

V tomto okamžiku zbývá nastavit poslední směšovač a výstupní zesilovač. Odpojíme vf voltmetr, zasuneme elektronky *E* 10 a *E* 11, prozatím odpojíme anodové napětí elektronky *E* 6B a vyjmeme elektronku *E* 7. Uzemníme běžec potenciometru *R_{s6}*, do bodu *F* nebo *G* připojíme vf generátor a vyladíme do rezonance pásmové propusti v anodových okruzích elektronek *E* 10 a *E* 11 na střední kmitočtu příslušného pásmu. Propustnost měníme změnou vazby primáru a sekundáru propusti (viz popis III-01). Na prvném rozsahu je to pásmo 3,5 až 3,8 MHz, dále 7,0 až 7,5 MHz, 14,0 až 14,5 MHz, 21 až 22 MHz a 28 až 29 MHz. Vf voltmetr připojíme při vyvažování propusti *L₁₆C₁₆*, *L₁₇C₁₇* do bodu *L*, potom do bodu *N*, kde ho již ponecháme po celou dobu dalšího vyvažování.

Při symetrizaci čtvrtého směšovače nejprve odstraníme spoj bězce *R_{s6}* se zemí a zasuneme elektronku *E* 7. Na libovolném rozsahu nastavíme potenciometrem *R_{s6}* minimální vf napětí v bodě *N*. Potom vyjmeme elektronku *E* 7, připojíme anodové napětí elektronky *E* 6B a potenciometrem *R_{s5}* opět nastavíme minimum napětí v bodě *N*.

Tím je skončeno předběžné naladění všech obvodů a můžeme přistoupit k posledním zkouškám. Zapojíme všechny elektronky a obvody podle schématu, místo vf voltmetru připojíme do bodu *N* přes malou kapacitu přijímače (musí mít záznějový oscilátor a je výhodné, má-li S-metr). Přesným vlnoměrem kontrolujeme kmitočty pomocného oscilátoru *E* 6 na všech rozsazích a pokud je třeba, opravíme nastavení obvodů *L₁₅C₁₅* tak, aby všechny kmitočty souhlasily s udanými nebo vypočtenými hodnotami.

Na přijímači nastavíme kmitočet 2450 kHz, proměnný oscilátor *E* 8 naladíme na 460 kHz (to znamená přesně na kmitočet druhého krystalu v oscilátoru *E* 4) a symetrizačními poten-

ciometry *R_{s1}* a *R_{s6}* se snažíme dosáhnout co nejmenšího napětí o kmitočtu 2450 kHz na výstupu budiče v bodu *N*. Přijímač slouží jako selektivní indikátor síly signálu. Toto měření opakujeme na kmitočtech 7 350, 14 700, 22 050 a 29 400 kHz postupně na druhém až pátém rozsahu budiče. Sem spadají harmonické prvního a třetího mezinosného kmitočtu.

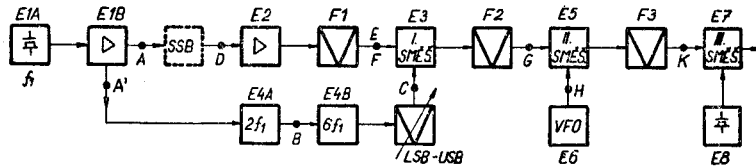
Stejným způsobem nastavíme minimum výstupu na kmitočtu 1990 kHz potenciometrem *R_{s3}*. Dále naladíme oscilátor *E* 8 na kmitočet $f_3 = 663$ kHz, přijímač na kmitočet 2653 kHz (viz výpočet podle [21] a potenciometrem *R_{s4}* upravíme opět minimum výstupního napětí v bodě *N* na tomto kmitočtu. Nakonec potlačíme kmitočet pomocného oscilátoru *E* 6 na pátém rozsahu budiče. Přijímač naladíme na 25 550 kHz a symetrizačním potenciometrem *R_{s5}* nastavíme minimum výstupu. Odpojíme přijímač, připojíme do bodu *N* opět vf voltmetr a opravíme naladění pevných propustí 2450 kHz a 1990 kHz tak, abychom dosáhli maxima výstupního napětí na všech pásmech.

Pomocí vlnoměru ocejchujeme stupnici proměnného oscilátoru tak, že délka 0,0 kHz na stupni odpovídá přesné kmitočtu krystalu *X* 2 druhého oscilátoru (*E* 4). Při pečlivém provedení a dostačné vysokém činiteli jakosti pásmových propustí prvého a druhého mezinosného kmitočtu je i potlačení kmitočtu krystalu 3,5 MHz a jeho harmonických dostačné (asi 50 dB). Míru potlačení můžeme zjistit pomocí přijímače, který postupně ladíme na harmonické krystaly na všech pásmech budiče. Přitom nastavíme proměnný oscilátor *E* 8 na délku + 500 kHz. Při malém potlačení nežádoucích kmitočtů je nutno lépe stínit obvody krystalu a elektronek *E* 1 a *E* 2, nebo zapojit i první směšovač souměrně. Místo pásmových propustí v anodových obvodech čtvrtého směšovače a vf zesilovače můžeme použít i paralelních laděných rezonančních obvodů, vztvrstá tím však počet ovládacích prvků.

III-05. SMĚŠOVACÍ BUDIČ PRO PROVOZ SSB

I nejjednodušší zapojení budiče pro telefonii s jedním postranním pásmem vyžaduje použít nejméně dvou směšovačů. Na obr. III-07 je typické skupinové schéma základní části takového budiče. První oscilátor (*E* 1A) je řízen krystalem 460 kHz, jehož kmitočet je veden do obvodů pro oddělení postranního pásmá filtrační metodou. Při telegrafním provozu nemusí být

filtry zapojeny. Za vf zesilovačem (E 2) následuje první směšovač (E 3) s pásmovou propustí 2300 kHz, kde se směšují dva kmitočty: při telegrafním provozu a při telefonii s dolním postranním pásmem využíváme čtyřnásobku kmitočtu krystalu, tj. 1840 kHz, při telefonii s horním postranním pásmem šestinásobku, tj. 2760 kHz, který směšujeme s kmitočtem prvního oscilátoru. V prvném případě za směšovačem vyhíráme součet, tj. $1840 + 460 = 2300$ kHz, ve druhém případě rozdíl $2760 - 460 = 2300$ kHz. Jednoduchým přepínáním obvodu F 4 v anodě násobiče E 4B můžeme zvolit libovolné telefonní postranní pásmo. Je to analogie s obvody superhetu – při odečítání napětí s kmitočtem postranního pásma se mění jeho poloha.

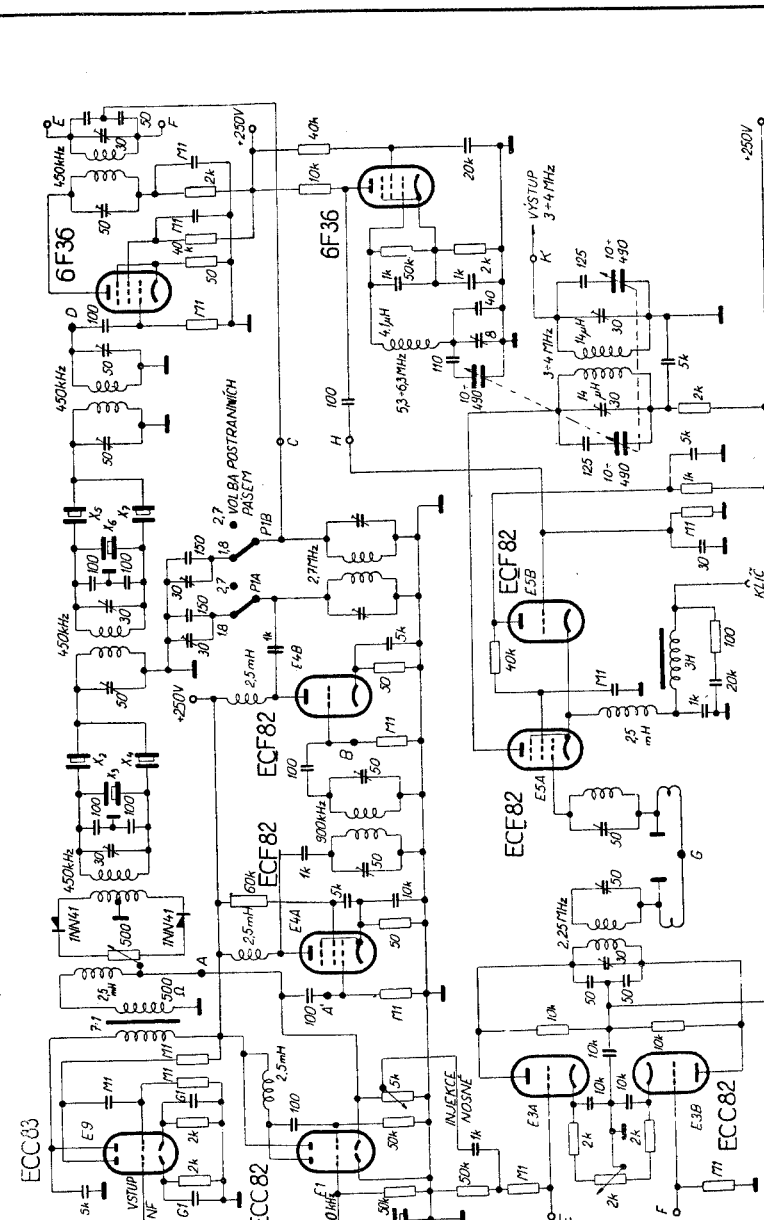


III-07. Skupinové schéma budíče pro provoz SSB

Šířka pásma propustí F 1 i F 2 je 4 kHz. Ve druhém směšovači (E 5) se vytvoří rozdíl kmitočtu 2300 kHz a proměnného oscilátoru (E 6), který je vybírána laděnou pásmovou propustí F 3 v pásmu 3,0 až 4,0 MHz. Tento kmitočet můžeme dále zpracovat buď zesílením, nebo dalším směšováním. Násobiče kmitočtu můžeme použít jen při telegrafním provozu. Při telefonii s jedním postranním pásmem musíme měnit kmitočet výhradně směšováním, aby nedošlo ke zkreslení modulace.

Po zapojení celého budíče nejprve seřizujeme obvody oscilátoru, řízeného krystalem. Zasuneme elektronky E 1 a E 4 a krystal 460 kHz. Měříme vf napětí elektronkovým voltmetrem v bodě B a nastavíme obvod L_1C_1 do rezonance trimrem C_1 . Obvod L_2C_2 vyladíme na kmitočet 920 kHz (bod B, trimr C_2), obvod L_3C_3 na kmitočet 1840 kHz (bod C, trimr C_3) a obvod L_4C_4 na kmitočet 2760 kHz (bod C, trimr C_4). Vf napětí v bodě C má dosahovat asi 10 až 15 V. Zasuneme elektronku E 2, v případě zařazení SSB části zapojíme nosný kmitočet a měříme vf napětí v bodě D nebo E. Vyladíme primár (L_5C_5) i sekundár (L_6C_6) propusti F 1 do rezonance na kmitočtu 460 kHz.

Rozpojíme vazbu v bodě D, vyjmeme elektronku E 4,



III-08. Směšovací budíč pro provoz SSB v pásmu 3—4 MHz

zasuneme E 3, na mřížku zesilovače E 2 připojíme signální generátor a bod po bodu změříme rezonanční křivku propusti F 1. Vhodným nastavením vazby primáru a sekundáru dosáhneme pásma propustnosti 6 kHz pro pokles 6 dB. Je výhodné, má-li křivka jen jeden vrchol. Napětí měříme v bodě E nebo F. Zasuneme elektronky E 4 a E 5, při přepínači P 1 v poloze 1840 kHz nastavíme signální generátor na kmitočet 460 kHz. Vf voltmetr připojíme do bodu G a vyladíme primár i sekundár propusti F 2 (L_7C_7 , L_8C_8) do rezonance na kmitočtu 2300 kHz (součet 460 + 1840). Změnou kmitočtu generátoru v mezích 450 až 470 kHz změříme bod po bodu rezonanční křivku propusti F 2, která má mít podobný tvar jako křivka F 1. Totéž měření opakujeme ve druhé poloze přepínače P 1 (2760 kHz). Všechny křivky mají mít shodný tvar a shodný referenční střední kmitočet (vyjádřený ve změně kmitočtu prvního oscilátoru, tj. 460 kHz).

Odpojíme vf generátor, spojíme vazební bod D, zapojíme kmitočet 460 kHz do bodu D a ziněříme vf napětí v bodě G, které je při správném nastavení obvodů shodné v obou polohách přepínače P 1 a dosahuje asi 2 V. Potom místo voltmetu připojíme do bodu G přijímač, naladěný na kmitočet 2760 kHz. Přepínač P 1 je při tomto měření rovněž v poloze 2760 kHz. Potenciometrem R_{s1} v katodách elektronky E 3 nastavíme minimální výstupní napětí na kmitočtu 2760 kHz. Přepnutím do polohy 1840 kHz kontrolujeme přijímačem i zde potlačení mezinosného kmitočtu.

Odpojíme přijímač, rozpojíme vazbu v bodě G a zasuneme elektronky E 5 a E 6. Na mřížku druhého směšovače (bod G) připojíme signální generátor a do bodu K vf voltmetr. Změnou kapacit a indukčností (L_9C_9) nastavíme horní a dolní mezní kmitočet oscilátoru E 6, tj. 5,3 až 6,3 MHz. Kmitočet kontrolujeme vlnoměrem nebo dobrým přijímačem a kalibrátorem. V souběhu s oscilátorem je laděna pásmová propust F 3. Body souběhu, vyjádřené referenčními kmitočty oscilátoru, jsou 5,4 MHz, 5,8 MHz a 6,2 MHz a odpovídají výstupním kmitočtům v bodě K: 3,1 MHz, 3,5 MHz a 3,9 MHz. Na nižších kmitočtech doladujeme na maximální výstupní napětí indukčnostmi $L_{10} L_{11}$, na vyšších kmitočtech trimry $C_{10} C_{11}$. Kmitočet vf signálního generátoru je 2300 kHz.

Po nastavení souběhu odpojíme vf generátor a zapojíme všechny obvody podle schématu. Pomocí přesného vlnoměru ocejchujeme proměnný oscilátor tak, že měříme výstupní kmitočet v bodu K a jeho hodnoty vynášíme na stupnice

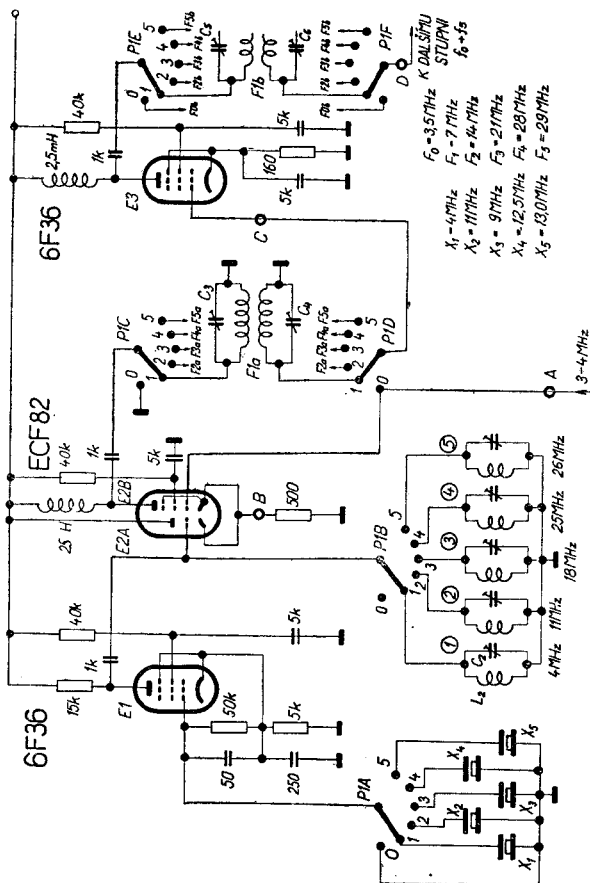
oscilátoru. S malou rezervou má být překryt rozsah 3,0 až 4,0 MHz, takže dalším směšováním obsáhneme libovolné amatérské pásmo. Potlačení nezádoucích produktů směšování dosahuje až 45 dB, kmitočtová stálost je určena proměnným oscilátorem. Předností je možnost jednoduché volby postranního pásma při provozu SSB.

III-06. D O P L Ě N K O V Y S M Ě Š O V A Č P R O V Š E C H N A P Á S M A

Výstupní kmitočty některých budičů pro telefonii s jedním postranním pásmem leží v jediném amatérském pásmu. Podobně jako doplňujeme mezifrekvenční část přijímače konvertorem pro příjem vyšších kmitočtů, můžeme za jednoúčelový budič zařadit doplňkový směšovač. Celé zapojení je velmi jednoduché a při použití pásmových propustí odpadá dodávání rezonančních obvodů. Hodnoty indukčností a kapacit pro vstupní kmitočet 3 až 4 MHz a schéma jsou na obr. III-09.

Při uvádění do chodu nejprve zapojíme elektronky oscilátoru (E 1) a směšovače (E 2) a všechny krystaly. Vf voltmetr připojíme do bodu B a v jednotlivých polohách přepínače P 1 vyladíme příslušné obvody L_2C_2 do rezonance na kmitočtech, uvedených v tabulce. Napětí v bodě B nemá být větší než 10 V. Potom zapojíme elektronku E 3 a do bodu A připojíme signální generátor (pásma 3 až 4 MHz). V jednotlivých polohách přepínače P 1 vyvážíme obvody pásmových propustí tak, aby pásmo propustnosti bylo vždy shodné s údaji v tabulce.

Nejprve nastavíme střední kmitočet každého amatérského pásma a vyladíme primár i sekundár propusti do rezonance při nejmenší vazbě obou obvodů. Napětí měříme vf voltmetrem v bodě C nebo D. Potom měníme kmitočet signálního generátoru v mezích pásma a sledujeme změny napětí (body C, D). Výstupní kmitočet je určen součtem kmitočtu generátoru a příslušného krystalu. Proto i změna ladění generátoru zahrnuje vždy jen rozdíl horního a dolního mezního kmitočtu každého pásma, např. na 7 MHz jen 3,0 až 3,3 MHz, na 14 MHz 3,0 až 3,5 MHz apod. Pokles napětí na okrajích každého pásma vyrovnané mírným zvětšením vazby v obvodech propustí. Výstupní napětí v bodě D může kolísat kolem střední hodnoty v mezích 20 %. Nepravidelnosti opravíme nepatrým rozladěním primáru. Lze využít i skutečnosti, že oba obvody se mohou vzájemně doplňovat. Propust F 2 naladíme tak, že vykazuje dva vrcholy



III-09. Doplňkový směšovač pro všechna pásmá

křivky propustnosti s mírným sedlem uprostřed, kam umístíme vrchol rezonanční křivky propusti F_1 .

Popsané zapojení směšovacích obvodů pracuje velmi spolehlivě ve spojení s budičem na obr. III-07. Závislost jednotlivých kmitočtů je možno vyjádřit rovnicí:

$$f_{výst} = f_2 - 5f_1 + f_x, \quad (22)$$

kde $f_{výst}$ je výstupní kmitočet doplňkového směšovače,
 f_1 kmitočet prvního oscilátoru (obr. III-08, E 1A),
 f_2 kmitočet proměnného oscilátoru (5,3 až 6,3 MHz),
 f_x kmitočty krystalů pro jednotlivá pásmá.

B. Obvody pro výběr postranních pásem

Ačkoli je budič vysílače pro telefonii s jedním postranním pásmem značně složitější než vysílač s násobiči kmitočtu, tvoří obvody pro oddělení postranního pásmá jen malou část celého zařízení. Jednotlivé prvky – vyvážené modulátory a selektivní pásmové propusti – byly podrobně popsány v úvodní kapitole.

Typickou vlastností obvodů pro výběr postranních pásem je naprostá shoda s technikou stavby a vyvažování superhetu. Více než v kterýchkoli jiných částech vysílače vystupuje do popředí nutnost dodržet nízké úrovně napětí a výkonů. Potlačení nežádoucích kmitočtů dosahuje jen výjimečně vyšších hodnot než 40 dB (poměr napětí 1 : 100) a při přebuzení některého směšovače nebo zesilovače dochází kromě značného zkreslení i ke změně poměru amplitud žádaného a nežádaného signálu. Může se stát, že jinak správně nastavený generátor postranního pásmá produkuje nežádoucí kmitočty s potlačením pouze 15 až 20 dB jen v důsledku zbytečně vysokých úrovní napětí.

Nesmíme podceňovat ani otázky přesných měřicích metod a správného nastavení pracovního bodu směšovacích a zesilovacích elektronek. V souměrných a vyvážených obvodech je nutno pečlivě vybírat dvojice elektronek, diod, odporů a kondenzátorů, aby jejich parametry a vlastnosti byly skutečně shodné právě tak jako rezonanční kmitočty párovaných

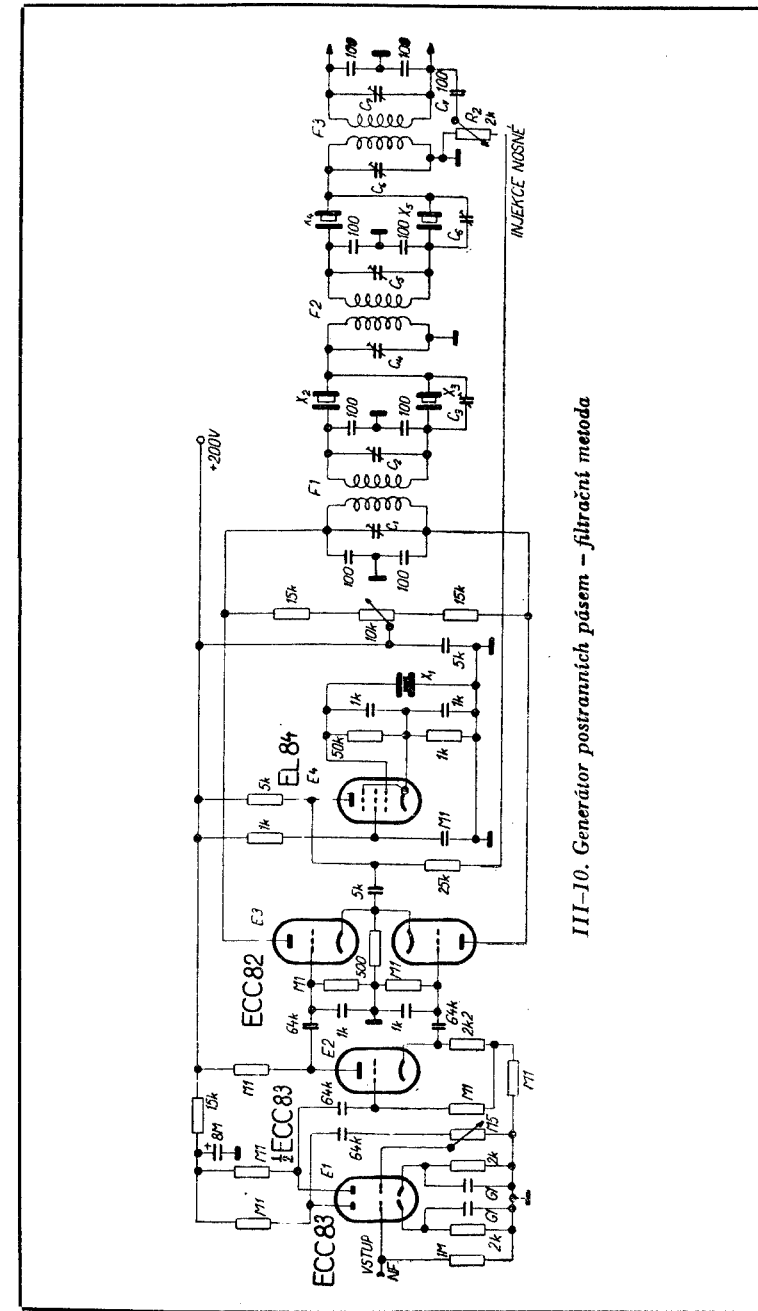
krystalů v pásmových propustích. Generátor postranních pásem je srdcem vysílače a při jeho chybné funkci dochází nejen ke zkreslení modulace, ale především k výraznému zhoršení účinnosti přenosu.

III-07. MODULÁTOR PRO SSB S PÁSMOVÝMI PROPUSTMI

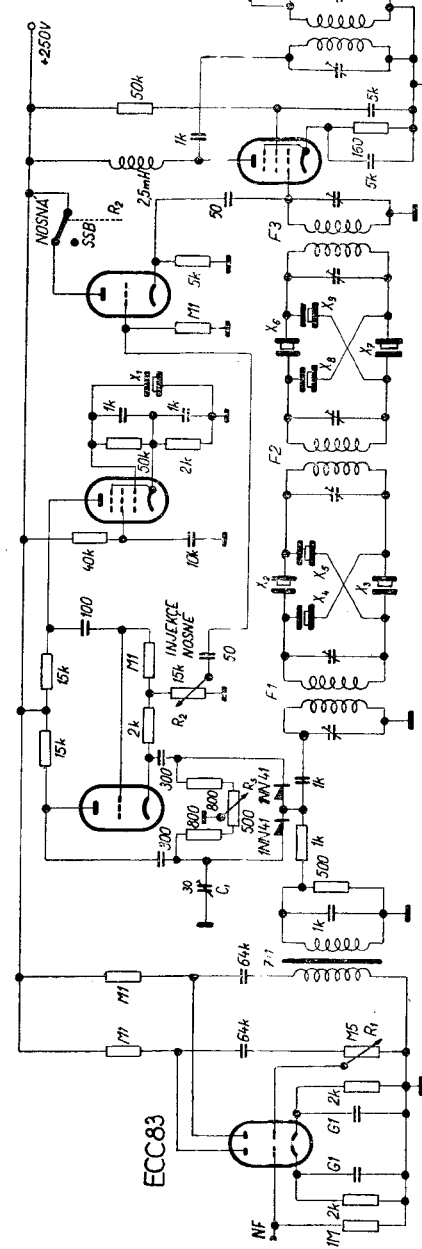
Ve většině směšovacích budičů je počítáno s připojením modulátoru pro telefonii s jedním postranním pásmem. Po-mocný nosný kmitočet je určen krystaly pásmové propusti; obvykle leží v rozmezí 450 až 490 kHz. Za takového předpokladu můžeme použít továrně vyrobené mezifrekvenční propusti s malou úpravou.

Zapojení na obr. III-10 je aplikací několika základních obvodů, které byly popsány v první kapitole. Mikrofonní napětí je zesíleno elektronkou E 1A. Vyvážený modulátor (E 2) je buzen invertorem (E 1B) v řídících mřížkách, zatímco na společný bod obou katod je připojeno vf napětí z oscilátoru E 3, řízeného krystalem X 1. Anodový obvod modulátoru je souměrný s paralelním napájením. Potenciometrem R_s nastavujeme maximální potlačení nosného kmitočtu. Střední kmitočet propustí F 1, F 2 a F 3 je dán rozdílem kmitočtů sériové rezonance krystalů X 2, X 3. Poslední člen je upraven pro připojení vyváženého směšovače, kterým transponujeme signál SSB do žádaného pásma.

Při vyvažování zapojíme všechny elektronky a na výstup propusti F 3 připojíme přes malou kapacitu přijímač s indikátorem síly signálu. Úroveň nf napětí nastavíme na minimum, měříme napětí s kmitočtem krystalu X 1 a potenciometrem R_s nastavíme minimum výstupu. Potom odpojíme krystal X 1, signální generátor přepojíme na anodu elektronky E 2A a šroubovákem z izolační hmoty doladíme všechny obvody pásmových propustí přesně na střední kmitočet krystalů X 2 a X 3. Rozložováním signálního generátoru po 1 kHz na obě strany změříme bod po bodu křivku propustnosti. Změnou kapacity trimrů C_3 a C_6 nastavíme rejekční body do bezprostřední blízkosti boků křivky. Odpojíme vf generátor, zasuneme krystal X 1 a pomocí dvoutónové zkoušky kontrolujeme činnost všech obvodů. Pro posouzení dokonalosti potlačení nežádoucího pásma postačí změřená křivka propustnosti, nebo je možno zkoušet modulaci jedním tónem. Na výstupu musí být



III-10. Generátor postranních pásem – filtrační metoda



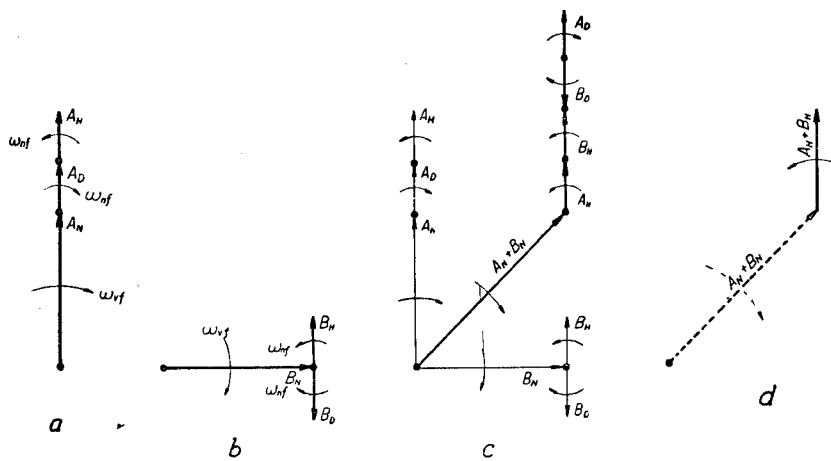
III-11. Generátor postranních pásů s využenými propustními krystaly

v tomto případě pouze čisté nemodulované vysokofrekvenční napětí.

Obdobné zapojení je uvedeno na obr. III-11. Vyvážené propusti se čtyřmi krystaly zaručují dokonalejší odříznutí nezádoucího postranního pásmá. Postup při vyvažování je shodný. Signální generátor připojíme na primár propusti F_1 přes kondenzátor 20 až 30 pF.

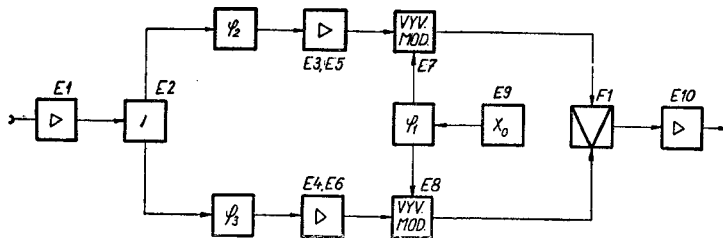
III-08. FÁZOVACÍ GENERÁTOR POSTRANNÍCH PÁSŮ

Kdybychom znázornili okamžité hodnoty vektorů napětí modulovaného vf napětí, získali bychom obr. III-12a. Vektor nosné, označený A_N , se otáčí rychlosťí ω_{vf} (nosný kmitočet), vektory horního a dolního postranního pásmá A_H , A_D rychlosťí ω_{nf} (modulační kmitočet). Vektorový obraz III-12b vznikl ze stejných napětí, která byla před modulací natočena o 90° fázových stupňů. Vektorovým součtem (obr. III-12c, d) získáme napětí nosné ($A_N + B_N$), fázově posunuté o 45° stupňů, které současně ve vyvážených modulátorech potlačíme. Hlavním produktem je součtové napětí horních postranních pásem ($A_H + B_H$), zatímco dolní postranní pásmo se zruší,



III-12. Vektorový diagram fázovací metody generace oddelených postranních pásů (a, b, c, d)

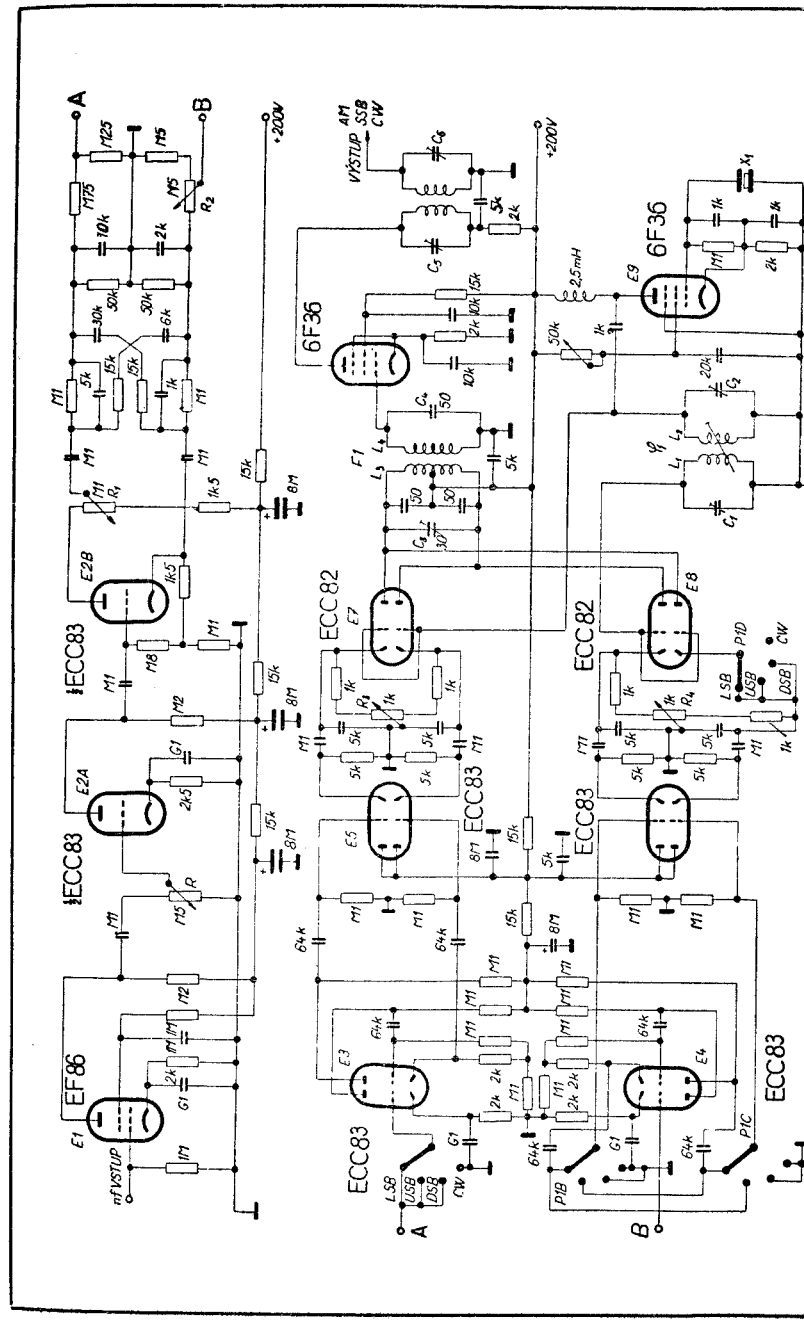
protože dvojice vektorů $A_D B_D$ je v protifázi. Otočením vektorového diagramu B (III-12b) o 90 úhlových stupňů v opačném smyslu potlačíme naopak horní postranní pásmo a získáme dvojnásobné napětí dolního postranného pásmá. Obrázky III-12 a-d znázorňují jeden jediný okamžik celého modulačního cyklu. Časová závislost je znázorněna šipkami, které naznačují smysl otáčení a indexy, které udávají úhlovou rychlosť otáčení $\omega = 2 \pi f$.



III-13. Skupinové schéma zapojení fázovacího generátoru postranních pásům

Skupinové schéma fázovacího generátoru postranních pásům je na obr. III-13. Nf napětí je zesíleno elektronkou E 1. V katodovém invertoru E 2 jsou vytvořena dvě souměrná nf napětí, která přivádíme na nízkofrekvenční fázovací členy φ_2 , φ_3 , ve kterých se vytvoří dvojice nf napětí s fázovým rozdílem 90 stupňů. Obě napětí znova symetrujeme (invertory E 3, E 4) a pomocí souměrných katodových sledovačů přivádíme do vyvážených modulátorů E 7, E 8. Vysokofrekvenční napětí z oscilátoru E 9, řízeného krystalem X 1, je vedeno na fázovací obvod φ_1 , kde se vytvoří dvojice vysokofrekvenčních napětí se vzájemným fázovým posuvem 90 stupňů. Obě napětí přivádíme na mřížky vyvážených modulátorů E 7, E 8. V obvodu propusti F 1 získáváme pouze jediné postranní pásmo, jehož napětí je zesíleno elektronkou E 10.

Při uvádění do chodu připojíme na výstup propusti F 2 osciloskop a na vstup nf zesílovače přivedeme napětí s kmitočtem 1000 Hz. Při zapnutém oscilátoru E 9 vyladíme do rezonance obvody φ_1 , F 1 a F 2 (trimry C_1 , C_2 , C_3 , C_4 , C_5 , C_6), což se projeví vzhůstem napětí na výstupu. Potom vypneme nf signál a potenciometry R_3 , R_4 nastavíme minimální výstupní napětí. Zapneme znova nf signál a potenciometry R_1 , R_2 nastavíme minimální modulaci vf signálu (snažíme se dosáhnout co nejmenšího zvlnění křivky), která je projevem přítomnosti



III-14. Schéma zapojení fázovacího generátoru postranních pásům

nežádoucího postranního pásma. Mírným rozladěním v fázovacího členu φ_1 (kondenzátor C_2) nastavíme fázový rozdíl obou vf napětí tak, aby se nežádoucí modulace výstupního napětí ještě dále snížila a znova opravíme nastavení potenciometrů R_1, R_2 . Celý postup několikrát opakujeme. Čím přesněji se nám podaří nastavit fázový posun 90 stupňů, tím většího potlačení postranního pásma dosáhneme.

Rezonanční kmitočet krystalem řízeného oscilátoru není nijak kritický. Stejně dobrých výsledků dosáhneme na 450 kHz nebo na 9 MHz. V zapojení se mění jen rezonanční kmitočet propustí φ_1 , F 1 a F 2.

III-09. MĚŘENÍ NA GENERÁTORECH POSTRANNÍCH PÁSEMI

Specifické vlastnosti signálu SSB vyžadují použít zvláštních měřicích metod především při vyvažování a kontrole těch obvodů, ve kterých vybíráme žádané postranní pásma. Hlavní důraz klademe na správný postup měření a na použití vhodných měřicích přístrojů. Uplatní se pouze přístroje elektronkové, nebo nanejvýš tranzistorizované, protože převážnou část měření uskutečňujeme v obvodech s velkým vnitřním odporem.

Stejnosměrný elektronkový voltmetr používáme jen při kontrole provozních parametrů elektronek (napětí stínících mřížek, předpětí, ss napětí na anodách zesilovače apod.). Tehdy musí být voltmetr alespoň zhruba cejchován v základním rozsahu nejméně 1 V pro plnou výchylku, nejvyšší měřená napětí obvykle nepřesahují 300 V. Je však vhodné, můžeme-li připojit dělič napětí 1 : 5, takže změříme i stejnosměrná napětí do 1500. Dělič bývá umístěn v bezpečnostní vysokonapěťové sondě.

Nízkofrekvenční elektronkový voltmetr je velmi užitečný při hledání chyb v obvodech nf zesilovačů, fázovacích členů a modulátorů. Používáme rozsahy 30 mV, 1 V, 3 V a 30 V. Při vyvažování slouží především ke kontrole amplitudy vstupního napětí a souměrnosti vyvážených nf obvodů.

Vysokofrekvenční elektronkový voltmetr je nepostradatelný při vyvažování všech obvodů budiče. Nemusí být přesně cejchován, protože většinou pracuje jen jako indikátor maxima nebo minima napětí. Zcela postačí jednoduchý ss můstkový elektronkový voltmetr s detekční vysokofrekvenční sondou [L 8]. Nevhodou je, že měří všechna vf napětí v daném obvodu, nerozlišuje tedy kmitočet.

Elektronkový osciloskop s vestavěnou časovou základnou může nahradit předchozí přístroje tehdy, jestliže jeho vertikální zesilovač pracuje uspokojivě alespoň do 5 MHz a časová základna překrývá kmitočty od 20 Hz do 200 kHz. To jsou ovšem dosti přísné nároky. Běžné osciloskopu umožňují sledování průběhu s nosným kmitočtem do 500 kHz a to stačí i pro speciální měření, ke kterým osciloskopu používáme (kontrola tvaru modulační obálky při potlačení jednoho postranního pásma).

Selektivní superhet s indikátorem síly signálu nahradí obvykle selektivní vf voltmetr, který je pro amatérskou dílnu příliš luxusním přístrojem. Je nutné, aby takový přijímač měl ruční řízení vf citlivosti při vypnutém AVC, samostatné řízení nf zesílení, záZNĚJOVÝ oscilátor, indikátor síly signálu (S-metr) nebo dokonalý detektor, ke kterému připojíme ss elektronkový voltmetr. Musí umožňovat příjem kmitočtů, na kterých pracuje vyvážený modulátor nebo příslušný směšovač. Pro odhad poměru potlačení nežádoucího pásma musí být jeho signálová selektivnost velmi vysoká, nejméně 2 kHz pro odstup 35 dB, jinak je měření zkresleno přítomností dvou nebo více signálů.

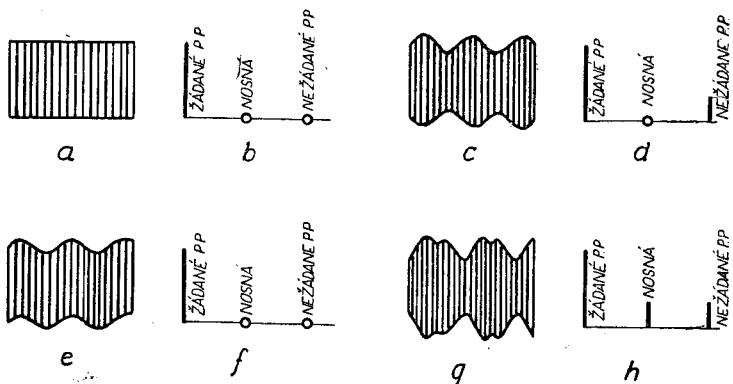
Nízkofrekvenční generátor s jemnou regulací výstupního napětí používáme při nastavování fázovacích členů a nf řetězu. Musí dodávat napětí v mezích 1 mV až 1 V se zkreslením do 3 % v kmitočtovém rozsahu alespoň 500 Hz až 5 kHz. Někdy je výhodnější konstrukce jednoúčelového nf generátoru, který dodává dvě nf napětí, např. 1000 Hz a 2200 Hz. Obě nf napětí je možno použít buď odděleně, nebo současně pro tzv. dvoutónovou zkoušku. Amplitudy obou napětí musí být samostatně nastavitelné. Jakostní vysílače jsou obvykle vybaveny podobným generátorem, který je vestavěn přímo v nízkofrekvenční části budiče.

Vysokofrekvenční generátor s možností amplitudové modulace kmitočtem 400 Hz patří do běžné výbavy radioamatérské dílny. Bez takového přístroje bychom vyvážili obvody směšovačů a pásmových propustí jen s velkými obtížemi. Pro měření v obvodech s krystaly je třeba, aby bylo možno odečítat kmitočet v pásmu 400 až 500 kHz (nebo v okolí sériové rezonance krystalů) s přesností alespoň 500 Hz, ostatní kmitočty (do 30 MHz) s přesností 20 kHz. Dlouhodobá stabilita nemusí být příliš vysoká, jde jen o dostatečně přesné určení kmitočtu při krátkodobém měření. Výstupní vf napětí je třeba regulovat asi v mezích 100 µV až 1 V.

Uvedenými přístroji vyvažujeme a kontrolujeme hotový budič. Při stavbě se uplatní ještě řada dalších měřicích přístrojů, především měřič rezonance (GDO), měřič indukčnosti a kapacit, ohmmetr apod.

V popisu často používáme pro jednoduchost výrazu „dodalíme obvod do rezonance...“ Většina pásmových propustí a rezonančních obvodů pracuje v paralelní rezonanci a má tedy velmi velký odpor. Vysokofrekvenční napětí je na takových obvodech při rezonanci nejvyšší. Proto je známkou paralelní rezonance maximum výstupního napětí, které měříme výstupním voltmetrem s vf detekční sondou. V ostatních případech je vždy uvedeno, zda nastavujeme maximální nebo minimální výstupní napětí.

Potlačení nosného kmitočtu a postranního pásma nemůžeme kontrolovat při modulaci několika tóny. Existuje však metoda, kterou můžeme zjistit, zda jsou modulační obvody správně nastaveny, a to je jednotónová zkouška pomocí nf generátoru a osciloskopu. Často hovoříme i o dvoutónové zkoušce, charakter a působnost obou zkoušek se však liší. Jedním tónem zjišťujeme stupeň potlačení nosné a nežádaného postranního pásma. Nepřímo aplikací je měření maximálního příkonu koncového zesilovače. Dvoutónovou zkouškou kontrolujeme především linearitu zesilovačů a směšovačů, zatímco odhad



III-15. Osciloskopická kontrola vyvážení budiče pro SSB: a – správně nastavení, b – správně nastavení při kontrole přijímačem, c – nedokonalé potlačení nežádoucího pásma, d – totéž při kontrole přijímačem, e, f – správně nastavení budiče, na vstup osciloskopu proniká kmitočet sítě, g, h – nedokonalé potlačení nosného kmitočtu a nežádoucího postranního pásma

potlačení nežádoucích složek vf spektra je v tomto případě obtížný a nepřesný.

Při provozu SSB odpovídá modulaci jedním tónem jediný kmitočet postranního pásma. Této skutečnosti využíváme i při nastavování budiče. Na výstup vyváženého modulátoru připojíme vstup vertikálního zesilovače osciloskopu přes vazební kapacitu asi 100 pF. Správně vyvážené obvody produkují čisté vf napětí bez modulace (obr. III-15a). Vstupní úroveň nízkofrekvenčního napětí nastavíme tak, abychom na obrazovce získali dostatečně velký obrázek. Malé potlačení nežádoucího postranního pásma se projeví parazitní modulací vf napětí, zvláštním horního a dolního okraje obrázku (obr. III-15c). Stejně se projeví nedostatečné potlačení nosného kmitočtu při správném potlačení postranního pásma. Musíme sledovat, zda jde skutečně o modulaci, kdy zvláštní horní části je zrcadlovým obrazem zvláštní dolní části obrazu. Může se stát, že na vstup osciloskopu proniká síťové napětí a dochází k superpozici obou napětí (obr. III-15e). To však není důsledkem špatného nastavení modulátoru, ale induktivního nebo kapacitního přenosu napětí sítě mezi kostrami obou přístrojů a přívody. Odstraní se zmenšením vazební kapacity a použitím krátkých stíněných přívodů.

Důležitým měřítkem je kmitočet časové základny osciloskopu ve spojení s počtem zvlnění. Časovou základnu nastavujeme vždy na polovinu kmitočtu zkušebního tónu. V každé řadě se objeví čtyři maxima a čtyři minima tehdy, jestliže je správně potlačen nosný kmitočet a proniká nežádoucí postranní pásma. Při správném nastavení postranních pásů a pronikání nosného kmitočtu zjistíme při stejném kmitočtu zkušebního tónu a časové základny jako v předešlém případě jen dvě maxima v každé (horní nebo dolní) řadě. Proniká-li nosná i nežádoucí pásmo, je zvláštní vodorovné části obrazu nepravidelné (obr. III-15g). Poměr amplitud zvlnění ke střední amplitudě vf napětí udává zároveň stupeň potlačení nežádoucích složek. Pomocí osciloskopu můžeme rozeznat potlačení 30 až 40 dB (poměr amplitud 1 : 30 až 1 : 100) za předpokladu čistého obrazu, nezvláštními složkami síťového napětí a při dostatečně velkém průměru obrazovky. Výhodou této metody je možnost průběžného sledování výsledků při vyvažování jednotlivých obvodů.

Fázovací generátory postranních pásů někdy pracují s poměrně vysokým kmitočtem nosné (až 9 MHz), takže je přímé připojení osciloskopu nemožné. Můžeme použít nepřímé metody:

kmitočet nosné vyladíme např. na rozhlasovém přijímači, který musíme dostatečně tlumit, aby nebyl zahracen. Oscilograf připojíme přes malou kapacitu na sekundár druhé mezifrekvence místo detektoru. Další postup je zcela shodný s předchozím popisem.

Jakostní přijímač s dobrou signálovou selektivností můžeme použít pro kontrolu potlačení nežádoucích kmitočtů za předpokladu, že budeme přijímat již signál v příslušném amatérském pásmu, nebo alespoň po smísení s dalším kmitočtem. Zásadně nelze uskutečnit popisované měření přímo na kmitočtech oscilátoru, který vytváří nosnou. Přímé pronikání nosného kmitočtu je daleko intenzívnejší než jeho potlačení ve vyváženém modulátoru, takže se přijímač zahlcuje. Snad se tyto předpoklady zdají být nesprávné. Musíme si však uvědomit, že rezonanční obvod oscilátoru a všechny vodiče v jeho okolí vytvářejí nežádoucí využávací systém a v jejich blízkosti je elektromagneticke pole vyšší než přímo zavedená úroveň potlačených signálů. Vstupní obvody směšovače však nemají charakter vstupních obvodů superhetu (není zde anténa a vhodné impedanční přizpůsobení) a kromě toho směšovací strmost při malých signálech rychle klesá. Proto při správném nastavení pracovního bodu směšovací elektronky zůstává poměr potlačení zachován.

Ve spojení s příjemem postranních pásem vystupuje do popředí další otázka – signál SSB nelze zpracovat v násobiči kmitočtu a stejně tak nemůžeme využívat jeho harmonické ani při měření pomocí přijímače. Důvody jsou velmi prosté a vysvětlíme je na příkladu. Potlačený nosný kmitočet 3600 kHz je modulován tónem 2 kHz. Vzniknou dvě postranní pásmata, tvořená v tomto jednoduchém příkladu kmitočty 3600 ± 2 kHz, tj. 3598 kHz a 3602 kHz. Zjistíme, že druhé harmonické všech těchto kmitočtů, to je 7196 kHz, 7200 kHz a 7604 kHz, mají již jiný vzájemný odstup, harmonické kmitočty postranních pásem jsou vzdáleny od harmonické nosného kmitočtu 4 kHz a to je také tón, který bychom po demodulaci slyšeli. Dochází tedy k silnému zkreslení původního průběhu modulačního napětí. Změnila se poloha postranních pásem, takže již neodpovídá původnímu modulačnímu spektru. Stejný závěr pochopitelně platí i pro ostatní druhy amplitudové modulace.

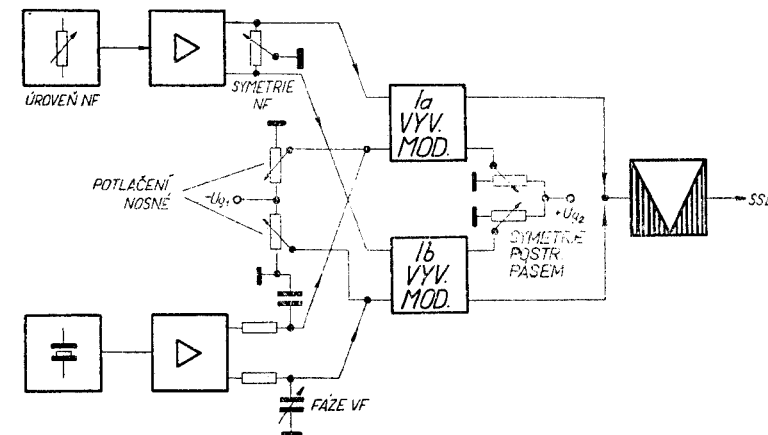
Postup měření pomocí selektivního superhetu se značně liší od obvyklých metod. Měříme napětí jediného kmitočtu celého spektra. Na vstup nf části generátoru postranních pásem přivedeme nf napětí s kmitočtem 2 kHz. Jeho amplitudu nastavíme

tak, abychom na přijímači při minimálním vf zesílení odečetli plnou výchylku S-metu na kmitočtu, který odpovídá zvolenému postrannímu pásmu. Potom vyladíme kmitočet nosné a zvětšíme zesílení přijímače tak, abychom opět dosáhli plné výchylky S-metu. Vyvažovací prvky upravíme potlačení nosné na co nejmenší výchylku S-metu při postupném zvyšování citlivosti přijímače. Po potlačení nosné přeladíme přijímač na kmitočet nežádoucího postranního pásmu a opět nastavujeme vyvažovací prvky na minimální výchylku S-metu při největší vf citlivosti přijímače. Jednotlivé případy nastavení budičů při měření pomocí přijímače jsou naznačeny na obr. III-15b, d, f, h.

III-10. VYVAŽOVÁNÍ MODULÁTORŮ SSB S PÁSMOVÝMI PROPUSTMI

Postup při seřizování budičů pro telefonii s jedním postranním pásmem má dvě samostatné části, které jsou navzájem nezávislé: vyvážení modulátoru a nastavení selektivních pásmových propustí. Některé zásady byly již vysvětleny v předchozích kapitolách, nyní se pokusíme shrnout celý postup v několika bodů, které mohou být vodítkem při využívání přístrojů odlišné konstrukce (obr. III-16).

Známe celou řadu zapojení vyvážených modulátorů, které obvykle potlačují nosný kmitočet a modulační napětí. Mohou být



III-16. Vyvažovací body generátoru postranních pásem – filtrační metoda

tvořeny dvěma elektronickými systémy s různým počtem elektrod. Základním vyvažovacím prvkem je **POTLAČENÍ NOSNÉ**. Jestliže přivádíme napětí nosné nesymetricky na řídící mřížky nebo katody modulátoru, je tvořen jedním členem, obvykle potenciometrem. Dva členy se vyskytují v případě, že napětí nosné je přiváděno symetricky. Změnou nastavení těchto prvků docílíme shodnosti amplitud nosné v anodových větvích obou polovin modulátoru, které jsou zapojeny tak, aby se napětí nosné odečítalo. To předpokládá fázový posun přesně 180° úhlových stupňů, který můžeme ovlivnit jen ve vstupní části (obvykle v obvodu řídících mřížek) modulátoru.

Z toho vyplývá, že vyvážené modulátory buzené nesymetrickým napětím (paralelně) nepotlačí nosný kmitočet více než o 30 dB. Symetrické připojení vf napětí umožnuje zařazení fázovacích členů, kterými vyrovnáme fázový posun na potřebnou hodnotu. Vyvažovací prvek označujeme **ŘÍZENÍ VF FÁZE** a je obvykle tvořen proměnným kondenzátorem.

Shoda amplitud postranních pásem je další záležitostí, která sice nemusí mít podstatný význam u filtračního typu budiče, avšak je výhodné, můžeme-li i zde v případě potřeby provést korekci. Opět je zřejmé, že nemůžeme ovlivnit symetrii postranních pásem u těch zapojení modulátorů, kde je nízkofrekvenční napětí přiváděno nesouměrně. Prvním předpokladem symetrie je shodnost amplitud modulačního napětí. Řídíme ji ve výstupním obvodu nf invertoru nebo následujícího souměrného zesilovače. Vyvažovací prvek je tvořen potenciometrem, kterým nastavíme shodnou amplitudu obou nf napětí (vzájemně fázově posunutých o 180° stupňů) vůči katodám obou částí modulátoru. Označuje se **ŘÍZENÍ SOUMĚRNOSTI NF**. Souměrnost postranních pásem ovlivňuje i shodnost modulačních charakteristik obou polovin modulátoru, kterou zajišťujeme jednak výběrem elektronek, jednak dodatečnou korekcí polohy pracovního bodu změnou předpětí modulovaných mřížek. Korekční prvek označujeme **ŘÍZENÍ SOUMĚRNOSTI POSTRANNÍCH PÁSEM**.

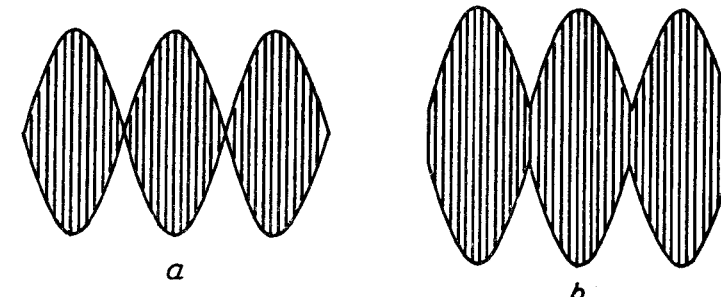
Všechny uvedené vyvažovací a korekční členy mohou být umístěny buď na předním panelu a ovládány při vyvažování např. šroubovákem, nebo je vestavíme do zadní a vnitřní části kostry budiče. Provozní ovládací prvky, spadající do oblasti modulátoru, jsou **ŘÍZENÍ ÚROVNĚ NF**, kterým zároveň plynule měníme amplitudu výstupního signálu SSB a prvek **INJEKCE NOSNÉ** pro zpětné zavedení nosného kmitočtu např. při telegrafním provozu.

Postup při vyvažování modulátoru SSB:

1. **ÚROVĚN NF** nastavíme na minimum;

2. Potenciometrem **POTLAČENÍ NOSNÉ** vyvážíme obě větve modulátoru na minimální napětí nosného kmitočtu ve výstupním obvodu modulátoru. Kontrolujeme selektivním vf voltmetretem nebo přijímačem. Vyhoví i elektronkový voltmetr s detekční sondou;

3. **Řízením VF FÁZE** se snažíme zvětšit potlačení nosného kmitočtu. Střídavě vyvažujeme podle bodu 2. a 3.;



III-17. Kontrola nastavení budiče SSB osciloskopem: a - správné nastavení, b - pronikající nosný kmitočet nebo vazba vf napěti se zesilovačem osciloskopu

4. Na vstup nf zesilovače přivedeme nf napětí s kmitočtem 1 až 2 kHz a na výstup modulátoru připojíme osciloskop. **ÚROVĚN NF** nastavíme tak, abychom získali potřebnou velikost obrazu na stínítku obrazovky. **Řízením SYMETRIE NF** nebo **SYMETRIE POSTRANNÍCH PÁSEM** upravíme modulační charakteristiku tak, abychom získali tvar křivky podle obr. III-17a;

5. Celý postup opakujeme při jiném modulačním kmitočtu v mezičích 300 Hz až 2,2 kHz, přičemž se snažíme dosáhnout shodných výsledků pro všechny nf kmitočty. Při nesymetrickém připojení vf napětí k modulačnímu obvodu (obr. I-13a, c, d, I-15a, b, I-16d) odpadá bod 3.

Vyvažování pásmových propustí s krystaly je poněkud složitější, protože obsahuje celou řadu vzájemně závislých prvků. U můstkových zapojení se čtyřmi krystaly je nastavení snadné, omezíme se pouze na doladění pásmových propustí na středním kmitočtu dvojic krystalů. Nesouměrná zapojení krystalů vyžadují větší péči. Typické provedení propusti se čtyřmi krystaly je uvedeno na obr. III-18a. Odpovídající křivka propustnosti (III-18b) je doplněna čísly postupu vyvažování:

6. Odpojíme elektronku v f oscilátoru (obvykle je řízen krystalem) a místo ní připojíme v f signální generátor;

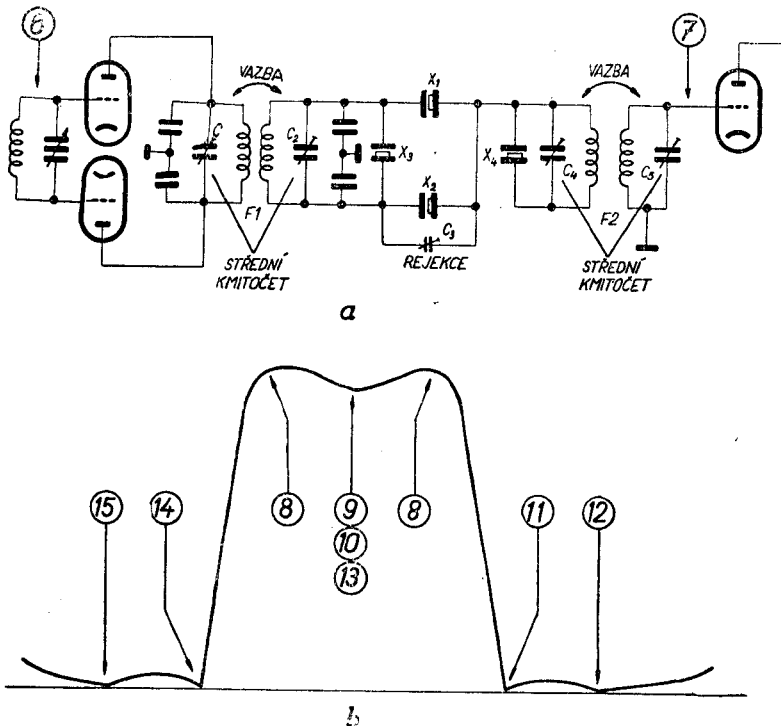
7. Elektronkový v f voltmetr s detekční sondou připojíme na výstup propusti s krystaly;

8. Kmitočet v f signálního generátoru měníme v okolí sériové rezonance krystalů. Zjistíme dvě výrazná maxima výstupního napětí. Jejich kmitočty si poznamenáme, jsou určeny sériovou rezonancí krystalů X 1, X 2;

9. V f signální generátor nalaďme na střední hodnotu kmitočtu rezonance krystalů X 1, X 2;

10. Trimry C_1 , C_2 , C_4 , C_5 doladíme obě pásmové propusti na maximum výstupního napětí;

11. Zvolna zvyšujeme kmitočet v f generátoru, až se objeví výrazné minimum výstupního napětí. Kmitočet si poznamenáme, je určen sériovou rezonancí krystalu X 3;



III-18. a - vyvažovací body pásmové propusti s krystaly, b - postup vyvažování

12. Zvýšíme kmitočet o 500 Hz a trimrem C_8 nastavíme minimum výstupního napětí (nemusí být nulové);

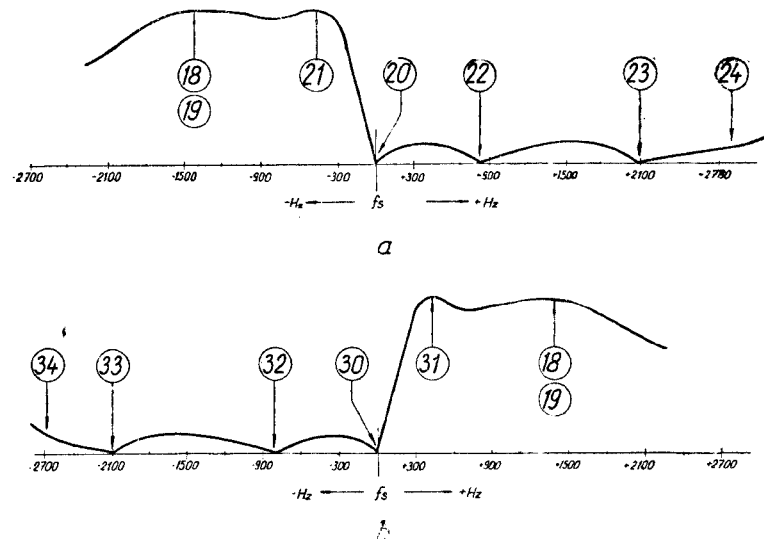
13. Nastavíme opět střední kmitočet (podle bodu 9);

14. Snižujeme zvolna kmitočet v f generátoru, až zjistíme druhé minimum, určené sériovou rezonancí krystalu X 4;

15. Při dalším snížení kmitočtu najdeme další minimum výstupního napětí, které má být položeno souměrně k minimu, zjištěnému v bodě 12.

Uvedeného postupu použijeme tehdy, jestliže jsou kmitočty krystalů rozloženy souměrně: $X_2 = X_1 + \Delta f$, $X_3 = X_2 + \Delta f$, $X_4 = X_1 - \Delta f$. Δf může být 1,5 až 2 kHz. Kmitočet oscilátoru musí ležet v rozmezí kmitočtů X 4 a X 1 nebo X 2 a X 3. Při kaskádném zapojení dvou shodných propustí s krystaly postupujeme tak, že nejprve odpojíme druhou propustí a využíváme podle popisu vstupní část, potom připojíme druhou část, v f voltmetr přepojíme na její výstup a shodným způsobem využíváme zbývající členy.

Některé propusti mohou být zapojeny tak, že je vypuštěn vazební krystal X 2. V tom případě je kmitočtové rozdělení jiné: $X_3 = X_1 + \Delta f$, $X_4 = X_1 + 2\Delta f$. Δf je opět 1,5 až 2 kHz. Při vyvažování volíme tento postup (obr. III-19a):



III-19. Postup při vyvažování nesymetrické pásmové propusti s krystaly:
a - potlačení horního postranního pásma, b - potlačení dolního postranního pásma

16. Odpojíme elektronku oscilátoru a místo ní připojíme signální generátor;

17. Elektronkový vf voltmetr připojíme na výstup propusti s krystaly;

18. Zvolna měníme kmitočet vf generátoru, až zjistíme maximum výstupního napětí. Odpovídá sériové rezonanci krystalu X 1;

19. Trimry C_1 , C_2 , C_4 a C_5 vyladíme obě propusti do rezonance na tomto kmitočtu;

20. Zvolna zvyšujeme kmitočet, až najdeme bod nulového výstupního napětí. Odpovídá sériové rezonanci krystalu X 3;

21. Snížíme kmitočet asi o 500 Hz a trimrem C_4 nastavíme maximum výstupního napětí;

22. Nastavíme kmitočet asi o 1200 Hz vyšší, než je nulový bod sériové rezonance krystalu X 3, a trimrem C_3 nastavíme minimum napětí na výstupu;

23. Zvyšujeme zvolna kmitočet až do dalšího nulového bodu, který je určen sériovou rezonancí krystalu X 4;

24. Nastavíme kmitočet o 500 Hz vyšší a trimrem C_2 mírně rozladíme sekundár propusti F 1, takže dosáhneme mírného snížení bočního hrbu křivky propustnosti;

25. Opakujeme postup počínaje bodem 21, abychom kompenzovali rozladění.

Takto nastavená křivka propustnosti nedovoluje volbu postranního pásmá změnou kmitočtu modulovaného oscilátoru, používá se metody naznačené na obr. III-08. Kmitočet modulovaného oscilátoru musí ležet buď přímo v bodu 20, nebo v jeho bezprostřední blízkosti směrem k nižším kmitočtům. Potlačeno je horní postranní pásmo. Při potlačení dolního postranního pásmá jsou rozdíly rezonančních kmitočtů krystalů obrácené: $X_3 = X_1 - \Delta f$, $X_4 = X_1 - 2 \Delta f$. Kmitočet oscilátoru musí ležet v blízkém okolí kmitočtu X 3. Postup vyvažování je shodný až k bodu 19, potom pokračuje podle obr. III-19b takto:

30. Zvolna snižujeme kmitočet, až najdeme bod nulového výstupního napětí. Odpovídá sériové rezonanci krystalu X 3;

31. Zvýšíme kmitočet asi o 500 Hz a trimrem C_4 nastavíme maximum výstupního napětí;

32. Nastavíme kmitočet asi o 1200 Hz nižší, než je nulový bod sériové rezonance krystalu X 3 a trimrem C_3 nastavíme minimum výstupního napětí;

33. Snižujeme zvolna kmitočet až do dalšího nulového bodu, který je určen sériovou rezonancí krystalu X 4;

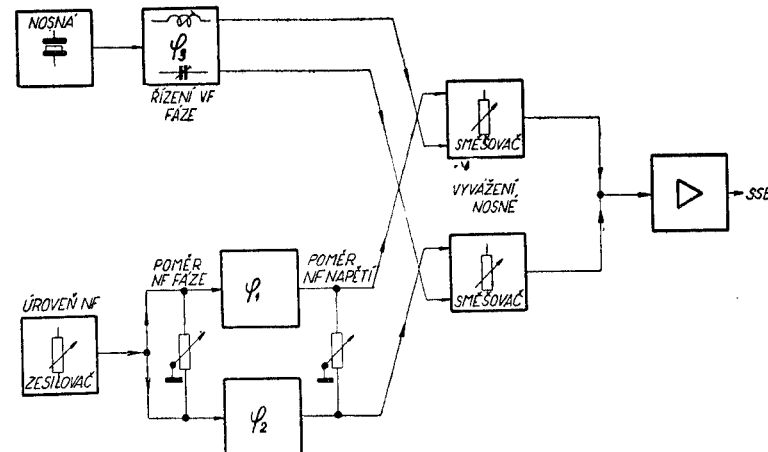
34. Nastavíme kmitočet o 500 Hz nižší a trimrem C_2 mírně rozladíme sekundár propusti F 1, takže docílíme mírného snížení bočního hrbu křivky propustnosti;

35. Opakujeme postup počínaje bodem 31, abychom kompenzovali rozladění.

III-11. VYVAŽOVÁNÍ FÁZOVACÍCH GENERÁTORŮ SSB

Pro zobecnění postupu vyvažování fázovacích členů budiče pro telefonii s jedním postranním pásmem definujeme nejprve základní (společné) ovládací a vyvažovací prvky podle skupinového schématu na obr. III-20. Stejně jako u filtrační metody platí i zde, že potlačení nosného kmitočtu je záležitost odlišná od potlačení postranního pásmá.

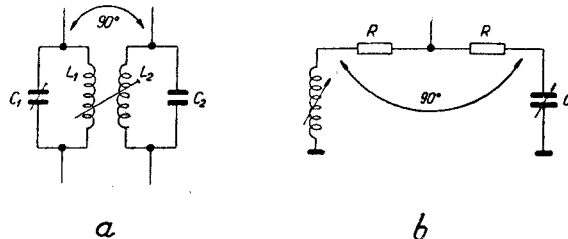
Ve fázovacím budiči jsou vždy dva vyvažené modulátory, tvořené dvěma páry diod nebo elektronek. Každý z obou modulátorů má vyvažovací prvek, označený VYVAŽENÍ NOSNÉ, tvořený obvykle potenciometrem v mřížkovém nebo katodovém okruhu modulátoru. Potlačení nebo naopak zavedení nosného kmitočtu lze těmito prvky plynule řídit nezávisle na stupni potlačení postranního pásmá. U jakostních zařízení bývá ve-



III-20. Vyvažovací body fázovacího generátoru postranních pásem

stavěn v f voltmetr, kterým sledujeme potlačení nosné průběžně při provozu vysílače, kdy bez modulace nesmí indikované vf napětí přesáhnout určitou minimální hodnotu. Oba prvky mohou být umístěny na přední desce budiče ve formě zapuštěných os potenciometrů.

Vysokofrekvenční fázovací členy vytvářejí dvě řídící vf napětí pro vyvážené modulátory. Tato napětí musí být přibližně shodná amplitudově, avšak fázově rozdílná přesně o 90 úhlových stupňů. Používáme dvou základních typů fázovacích



III-21. Fázovací články: a - transformační, b - s oddělenými členy RC a RL

členů: transformační zapojení (obr. III-21a) nastavujeme tak, že primární obvod rezonuje na kmitočtu vf oscilátoru, sekundár je mírně rozladěn a určuje fázový posun. Kondenzátor C_2 může být opět ovládán z přední desky budiče a označujeme ho ŘÍZENÍ VF FÁZE. Zapojení s oddělenými fázovacími členy RL a RC (obr. III-21b) dovoluje řízení fáze oběma členy. Obvykle je indukčnost nastavena pevně jako referenční hodnota, kapacitní člen je proměnný a jako v předchozím případě tvoří prvek ŘÍZENÍ VF FÁZE, kterým nastavujeme přesný fázový posun 90 stupňů.

Nastavení poměru amplitud vf napětí je v obou případech poměrně obtížné a má vždy vliv i na fázový posun. U transformačního členu měníme poměr amplitud změnou vazby primáru a sekundáru. U druhého typu je nutno měnit poměr velikosti sériových odporů, které musí být bezindukční. Po každé změně je třeba znova kontrolovat fázový posun. Poměr amplitud se nastaví jednou provždy a při korekci vyvážení není ovládán ani měněn. Má jen nepatrný vliv na amplitudu příslušných postranních pásem, kterou snáze měníme jinými prvky. Úplného potlačení nosného kmitočtu dosáhneme i při značné nerovnováze amplitud obou vf napětí, která však nemá přesahovat 3 dB.

Poměr amplitud obou dvojic postranních pásem, která vznikají samostatně ve dvou vyvážených modulátorech, je obvykle řízen poměrem amplitud nf napětí, přiváděných do obvodu vyvážených modulátorů. Odpovídající vyvažovací prvek, označený POMĚR NF NAPĚTI je obvykle tvořen potenciometrem mezi výstupními větvemi nf zesilovačů, které budí vyvážené modulátory. Může být opět vyveden jako vyvažovací bod na přední desku budiče. Při shodné amplitudě obou vf napětí je i velikost obou nf napětí shodná.

Ústředním problémem, jehož řešení velmi podstatně ovlivňuje možnost potlačení nežádaného postranního pásma, je nízkofrekvenční fázovací obvod. Je tvořen dvěma fázovacími členy, jejichž fázový posun je v širokém pásmu tónových kmitočtů rozdílný právě o 90 úhlových stupňů. Tolerance odporů a kondenzátorů, kterými jsou tvořeny, nemá přesahovat 1 %. Pokud jde o zapojení těchto členů, nejsou příliš rozdílná. Více se liší jmenovitými hodnotami odporů a kapacit. Vstupní napětí je souměrné (fázový rozdíl 180 stupňů), poměr amplitud na vstupu 1 : 1 nebo 2 : 7 podle typu článku je buď pevně nastaven odporovým děličem, nebo je korigován ještě potenciometrem. Tento korekční prvek je označen POMĚR NF FÁZE.

Ovládací prvky, jejichž nastavení se během provozu mění (členy provozního charakteru), jsou obvykle tři, nepočítáme-li ladění a speciální přepínače měřicích přístrojů a automatiky: ŘÍZENÍ ÚROVNÉ NF je potenciometr, kterým nastavujeme velikost nízkofrekvenčního napětí na vstupu nf zesilovače a tím i výstupní napětí postranního pásma. INJEKCE NOSNÉ je vypínač, kterým blokujeme polovinu každého vyváženého modulátoru, takže nedojde k potlačení nosného kmitočtu a můžeme pracovat telegrafii typu A 1 nebo telefonii typu A 3 s úplným signálem. USB - LSB jsou polohy přepínače postranních pásem (HORNÍ - DOLNÍ), kterým obracíme fázi nf napětí, přiváděného k jednomu z obou vyvážených modulátorů. Tento přepínač bývá někdy spojován s vypínačem v obvodu injekce nosné ve vícepolohový přepínač druhu provozu.

U budiče, kde je pevně nastaven poměr nf fáze, volíme tento postup:

1. PŘEPÍNAČ POSTRANNÍCH PÁSEM je v poloze HORNÍ postranní pásmo (USB);
2. ŘÍZENÍ ÚROVNÉ NF nastavíme na minimum;
3. Oběma prvky VYVÁŽENÍ NOSNÉ dokonale potlačíme nosnou. Na výstupu budiče kontrolujeme napětí vf voltmetrem nebo osciloskopem;

4. Do mikrofonních zdírek přivedeme nf napětí s kmitočtem 2 kHz. ŘÍZENÍ ÚROVNĚ NF nastavíme na maximum a amplitudu nf napětí seřídíme ve výstupu nf generátoru tak, aby napětí horního postranního pásma na výstupu budiče bylo co nejmenší. (Asi 1 V přímo na výstupu vyvážených modulátorů, nebo 10 až 15 V za zesilovačem.) Jsou-li připojeny i další zesilovače a směšovače, nastavíme ÚROVNĚ NF tak, aby byly elektronky využity nejvíce na polovinu jmenovitého výkonu;

5. Střídavým nastavováním vyvažovacích prvků ŘÍZENÍ VF FÁZE A FÍZENÍ POMĚRU NF NAPĚTI potlačíme co nejvíce dolní postranní pásmo. Kontrolujeme znovu VYVÁŽENÍ NOSNÉ (bod 3);

6. PŘEPÍNAČ POSTRANNÝCH PÁSEM přepneme do polohy DOLNÍ postranní pásmo (LSB) a opakujeme postup podle bodů 2, 3, 4 a 5;

7. Změníme kmitočet nf generátoru na 1,2 kHz a kontrolujeme nastavení v bodech 4, 5 a 6, které se nemá příliš měnit. Někdy se stává, že potlačení nežádoucího pásmá je různé v obou polohách přepínače. V takovém případě musíme při konečné kontrole najít vyhovující nastavení prvku ŘÍZENÍ VF FÁZE tak, aby potlačení bylo dostatečné v obou polohách přepínače.

Máme-li možnost řídit POMĚR NF FÁZE, pak tento prvek nastavíme do střední polohy, vyvážíme ostatní členy shodně s body 1 až 7 a pokračujeme:

8. Zkusmo změníme POMĚR NF FÁZE tak, abychom dosáhli co nejvyššího potlačení nežádoucího pásmá v obou polohách přepínače postranných pásem, avšak bez nutnosti změny ŘÍZENÍ VF FÁZE. Postupujeme velmi opatrně, protože nastavení je kritické.

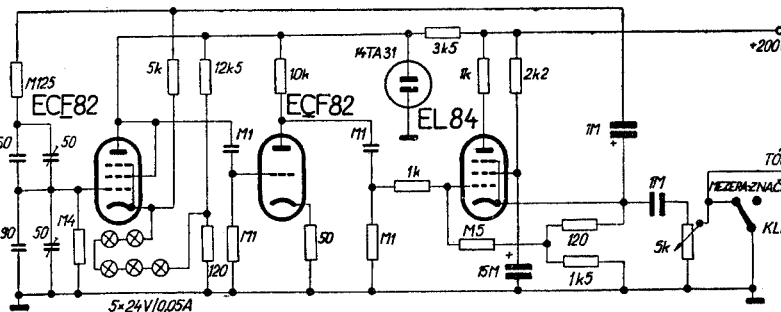
Fázovací generátory postranných pásem vykazují při správném nastavení velmi dobré vlastnosti. Potlačení nežádoucího pásmá je na zkušebním kmitočtu (obvykle 1 kHz) lepší než 50 dB, je však podstatně ovlivňováno fázovou charakteristikou nf fázovacích členů. Podmínkou dosažení alespoň 40 dB potlačení je minimální harmonické i fázové zkreslení zesilovačů a vazebních členů za fázovacími články. Veškeré fázové posuny v obou nízkofrekvenčních větvích vyvážených modulátorů musí být co nejmenší a shodné, aby se vzájemně kompenzovaly. Dále je třeba zabránit změnám kapacit ve vf obvodech obou modulátorů (např. při volbě postranního pásmá) a změnám jmenovitých hodnot všech součástí vlivem stárnutí materiálu, změn teploty a vlhkosti.

III-12. TELEGRAF NÍ PROVOZ S BUDIČEM SSB

Potlačení nosného kmitočtu bez opětné možnosti jeho zavedení zdánlivě vylučuje možnost telegrafního provozu. Vráťme-li se však k rozboru podmínek, za kterých se uskutečňuje přenos pomocí jednoho postranního pásmá, zjistíme, že můžeme získat telegrafní signál klíčováním sinusového modulačního napětí.

Zdůraznění podmínky čisté sinusového napětí není náhodné. Jakékoli zkreslení nízkofrekvenčního napětí způsobuje vznik vyšších harmonických, které se projeví i v postranném pásmu. Povolovací podmínky však stanoví, že vysílání musí být prosto všech parazitních složek. Zdánlivá jednoduchost uvedené metody má tedy i své nepříznivé stránky podobně, jako všechna zavedená zjednodušení v zapojení vysílače. Proto je správné kontrolovat výstupní signál budiče osciloskopem. Zkreslení a nelinearity se projeví zvlněním okrajů obrazu stejně jako při jednotónové zkoušce.

Praktické provedení je zakresleno na obr. III-22. Tónový generátor pracuje v zapojení se silnou zápornou zpětnou vazbou, která snižuje procento zkreslení. Po zapnutí kmitávání oscilátor trvale a budí katodový sledovač, který dovoluje tzv. negativní klíčování zkratem. Odpadá pronikání signálu v mezerách mezi značkami a podstatně jsou omezeny i klíčovací zákmity. Kmitočet je volen tak, aby ležel na hranici postranního pásmá, takže pásmová propust odřízne harmonické složky nf klíčovaného signálu. Podle typu budiče vyhovují kmitočty 1,5 až 2 kHz. Tuto hodnotu musíme také přičíst (nebo při LSB odečíst) ke jmenovitému kmitočtu potlačené nosné. Dochází



III-22. Klíčovaný tónový generátor se zkreslením pod 0,5 %

k differenci mezi cejchováním budiče a skutečně vysílaným kmitočtem (vysíláme postranní pásmo).

Druhou možností je opětné zavedení nosného kmitočtu. V nejjednodušších případech je prováděno tak, že porušíme symetrii vyváženého modulátoru do té míry, že nosný kmitočet proniká do výstupních zesilovačů. Klíčujeme obvykle první a třetí oscilátor, které jsou řízeny krystaly. Takovéto řešení je jen nouzové a nelze je doporučit. Potlačení nosného kmitočtu je choulostivá záležitost a musili bychom při každé změně druhu provozu znova vyvažovat budič. Poněkud vhodnější zapojení injekce nosné bylo naznačeno na obr. III-10. Výstupní napětí oscilátoru (pomocný nosný kmitočet) je potlačeno v symetrickém modulátoru (E 2). Část vý napětí přivádíme přes oddělovací RC člen na mřížku prvního směšovače. Potenciometrem R_2 řídíme amplitudu injekce nosného kmitočtu. Nevýhody uvedeného zapojení jsou zřejmé: při změně polohy běžece potenciometru R_2 se mění i podíl kapacity C_v na rezonanci sekundáru pásmové propusti F 3, který je rozložován. Současně je ovlivněna i činnost vyváženého prvního směšovače do té míry, že mohou vzniknout parazitní směšovací produkty, které již nestačí následující stupně potlačit.

Technicky správnější je zapojení na obr. III-11, kde je injekce nosné zaváděna do obvodu řídící mřížky zesilovače postranního pásmá. Elektronka pracuje jako aditivní směšovač i v tom případě, kdy zesiluje napětí postranního pásmá a potřebujeme zavést nosný kmitočet, což by v obou předchozích případech způsobovalo řadu potíží. Zařazení katodového sledovače umožňuje i zmenšení parazitních kapacit v obvodu řídící mřížky zesilovače. Potenciometr R_2 , kterým řídíme amplitudu nosné, je spojen s vypínačem anodového napětí sledovače. Zabráníme tím nežádoucímu pronikání nosné při provozu SSB.

Klíčujeme opět první a obvykle i třetí oscilátor. Injekci nosné zavádíme vždy do obvodů té elektronky, která následuje bezprostředně za pásmovou propustí s krystaly. Podmínkou je, aby napětí nosné bylo převedeno do následujících obvodů zcela nezávisle na funkci vyváženého modulátoru a pokud možno neovlivněno selektivnosti pásmové propusti s krystaly. Bylo by nesprávné zavádět nosnou do obvodu druhé nebo třetí mřížky zesilovače na obr. III-11. Při telegrafním provozu nepřichází na její řídící mřížku žádné napětí, a proto by nemohlo dojít k předpokládané činnosti multiplikativního směšovače. Zesilovací činitel druhé a třetí mřížky je obvykle tak malý,

že by pro vybuzení následujících stupňů bylo třeba zavádět neúměrně velkou amplitudu vý nosného napěti.

Fázovací generátory postranních pásem umožňují kromě popsané přímé injekce nosného kmitočtu ještě další způsob zavedení nosné výlučně pro telegrafní provoz. Řešení je naznačeno na obr. III-14. Přepínač $P 1c$, zařazený v katodovém okruhu elektronky E 8b vyváženého modulátoru, přeruší při přepnutí do polohy CW anodový proud tohoto systému, takže napětí nosné je zesilováno systémem E 8A a prochází propustí F 1 na řídící mřížku elektronky E 10 a dále do výstupních obvodů budiče. Současně je kontakty $P 1a$, $P 1b$ a $P 1c$ zajištěno odpojení nízkofrekvenčního napěti, které by mohlo způsobit nežádoucí dodatečnou modulaci. Klíčujeme opět první nebo třetí oscilátor.

Poměrně jednodušší řešení nabízí stejný typ budiče při použití pentod nebo heptod v obvodech vyvážených modulátorů. Zavedením záporného předpěti na třetí mřížku některého systému potlačíme anodový proud, zrušíme symetrii zapojení a tím i potlačení nosného kmitočtu.

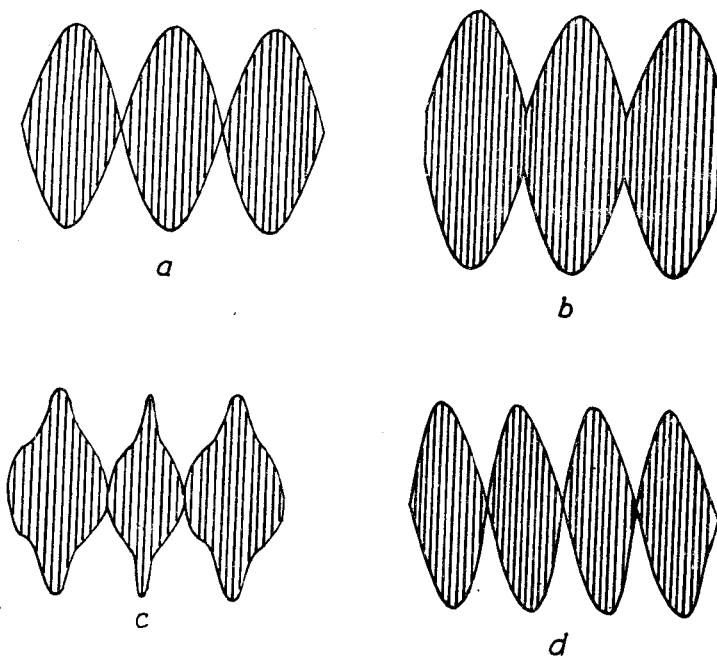
III-13. VYTVAŘENÍ SIGNÁLU PRO DVOUTOVOU ZKOUŠKU

Všechny zesilovače v budiči i výkonové stupně vysílače musí pracovat s malým zkreslením. O jejich seřizování pojednávají další odstavce. Zkušební napětí je však vytvářeno již v obvodech budiče, takže jeho zapojení musíme vhodným způsobem upravit. Název zkoušky naznačuje, že je třeba získat dva čisté sinusové průběhy v oboru zesilovaných kmitočtů. Jednou cestou je připojení dvou tónů na vstup nízkofrekvenčního zesilovače, které ve vyváženém modulátoru vytvoří dva kmitočty postranního pásmá. Obě nf napětí nemají být v harmonickém vztahu, to znamená, že vyšší kmitočet nesmí být celistvým násobkem nižšího kmitočtu. Obvyklé hodnoty jsou 800 Hz a 2 kHz. U generátorů filtračního typu musí oba kmitočty vzniklého postranního pásmá ležet v pásmu propustnosti filtru. Další podmínkou je přesná shodnost amplitud a malé zkreslení obou průběhů a jejich vzájemná nezávislost.

Oblíbenou metodou je modulace jedním tónem při současném zavedení injekce nosného kmitočtu. Modulací vznikne jeden kmitočet postranního pásmá a připojením nosného kmitočtu docílíme stejněho výsledku jako při modulaci dvěma tóny.

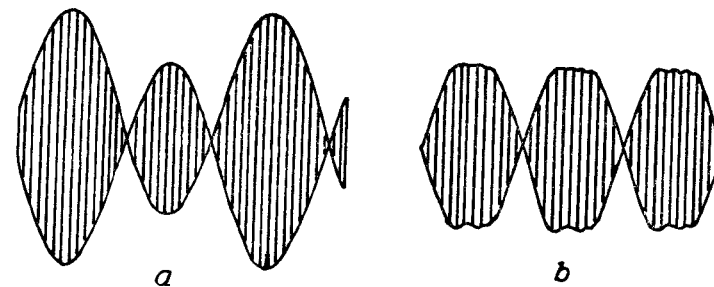
Zkušební kmitočet můžeme volit v mezích 800 Hz až 2,5 kHz. Postupujeme tak, že na vstup nf zesilovače připojíme nf napětí, potenciometrem ÚROVEŇ NF (na obr. III-10 a III-11 je označen R_1) nastavíme střední hloubku modulace a regulátorem R_2 INJEKCE NOSNÉ zavedeme takové napětí nosné, abychom na výstupu budiče při kontrole oscilografem získali shodné amplitudy obou vzniklých kmitočtů.

Obraz musí být souměrný, s ostrými vrcholy a nulovými průsečíky (obr. III-23a). Nesprávné nastavení úrovně nosné se projeví tím, že na sebe nenavazuje horní a dolní část průběhu (obr. III-23b). Přebuzení vf zesilovače nebo zkreslený průběh zkušebního tónu způsobuje značné nonlinearity tvaru modulační obálky (obr. III-23c). Pronikání nežádoucího postranného pásma nebo vazbu vf napětí s horizontálním zesilovačem oscilografu poznáme podle zřetelného sklonu křivky doleva



III-23. Napětí pro dvoutónovou zkoušku, vytvářené injekcí nosného kmitočtu a modulací jedním tónem: a - správný tvar, b - nesprávné nastavení injekce nosné, c - zkreslení nf tónu v modulačním zesilovači, d - pronikání nežádoucího pásmá

nebo doprava (obr. III-23d). Časovou základnu oscilografu nastavujeme na čtvrtinu až osminu kmitočtu zkušebního tónu. Ke zkreslení zkušebního napětí může tedy docházet přímo v obvodech generátoru postranných pásem většinou v důsledku nesprávného nastavení prvků ÚROVEŇ NF a INJEKCE NOSNÉ. Je proto správné kontrolovat tvar křivky ještě před zahájením měření na zesilovači výkonu.



III-24. Napětí pro dvoutónovou zkoušku, vytvářené postrannými pásem fázovacím generátorem: a - pronikání nosného kmitočtu, b - příliš velká amplituda napětí postranného pásma, průběh je zkreslen ve výstupních obvodech

Fázovací generátory postranných pásem dovolují vytvoření zkušebního napětí pomocí dvou postranných pásem. Stačí vyjmout elektronky jednoho vyváženého modulátoru (na obr. III-14 elektronka E 8). V uvedeném schématu je naznačeno výhodnější řešení: přepínač druhu provozu odpojí vstup nízko-frekvenčního zesilovače (elektronka E 4) v poloze DSB, takže nedojde k potlačení postranního pásma. Signál je naprostě souměrný za předpokladu dokonalého potlačení nosné. Pronikání nosného kmitočtu prozradí opět oscilograf (obr. III-24a). Amplituda vrcholů se silně mění. Rovněž v tomto případě přivedeme na vstup nf zesilovače (před fázovacím členem) jediné napětí sinusového průběhu. Příliš velká amplituda napětí postranných pásem může způsobit zkreslení průběhu již v modulátoru nebo v oddělovacím zesilovači (obr. III-24b).

Vytváření dvoutónového signálu pomocí injekce nosné není u fázovacích generátorů vhodné, nehledě na zbytečnou složitost takové metody. Fázové závislosti obou modulátorů jsou velmi komplikované a snadno vzniká nežádoucí spektrum kmitočtů. Bez nesnází lze naproti tomu použít modulace dvěma tóny jako

u filtračního typu generátoru, protože cesta vytváření postranního pásma musí zajistit lineární průběh i u dvou tónů. Navíc máme možnost sledovat případné intermodulační zkreslení nf zesilovačů a modulátorů.

C. Zesilovače výkonu

Posledním stupněm vysílače je zesilovač výkonu, který může mít různé vlastnosti podle druhu vysílače a způsobu provozu. Zesilovače třídy A používáme jen ve výstupních obvodech budičů, protože pracují s malou účinností, rádově kolem 30 %. Koncový stupeň vysílače vyžaduje elektronky s anodovou ztrátou 25 až 125 W podle povoleného příkonu, které pracují ve třídě AB, B nebo C s účinností 50 až 70 %.

V poslední době se ustálilo použití svazkových tetrod s katodou z thoriovánoho wolframu, které vynikají vysokým výkonovým zesílením a mají v celoskleněném provedení anodovou ztrátu až 1 kW, speciální elektronky ještě vyšší. Triody malého výkonu ztrácejí postupně svůj význam především proto, že vyžadují neutralizaci a velký budicí výkon.

Vzrůst dovolené anodové ztráty však vyžaduje dokonalejší odvádění tepla anody, a tak je nutno skleněné baňky elektronek uměle chladit ofukováním proudem vzduchu. Odvádění tepla sáláním je možné u tetrod typu REE 30 B a RE 65 A, elektronky většího výkonu uměle ochlazujeme ventilátorem, např. RE 125 A tak, aby teplota anody nepřesáhla 170 °C (asi 0,5 m³ vzduchu za minutu), RE 400 F vyžaduje již 1 m³/min. Důležité je, abychom chladný vzduch přiváděli pod elektronku, takže nejvíce chladíme chouloustivé zátavy nožiček. Vyplatí se to, protože již žhavící příkon dokáže způsobit nestejné rozpínání kovu a skla a tím praskliny v zátavu, - pochopitelně spojené se ztrátou vakua. Objímky uvedených elektronek jsou pro tento způsob chlazení vhodně upraveny tím, že mají děrovanou spodní a boční část.

Tetrodové zesilovače výkonu nepotřebují obvykle neutralizaci až do kmitočtu kolem 30 MHz. To však platí jen v tom případě, kdy nenastává přímá vazba mezi anodovým a mřížkovým laděným obvodem, a tehdy, je-li anodový obvod zesilovače zatízen jmenovitou impedancí při správném přizpůsobení

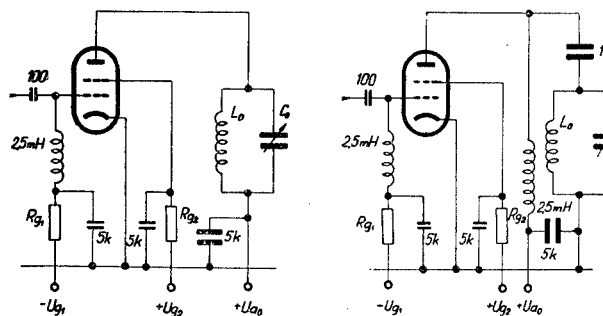
k anténě. Odlehčený zesilovač bez zátěže má veliké zesílení a kmitá již třeba na 2 MHz. Proto je výhodné upravit napájení stínící mřížky koncové tetrody tak, aby mohli při ladění regulovat její napětí a tím i výkon stupně. Zabráníme tím kmitání a přetížení anody při rozladění výstupních obvodů.

Některé tetrody (RE 125 A, RE 400 F) vykazují tak velikou závislost proudu stínící mřížky na odevzdávaném výkonu, že při přetížení elektronky nasazují záporný proud a naopak při odlehčení stínící proud stoupá a je překračována dovolená ztráta stínící mřížky. Oba jevy jsou doprovázeny červenáním anody elektronky. Abychom rozeznali pracovní stav zesilovače, zařazujeme i do stínící mřížky miliampérmetr, který citlivě indikuje vyladění anodového obvodu poměrně ostrým maximem.

Budicí výkony jsou u většiny tetrod poměrně malé. Velmi výhodné vlastnosti mají elektronky RE 65 A (budicí výkon nejvíše 5 W při výstupním výkonu 130 W), nebo RE 125 A (5 W při 250 W výstupního výkonu). Méně vhodná je RE 400 F, u které již musíme budit do kladné oblasti mřížkových napětí – ovšem 800 W výkonu chce své, včetně opatrnosti při práci s vysokým napětím.

III-14. ZESILOVAČE TŘÍDY C

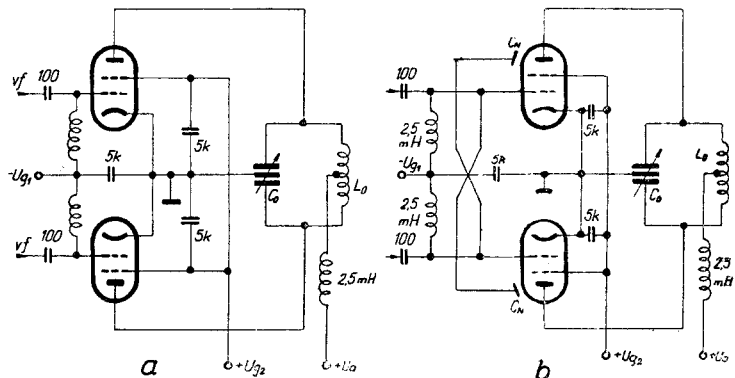
Charakteristickou vlastností zesilovačů třídy C je nulový příkon při odpojeném buzení. Pracovní bod elektronky leží mnohem dále než bod zániku anodového proudu. Elektronka zesiluje jen malou část poloviny kmitu budicího napětí a dochází



III-25. Zesilovač výkonu s tetrodou (a, b)

zí k velikému zkreslení. Takový zesilovač je vhodný jen pro telegrafní provoz nebo pro amplitudovou anodovou a mřížkovou modulaci. Důležitou veličinou je správná hodnota zatěžovací impedance, kterou udává výrobce elektronek pro určité hodnoty provozních napětí a proudu. S tím souvisí i volba poměru L/C kmitavého obvodu. Pro jednotlivé případy musíme určit tyto hodnoty výpočtem [L 14].

Na obr. III-25 je znázorněno typické zapojení zesilovače s tetrodou. Hodnoty napětí, indukčnosti a kapacity jsou udány v tabulkách. Předpětí nastavíme tak, aby bez buzení neprotékal anodový proud. Mřížkový odpor chrání řídící mřížku před přetížením a vytváří se na něm doplňkové automatické předpětí průtoku mřížkového proudu.



III-26. Souměrný vf zesilovač výkonu (a, b)

Tetrodový zesilovač může pracovat i v souměrném zapojení (obr. III-26). Výchozí hodnoty všech prvků jsou shodné pro obě poloviny zesilovače. Budicí napětí přivádíme souměrně na obě mřížky, vzájemně v protifázi. Neutralizaci pro nejvyšší kmitočty můžeme uskutečnit podle obr. III-26b. Neutralizační kapacitu tvoří malý úhelníček na keramickém sloupku v blízkosti anody protilehlé elektronky (kondenzátor C_N). Jeho vzdálenost nastavujeme velikost neutralizace.

Obě zapojení jsou velmi jednoduchá, je možno říci, že nejjednodušší ze všech stupňů vysílače, a pracují velmi spolehlivě. Změnu pásem uskutečňujeme výměnou nebo přepínáním indukčních cívek L_0 . Zdroje anodového napětí a napětí stínících mřížek jsou obvykle oddělené. Předpětí řídící mřížky

je buď pevné (obvykle stabilizováno), nebo proměnné v malých mezech. Regulaci umožní potenciometr, který však musíme dimenzovat tak, aby nebyl přetížen průtokem mřížkového proudu. Vazbu s anténou tvoří obvykle vazební smyčka u dolního („studeného“) konca cívky L_0 , připojená k anténnímu přizpůsobovacímu členu.

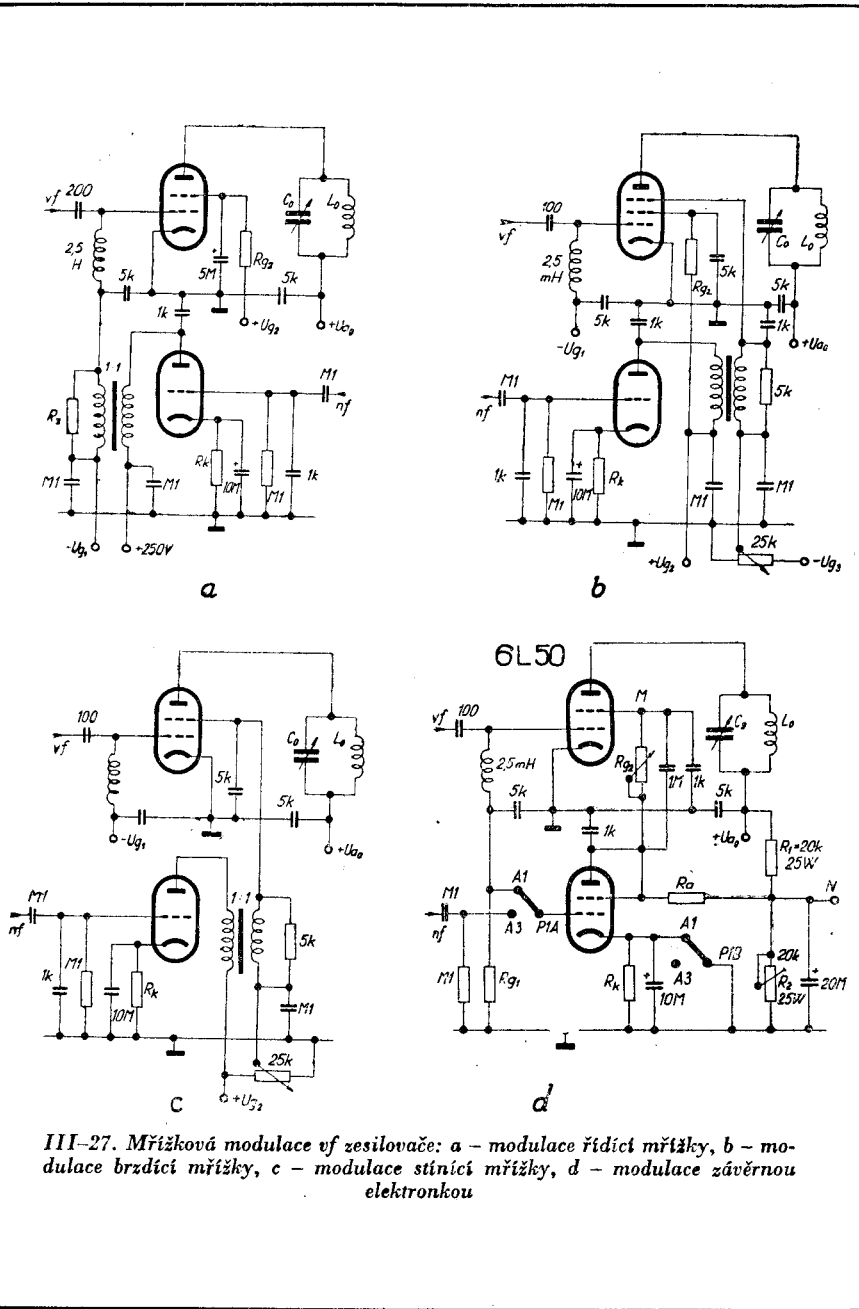
III-15. M O D U L O V A N É Z E S I L O V A Č E

Některá zapojení pro amplitudovou modulaci vf napětí byla uvedena v první kapitole, v části pojednávající o využitých modulátorech. Stejná zapojení je možno realizovat i ve výkonových stupňích vysílače, ovšem za cenu značné ztráty účinnosti. Pokud je v současné době uskutečňována přímá modulace koncových zesilovačů výkonu, jde především o telefonní provoz s úplným signálem. Protože nelze předpokládat, že budeme vždy stavět jen výkonné nebo složité vysílače, všimneme si v krátkosti i těch zapojení, která pracují s menší přenosovou účinností a hodi se proto pro malá, přenosná zařízení, např. pro spojovací služby.

U takových přístrojů převládá požadavek jednoduchosti a malé váhy. Dosah spojení je tím poněkud omezen, zvláště při špatných ionosférických podmínkách, ale připomeňme si, že nezáleží vždy jen na výkonu, ale převším na zručnosti obsluhy a antény. Dobrých výsledků lze dosáhnout např. při všech druzích mřížkové modulace, pokud je správně nastaven pracovní režim elektronek.

Modulace řídící mřížky může být použita u všech druhů elektronek v zesilovačích výkonu. Na obr. III-27a je znázorněno zapojení pro mřížkovou modulaci tetrody, které je beze změn použitelné i pro triody (odpadá obvod $Rg_2 + Ug_2$ stínící mřížky) a pentody (brzdící mřížka je spojena s katodou). Důležitá je hodnota svodového kondenzátoru stínící mřížky, který musí zajistit i nízkofrekvenční uzemnění této elektrody.

Nízkofrekvenční napětí je po zesílení přiváděno pomocí oddělovacího transformátoru do série se záporným předpětím řídící mřížky vf zesilovače. U souměrných zapojení zesilovačů výkonu přivádíme modulační napětí shodným způsobem ve stejné fázi na obě řídící mřížky vf stupně. Předpětí řídící mřížky je shodné jako při telegrafním provozu, avšak musíme úměrně zmenšit buzení. Nízkofrekvenční modulační napětí je superponováno na stejnosemerné předpětí řídící mřížky a posu-



III-27. Mřížková modulace vf zesilovače: a - modulace řídící mřížky, b - modulace brzdící mřížky, c - modulace stínící mřížky, d - modulace závěrnou elektronkou

nuje pracovní bod elektronky při kladných špičkách modulačního cyklu do třídy A, při záporných půlvlnách do třídy C. Tím se mění účinnost vf zasilovače a pochopitelně i jeho výstupní výkon v rytmu modulace.

S touto skutečností souvisí i velikost mřížkového proudu vf zasilovače a kolísá zatěžovací impedance modulátoru. Sekundár modulačního transformátoru proto musíme zatížit takovým odporem, aby změny způsobené mřížkovým proudem byly zanedbatelné. Postačí modulační výkon do 5 W a tomu odpovídající zatěžovací odpor R_L . Je výhodné i zavedení záporné zpětné vazby v nízkofrekvenčním zasilovači, která podstatně omezí zpětné vlivy modulačního obvodu. Kolísá i potřebný budící výkon vf zasilovače. V kladných špičkách modulace je podstatně vyšší a není-li pamatováno na dostatečnou rezervu, může dojít ke značnému zkreslení modulace. Proto i budící vf stupeň dimenzujeme na dvojnásobný až trojnásobný výkon proti telegrafnímu provozu a jeho výstup zatěžujeme bezindukčním odporem, jehož hodnota je třikrát menší než poměr amplitudy vf napětí a stejnosměrného proudu řídící mřížky modulovaného stupně. I zde tedy vystupují do popředí výhody tetrodových vf zasilovačů, které obvykle nepotřebují buzení do oblasti mřížkového proudu. Zdroj záporného mřížkového předpětí musí být pevný, s malým vnitřním odporem (nejlépe stabilizační výbojka), neboť podmínkou lineární modulace je neměnná velikost předpětí během celého modulačního cyklu.

Jednoduchost celého zařízení však způsobuje celou řadu potíží. Stejnosměrné anodové napětí je konstantní, změny výstupního výkonu dosahujeme jen změnou účinnosti. Jak známo, je při stoprocentní modulaci špičkový výkon čtyřnásobkem výkonu nosné vlny. Účinnost zasilovače nikdy nepřesáhne 80 % a prakticky se pohybuje kolem 70 %, což znamená, že účinnost zasilovače bez modulace musí být pouze 30 až 35 % a výkon nosné je pouze čtvrtinou výkonu, odevzdaného toutéž elektronkou při telegrafním provozu.

Mřížkovou modulaci nejsnáze nastavujeme pomocí kontrolního obrazu na osciloskopu. Zapojíme celý zasilovač, připojíme buzení a zátěž, vyladíme do rezonance anodový okruh a nastavíme vazbu na jmenovitý proud zasilovače. Potom zmenšujeme velikost buzení (např. zmenšováním napětí stínící mřížky předchozího stupně nebo zmenšením vazební kapacity) tak dlouho, až anodový proud modulovaného vf zasilovače klesne na polovinu původní hodnoty. Potom připojíme modulační napětí a modulujeme až do té míry, kdy na zkušebním obrazu

zjistíme zakřivení. Nedosahuje-li hloubka modulace 100 %, zvětšíme buzení, zmenšíme vazbu s anténou a znovu zvětšujeme velikost modulačního napětí. Tento postup opakujeme tak dlouho, až docílíme lineární modulaci alespoň do 90 %.

Bez osciloskopu musíme kontrolovat změny velikosti anodového proudu v závislosti na změně amplitudy modulačního napětí. Nastavíme anodový proud změnou velikosti buzení na polovinu jmenovité hodnoty při telegrafním provozu, měříme amplitudu nf napětí a anodový proud vf zesilovače. Oba údaje si poznamenáváme vždy pro hodnoty vzestupu anodového proudu o 10 %. Stejným způsobem se musí měnit i modulační napětí. Je-li toho dosaženo, je i modulace přibližně lineární, neboť úměrně se zvyšováním modulačního napětí roste anodový proud a tím i výkon vysílače. Touto metodou lze však kontrolovat jakost modulace nejvýše do 80 %, protože modulační charakteristika a průběh účinnosti se v další části silně zakřivují a přímé měření nedává uspokojivé výsledky.

Základní hodnoty pracovních podmínek elektronky určíme tak, že při provozu bez modulace může být stejnosměrný příkon modulovaného zesilovače 1,5 násobkem povolené anodové ztráty elektronky. Používáme zásadně maximální ss anodové napětí, udané výrobecem, protože tehdy je linearita modulace nejlepší.

Modulace brzdící mřížky. Potíže s potlačením vlivu mřížkových proudu odpadají při modulaci brzdící mřížky pentodových vysokofrekvenčních zesilovačů malého výkonu. Princip je obdobný jako při modulaci řídící mřížky, brzdící mřížka však neodebírá žádný proud (obr. III-27b). Při nastavování pracovních podmínek elektronky postupujeme tak, že vybudíme zesilovač na plný výkon při telegrafním provozu a potom zvětšíme záporné předpětí brzdící mřížky tak, až klesne anodový proud na poloviční hodnotu. Je výhodné, můžeme-li modulovat mírně do kladných hodnot napětí brzdící mřížky (měřeno proti katodě). Modulační napětí je pak asi o 10 % větší než záporné předpětí brzdící mřížky.

Linearitu modulace kontrolujeme stejným způsobem jako při modulaci řídící mřížky.

Modulace stínící mřížky. Superpozici modulačního napětí na kladné stejnosměrné napětí stínící mřížky můžeme u tetrod docílit velmi lineární modulační charakteristiky. Výhodou je malá závislost na velikosti buzení, nevýhodou značné změny proudu stínící mřížky během modulačního cyklu. Výkon nosné vlny je opět jen třetinou povolené anodové ztráty použité

elektronky modulovaného zesilovače a je čtyřikrát menší než výkon, odevzdaný při telegrafním provozu. Modulátor musí být v zapojení se silnou zápornou zpětnou vazbou, protože jeho zatěžovací impedance prudce kolísá. Ostatní zásady jsou shodné s modulací řídící mřížky.

U většiny tetrod nezaniká anodový proud při nulovém napětí stínící mřížky, ale až při záporných hodnotách. Proto je nutno použít modulační transformátor, na jehož sekundárním vinutí získáme amplitudu modulačního napětí asi o 15 % vyšší, než je jmenovité kladné stejnosměrné napětí stínící mřížky. Zapojení je uvedeno na obr. III-27c.

Při použití osciloskopu kontrolujeme tvar modulační obálky a postupně měníme velikost buzení, antenní vazby, stejnosměrného napětí stínící mřížky a modulačního napětí tak, až dosáhneme lineární stoprocentní modulace. Bez osciloskopu opět postupujeme tak, že nastavíme maximální výkon při jmenovitých hodnotách telegrafního provozu, potom zmenšujeme budicí vysokofrekvenční napětí až do bodu, kdy začíná klesat anodový proud. To je důležité proto, že během modulačního cyklu se mění i proud řídící mřížky v důsledku změn sklonu pracovní charakteristiky zesilovače, s jeho vztahem klesá proud stínící mřížky a nastává deformace modulační charakteristiky. Proto mřížkový proud udržujeme na co nejmenší hodnotě.

Dalším krokem je postupné snižování napětí stínící mřížky na hodnotu, při níž klesne anodový proud na polovinu původní hodnoty. Při modulaci správně využité tetrody tónem se mění měřený stejnosměrný anodový proud jen nepatrně, protože kolísá v rytmu modulačního kmitočtu kolem střední hodnoty a měřící přístroj nestačí sledovat jeho změny. Vzrůst stejnosměrného anodového proudu ukazuje na lineární zkreslení modulace nebo přemodulování přes 100 %. Při modulaci řečí může docházet k malým výkyvům měřicího přístroje do kladných hodnot při přízvučných slabikách.

Při kontrole osciloskopem se někdy projeví nepatrný skok v průběhu modulační obálky při přechodu do záporné oblasti napětí stínící mřížky; nemá však podstatný význam a uplatňuje se jen v největších špičkách modulace.

Modulace závěrnou elektronkou má stejný charakter, protože dochází rovněž k modulaci stínící mřížky. Závěrná elektronka pracuje jako triodový zesilovač ve třídě A. Její anodová ztráta musí být alespoň trojnásobkem stejnosměrného příkonu stínící mřížky modulovaného stupně. Abychom dosáhli dosta-

tečně velké amplitudy modulačního napětí, musí být splněny následující podmínky:

1. Pracovní odpor závěrné elektronky R_A (obr. III-27d) musí mít takovou hodnotu, aby součet klidového anodového proudu závěrné elektronky a proud stínící mřížky vf zesilovače bez modulace vytvořil právě potřebný úbytek napětí pro nastavení výkonu nosné.

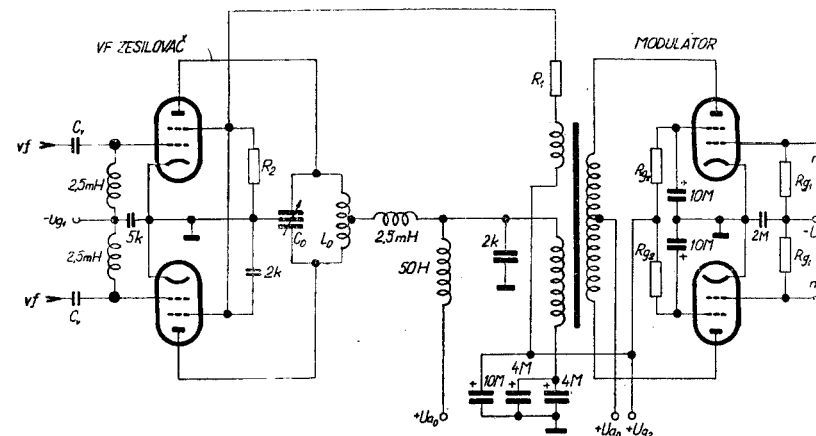
2. Tato hodnota odporu R_A musí odpovídat přibližně trojnásobku optimálního zatěžovacího odporu pro závěrnou elektronku, pracující v triodovém zapojení ve tř. A.

3. Stejnosměrná hodnota anodového napětí U_{A_2} závěrné elektronky, využité k modulaci, musí být za těchto podmínek o 20 až 40 % vyšší než stejnosměrné napětí stínící mřížky, měřené v bodě M bez modulace, aby bylo možno modulovat i do záporné oblasti napětí stínící mřížky. Toho docílíme zařazením vhodného odporu R_{g_2} mezi stínící mřížku modulovaného zesilovače a anodu závěrné elektronky. Musí být přemostěn dostatečně velkou kapacitou, aby nízkofrekvenční proudy protékaly bez úbytků. Velikost odporu určíme buď výpočtem z charakteristik obou elektronek, nebo zkusmo.

Modulaci nastavíme tak, že přepneme přepínač $P 1$ do polohy $A 1$ (telegrafní provoz) a nastavíme buzení a anténní vazbu na optimální hodnoty a plný výkon modulovaného zesilovače. Odpor R_{g_2} je nastaven na maximální hodnotu, odpor R_2 asi na polovinu jmenovité hodnoty. Potom přepneme do polohy $A 3$ (telefonie) a změnou velikosti odporů R_2 a R_{g_2} nastavíme pracovní podmínky podle bodu 3 na poloviční anodový proud vf zesilovače. Při modulaci tónem musí být modulace lineární až do 90 %, což kontrolujeme osciloskopem nebo měřením poměru amplitud nf napětí a stejnosměrného anodového proudu, podobně jako při modulaci řídící mřížky.

Anodová modulace umožňuje dosažení dokonalé linearity modulační charakteristiky. U správně nastavených modulátorů není zkreslení větší než 2 % v pásmu 100 Hz až 10 kHz. Na obr. III-28 je naznačeno uspořádání koncových zesilovačů vf řetězu a modulátoru. Oba stupně jsou v souměrném zapojení, protože je předpokládán vyšší výkon. Stejně dobře však může být vf zesilovač nesouměrný. Zapojení má několik zvláštností: obě tetrody vf zesilovače jsou modulovány anodově superpozicí nízkofrekvenčního napětí na stejnosměrné anodové napětí a současně stejným způsobem ve stínících mřížkách. Toto opatření je nutné proto, že napětí stínících mřížek má podstatný vliv na velikost anodového proudu a nejsou-li modulovány,

nelze dosáhnout stoprocentní modulace. Amplituda modulačního nízkofrekvenčního napětí stínících mřížek nastaví se v poměru velikosti anodového a stínícího napětí, u malých elektronek přibližně 5 : 4 až 5 : 1, u velkých 10 : 1 až 15 : 1. Modulační vinutí stínících mřížek musí být dobře izolováno od primárního i druhého sekundárního vinutí, protože mezi těmito vinutími leží značné špičkové napětí (v některých případech až 5 kV).



III-28. Anodová amplitudová modulace výkonového vf zesilovače

Druhou zvláštností je oddělení cesty anodového proudu vysokofrekvenčních stupňů od vinutí modulačního transformátoru, takže se modulační napětí ve skutečnosti přikládá paralelně pomocí modulační tlumivky 50 H, která musí mít vzduchovou mezeru proti stejnosměrnému přesycení. Je totiž jednodušší vyrobit tlumivku se vzduchovou mezerou při dostatečné indukčnosti, než dosáhnout nízkého stejnosměrného sycení modulačního transformátoru současně s malými rozptylovými indukčnostmi, které jinak značně omezují kmitočtovou charakteristiku modulátoru. Je obvyklé, že vf zesilovač i modulátor jsou osazovány shodnými typy elektronek (např. 2 × RE 65 A, 2 × RE 125 A), takže i anodová a stínící napětí jsou shodná a odpadají zvláštní zdroje napětí.

Vysokofrekvenční zesilovač je obvykle vypočítán a nastaven na plný výkon, nejvíše se u jeho elektronek snižuje stejnosměrné anodové napětí o 10 až 20 %, pokud to výrobce

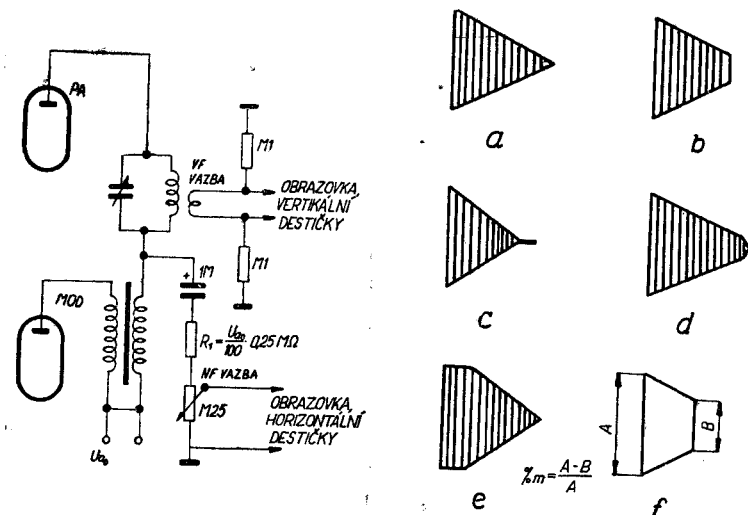
předpisuje. Modulátor musí dodat výkon asi o 15 % vyšší, než je polovina stejnosměrného příkonu anod a stínících mřížek elektronek vysokofrekvenčního zesilovače. Je pochopitelné, že zatěžovací impedance modulátoru kolísá velmi silně kolem hodnoty určené poměrem stejnosměrného anodového napětí a proudu vf zesilovače. Pro tuto hodnotu počítáme i převod modulačního transformátoru. V modulátoru zavádíme silnou zápornou zpětnou vazbu přes všechny stupně, která částečně vyrovná kolísání zátěže a podstatně zmenší zkreslení v nf řetězu.

Pokud modulátor pracuje bez zkreslení a zdroj anodového napětí dodává potřebný proud bez poklesu napětí, je seřízení velmi jednoduché: vf zesilovač vybudíme a vyladíme, přizpůsobíme k zátěži a zkusíme modulovat. Stejným způsobem jako při ostatních druzích modulace sledujeme linearitu modulace buď osciloskopem, nebo měřením napětí a proudu vf stupně. Příliš velké procento modulace v obvodu stínících mřížek se projeví zkreslením modulační obálky ve špičkách modulace, nedostatečná modulace stínících mřížek nedovolí plné promodulování.

Podmínkou je, aby se při modulaci tónem, hlasem, hudbou apod. naprosto neměnily mřížkové a anodové proudy vf zesilovače. Pokud jejich velikost kolísá, je přemodulováno, elektronky jsou přetíženy, nebo klesá stejnosměrné napětí anod vf stupně. Další přičinou může být malá rezerva budicího výkonu vf zesilovače. Stejně jako v předchozích případech se i zde značně mění potřebný budicí výkon během modulačního cyklu. Budicí vf zesilovač opět uměle předtěžujeme bezindukčním odporem, jehož hodnota je asi třikrát menší než poměr amplitudy vf napětí a stejnosměrného proudu řídící mřížky vf zesilovače bez modulace. Předpětí řídících mřížek nemusí být pevné, je možno použít i automatického předpětí, které vzniká průtokem mřížkového proudu.

III-16. MĚŘENÍ PŘI AMPLITUDOVÉ MODULACI

Oscilografické měření linearity modulace je jednou z jednoduchých měřicích metod. Potřebujeme k němu jen obrazovku s jednoduchým zdrojem anodového a fokusačního napětí, vazební smyčku připojíme kroucenou šňůrou nebo koaxiálním kabelem k vertikálním destičkám, modulační napětí (alespoň 50 V) přes potenciometr na horizontální destičky (viz obr.



III-29. Snímání kontrolního obrazce při amplitudové modulaci

III-30. Kontrolní obrazec při amplitudové modulaci vysílače: a - lineární modulace 100 %, b - částečná lineární modulace, c - přemodulování přes 100 %, d - mřížkové modulovaný zesilovač do 100 %, e - zkreslení v modulovaném stupni, f - výpočet hloubky modulace $\%m = \frac{A-B}{A} : B$

III-29), nažavíme obrazovku, připojíme příslušná napětí a můžeme měřit.

Vazební smyčku přiblížíme k výstupnímu obvodu vf stupně tak, až se objeví na stínítku obrazovky svislá čára, která končí vždy asi 1 cm od okrajů. Potom zapojíme modulátor, modulujeme vf zesilovač a potenciometrem R nastavíme vodorovný rozkmit tak, abyhom získali na stínítku dostatečně velký trojúhelník (obr. III-30a). Jeho strany musí být přímé, je-li modulace lineární. Objeví-li se lichoběžník, pak nedosahuje modulace plné hloubky (obr. III-30b). Přemodulování poznáme podle přechodu špičky trojúhelníka do vodorovné přímky (obr. III-30c). Na obr. III-30d je typický obraz stoprocentní mřížkové modulace, obr. III-30e ukazuje na nelinearity v modulovaném stupni, obvykle nedostatečné buzení vf zesilovače při anodové modulaci, nebo přebuzený mřížkově modulovaný zesilovač.

III-17. LINEÁRNÍ ZESILOVAČ VÝKONU

Při telefonním provozu s jedním postranním pásmem nemůže elektronka vf zesilovače pracovat ve třídě C, protože nezesiluje v tomto případě celou půlvlnu modulovaného napětí a docházelo by k silnému zkreslení. Ideálním typem lineárního zesilovače je elektronka, která pracuje ve třídě A. Anodový proud je přímo úměrný napětí přiváděnému na řídící mřížku, účinnost takového stupně je však velmi nízká a pro výkony kolem 100 W bychom potřebovali elektronku s přípustnou anodovou ztrátou kolem 300 W. Proto je obvyklé, že ve stupních s požadavkem lineárního zesílení pracují výkonové tetrody ve třídě AB₁, AB₂ nebo B.

Pracovní podmínky jsou tedy zhruba stejné jako u výkonových zesilovačů v modulátoru a je možno běžně dosáhnout účinnosti kolem 60 % (teoreticky 78 %). Zapojení elektronek je shodné s obr. III-25, 26, je však třeba bezpodmínečně dodržet následující podmínky:

Tabulka provozních dat elektronek pro lineární zesilovač výkonu

Typ	V U _{a0}	U _{g3} V	U _{g1} V	I _{a0} mA	I _{a0} mA	I _{g3} mA	V U _{GB}	mA I _{gm}	N _B W	N _{g2} W	N _{g1} W	N _a W	N _v W
RE 65 A	1500	300	-55	35	200	45	150	15	2,3	10	5	60	150*
	2000	400	-80	25	270	65	190	20	3,8	10	5	65	300*
	2500	500	-105	20	230	45	165	8	1,3	10	5	65	325*
RE 125 A	2000	615	-105	40	135	14	105	0	0	20	—	125	150
	2500	555	-100	35	120	10	100	0	0	20	—	125	180
	3000	510	-95	30	105	6	95	0	0	20	—	125	200

* hodnota špičkového výkonu při provozu SSB

1. Mřížkové předpětí musí být pevné, pokud možno stabilizováno a nesmí se měnit při změnách proudu řídící mřížky vf zesilovače.

2. Anodové napětí nesmí se zatížením kolísat více než o 10 % právě tak, jako napájecí napětí stínících mřížek.

3. Budič musí mít dostatečnou výkonovou rezervu. Protéká-li u vf zesilovače mřížkový proud, je nutno budič uměle zatížit bezindukčním odporem až 10krát menším, než je

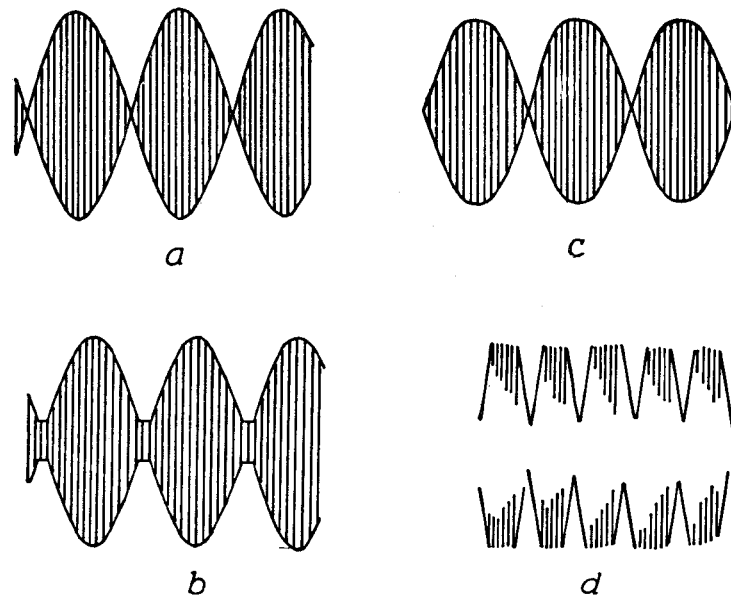
impedance řídící mřížky vf zesilovače (poměr amplitudy vf napětí a ss mřížkového proudu).

4. Vf zesilovač musí být provozně stabilní, nesmí zakmitávat a jeho anodový proud nesmí dosahovat oblasti nasycení.

Zásady návrhu jsou shodné s výpočtem zesilovače třídy C [L 14], jen úhel otevření je větší než 180°. Zelektronek jsou vhodné REE 30 B, RE 65 A, RE 125 A, které vesměs nevyžadují buzení do oblasti mřížkových proudů. Při uvádění do chodu kontrolujeme zesilovač dvoutónovou zkouškou.

III-18. MĚŘENÍ LINEARITY VYSOKOFREKVENČNÍHO ZESILOVAČE

Budič pro provoz SSB obvykle umožňuje vytvoření tzv. dvoutónového zkušebného napětí (obr. III-31a), které můžeme sledovat na stínítku obrazovky. Vertikální destičky (bez zesilovače) spojíme přímo s vazební smyčkou a uzemníme přes



III-31. Tvar napětí při dvoutónové zkoušce zesilovače: a - bez zkreslení, b - velké mřížkové předpětí zkušeného zesilovače, c - přebuzený zesilovač, d - silně přebuzený zakmitávající zesilovač

odpory $0,1 \text{ M}\Omega$. Smyčku přiblížíme k vf obvodu tak, abychom dosáhli dostatečné amplitudy svislé výchylky. Časovou základnu (pilovitý průběh) nastavíme tak, abychom mohli sledovat 4 až 5 cyklů modulační obálky.

Po kontrole tvaru průběhu budicího napětí před měřeným zesilovačem přemístíme smyčku k anodovému obvodu zkoušeného zesilovače a porovnáme tvar modulační obálky. Je-li shodný s předchozím, pak zesilovač nezkresluje více, než odpovídá $k = 5\%$. Příliš velké předpětí způsobuje přerušení křivky v okolí nulové osy (obr. III-31b). Přebuzený nebo přetížený zesilovač vykazuje silné zploštění vrcholů (obr. III-31c), které může být způsobeno i kolísáním budicího napětí během modulačního cyklu. Silně přebuzený zesilovač zakmitává a omezuje vrcholy sinusové modulační obálky (obr. III-31d).

D. Doplňková zařízení

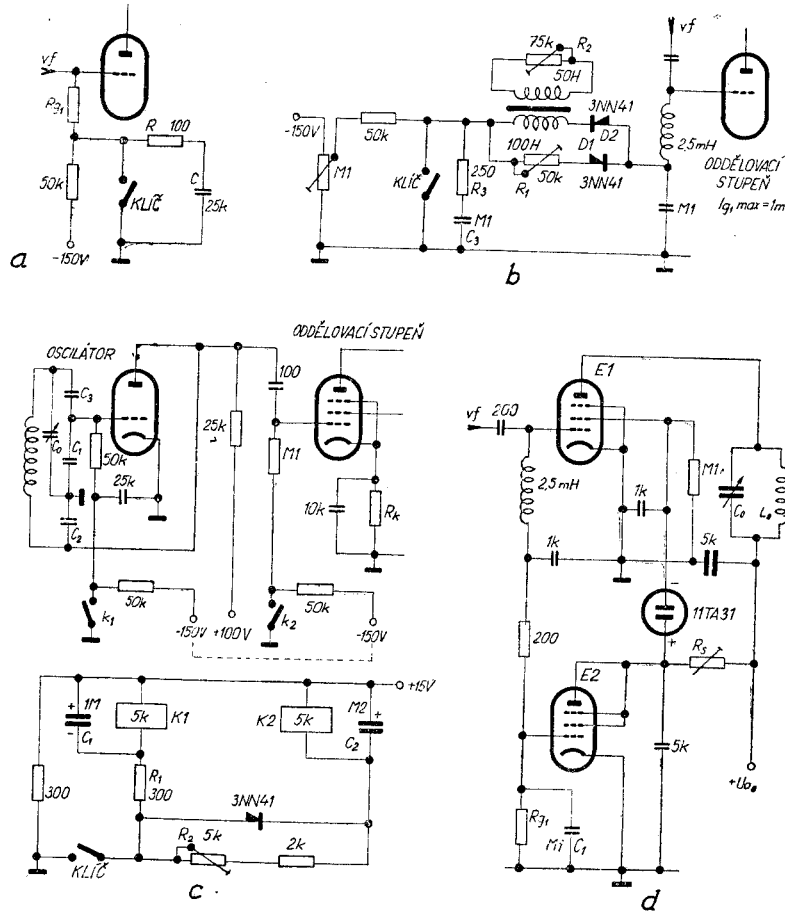
III-19. KLÍČOVÁNÍ PŘI TELEGRAF NÍM PROVOZU

Rušení televize a rozhlasu patří ke stinným stránkám provozu vysílače, a to nejen amatérského. Proto musíme definitivně opustit všechny druhy klíčování katodového proudu elektronek většího výkonu a omezit se na manipulaci v obvodech budiče.

Co vlastně způsobuje strmé zákmyty při klíčování vysokofrekvenčních stupňů? Je to jednak značně vyšší náběhový proud elektronky oscilátoru těsně před nasazením kmitů, jednak vlastní obdélníkový tvar telegrafní značky. Z teorie lze odvodit, že obdélníkový průběh napětí obsahuje nekonečné množství harmonických kmitočtů, které se projevují jako nežádoucí postranní pásma těsně v okolí pracovního kmitočtu. Přistoupí-li k tomu jiskření kontaktů při klíčování většího proudu, pak jsou klíčovací zákmyty velmi strmé a mají několikanásobně vyšší amplitudu než vlastní značka. Svůj podíl přináší i nízký filtrační účinek některých typů vazebních členů. Protože jiskrová telegrafie patří již dávno minulosti, musíme odstranit její příznaky i u běžného telegrafního vysílače.

Jedním z osvědčených způsobů klíčování je blokování (uzavírání) řídící mřížky velkým záporným předpětím (obr. III-32a), kterého lze použít úspěšně ve všech stupních vysílače

včetně oscilátoru. Zhášecí obvod RC navíc mírně zaobluje hrany značek. Dokonalejší provedení tvarovacího obvodu při stejném způsobu klíčování je uvedeno na obr. III-32b. Potenciometrem R_1 ovládáme tvar náběhové (přední) hrany značky, protože při stisknutí klíče se kondenzátor C_1 vybijí přes diodu D_1 a odpor R_1 a tím zaoblí hrany značky. Po uvolnění klíče se kondenzátor C_1 znova zpožděně nabijí přes indukčnost a diodu D_2 , takže můžeme potenciometrem R_2 zmenšováním



III-32. Různé druhy klíčování vysílače: a - uzavíráním řídící mřížky elektronky, b - tvarovací obvod pro klíčování závěrným napětím, c - diferenciální klíčování oscilátoru a zesilovače, d - zapojení závěrné elektronky

impedance tvarovat závěrnou hranu značky. Zhášecí článek R_3C_3 omezuje jiskření kontaktů klíče. Oscilátor trvale kmitá, klíčujeme oddělovací stupeň.

Známé diferenciální klíčování má umožnit duplexní (BK) provoz i při příjmu slabých signálů, které se při předcházející metodě klíčování ztrácejí v zázněji pronikajícího vlastního oscilátoru. Kontaktem relé k_1 klíčujeme oscilátor, kontaktem relé k_2 oddělovací stupeň. Podmínkou je, aby obě polarizovaná relé byla dostatečně citlivá, měla shodné provozní vlastnosti a odpor vinutí alespoň $5\text{ k}\Omega$. Zdroj klíčovacího obvodu musí mít malý vnitřní odpor, aby neovlivňoval nabíjecí doby obvodů s kondenzátory.

V klidu jsou obě relé bez proudu, obvody k_1 a k_2 rozepnuty. Po stisknutí klíče se rychle nabíjí kondenzátor C_1 přes malý odpor R_1 a po nabití (asi 0,5 ms) přitáhne relé K 1 a zaklívá kontaktem k_1 obvod oscilátoru. Současně se pomaleji nabíjí kondenzátor C_2 a se zpožděním asi 0,8 ms přitahuje i relé K 2. Kontaktem k_2 zapne oddělovací stupeň a tím buzení celého vysílače. Výsledek je zřejmý: oscilátor nepracuje trvale, ale nasazuje kmity o zlomek vteřiny dříve, než začnou pracovat výkonové stupně. Tím se zabrání pronikání strmých zákmítů oscilátoru do výstupních obvodů. Na konci značky je proces opačný, přerušení proudu oscilátoru a tím vzniklý proudový náraz nastane až po uzavření výkonových zesilovačů. Kombinaci zapojení podle obr. III-32b,c je možno dosáhnout velmi dobrých výsledků s čistým telegrafním tónem bez klapání. Zkrácení značky je zanedbatelné a kromě toho je možno docílit kompenzace vhodným nastavením poměru tečka – mezera automatického elektronkového klíče.

Omezení klíčovacích zákmítů dosáhneme i zapojením tzv. závěrné elektronky v obvodu stínící mřížky některého výkonového zesilovače. Příklad zapojení je na obr. III-32d. Stínící mřížka vf zesilovače E 1 je napájena přes velký odpor R_s a stabilizační výbojku se zhášecím napětím 100 V z anodového zdroje zesilovače. Do středního bodu vzniklého děliče napětí je připojena anoda triody E 2, která pracuje bez pevného předpětí. Průtokem anodového proudu elektronkou E 2 vzniká na odporu R_s takový úbytek napětí, že napětí na stínící mřížce elektronky E 1 klesne pod hodnotu zhášecího napětí výbojky. Podmínkou je, aby anodový proud triody E 2 při tomto napětí byl alespoň dvojnásobný proti proudu stínící mřížky elektronky E 1. Výbojka zhasne, stínící mřížka je bez napětí, elektronka E 1 není přetížena, ačkoliv pracuje bez pevného předpětí

řídící mřížky. Při zaklívání budiče přichází na řídící mřížku elektronky E 1 vf napětí, mřížkový proud vytvoří na odporu R_g záporné napětí, které zcela uzavře elektronku E 2. Velikost odporu R_g je taková, aby při jmenovitém proudu stínící mřížky bylo dosaženo i jmenovitého napětí, výbojka zapálí, avšak nesmí být proudově přetížena. V obvodu R_gC_1 se zachytí první proudový náraz při zaklívání, nelineární charakteristika výbojky pak příznivě ovlivňuje tvar závěrné hrany značky.

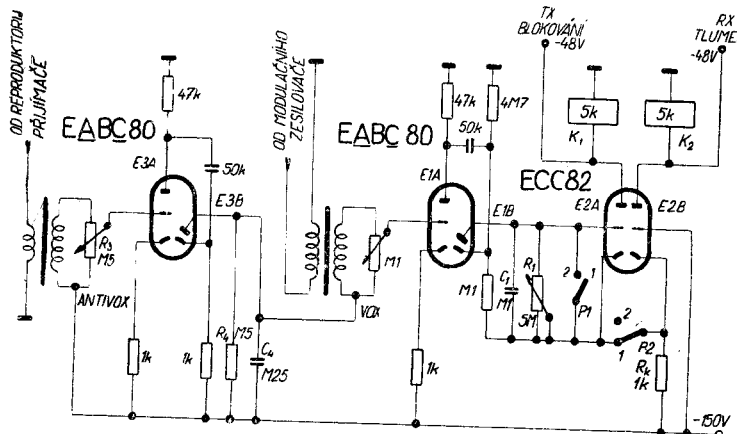
III-20. AUTOMATIKA PRO PROVOZ SSB

Telefonní provoz s jedním postranním pásmem je velmi podobný telegrafii. Volání stanic je poměrně krátké, v mezerách mezi slovy není vysílán žádný signál. Dobrý operátor méně mluví a více poslouchá a kromě toho se po navázání spojení velmi rychle střídají obě stanice, takže vzniká nový druh spojení, který má spíše charakter přímého rozhovoru bez zdlouhavého předávání slova – typické využití všech výhod duplexního provozu. Umožňuje to zvláštní zařízení, které obvykle připojujeme k vysílači, tzv. hlasové ovládání. Je označováno zkratkou VOX (z anglického VOICE CONTROL = řízení hlasem).

Při promluvení do mikrofonu se současně automaticky zaklívají oscilátory směšovacího budiče, přepne anténa od přijímače k vysílači a utlumí zesilovací obvody přijímače. Přechod do klidového stavu (na příjem) je poněkud zpožděn, aby mezi slovy nedocházelo k přepínání obvodů a tím k rušivému klapání. Při příjmu je naopak uzavřen mikrofonní okruh tak dlouho, dokud operátor přijímané stanice mluví. Pokud je tento uzavírací obvod samostatný, označuje se slovem ANTITRIP nebo ANTIVOX. Zabraňuje vazbě mezi reproduktorem přijímače a mikrofonem. Takovým opatřením se zcela uvolňují obě ruce operátora, takže snadno zapisuje průběh spojení a pokud je třeba, obsluhuje přijímač. Automatizace tedy nevynechává ani pracoviště radioamatérů.

Zapojení podobného přístroje je uvedeno na obr. III-33. Pro vysvětlení funkce předpokládejme, že není přijímán žádný signál a chceme volat výzvu. Hovorové napětí z modulačního zesilovače je přivedeno kromě příslušných okruhů i na mřížku elektronky E 1 A v obvodech VOX a zesíleno. Poněkud zvláštní zapojení elektronek s napájením v katodovém okruhu a uzemněným kladným pólem zdroje je určeno požadavkem záporné

polarity ovládacích napětí. Dioda E 1B, která musí být vakuová, usměrňuje nf napětí, zesílené elektronkou E 1 A, a nabíjí kondenzátor C_1 záporným napětím, takže se elektronka E 2A zcela uzavře. Na odporu R_{a1} nevzniká napětí a relé K 1 nepřitahuje, protože elektronkou neprotéká proud. Vysílač se zaklívá a zůstává mezi slovy zaklíván po dobu určenou vybíjecí konstantou $C_1 R_1$ (asi 1 vteřina). Po stejnou dobu je elektronka E 2B otevřena a vede proud, protože na společném katodovém odporu R_k je jen malé předpětí. Přijímač je tlumen napětím, které vzniká na odporu R_{a2} , relé K 2 přitahuje průtokem anodového proudu elektronky E 2B.



III-33. Hlasové ovládání vysílače a přijímače při telefonii SSB

Po ukončení hovoru se kondenzátor C_1 vybíjí přes odpor R_1 , elektronka E 2A pracuje bez předpětí, otevírá se, průtokem jejího anodového proudu vzniká blokovací předpětí vysílače na odporu R_{a1} a relé K 1 přitahuje. Současně se na odporu R_k vytvoří závěrné napětí pro elektronku E 2B, která přestane vést proud, napětí na odporu R_{a2} zmizí a přijímač se odtlumí. Při příjmu protistanice přichází nf napětí od reproduktoru přijímače na mřížku elektronky E 3A, je zesíleno a potom usměrněno diodou E 3B. Vzniklé záporné napětí na obvodu $R_4 C_4$ blokuje řídící mřížku elektronky E 1A, takže ani promluvením do mikrofonu, ani přímou vazbou s reproduktorem není možno zaklívat vysílač. Vybíjecí konstanta $R_4 C_4$ je poměrně

krátká, takže ihned po skončení příjmu můžeme přejít na vysílání.

Blokování vysílače je možno uskutečnit buď záporným napětím, nebo kontakty obou relé. Vhodným nastavením potenciometrů R_2 a R_3 odstraníme případné nežádoucí překlápení obou obvodů v důsledku zbytkových akustických vazeb. Určitý vliv na nastavení obou prvků má i umístění reproduktoru a hlasitost poslechu. Potenciometrem R_1 řídíme zpožděné zaklívání vysílače.

Vzorce pro výpočet některých důležitých veličin

[V 1] Výpočet oscilátoru typu CLAPP:

$$C_1 = C_2 = \frac{2000}{f} \sqrt{\frac{S Q}{f L_0}} \quad [\text{pF; MHz, mA/V, MHz, } \mu\text{H}]$$

$$C_0 = \frac{25 \cdot 330}{f^2 L_0} \quad [\text{pF; MHz, } \mu\text{H}]$$

[V 2] Výpočet oscilátoru typu VACKÁŘ 1945 pro kmitočty 1 až 10 MHz:

$$L_0 = 1433 \frac{1}{S f Q_0} \quad [\mu\text{H; mA/V, MHz}]$$

$$C_2 = 53 \frac{S Q_0}{f} \quad [\text{pF; mA/V, MHz}]$$

$$C_{0\max} = \frac{C_2}{2} \left[\left(\frac{f_{\max}}{f_{\min}} \right)^2 - 1 \right] + C_{0\min} \quad [\text{pF; pF, MHz, MHz, pF}]$$

$$C_1 = C_3 = C_2 - 2 C_{0\min} \quad [\text{pF; pF, pF}]$$

Výpočet oscilátoru typu VACKÁŘ 1945 pro kmitočty 0,1 až 1 MHz:

$$L_0 = \frac{4}{S f_{\min} Q_0} \cdot 10^3 \quad [\mu\text{H}; \text{mA/V, MHz}]$$

$$C_2 = 884 \frac{S Q_0}{f_{\min}} \quad [\text{pF}; \text{mA/V, MHz}]$$

$$C_{0\max} = 0,25 \left[\left(\frac{f_{\max}}{f_{\min}} \right)^2 - 1 \right] + C_{0\min} \quad [\text{pF}; \text{MHz, MHz, pF}]$$

$$C_3 = 0,33 C_2 - 1,33 C_{0\min} \quad [\text{pF}; \text{pF, pF}]$$

$$C_1 = C_2 - 4 C_{0\min} \quad [\text{pF}; \text{pF, pF}]$$

[V 3] Výpočet oscilátoru typu DEACON pro kmitočty 1 až 10 MHz:

$$L_0 = 3180 \frac{1}{S f_{\min} Q_0} \quad [\mu\text{H}; \text{mA/V, MHz}]$$

$$C_2 = 884 \frac{S Q_0}{f_{\min}} \quad [\text{pF}; \text{mA/V, MHz}]$$

$$C_1 = 2,5 C_3 \quad [\text{pF}; \text{pF}]$$

$$C_3 = 0,43 C_2 - 1,43 C_0 \quad [\text{pF}; \text{pF, pF}]$$

Ve všech vzorcích dosazujeme:

f střední kmitočet oscilátoru – MHz,

f_{\max} nejvyšší kmitočet oscilátoru – MHz,

f_{\min} nejnižší kmitočet oscilátoru – MHz,

$C_{0\min}$ počáteční (minimální) kapacita ladícího kondenzátoru – pF,

$C_{0\max}$ potřebná nejvyšší kapacita ladícího kondenzátoru – pF.

[V 4] Výpočet sériové a paralelní rozprostírací kapacity obvodu: vycházíme z vypočtených hodnot okruhu pro celé pásmo kmitočtů

$$C_s = \frac{c(a+b)}{2(a-b-c)} \pm \sqrt{\frac{ab}{a-b-c} + \frac{1}{4} \left[\frac{c(a+b)}{a-b-c} \right]^2}$$

$$C_p = C_2 - \frac{C_s C_{0\max}}{C_s + C_{0\max}} \quad [\text{pF}; \text{pF}]$$

$$c = C_2 - C_1 C_{1,2} = \frac{25\,330}{f_{1,2}^2 L_0} \quad [\text{pF}; \text{MHz, } \mu\text{H}]$$

C_2 vypočtená kapacita pro $f_2 =$ dolní mezní kmitočet rozprostřeného pásmo,

C_1 vypočtená kapacita pro $f_1 =$ horní mezní kmitočet rozprostřeného pásmo,

L_0 indukčnost rezonančního obvodu.

[V 5] Stabilní zesílení stupně s jednoduchým laděným obvodem:

$$A_{stab} = \gamma \sqrt{\frac{S}{\omega_0 (C_{ag} + C_p)}} \quad [-; \text{mA/V, MHz, pF, pF}]$$

Stabilní zesílení stupně s pásmovou propustí:

$$A_{stab} = 12,6 \gamma \beta \sqrt{\frac{S}{f_m (C_{ag} + C_p)}} \quad [-; \text{mA/V, MHz, pF, pF}]$$

C_{ag} kapacita anoda – mřížka elektronky,

C_p kapacita patice elektronky (asi 0,017 pF),

β činitel vazby obvodů propusti,

γ součinitel, závislý na počtu elektronek zesilovače (N).

N	1	2	3	4	5	6	>6
γ	0,45	0,31	0,27	0,26	0,25	0,24	0,22

[V 6] Výpočet souběhu oscilátoru superhetu:

Vstupní obvody:

paralelní kapacita:

$$C_p = \frac{C_{\max} - C_{\min}}{\left(\frac{f_{\max}}{f_{\min}} \right)^2 - 1} - C_d \quad [\text{pF}; \text{pF, MHz}]$$

$$L_v = \frac{25\,330}{f_{\max}^2 C_{\max}} \quad [\mu\text{H}; \text{MHz, pF}]$$

$$f_1 = f_2 - 0,432 (f_{\max} - f_{\min}) \quad [\text{MHz}]$$

$$f_2 = \frac{f_{\max} + f_{\min}}{2} \quad [\text{MHz}]$$

$$f_3 = f_2 + 0,432 (f_{\max} - f_{\min}) \quad [\text{MHz}]$$

$$C_{1, 2, 3} = \frac{25\ 330}{(f_1^2, f_2^2, f_3^2) L_V} \quad [\text{pF; MHz, } \mu\text{H}]$$

$$f_{01, 2, 3} = f_{1, 2, 3} + f_{mf} \quad [\text{MHz}]$$

$$b_1 = f_{01}^2 \quad b_2 = f_{02}^2 \quad b_3 = f_{03}^2$$

$$K = \frac{b_2 (b_1 - b_3)}{b_3 (b_1 - b_2)} \quad [-]$$

Sériová kapacita oscilátoru:

$$C_{s0} = \frac{K C_3 (C_2 - C_1) - C_2 (C_3 - C_1)}{(C_3 - C_1) - K (C_2 - C_1)} \quad [\text{pF}]$$

$$A_{1, 2, 3} = \frac{(C_{1, 2, 3}) C_{s0}}{(C_{1, 2, 3}) + C_{s0}} \quad [\text{pF; pF}]$$

Paralelní kapacita oscilátoru:

$$C_{p0} = \frac{A_2 b_2 - A_1 b_1}{b_1 - b_2} \quad [\text{pF}]$$

Indukčnost oscilátoru:

$$L_0 = \frac{25\ 330}{b_1 (A_1 + C_{p0})} \quad [\mu\text{H, pF}]$$

[V 7] Výpočet přijímaného kmitočtu u superhetu s dvojím směšováním a laděnou první mezifrekvencí:

a) první oscilátor má kmitočet vyšší než přijímaný signál:

$$f_{vst} = F_{01} - F_{m/2}, \quad [\text{MHz}]$$

stupnice je obrácená.

b) první oscilátor má nižší kmitočet, než přijímaný signál:

$$F_{vst} = F_{m/1} + F_{01}, \quad [\text{MHz}]$$

stupnice je shodná.

Dosazuje se: f_{vst} přijímaný vstupní kmitočet,
 F_{01} kmitočet prvního oscilátoru,
 $F_{m/1}$ kmitočet první mezifrekvence (proměnný)

[V 8] Výpočet kmitočtů druhého oscilátoru při dvojím směšování, jejichž harmonické spadají do oblasti příjmu:

$$f_{02} = \frac{f_{01} - f_{m/2}}{(n - 1)} \quad n = 2, 3, 4, 5, 6$$

V úvahu připadají všechny vypočtené hodnoty, které leží v pásmu přeladitelnosti druhého oscilátoru.

f_{02} kmitočet druhého oscilátoru,
 f_{01} kmitočet prvního oscilátoru,
 $f_{m/2}$ kmitočet druhé mezifrekvence.

[V 9] Výpočet kmitočtů, na kterých vznikají interferenční hvizdy při kombinaci harmonických oscilátoru superhetu se vstupním signálem:

$$f_h = \frac{p \pm 1}{q - p} f_{mf} \quad [\text{kHz}]$$

$$p, q = 1, 2, 3, 4, 5$$

[V 10] Výpočet kmitočtu druhého oscilátoru superhetu pro volbu postranního pásma změnou kmitočtu druhého oscilátoru:

a) postranní pásmo A:

druhý oscilátor pracuje na nižším kmitočtu než první mezifrekvence

$$f_{02} = f_{m/1} - f_{mf/2} \quad [\text{kHz}]$$

b) postranní pásmo B:

druhý oscilátor pracuje na vyšším kmitočtu než první mezifrekvence

$$f_{02} = f_{m/1} + f_{m/2} \quad [\text{kHz}]$$

kmitočet záznějového oscilátoru:

$$f_{BFO} = f_{m/2} \pm B_{m/2} \quad [\text{kHz}]$$

$B_{m/2}$ je poloviční pásmo propustnosti 2. mezifrekvence.

[V 11] Výpočet fázového posunu dvou napětí metodou tří voltmetrů:

$$\sin \frac{\varphi}{2} = \frac{U_{AB}}{U_{AC} + U_{BC}} \quad [—; \text{V}]$$

[V 12] Výpočet výstupního kmitočtu směšovacího budiče:

$$f_{vyst} = f_{osc} + fx \quad [\text{MHz}]$$

Literatura

- [L 1] Vackář J.: Vysílače I., str. 118, Praha – SNTL 1959
- [L 2] Ščuckoj, K. A.: Navrhování přijímačů pro amplitudovou a kmitočtovou modulaci, str. 206, český překlad: Praha – SNTL 1960
- [L 3] Crosby, M. G.: A Product Detector, US Patent № 2,470,240 May 17, 1949
- [L 4] Smirenin, B. A.: Radiotechnická příručka, str. 274, český překlad: Praha – SNTL 1955
- [L 5] Ščuckoj K. A.: Navrhování přijímačů pro amplitudovou a kmitočtovou modulaci, str. 177, český překlad: Praha – SNTL 1960
- [L 6] Petržílka J.: Piezoelektrina, Praha – Přírodovědecké vyd. 1951
- [L 7] Vackář J.: Vysílače I., str. 137, Praha – SNTL 1959
- [L 8] Donát K.: Měření a výpočty v radiotechnice, Praha – NV 1961
- [L 9] Petr M. Inž.: Mf filtry s krystalovým rezonátorem s proměnnou šíří pásmra, Sdělovací technika 7–8/1953, str. 198
- [L 10] Ščuckoj K. A.: Navrhování přijímačů pro amplitudovou a kmitočtovou modulaci, str. 36, český překlad: Praha – SNTL 1960
- [L 11] Sedláček J. a kol.: Amatérská radiotechnika, str. 188, Praha – NV 1953
- [L 12] Boleslav A.: Nf a akustická měření, str. 34, Praha – SNTL 1961
- [L 13] Vackář J.: Vysílače I., str. 241, Praha – SNTL 1959
- [L 14] Sedláček J. a kol.: Amatérská radiotechnika, str. 197 a další, Praha – NV 1953
- [L 15] Koster-Spudich: Die Superhet-Spulensätze, str. 11 a další, Berlin-Deutscher Funk-Verlag 1950
- [L 16] Provaz J.: Teplotní kompenzace kmitočtu vf obvodů, Praha – SNTL 1958
- [L 17] Donát K.: Příručka pro konstruktéry radioamatéry, str. 65, Praha – SNTL 1961

Časopisy

QST ročníky 1958, 1959, 1960, 1961
Amatérské rádio 1960, 1961

Obsah

	Strana
<i>Úvod</i>	5

I.

SPOLEČNÉ PRVKY VYSÍLAČŮ A PŘIJÍMAČŮ

<i>A. Tranzistory nebo elektronky</i>	9
I-01. Šumové poměry	10
I-02. Zisk a impedanční přizpůsobení	11
<i>B. Oscilátory</i>	12
I-03. Jednoduché laditelné oscilátory	12
I-04. Laditelné oscilátory s velkou stálostí kmitočtu	15
I-05. Pevně laděné oscilátory	19
I-06. Všeobecné zásady návrhu oscilátoru	20
<i>C. Měniče kmitočtu</i>	24
I-07. Multiplikativní směšovače	27
I-08. Aditivní směšovače	28
I-09. Vyvážené směšovače	30
I-10. Vyvážené modulátory	33
<i>D. Pásmové propusti a filtry</i>	38
I-11. Vstupní pásmové propusti přijímače	38
I-12. Pásmové propusti pro mezifrekvenci přijímačů	40
I-13. Pásmové propusti budičů	46
I-14. Filtry a propusti s krystaly	49
I-15. Krystalové propusti s měnitelnou šírkou pásma	54
I-16. Měření rezonance krystalového výbrusu	57
<i>E. Telefonie s jedním postranním pásmem</i>	61
I-17. Co je to SSB?	62
I-18. Výhody jednoho postranního pásma	65
I-19. Výkon a příkon vysílače SSB	69

II.

KRÁTKOVLNNÉ PŘIJÍMAČE

<i>A. Vstupní obvody přijímače</i>	77
II-01. Jednoduchý vf díl přijímače 1,5 až 30 MHz	79
II-02. Vstupní vf zesilovač pro amatérská pásmá	83
II-03. Konvertor pro amatérská pásmá	86
II-04. Konvertor pro pevnou první mezifrekvenci	90
II-05. Vyvažování vstupní části superheretu	93
<i>B. Mezifrekvenční obvody přijímače</i>	
II-06. Jednoduchý mezifrekvenční zesilovač 450 kHz	98
II-07. Mezifrekvenční zesilovač pro všechny druhy provozu	100
II-08. Mezifrekvenční zesilovač pro příjem telegrafie	103
II-09. Mezifrekvenční zesilovač s proměnnou šířkou pásmá propustnosti	105
II-10. Dokonalý mf zesilovač pro výběr jednoho postranního pásmá	106
<i>C. Demodulační obvody přijímače</i>	108
II-11. Diodové detektory	109
II-12. Směšovací demodulátory	111
II-13. Fázovací demodulátor	114

III.

VYSÍLAČE

<i>A. Základní stupně vysílače</i>	125
III-01. Vf budič s násobiči kmitočtu a pásmovými propustmi	127
III-02. Laditelný vf budič s násobiči kmitočtu	130
III-03. Jednoduchý směšovací budič	133
III-04. Směšovací budič pro pásmá 3,5 až 28 MHz se dvěma krystaly	135
III-05. Směšovací budič pro provoz SSB	143
III-06. Doplňkový směšovač pro všechna pásmá	148
<i>B. Obvody pro výběr postranních pásem</i>	149
III-07. Modulátor pro SSB s pásmovými propustmi	150
III-08. Fázovací generátor postranních pásem	153
III-09. Měření na generátorech postranních pásem	156
III-10. Vyvažování modulátorů SSB s pásmovými propustmi	161
III-11. Vyvažování fázovacích generátorů SSB	167
III-12. Telegrafní provoz s budičem SSB	171
III-13. Vytváření signálu pro dvoutónovou zkoušku	173
<i>C. Zesilovače výkonu</i>	176
III-14. Zesilovače třídy C	177

III-15. Modulované zesilovače	179
III-16. Měření při amplitudové modulaci	186
III-17. Lineární zesilovač výkonu	188
III-18. Měření linearity vysokofrekvenčního zesilovače	189
<i>D. Doplňková zařízení</i>	190
III-19. Klíčování při telegrafním provozu	190
III-20. Automatika pro provoz SSB	193
<i>Vzorce pro výpočet některých důležitých veličin</i>	195
<i>Literatura</i>	201